

Metode numerice în ingineria electrică

Îndrumar de laborator pentru
studentii Facultății de
Inginerie Electrică

Gabriela Ciuprina, Mihai Rebican, Daniel Ioan

Editura
PRINTECH

**GABRIELA CIUPRINA
MIHAI REBICAN • DANIEL IOAN**

**METODE NUMERICE ÎN INGINERIA ELECTRICĂ
ÎNDRUMAR DE LABORATOR
*PENTRU STUDENȚII FACULTĂȚII DE INGINERIE ELECTRICĂ***

Gabriela Ciuprina, Mihai Rebican, Daniel Ioan

**Metode numerice în ingineria
electrică**

*Îndrumar de laborator
pentru studenții facultății de Inginerie Electrică*

**Editura PRINTECH
BUCUREȘTI 2013**

Editura PRINTECH

Tipar executat la:

S.C. ANDOR TIPO S.R.L. – Editura PRINTECH

Site: www.andortipo.ro; www.printech.ro

Adresa: Str. Tunari nr.11, Sector 2, București

Tel./Fax: 021.211.37.12; 021.212.49.51

E-mail: comenzi@andortipo.ro



Descrierea CIP a Bibliotecii Naționale a României

CIUPRINA, GABRIELA

Metode numerice în ingineria electrică : îndrumar de laborator pentru studenții Facultății de Inginerie Electrică /

Gabriela Ciuprina, Mihai Rebican, Daniel Ioan. - București :

Printech, 2013

Bibliogr.

ISBN 978-606-23-0077-7

I. Rebican, Mihai

II. Ioan, Daniel

519.6:621.3(075.8)

© Copyright 2013

Toate drepturile prezentei ediții sunt rezervate editurii si autorilor. Nicio parte din această lucrare nu poate fi reprodusă, stocată sau transmisă indiferent prin ce formă, fără acordul prealabil scris al autorilor.

Gabriela Ciuprina, Mihai Rebican, Daniel Ioan

Metode numerice în ingineria electrică

Îndrumar de laborator

pentru studenții facultății de Inginerie Electrică

2013

Cuprins

| | | |
|----------|--|-----------|
| 0 | Preliminarii asupra <i>Laboratorului de Metode Numerice</i> | 1 |
| 0.1 | Informații utile | 1 |
| 0.2 | Modul de desfășurare a unei ședințe de seminar sau laborator | 4 |
| 0.3 | Programe demonstrative | 5 |
| 0.4 | Implementare în C | 6 |
| 0.4.1 | Exemple | 6 |
| 0.4.2 | Vectori | 10 |
| 0.4.3 | Matrice | 11 |
| 1 | Implementarea structurilor de date și a algoritmilor numerici | 13 |
| 1.1 | Caracterizarea lucrării | 13 |
| 1.2 | Descrierea pseudolimbajului | 13 |
| 1.2.1 | Structuri de date | 14 |
| 1.2.2 | Structuri de control | 16 |
| 1.3 | Tipuri abstracte de date | 24 |
| 1.4 | Complexitatea algoritmilor | 31 |
| 1.5 | Chestiuni de studiat | 33 |
| 1.6 | Modul de lucru | 33 |
| 1.7 | Exemple | 37 |
| 1.7.1 | Exemple rezolvate | 37 |
| 1.7.2 | Exemple propuse | 44 |
| 1.8 | Întrebări și probleme | 46 |

| | | |
|----------|--|-----------|
| 2 | Erori în rezolvarea problemelor numerice | 49 |
| 2.1 | Caracterizarea lucrării | 49 |
| 2.2 | Principiul lucrării | 49 |
| 2.2.1 | Erori de rotunjire | 50 |
| 2.2.2 | Erori inerente | 51 |
| 2.2.3 | Erori de trunchiere | 53 |
| 2.3 | Chestiuni de studiat | 55 |
| 2.4 | Modul de lucru | 55 |
| 2.4.1 | Determinarea erorii relative de rotunjire a sistemului de calcul . . . | 56 |
| 2.4.2 | Analiza propagării erorilor inerente | 56 |
| 2.4.3 | Analiza erorii de trunchiere | 57 |
| 2.4.4 | Implementarea unor algoritmi cu controlul erorii | 58 |
| 2.5 | Exemple | 58 |
| 2.5.1 | Exemple rezolvate | 58 |
| 2.5.2 | Exemple propuse | 61 |
| 2.6 | Întrebări și probleme | 61 |
| 3 | Rezolvarea sistemelor de ecuații liniare prin metoda Gauss | 63 |
| 3.1 | Metoda Gauss fără pivotare | 63 |
| 3.1.1 | Caracterizarea metodei | 63 |
| 3.1.2 | Principiul metodei | 63 |
| 3.1.3 | Pseudocodul algoritmului Gauss fără pivotare | 65 |
| 3.1.4 | Analiza complexității | 66 |
| 3.1.5 | Analiza erorilor | 67 |
| 3.2 | Strategii de pivotare în rezolvarea sistemelor algebrice liniare | 67 |
| 3.2.1 | Caracterizarea metodei | 67 |
| 3.2.2 | Principiul metodei | 68 |
| 3.2.3 | Pseudocodul algoritmului Gauss cu pivotare parțială | 68 |
| 3.2.4 | Analiza complexității | 70 |

| | | |
|----------|---|-----------|
| 3.2.5 | Analiza erorilor | 70 |
| 3.3 | Chestiuni de studiat | 70 |
| 3.4 | Modul de lucru | 70 |
| 3.4.1 | Rezolvarea unor sisteme algebrice liniare | 71 |
| 3.4.2 | Analiza experimentală a algoritmului | 71 |
| 3.4.3 | Implementarea algoritmilor într-un limbaj de programare | 72 |
| 3.4.4 | Căutare de informații | 73 |
| 3.5 | Exemple | 73 |
| 3.5.1 | Exemple rezolvate | 73 |
| 3.5.2 | Exemple propuse | 79 |
| 3.6 | Întrebări | 80 |
| 4 | Metode iterative de rezolvare a sistemelor algebrice liniare | 83 |
| 4.1 | Caracterizarea metodelor | 83 |
| 4.2 | Principiul metodei | 83 |
| 4.3 | Pseudocodul algoritmilor | 87 |
| 4.4 | Analiza algoritmilor | 89 |
| 4.5 | Chestiuni de studiat | 89 |
| 4.6 | Mod de lucru | 90 |
| 4.6.1 | Rezolvarea unor sisteme prin metodele Jacobi/Gauss-Seidel | 90 |
| 4.6.2 | Analiza experimentală a algoritmilor | 91 |
| 4.6.3 | Implementarea algoritmilor | 92 |
| 4.6.4 | Căutare de informații pe Internet | 92 |
| 4.7 | Exemple | 93 |
| 4.7.1 | Exemple rezolvate | 93 |
| 4.7.2 | Exemple propuse | 102 |
| 4.8 | Întrebări și probleme | 104 |

| | | |
|----------|--|------------|
| 5 | Analiza numerică a circuitelor electrice liniare în regim permanent | 107 |
| 5.1 | Caracterizarea lucrării | 107 |
| 5.2 | Principiul metodei | 107 |
| 5.3 | Pseudocodul metodei | 110 |
| 5.4 | Analiza algoritmilor | 112 |
| 5.5 | Chestiuni de studiat | 113 |
| 5.6 | Modul de lucru | 114 |
| 5.6.1 | Analiza numerică a unui circuit rezistiv liniar | 114 |
| 5.6.2 | Analiza unui circuit de curent alternativ | 115 |
| 5.6.3 | Implementarea algoritmilor | 116 |
| 5.6.4 | Căutarea de informații pe Internet | 116 |
| 5.7 | Exemple | 116 |
| 5.7.1 | Exemple rezolvate | 116 |
| 5.7.2 | Exemple propuse | 119 |
| 5.8 | Întrebări și probleme | 121 |
| 6 | Interpolarea polinomială a funcțiilor reale | 123 |
| 6.1 | Caracterizarea metodei | 123 |
| 6.2 | Principiul metodei | 124 |
| 6.3 | Pseudocodul algoritmilor | 129 |
| 6.4 | Analiza complexității algoritmilor | 132 |
| 6.4.1 | Efort de calcul | 132 |
| 6.4.2 | Necesar de memorie | 133 |
| 6.5 | Eroarea de interpolare | 133 |
| 6.6 | Chestiuni de studiat | 136 |
| 6.7 | Mod de lucru | 136 |
| 6.7.1 | Interpolarea polinomială a funcțiilor pe rețele uniforme/Cebîșev | 136 |
| 6.7.2 | Analiza experimentală a erorilor de interpolare | 137 |
| 6.7.3 | Analiza experimentală a timpului de calcul necesar interpolării | 137 |

| | | |
|----------|---|------------|
| 6.7.4 | Implementarea unor algoritmi de interpolare polinomială | 137 |
| 6.7.5 | Căutare de informații pe Internet | 138 |
| 6.8 | Exemple | 138 |
| 6.8.1 | Exemple rezolvate | 138 |
| 6.8.2 | Exemple propuse | 145 |
| 6.9 | Întrebări și probleme | 147 |
| 7 | Derivarea numerică a funcțiilor reale | 149 |
| 7.1 | Caracterizarea metodelor de derivare numerică | 149 |
| 7.2 | Principiile metodelor | 149 |
| 7.3 | Analiza algoritmilor | 151 |
| 7.4 | Pseudocodul metodei | 152 |
| 7.5 | Chestiuni de studiat | 154 |
| 7.6 | Modul de lucru | 154 |
| 7.6.1 | Evaluarea numerică a primei derivate | 155 |
| 7.6.2 | Analiza experimentală a erorii de derivare numerică | 155 |
| 7.6.3 | Analiza derivării numerice de ordin superior | 156 |
| 7.6.4 | Implementarea algoritmului | 156 |
| 7.6.5 | Căutare de informații pe Internet | 157 |
| 7.7 | Exemple | 157 |
| 7.7.1 | Exemple rezolvate | 157 |
| 7.7.2 | Exemple propuse | 159 |
| 7.8 | Probleme și întrebări | 159 |
| 8 | Integrarea numerică a funcțiilor reale | 161 |
| 8.1 | Caracterizarea metodelor de integrare numerică | 161 |
| 8.2 | Principiul metodei | 161 |
| 8.3 | Pseudocodul algoritmilor | 164 |
| 8.4 | Analiza algoritmilor | 165 |
| 8.5 | Chestiuni de studiat | 166 |

| | | |
|-----------|---|------------|
| 8.6 | Modul de lucru | 166 |
| 8.6.1 | Calculul integralei unor funcții elementare | 166 |
| 8.6.2 | Analiza erorii la integrarea numerică | 167 |
| 8.6.3 | Implementarea algoritmului | 167 |
| 8.6.4 | Căutare de informații pe Internet | 168 |
| 8.7 | Exemple | 168 |
| 8.7.1 | Exemple rezolvate | 168 |
| 8.7.2 | Exemple propuse | 172 |
| 8.8 | Probleme și întrebări | 174 |
| 9 | Rezolvarea numerică prin metode iterative a ecuațiilor neliniare | 177 |
| 9.1 | Caracterizarea lucrării | 177 |
| 9.2 | Principiul lucrării | 177 |
| 9.3 | Pseudocodul algoritmilor | 180 |
| 9.4 | Analiza algoritmilor | 182 |
| 9.5 | Chestiuni de studiat | 184 |
| 9.6 | Modul de lucru | 184 |
| 9.6.1 | Rezolvarea unor ecuații neliniare prin diferite metode iterative . . . | 185 |
| 9.6.2 | Analiza experimentală a erorilor și a timpului de calcul | 185 |
| 9.6.3 | Implementarea algoritmilor de rezolvare a ecuațiilor neliniare | 186 |
| 9.6.4 | Căutare de informații pe Internet | 187 |
| 9.7 | Exemple | 187 |
| 9.7.1 | Exemple rezolvate | 187 |
| 9.7.2 | Exemple propuse | 192 |
| 9.8 | Întrebări și probleme | 192 |
| 10 | Rezolvarea ecuațiilor diferențiale ordinare prin metoda Euler | 195 |
| 10.1 | Caracterizarea metodei | 195 |
| 10.2 | Principiul metodei | 195 |
| 10.3 | Pseudocodul metodei | 196 |

| | | |
|--------|--|------------|
| 10.4 | Analiza algoritmului | 198 |
| 10.5 | Chestiuni de studiat | 200 |
| 10.6 | Mod de lucru | 200 |
| 10.6.1 | Rezolvarea unor ecuații diferențiale de ordin 1 | 201 |
| 10.6.2 | Analiza experimentală a erorilor și a timpului de calcul | 202 |
| 10.6.3 | Rezolvarea unei ecuații diferențiale caracteristice unui circuit | 202 |
| 10.6.4 | Implementarea algoritmului într-un limbaj de programare | 203 |
| 10.6.5 | Căutare de informații pe Internet | 204 |
| 10.7 | Probleme și întrebări | 204 |
| | Bibliografie și webografie | 206 |

Notă

Acest îndrumar prezintă lucrările de laborator efectuate în prezent de studenții Facultății de Inginerie Electrică, în cadrul disciplinei *Metode numerice*. Partea teoretică a acestor lucrări este preluată în cea mai mare parte din cartea *Metode numerice în ingineria electrică* [1], în timp ce programele demonstrative la care se face referire, au fost rescrise integral în Scilab (G. Ciuprina). De asemenea, în lucrarea de față au fost adăugate exerciții explicative (G. Ciuprina și M. Rebican) pentru a facilita înțelegerea metodelor explicate.

Lucrarea 0

Preliminarii asupra *Laboratorului de Metode Numerice*

0.1 Informații utile

Lista de lucrări

1. Algoritmi si structuri de date
2. Erori in calculele numerice
3. Metoda Gauss - fără și cu pivotare
4. Metode iterative pentru rezolvarea sistemelor liniare
5. Rezolvarea circuitelor rezistive liniare
6. Interpolarea numerică a funcțiilor
7. Derivarea numerică a funcțiilor
8. Integrarea numerică a funcțiilor
9. Rezolvarea ecuațiilor neliniare
10. Rezolvarea ecuațiilor diferențiale

Calendar

- Săptămâna 1 (S1): Prezentarea laboratorului

- S2: L1 + L2 - seminar
- S3: L1 + L2 - laborator
- S4: L3 + L4 - seminar
- S5: L3 + L4 - laborator
- S6: L5 seminar
- S7: T1 - Test de aplicații numerice și întrebări - partea I
- S8: L6 - seminar
- S9: L6 - laborator
- S10: L7 + L8 - seminar
- S11: L7 + L8 - laborator
- S12: L9 + L10 - seminar
- S13: L9 + L10 - laborator
- S14: T2 - Test de aplicații numerice și întrebări - partea a II-a; test de implementare

Regulament

Un student poate **intra în examen** doar dacă participă la **minim 5** ședințe de seminar (din maxim 6), 4 ședințe de laborator (din maxim 5) și cele două teste de aplicații numerice și întrebări și testul de implementare. Practic, se admite o singură absență la seminar și o singură absență la laborator.

De menționat că laboratorul reprezintă 50 % din punctajul notei la această disciplină. Deși teoretic este posibil ca un student care are punctaj zero la laborator să promoveze această disciplină, acumulând punctaj maxim la examen, experiența anilor anteriori nu a oferit niciun astfel de exemplu.

Deoarece posibilitățile de recuperare a laboratoarelor sunt limitate, **refacerea** unei lucrări de seminar sau laborator se poate realiza numai în cursul săptămânii afectate lucrării și numai în măsura în care există un calculator liber. Este permisă refacerea lucrării numai la grupele din **seria** de care aparține studentul respectiv. **Nu se refac lucrări de seminar sau laborator la sfârșitul semestrului!**

Înainte de fiecare ședință de seminar se recomandă ca fiecare student **să citească** lucrarea care urmează a fi efectuată, conform calendarului. Se va pune accent în special pe aspecte teoretice și exemple rezolvate.

La începutul unei ședințe de laborator fiecare student trebuie să prezinte un **pre-referat** al lucrării care urmează a fi efectuată, conform calendarului. Studenții care nu au pre-referate nu vor fi primiți să efectueze lucrarea. Pe parcursul ședinței, studentul își completează pre-referatul cu date, grafice și concluzii. Studenții trebuie să aibă la ei hartie milimetrică pentru trasarea graficelor. Astfel, se realizează **referatul**, care trebuie **predat la începutul ședinței din săptămâna următoare**.

Modul de notare al laboratorului

Fiecare temă de laborator (L^*) este punctată cu o notă între 1 și 10 pentru referat.

Referatul va conține:

1. Numele studentului și grupa din care face parte
2. Numele cadrului didactic îndrumator
3. Titlul lucrării
4. Scopul lucrării
5. Rezultate experimentale, grafice, etc. (conform cerințelor din îndrumar)
6. Observații și concluzii

Pre-referatul va conține punctele 1, 2, 3, 4 din referat.

Foarte important:

- Observațiile și, mai ales, concluziile au ponderea cea mai mare în nota primită pe referat. Un referat fără observații și concluzii poate avea nota maximă 4 din 10. Două sau mai multe referate care conțin observații și concluzii identice vor avea fiecare nota 1.
- Referatul nu trebuie să conțină: descrierea lucrării, principiul algoritmilor, pseudocodul algoritmilor.
- Testele de aplicații numerice și întrebări (din săptămânile 7 și 14) vor fi realizate în scris și constau în rezolvarea numerică a unor exemple cu ajutorul metodelor studiate. Testele de aplicații și întrebări vor fi punctate cu note între 1 și 10.
- Testul de implementare (din săptămâna 14) va consta în implementarea în limbajul de programare C sau limbajul Matlab (Scilab) a unuia din pseudocodurile lucrărilor studiate. Testul de implementare va fi punctat cu o notă între 1 și 10. Pentru pregătirea acestui test, studenții vor fi încurajați să exerseze implementarea algoritmilor pe parcursul ședințelor de laborator.

- Nota de laborator reprezintă 50% din nota disciplinei *Metode Numerice în Ingineria Electrică*, și se calculează astfel:
 - 15% pentru referate;
 - 30% pentru cele două teste de aplicații numerice;
 - 5% pentru testul de implementare.

Modul de calcul al notei finale va fi prezentat la curs.

0.2 Modul de desfășurare a unei ședințe de seminar sau laborator

Fiecare ședință de seminar sau laborator durează 2 ore și are o anumită tematică (vezi subcapitolul 0.1).

În cadrul ședinței de seminar sunt prezentate studenților de către cadrul didactic următoarele chestiuni despre lucrarea respectivă: aspecte teoretice și exemple rezolvate. De asemenea, se vor prezenta pe scurt chestiunile de studiat și modul de lucru, aspecte necesare pentru efectuarea lucrării de laborator în săptămâna următoare.

De menționat că exemplele rezolvate la fiecare ședință de seminar sunt esențiale pentru cele două teste de aplicații numerice.

Activitățile propriu-zise pe care trebuie să le desfășoare fiecare student într-o ședință de laborator sunt prezentate mai jos.

Prima activitate constă în **exploatarea unor programe demonstrative** ce ilustrează tematica lucrării.

Sistemul de operare sub care se lucrează este Linux (<http://www.linux.org/>). Programele demonstrative sunt scrise în Scilab (<http://www.scilab.org/>) dar exploatarea lor nu necesită cunoașterea acestui limbaj de programare. În urma exploatării acestor programe, studentul trebuie **să redacteze un referat**, conform cerințelor fiecărei lucrări, și să îl **predea la sfârșitul ședinței**.

În măsura timpului disponibil, se va **implementa** cel puțin unul din algoritmi studiați în cadrul temei respective. Implementarea se va efectua în limbajul C sau limbajul Scilab, în concordanță cu pseudocodul prezentat în lucrare.

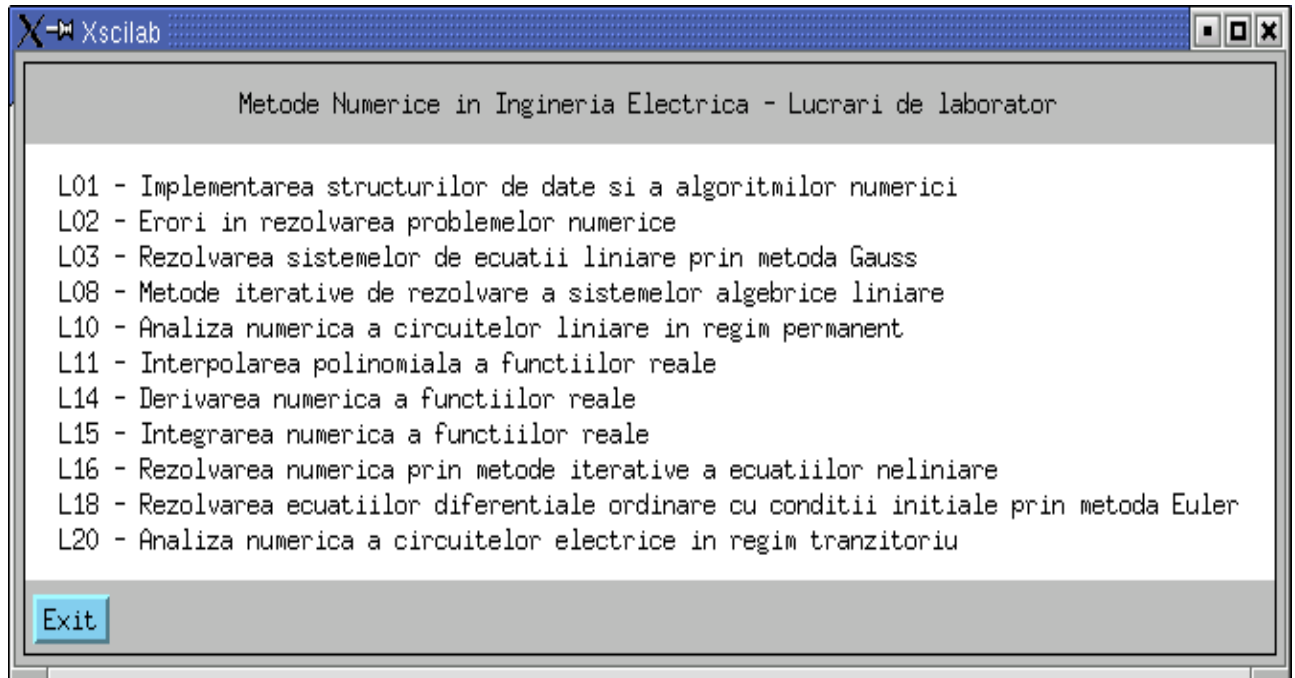


Figura 1: Meniul principal al programelor demonstrative.

0.3 Programe demonstrative

Pentru lansarea programelor demonstrative faceți un singur clic pe icoana cu sigla LMN. În continuare urmați modul de lucru descris în îndrumar.

Observație: programele demonstrative sunt disponibile la adresa <http://mn.lmn.pub.ro/>. Pentru a putea lucra cu ele trebuie să aveți instalate sistemul de operare Linux și pachetul de programe Scilab. Arhiva `LMN.tar.gz` trebuie decomprimată și dezarhivată. Lansați Scilab și la consola acestuia tastați `exec(main.sci)`. Meniul principal este cel prezentat în figura 1.

Notă importantă

Pentru ca un referat să fie luat în considerare, prezența la laborator este obligatorie. Este obligatoriu ca exploatarea acestor programe să fie făcută sub îndrumarea cadrului didactic.

Exerciții:

1. Intrați în contul dvs.;
2. Remarcați icoana LMN și executați un singur clic pe ea;
3. Inchideți programele demonstrative.

0.4 Implementare in C

Înainte de toate, vă este utilă o reîmprospătare a cunoștințelor de C dobândite în anii anteriori.

Metodele numerice ce vor fi studiate implementează în exclusivitate algoritmi numerici, care efectuează de cele mai multe ori calcule cu vectori și matrice.

De aceea, în cele ce urmează vom face câteva considerații asupra declarării și alocării vectorilor și matricelor, astfel încât activitatea de programare în cadrul acestui laborator să fie cât mai eficientă.

Pentru început însă, vă recomandăm să studiați cu atenție următoarele exemple și apoi, pentru înțelegerea lor, să citiți paragrafele următoare.

0.4.1 Exemple

La adresa <http://mn.lmn.pub.ro/> găsiți două exemple pentru a vă familiariza cu stilul de lucru al acestui laborator.

1. Creați un director numit L0 cu comanda `mkdir L0`
2. Descarcați fișierele `nrutil_lmn.c`, `nrutil_lmn.h`, `aduna_vec.c`, `rw_matrix.c`.
3. Comentați conținutul acestor fișiere.
4. Compilați primul exemplu cu comanda

```
gcc aduna_vec.c nrutil_lmn.c -o aduna_vec
```

5. Executați programul cu comanda

```
./aduna_vec
```

6. Compilați al doilea exemplu cu comanda

```
gcc rw_matrix.c nrutil_lmn.c -o rw_matrix
```

7. Executați programul cu comanda

```
./rw_matrix
```

Observație:

Comanda de compilare conține un fișier sursă C (în care se află funcția `main` și o funcție ce implementează un anumit pseudocod), apoi fișierul `nrutil_lmn.c` (în care se află funcțiile de alocare/dealocare de memorie). Numele ce urmează după `-o` este numele programului executabil generat.

Iată conținutul acestor fișiere:

Fișierul `aduna_vec.c`

```
#include "nrutil_lmn.h"

void aduna_vectorii (int , VECTOR , VECTOR , VECTOR );

int
main (void)
{
/* program principal - adunarea a doi vectori
 * apeleaza aduna_vectorii */

int n; /* dimensiunea vectorilor */
VECTOR a, b; /* vectorii de intrare */
VECTOR c; /* vectorul rezultat c = a + b */

int i;

printf ("\n Introduceti dimensiunea vectorilor ");
scanf ("%d", &n);

/* aloca spatiu de memorie pentru vectori */
a = vector (1, n);
b = vector (1, n);
c = vector (1, n);

/* citeste vectorii a si b */
for (i = 1; i <= n; i++)
{
printf ("\n a[%d] = ", i);
scanf ("%f", &a[i]);
}
for (i = 1; i <= n; i++)
{
printf ("\n b[%d] = ", i);
scanf ("%f", &b[i]);
}

aduna_vectorii (n, a, b, c);

/* afiseaza rezultat */
printf ("\n Rezultatul este \n");
for (i = 1; i <= n; i++)
printf ("c[%d] = %f \n", i, c[i]);

/* elibereaza spatiu de memorie */
free_vector (a, 1, n);
free_vector (b, 1, n);
free_vector (c, 1, n);
return (0);
}

void
aduna_vectorii (int n, VECTOR a, VECTOR b, VECTOR c)
{
/* aduna doi vectori a + b, a caror indcsi incep de la 1 */
int i;
for (i = 1; i <= n; i++)
c[i] = a[i] + b[i];
}
```

Fișierul `rw_matrix.c`:

```
#include "nrutil_lmn.h"
```

```

int
main (void)
{
/* program principal - citeste o matrice patrata, reala, si o scrie */

    int n; /* dimensiunea matricelor */
    MATRIX a; /* matricea */

    int i, j;

    printf ("\n Introduceți dimensiunea matricei ");
    scanf ("%d", &n);

/* aloca spatiu de memorie pentru matrice */
    a = matrix (1, n, 1, n);

/* citeste matricea */
    for (i = 1; i <= n; i++)
        for (j = 1; j <= n; j++)
            {
printf ("\n a[%d][%d] = ", i, j);
scanf ("%f", &a[i][j]);
            }

/* afiseaza matricea */
printf ("\n Matricea citita este \n");
for (i = 1; i <= n; i++)
    for (j = 1; j <= n; j++)
        printf ("a[%d][%d] = %f \n", i, j, a[i][j]);

/* elibereaza spatiu de memorie */
free_matrix (a, 1, n, 1, n);
return (0);
}

```

Fișierul nrutil_lmn.c

```

#include "nrutil_lmn.h"

void
nrerror (char error_text[])
{
    fprintf (stderr, "Run-time error...\n");
    fprintf (stderr, "%s\n", error_text);
    fprintf (stderr, "...now exiting to system...\n");
    exit (1);
}

VECTOR
vector (int nl, int nh)
{
    VECTOR v;

    v = (float *) malloc ((unsigned) (nh - nl + 1) * sizeof (float));
    if (!v)
        nrerror ("allocation failure in vector()");
    return v - nl;
}

IVECTOR
ivector (int nl, int nh)
{
    IVECTOR v;

    v = (int *) malloc ((unsigned) (nh - nl + 1) * sizeof (int));
    if (!v)
        nrerror ("allocation failure in ivector()");
    return v - nl;
}

MATRIX
matrix (int nrl, int nrh, int ncl, int nch)
{
    int i;
    MATRIX m;

    m = (float **) malloc ((unsigned) (nrh - nrl + 1) * sizeof (float *));

```

```

if (!m)
    nrerror ("allocation failure 1 in matrix()");
m -= nrl;

for (i = nrl; i <= nrh; i++)
    {
    m[i] = (float *) malloc ((unsigned) (nch - ncl + 1) * sizeof (float));
    if (!m[i])
nrerror ("allocation failure 2 in matrix()");
    m[i] -= ncl;
    }
return m;
}

IMATRIX
imatrix (int nrl, int nrh, int ncl, int nch)
{
    int i;
    IMATRIX m;

    m = (int **) malloc ((unsigned) (nrh - nrl + 1) * sizeof (int *));
    if (!m)
        nrerror ("allocation failure 1 in imatrix()");
    m -= nrl;

    for (i = nrl; i <= nrh; i++)
        {
        m[i] = (int *) malloc ((unsigned) (nch - ncl + 1) * sizeof (int));
        if (!m[i])
nrerror ("allocation failure 2 in imatrix()");
        m[i] -= ncl;
        }
    return m;
}

void
free_vector (VECTOR v, int nl, int nh)
{
    free ((char *) (v + nl));
}

void
free_ivector (IVECTOR v, int nl, int nh)
{
    free ((char *) (v + nl));
}

void
free_matrix (MATRIX m, int nrl, int nrh, int ncl, int nch)
{
    int i;

    for (i = nrh; i >= nrl; i--)
        free ((char *) (m[i] + ncl));
    free ((char *) (m + nrl));
}

void
free_imatrix (IMATRIX m, int nrl, int nrh, int ncl, int nch)
{
    int i;

    for (i = nrh; i >= nrl; i--)
        free ((char *) (m[i] + ncl));
    free ((char *) (m + nrl));
}

```

Fişierul nrutil_lmn.h

```

#include<stdio.h>
#include<stdlib.h>
#include<math.h>
#include<malloc.h>
#include<time.h>

typedef float **MATRIX;
typedef float *VECTOR;
typedef int **IMATRIX;
typedef int *IVECTOR;

void nrerror (char error_text[]);

```

```

VECTOR vector (int nl, int nh);
IVECTOR ivector (int nl, int nh);
MATRIX matrix (int nrl, int nrh, int ncl, int nch);
IMATRIX imatrix (int nrl, int nrh, int ncl, int nch);
void free_vector (VECTOR v, int nl, int nh);
void free_ivector (IVECTOR v, int nl, int nh);
void free_matrix (MATRIX m, int nrl, int nrh, int ncl, int nch);
void free_imatrix (IMATRIX m, int nrl, int nrh, int ncl, int nch);

```

0.4.2 Vectori

În C există o strânsă corespondență între adrese (pointeri) și tablouri. În acest paragraf vom considera tablourile unidimensionale.

Valoarea reprezentată de $a[j]$ este același lucru cu $*(a+j)$ adică ”conținutul adresei obținute incrementând pointer-ul a cu j . O consecință a acestei definiții este aceea că dacă a este adresa unei locații valide, atunci $a[0]$ este întotdeauna definit. Tablourile unidimensionale au în C, în mod natural, originea în 0. Un șir definit de

```
float b[4]
```

are referințele valide $b[0]$, $b[1]$, $b[2]$ și $b[3]$, dar nu și $b[4]$.

Problema este că mulți algoritmi sunt descriși în mod natural cu indici care încep de la 1. Cu siguranță că acești algoritmi pot fi modificați, dar aceasta presupune o aritmetică suplimentară în operarea cu indici, lucru care nu este prea plăcut. Putem însă folosi puterea limbajului C pentru ca această problemă să dispară. Ideea este simplă:

```
float b[4], *bb;
bb = b - 1;
```

Pointer-ul bb indică acum o locație înaintea lui b . În consecință, elementele $bb[1]$, $bb[2]$, $bb[3]$ și $bb[4]$ există și vectorul bb are indici ce pornesc de la 1.

Uneori este convenabil să avem vectori care pornesc din 0, iar alteori este convenabil să avem vectori care pornesc din 1. De exemplu, coeficienții unui polinom $a_0 + a_1x + \dots + a_nx^n$ necesită un vector cu indici ce încep cu 0, pe când termenul liber al unui sistem de ecuații $b_i, i = 1, \dots, n$ necesită un vector cu indici ce încep din 1.

Pentru a evita rescrierea algoritmilor ce sunt deduși în mod natural cu indici ce pornesc de la 1, puteți folosi o funcție cu următoarea definiție.

```
typedef float *VECTOR;

VECTOR vector (int nl, int nh)
{
```

```
VECTOR v;  
  
v = (float *) malloc ((unsigned) (nh - nl + 1) * sizeof (float));  
if (!v)  
    perror ("allocation failure in vector()");  
return v - nl;  
}
```

Această funcție alocă un vector de variabile de tip `float`, care vor fi accesate cu indici cuprinși între `nl` și `nh`.

O utilizare tipică a acestei funcții este

```
float *b;  
b = vector(1,7);
```

Această funcție precum și funcții similare ce alocă vectori de întregi se găsesc în fișierul `nrrutil_lmn.c` pe care îl puteți descărca de la adresa <http://mn.lmn.pub.ro/>.

Acest fișier conține și rutinele corespunzătoare de dealocare. De exemplu, pentru dealocarea memoriei ocupate de vectorul definit mai sus, instrucțiunea este

```
free_vector(b,1,7);
```

0.4.3 Matrice

Problema indicilor ce pornesc de la 0 sau de la 1 apare și în cazul matricelor. În sintaxa C, lucrul cu tabele bidimensionale este puțin mai complicat. Să considerăm o valoare reală `a[i][j]` unde `i` și `j` sunt întregi. Un compilator de C va genera coduri mașină diferite pentru această referință, aceasta depinzând de declarația pentru variabila `a`. Dacă `a` a fost declarată de dimensiune fixă, de exemplu `float a[2][4]` atunci codul mașină ar putea fi descris astfel: "la adresa `a` adună de 4 ori `i`, apoi adună `j` și întoarce valoarea astfel adresată. Observați că valoarea constantă 4 trebuie cunoscută pentru a efectua în mod corect calculele.

Să presupunem că `a` a fost declarat ca `float **a`. Atunci codul mașină `a[i][j]` este "la adresa `a` adună `i`, valoarea astfel adresată consider-o o nouă adresă, la care adună `j` și întoarce valoarea astfel adresată.

Ilustrarea celor două moduri de accesare a unei valori este dată în figura 2. Observați că în al doilea caz nu este necesară cunoașterea dimensiunii matricei și că nu este nevoie de nici o înmulțire. O indirectare suplimentară înlocuiește aceste informații. Această a doua schemă o recomandăm pentru lucrul la laboratorul de metode numerice.

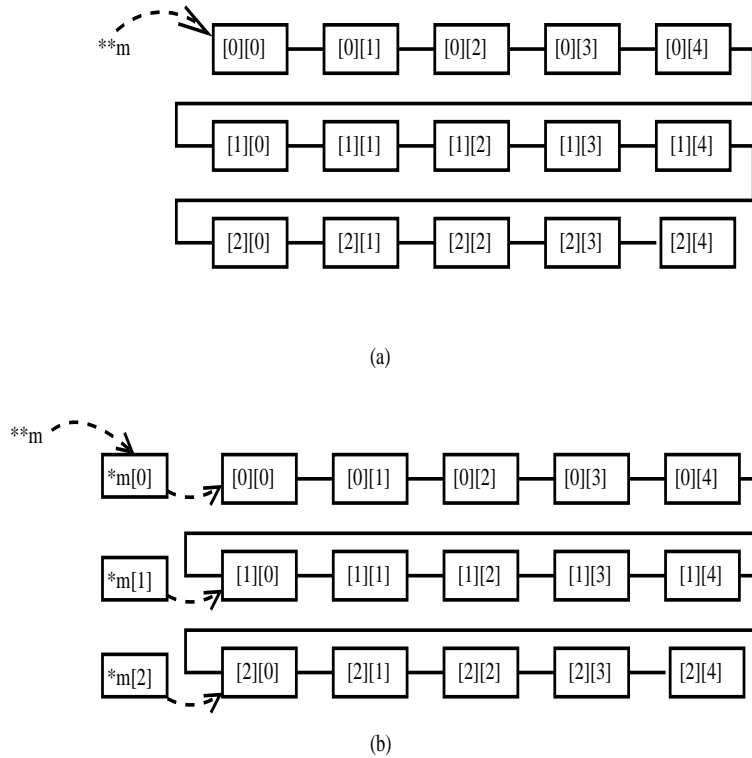


Figura 2: Două scheme de memorare pentru matricea m . Liniile întrerupte reprezintă pointeri la adrese, iar liniile continue conectează locații de memorie secvențiale. (a) Pointer la un tablou bidimensional de dimensiune fixată; (b) Pointer la un tablou de pointeri către pointeri la linii.

Ideea pe scurt: vom evita tablourile bidimensionale de dimensiune fixă. Ele nu sunt structuri de date potrivite pentru reprezentarea matricelor în calculele științifice.

Lucrarea 1

Implementarea structurilor de date și a algoritmilor numerici

1.1 Caracterizarea lucrării

Rezolvarea problemelor științifice și tehnice cu ajutorul calculatorului numeric presupune identificarea unei metode matematice de rezolvare și apoi implementarea acesteia pe un sistem de calcul.

În afara algoritmului propriu-zis de rezolvare, un rol la fel de important în implementare îl are și alegerea exactă a structurilor de date. În final, programul se bazează pe algoritm (descrierea operațiilor ce vor fi efectuate pentru obținerea soluției) și pe structura de date (modul în care se reprezintă datele de intrare, variabilele intermediare și datele de ieșire). Pentru descrierea structurilor de date și a algoritmilor se poate utiliza un limbaj de programare (Basic, FORTRAN, Pascal, C, etc.) sau un pseudolimbaj cu o sintaxă mai puțin rigidă. Pentru a evidenția invarianța algoritmilor la limbajul ales se preferă a doua metodă.

Scopul acestei lucrări este de a familiariza utilizatorii cu **gândirea algoritmică structurată** (prin folosirea pseudocodului), de a evidenția metodele de implementare a pseudocodului în diferite limbaje de programare și, nu în ultimul rând, de a evidenția importanța tipurilor abstracte de date cu caracter matematic (vectori, matrice, numere complexe, etc.).

1.2 Descrierea pseudolimbajului

Pseudocodul (pseudolimbajul) este o metodă simplă și eficientă pentru reprezentarea unui algoritm și a structurilor de date asociate. Pseudocodul este de fapt un text alcătuit

din linii (rânduri), fiecare conținând, de regulă, o *declarație* (al cărei scop principal constă în descrierea datelor) sau o *instrucțiune* (care descrie o operație ce va fi efectuată).

O linie de pseudocod este alcătuită din cuvinte și simboluri (caractere speciale nealfanumerice). Anumite cuvinte, cu o semnificație bine determinată, independente de aplicație, se numesc **cuvinte cheie** și pentru a fi deosebite de celelalte cuvinte, specifice aplicației sunt de obicei îngroșate.

Orice linie poate conține precizări suplimentare, numite *comentarii*, care ajută la înțelegerea pseudocodului, fără să facă parte din descrierea propriu-zisă a algoritmului sau a structurii de date. Comentariile sunt plasate la sfârșitul liniei cu caracterul ”;”.

1.2.1 Structuri de date

Declarațiile se referă la datele cu care se operează și care pot fi de tip *simplic* (*fundamental*) sau *structurate* (*agregate*).

Se consideră următoarele categorii de *date fundamentale*:

- **logic** - date cu două valori (0 = fals și 1 = adevărat);
- **întreg** - date care pot avea valori întregi;
- **real** - aproximări ale numerelor reale;
- **caracter** - literă, cifră sau semn special (aritmetic sau de punctuație).

Exemple de declarații ale unor variabile de tip fundamental:

```
logic l1, l2, l3
întreg i, j, s
real a, m, x, j
caracter c
```

Se constată că o declarație conține cuvântul cheie ce specifică tipul, urmat de lista numelor variabilelor de tipul respectiv, nume separate prin virgulă. Numele variabilelor sunt cuvinte alcătuite din litere și cifre (primul caracter trebuie să fie literă) și au semnificația limitată la aplicația respectivă. Se recomandă ca numele variabilelor să fie sugestiv alese (de exemplu: ”masa”, ”volum”, ”curent”, etc.), iar pentru eliminarea ambiguităților, fiecare mărime cu care se operează într-o problemă să aibă propria sa declarație, eventual însoțită de un comentariu:

```
real q           ; sarcina corpului
real i           ; intensitatea curentului
```

Pentru rezolvarea unor probleme mai complicate, tipurile fundamentale de date nu sunt suficiente, ci este necesară o "agregare" a datelor. Acest lucru se realizează prin folosirea cuvintelor cheie:

- **tablou** - structură de date ce conține un număr cunoscut de elemente de același tip;
- **înregistrare** - structură de date ce poate conține elemente de tipuri diferite.

O declarație de variabilă de tip tablou conține cuvântul cheie **tablou**, numele tabloului (variabilei) și dimensiunea acestuia.

Exemple de declarații de tablou:

- **tablou real** $V[3]$; V este un tablou de trei elemente reale
- **tablou întreg** $a[5], b[7]$; a este un tablou de 5 întregi și b este un tablou de 7 întregi

Cu toate că tabloul are un singur nume pentru întreaga structură de date, elementele acestuia se identifică folosind indexul (numărul de ordine al elementului), ca de exemplu: $V(1)$, $V(2)$, $b(5)$, etc. În pseudocod se permite și folosirea notațiilor V_1, V_2, b_5 , etc. sau V_i , cu condiția ca i să fie cuprins între 1 și dimensiunea tabloului (pentru tabloul V de mai sus, $1 \leq i \leq 3$).

Exemplu de declarație a unei înregistrări:

```

înregistrare punct
    logic cartezian
    real  $x_1$ 
    real  $x_2$ 

```

Această înregistrare se referă la conceptul de "punct", care este definit ca o agregare a unei variabile logice "cartezian" și a două variabile reale x_1, x_2 . Punctul poate fi descris prin coordonate carteziane (cartezian = adevărat, $x_1 = x, x_2 = y$) sau polare (cartezian = fals, $x_1 = \text{raza}, x_2 = \text{unghiul}$).

Un alt exemplu îl constituie :

```

înregistrare monom
    întreg n
    real a

```

care reprezintă monomul ax^n , descris de ordinul întreg n și coeficientul real a .

Referirea la un element al înregistrării se face prin numele înregistrării urmat de numele câmpului (elementului), nume separate prin caracterul ".", de exemplu: monom.a, punct.cartezian, etc.

În pseudolimbaj se admit mai multe niveluri de agregare, deci se pot construi tabele de tabele, tablou de înregistrări sau alte combinații.

Pentru a ușura astfel de construcții se introduce cuvântul cheie **tip**, care atunci când precede o declarație are ca efect extinderea tipurilor standard **logic**, **întreg**, **real**, **caracter**, **tablou**, **înregistrare** cu un nou tip de date definit de utilizator și indicat de numele "variabilei" introdus prin declarația respectivă.

De exemplu:

```
tip tablou real vector[3] ; introduce tipul vector
înregistrare monom      ; introduce tipul monom
      întreg n
      real a
```

Declarația:

```
tip tablou monom polinom[10]
```

introduce tipul "polinom" ca fiind un tablou de 10 elemente, fiecare element fiind de tip monom.

1.2.2 Structuri de control

Instrucțiunile unui pseudocod descriu operațiile pe care le va efectua sistemul de calcul cu datele descrise anterior prin declarații. Instrucțiunile sunt de două feluri: *simple* și *structurate*.

Instrucțiunile simple sunt:

- de atribuire;
- de intrare;
- de ieșire.

Instrucțiunea de atribuire are sintaxa:

variabilă = expresie

în care "variabilă" este numele unei variabile a cărei valoare va fi modificată în urma instrucțiunii, iar "expresie" este o construcție sintactică alcătuită din constante, variabile, operatori și paranteze, după regulile uzuale din algebră. Efectul execuției instrucțiunii de atribuire constă în evaluarea expresiei și modificarea în concordanță a variabilei al cărei nume se află la stânga semnului egal.

Se consideră că operanzii care intervin în expresii au valori corespunzătoare unuia din tipurile fundamentale. Dacă operanzii sunt de tip logic, atunci se admit operatorii logici **nu**, **sau**, **și**, ca în exemplele:

logic l1, l2, l3
 l1 = **nu** (l2)
 l3 = l1 **sau** l2
 l3 = l1 **și** l2

Dacă operanzii sunt numerici (**real** sau **întreg**) se admit operatori aritmetici (+, -, *, /) sau de relație (=, ≠, ≤, ≥, <, >), ca în exemplele:

real a, b, x, y;
logic l1;
 $y = (ax + b)/(2x - b)$
 $l1 = (x \leq b) \text{ și } (x > a)$

În primul caz rezultatul este de tip numeric, iar în al doilea caz, de tip logic.

Operanzii de tip caracter admit doar operatori de relație (se admite ordonarea lexicografică conform codului ASCII), ca în exemplul:

$l2 = C > 'A'$; caracterul conținut de variabila C este ulterior literei $'A'$

Instrucțiunile de intrare-ieșire au sintaxa:

citește variabile
scrie variabile

Prima instrucțiune are ca efect transferul pe canalul de intrare al unei valori (de exemplu introducerea ei de la tastatură), care modifică valoarea variabilei specificate, iar a doua are ca efect transferul valorii variabilei pe canalul de ieșire (de exemplu afișarea pe ecran sau tipărirea la imprimantă).

De exemplu, pseudocodul:

```
real  $x, y, s, p$   
citește  $x, y$   
 $s = x + y$   
 $p = xy$   
scrie  $s, p$   
stop
```

reprezintă un program simplu, capabil să calculeze suma și produsul a două numere reale. Programul se încheie printr-o altă instrucțiune simplă, cu sintaxa:

```
stop
```

care are ca efect *terminarea execuției* programului respectiv.

Pentru realizarea unor operații mai complicate se folosesc în afara instrucțiunilor simple, instrucțiunile structurate, care sunt:

- secvența;
- decizia (cu sau fără alternativă);
- ciclul (cu test inițial, cu test final sau cu contor);
- rutina (procedură sau funcție).

Secvența (sau blocul de instrucțiuni) reprezintă un șir de instrucțiuni simple sau structurate (scrise câte una pe linie, în linii succesive), care se execută una după alta, în ordinea în care au fost scrise.

Programul anterior este un exemplu de secvență.

Decizia este o instrucțiune care permite controlul execuției și are una din următoarele variante de secvență:

- *decizia simplă*

dacă condiție **atunci**
 secvență

- *decizia cu alternativă*

dacă condiție **atunci**
 secvență 1
altfel
 secvența 2

în care "condiție" este o expresie de tip logic, iar "secvența" este o secvență de una sau mai multe instrucțiuni. Pentru a ușura înțelegerea acestei instrucțiuni se constată că secvențele sunt scrise indentat (retrase față de cuvântul cheie **dacă**). În urma execuției acestei instrucțiuni se evaluează expresia logică "condiție". Dacă valoarea rezultată este adevărată, atunci se execută "secvența" (respectiv "secvența 1"), altfel se continuă cu instrucțiunea următoare (respectiv se execută "secvența 2").

Exemple de instrucțiuni de decizie:

; funcția matematică modul $y = |x|$
dacă $x \geq 0$ **atunci**
 $y = x$
altfel
 $y = -x$

Pentru implementarea funcției definite pe porțiuni:

$$y = \begin{cases} 0, & x < -1 \\ 2x, & -1 \leq x \leq 1 \\ x^2, & x > 1 \end{cases}$$

se poate folosi pseudocodul:

dacă $x < -1$ **atunci**
 $y = 0$
altfel dacă $(x \geq -1)$ **și** $(x \leq 1)$
 $y = 2x$
altfel
 $y = x$

Ciclul reprezintă o instrucțiune care permite repetarea unei secvențe. Se deosebesc trei feluri de cicluri:

- cu test inițial;
- cu test final;
- cu contor.

Ciclul cu test inițial are sintaxa:

cât timp condiție **repetă**
secvența

Efectul este evaluarea expresiei logice ”condiție”. Dacă rezultatul este afirmativ (adevărat), atunci se execută secvența și ciclul se reia până când ”condiție” devine falsă, după care se sare peste ”secvența” și se continuă cu următoarea instrucțiune. Se constată că este posibilă repetarea infinită a ciclului dacă valoarea logică a condiției rămâne mereu adevărată. Este responsabilitatea programatorului să asigure caracterul finit al ciclului.

În exemplul următor:

```

k = 1
s = 0
cât timp  $a_k > 0$  repetă
    s = s +  $a_k$ 
    k = k + 1
scrie s

```

este utilizat ciclul cu test inițial pentru a aduna elementele unui tablou până la întâlnirea primului element negativ.

Ciclul cu test final are sintaxa:

repetă
secvența
până când condiție

”secvența” fiind executată repetat până când ”condiție” devine adevărată. Spre deosebire de ciclul cu test inițial, în acest caz corpul ciclului este executat cel puțin o dată.

În exemplul următor se calculează cu eroare impusă suma seriei cu termenul general $(-1)^k/k!$

```

întreg k
real s, t, eps
t = 1
k = 1
s = 0
repetă
    t =  $\frac{-t}{k}$ 
    s = s + t
    k = k + 1
până când |t| < eps

```

Ciclul cu contor permite repetarea unei secvențe de un număr determinat de ori. Sintaxa ciclului cu contor este:

```

pentru contor = val_in, val_fin, pas repetă
    secvență

```

în care "contor" este numele unei variabile de tip **întreg**, "val_in", "val_fin" și "pas" sunt constante sau expresii de tip **întreg**. Secvența de instrucțiuni din corpul ciclului este repetată pentru valori succesive ale contorului, pornind de la valoarea inițială "val_in", incrementat cu pasul "pas" până când acesta depășește valoarea finală "val_fin". Dacă în instrucțiune lipsește valoarea "pas" se presupune că aceasta are valoarea implicită "1".

În exemplul următor:

```

s = 0
pentru k = 1, n
    s = s + ak
scrie s

```

se calculează suma primelor n elemente ale tabloului a .

Se întâlnesc des situații în care o anumită secvență de instrucțiuni trebuie executată de mai multe ori, în momente diferite ale execuției unui program. Pentru a evita rescrierea de mai multe ori a acestei secvențe se folosește conceptul de *rutină*.

O rutină reprezintă o secvență de declarații și instrucțiuni căreia i se atribuie un nume. Dacă într-un program se face apel la o rutină, controlul se transferă rutinei, iar după încheierea acesteia se revine în programul apelant. În consecință, o rutină presupune pe de o parte *definiția* acesteia (prin specificarea declarațiilor și instrucțiunilor care o

alcătuiesc), iar pe de altă parte *apelul* ei. Utilizarea rutinelor este justificată chiar și în cazul în care ele sunt apelate o singură dată în program, deoarece ele permit *structurarea modulară* a unui algoritm. Pentru a realiza aceasta, o rutină trebuie să aibă o anumită consistență, să îndeplinească o funcție bine definită, ceea ce permite reutilizarea ei și în alte programe.

După modul de apelare, rutinele se împart în două categorii:

- proceduri;
- funcții.

Procedura este definită printr-o construcție sintactică de forma:

```
procedură nume(listă parametri formali)
           secvența
retur
```

în care ”**nume**” este numele procedurii alcătuit din caractere alfanumerice, iar ”**lista parametrilor formali**” conține nume de variabile separate prin virgule. O parte din parametrii formali sunt *parametrii de intrare* (ai căror valori provin din programul apelant și se transferă procedurii), iar restul sunt *parametrii de ieșire* (ai căror valori se determină în procedură și se transferă programului apelant). Apelul unei proceduri astfel definite se face prin invocarea numelui ei urmat de lista parametrilor actuali:

```
nume (lista de parametri actuali)
```

Parametrii actuali trebuie să concorde ca număr, tip și ordine cu cei formali (dar nu obligatoriu și ca nume).

În exemplul următor:

```
citește a, b
sumaprod (a, b, s, p)
scrie s, p
sumaprod (s, p, s1, p1)
scrie s1, p1
```

se face apel la procedura definită astfel:

```

procedură sumaprod ( $x, y, suma, prod$ )
real  $x, y, suma, prod$ 
    suma =  $x + y$ 
    prod =  $xy$ 
retur

```

în care are x, y sunt parametri formali de intrare și $suma, prod$ sunt parametri formali de ieșire. În urma primului apel al acestei proceduri (cu parametri actuali de intrare a, b) se calculează și se afișează $s = a + b, p = ab$, iar în urma celui de al doilea apel se calculează și se afișează $s1 = s + p = a + b + ab, p1 = sp = (a + b)ab$.

În cazul unei proceduri, numărul parametrilor de intrare sau de ieșire este arbitrar (poate fi inclusiv nul).

O altă variantă de rutină este *funcția*, la care toți parametrii formali sunt parametri de intrare, dar rutina de tip funcție întoarce o valoare. Definiția funcției se realizează prin construcția sintactică:

```

funcție nume (lista parametrii formali)
    secvența
întoarce valoare

```

Funcția poate fi apelată ca operand într-o expresie, în particular într-o atribuire de tipul

```
valoare = nume (lista de parametri actuali)
```

Funcția se aseamănă cu o procedură cu un singur parametru de ieșire dar, față de aceasta, are o flexibilitate suplimentară în apel. Exemplul următor:

```

real  $a, b, x$ 
citește  $a, b$ 
 $x = \min(a, b) / \max(a, b)$ 
scrie  $x$ 

```

folosește două funcții \max și \min definite prin:

```

funcție  $\max(x, y)$  ; valoare maximă
real  $x, y, m$ 

```

dacă $x > y$ **atunci**

$m = x$

altfel

$m = y$

întoarce m

funcție $\min(x, y)$; valoare minimă

real x, y, m

dacă $x > y$ **atunci**

$m = y$

altfel

$m = x$

întoarce m

Funcțiile elementare (modul, radical, putere, exponențială, logaritm, sin, cos, tg, sh, ch, th) se consideră predefinite în pseudocod, deoarece majoritatea limbajelor de programare de nivel înalt le au implementate.

1.3 Tipuri abstracte de date

Tipurile abstracte de date reprezintă concepte importante ale programării structurate moderne.

Un tip abstract de date este o structură de date definită de utilizator (folosind cuvântul cheie **tip**) completată cu o serie de rutine (proceduri sau funcții), care definesc operațiile ce pot fi executate cu date de acest tip. În acest fel se extind tipurile fundamentale de date (**logic**, **întreg**, **real**, care reprezintă algebra booleană, inelul \mathbf{z} și corpul \mathbb{R}) prin implementarea și a altor structuri matematice (algebrice sau topologice) cum sunt spațiile vectoriale, corpul numerelor complexe, inelul polinoamelor sau al matricelor.

Aceste structuri de primă importanță în matematică se întâlnesc în rezolvarea pe cale numerică a multor probleme științifice sau tehnice. Ele nu sunt legate de o anumită aplicație ci au un caracter general.

În continuare sunt prezentate în pseudocod câteva din tipurile abstracte de date uzuale.

Spațiul vectorial n -dimensional \mathbb{R}^n

Un element $v = (v_1, v_2, \dots, v_n)$ al spațiului \mathbb{R}^n poate fi reprezentat ca un tablou cu n componente reale. Operațiile algebrice caracteristice unui spațiu vectorial sunt:

- adunarea $u, v \in \mathbb{R}^n$

$$u + v = (u_1, \dots, u_n) + (v_1, \dots, v_n) = (u_1 + v_1, \dots, u_n + v_n)$$

- înmulțirea cu un scalar $a \in \mathbb{R}, v \in \mathbb{R}^n$

$$av = a(v_1, v_2, \dots, v_n) = (av_1, av_2, \dots, av_n).$$

Elementul nul $0 = (0, 0, \dots, 0) \in \mathbb{R}^n$ are toate componentele nule, iar opusul unui vector $-v = (-v_1, \dots, -v_n) = -1 \cdot v$. Implementarea acestui tip abstract de date este realizată de pseudocodul:

tip tablou real vector (n)

procedură adv(u, v, w) ; adunarea vectorilor $w = u + v$
 vector u, v ; date de intrare
 vector w ; suma - data de ieșire
pentru $i = 1, n$
 $w_i = u_i + v_i$

retur

procedură inm(a, v, w) ; înmulțește vectorul v cu scalarul a
real a ; data de intrare
 vector v ; vector de intrare
 vector w ; rezultă $w = av$
pentru $i = 1, n$
 $w_i = av_i$

retur

Spațiul euclidian

Spațiul euclidian este un spațiu vectorial înzestrat cu o normă care provine dintr-un produs scalar:

$$u \cdot v = (u_1, u_2, \dots, u_n) \cdot (v_1, v_2, \dots, v_n) = \sum_{i=1}^n u_i v_i$$

unde $u, v \in \mathbb{R}^n$. Norma euclidiană este o aplicație pozitiv definită:

$$\| \cdot \| : \mathbb{R}^n \rightarrow \mathbb{R}$$

$$\|u\| = \sqrt{u \cdot u}$$

cunoscută și sub numele de modulul vectorului.

Pentru definirea unui spațiu euclidian se folosește pseudocodul:

tip vector euclidian

funcție produs(u, v) ; produsul scalar

euclidian u, v ; factori

real p ; produsul scalar $p = uv$

$p = 0$

pentru $i = 1, n$

$p = p + u_i v_i$

întoarce p

funcția norma (u) ; norma euclidiană a vectorului u

euclidian u, v

real norma

norma = $\sqrt{\text{produs}(u, u)}$

întoarce norma

Inelul polinoamelor

Un polinom algebric de gradul n este o construcție de forma:

$$P(x) = a_0 + a_1x + a_2x^2 + \dots + a_nx^n$$

definită de coeficienții $p = (a_0, a_1, \dots, a_n)$, deci este reprezentabil printr-un tablou real. Un polinom este un element al unui spațiu liniar (vectorial) deoarece suma a două polinoame se realizează prin suma coeficienților, iar produsul cu un scalar prin înmulțirea tuturor coeficienților cu scalarul respectiv. Prin produsul a două polinoame de același grad se obține un polinom de grad dublu. Dacă:

$$P(x) = \sum_{i=0}^n a_i x^i$$

și

$$Q(x) = \sum_{i=0}^n b_i x^i,$$

atunci

$$\begin{aligned} P(x)Q(x) &= \left(\sum_{i=0}^n a_i x^i \right) \left(\sum_{i=0}^n b_i x^i \right) = \\ \text{right} &= a_0 b_0 + (a_0 b_1 + a_1 b_0)x + (a_0 b_2 + a_1 b_1 + a_2 b_0)x^2 + \dots \end{aligned}$$

O operație importantă este cea de evaluare a unui polinom. Pentru a micșora efortul de calcul, aceasta va fi efectuată sub forma:

$$P(x) = a_0 + a_1x + a_2x^2 + \dots + a_nx^n = a_0 + x(a_1 + x(a_2 + x(a_3 + x(\dots))))$$

care evită calculul puterilor x^k .

Următorul pseudocod permite implementarea acestui tip abstract de date:

tip vector polinom

procedură prodp(n, r, q, p); înmulțirea polinoamelor $p = rq$

întreg n ; gradul factorilor
 polinom r, q ; factori
 polinom p ; rezultat
întreg i, j, k ; variabile intermediare
pentru $i = 0, 2n$
 $p_i = 0$
pentru $i = 0, n$
 pentru $j = 0, n$
 $k = i + j$; gradul monomului rezultat
 $p_k = p_k + r_i q_j$

retur

funcție evalp(n, p, x) ; evaluează polinomul $p(x)$

întreg n ; gradul polinomului
 polinom p ; tabelul coeficienților
real x ; variabile independentă
real v ; valoare polinom
 $v = p_n$
pentru $i = n - 1, 0, -1$
 $v = p_i + vx$

întoarce v

Inelul matricelor pătratice ($\mathbb{R}^{n \times n}$)

O matrice pătrată $A \in \mathbb{R}^{n \times n}$ este un tablou bidimensional:

$$A = [a_{ij}]_{i=1,n;j=1,n} = \begin{bmatrix} a_{11} & a_{12} & \cdots & a_{1n} \\ a_{21} & a_{22} & \cdots & a_{2n} \\ \cdots & \cdots & \cdots & \cdots \\ a_{n1} & a_{n2} & \cdots & a_{nn} \end{bmatrix}.$$

Suma a două matrice: $A = [a_{ij}], B = [b_{ij}] \in \mathbb{R}^{n \times n}$ se realizează pe elemente:

$$A + B = [a_{ij} + b_{ij}],$$

înmulțirea cu un scalar $\alpha \in \mathbb{R}$ este definită de:

$$\alpha A = [\alpha a_{ij}],$$

iar produsul a două matrice pătrate este o matrice de același tip:

$$AB = [a_{ij}][b_{ij}] = \left[\sum_{k=1}^n a_{ik} b_{kj} \right]_{i=1, n; j=1, n}.$$

Pentru implementarea acestui tip abstract de date se folosește pseudocodul:

tip tablou real matrice (n, n)

procedură adm(a, b, c) ; adunarea matricelor $c = a + b$

matrice a, b ; termeni

matrice c ; rezultat

pentru $i = 1, n$

pentru $j = 1, n$

$$c_{ij} = a_{ij} + b_{ij}$$

retur

procedură inm(α, b, c) ; înmulțește matricea b cu scalarul α

real α

matrice b ; termeni

matrice c ; rezultat

pentru $i = 1, n$

pentru $j = 1, n$

$$c_{ij} = \alpha b_{ij}$$

retur

procedură prodm(a, b, c) ; înmulțirea matricelor

matrice a, b ; factori

matrice c ; produs

pentru $i = 1, n$

pentru $j = 1, n$

$$c_{ij} = 0$$

pentru $k = 1, n$

$$c_{ij} = a_{ik} b_{kj} + c_{ij}$$

retur

Corpul numerelor complexe

Un număr complex $z = a + jb$ este reprezentat printr-o pereche de numere reale (a - partea reală, b - partea imaginară).

Adunarea numerelor complexe $z_1 = a_1 + jb_1$, $z_2 = a_2 + jb_2$ se realizează conform relației:

$$z_1 + z_2 = (a_1 + a_2) + j(b_1 + b_2).$$

Elementul neutru față de adunare este $0 = 0 + j0$, iar opusul unui număr complex $-z = -(a + jb) = -a - jb$.

Înmulțirea numerelor complexe $z_1 = a_1 + jb_1$, $z_2 = a_2 + jb_2$ este realizată de operația:

$$z_1 z_2 = (a_1 + jb_1)(a_2 + jb_2) = a_1 a_2 - b_1 b_2 + j(a_1 b_2 + a_2 b_1).$$

Elementul neutru față de înmulțire este $1 = 1 + j0$, iar inversul unui număr complex $1/z = 1/(a + jb) = (a - jb)/(a^2 + b^2)$.

O funcție importantă este modulul unui număr complex, definit prin:

$$|z| = |a + jb| = \sqrt{a^2 + b^2}.$$

Următorul pseudocod implementează acest tip abstract de date:

tip înregistrare complex

real : re

real : im

procedură sumac(u, v, w) ; calculează suma numerelor complexe

complex u, v ; termeni

complex w ; $w = u + v$

$w.re = u.re + v.re$

$w.im = u.im + v.im$

retur

procedură prodc(u, v, w) ; calculează produsul numerelor complexe

complex u, v ; termeni

complex w ; $w = uv$

$w.re = u.re \cdot v.re - u.im \cdot v.im$

$w.im = u.re \cdot v.im + u.im \cdot v.re$

retur

procedură difc(u, v, w) ; calculează diferența numerelor complexe
 complex u, v ; termeni
 complex w
 $w.re = u.re - v.re$
 $w.im = u.im - v.im$
retur

procedură rapc(u, v, w) ; calculează raportul numerelor complexe
 complex u, v ; termeni
 complex w
 real $v2$
 $v2 = v.re \cdot v.re + v.im \cdot v.im$
 $w.re = (u.re \cdot v.re + u.im \cdot v.im) / v2$
 $w.im = (u.im \cdot v.re - u.re \cdot v.im) / v2$
retur

funcția modulc(u) ; calculează modulul numărului complex
 complex u
 real m
 $m = \sqrt{(u.re \cdot u.re + u.im \cdot u.im)}$
întoarce m

Următorul exemplu de program:

```
complex Z1, Z2, Z3, Z4, Z
citește Z1, Z2
prodc (Z1, Z2, Z3)
sumac (Z1, Z2, Z4)
rapc (Z3, Z4, Z)
scrie Z
stop
```

permite calculul impedanței complexe echivalente a două elemente cu impedanțe complexe date, conectate în paralel.

1.4 Complexitatea algoritmilor

Calitatea unui algoritm care se presupune că permite obținerea soluției corecte este apreciată prin *eficiența sa spațială* (memoria necesară datelor și programului) și *temporală* (timpul de calcul necesar obținerii soluției).

De exemplu, algoritmul pentru înmulțirea matricelor pătrate n dimensionale necesită $3n^2$ locații de memorie (în fiecare memorându-se un număr real, element al matricei A , B sau C). Dacă dimensiunea n a matricei crește de 10 ori, spațiul necesar crește de 100 ori, motiv pentru care se spune că algoritmul este de ordinul 2 și se scrie $M = O(n^2)$.

Pentru evaluarea modului în care timpul de calcul depinde de dimensiunea problemei rezolvată de algoritm, se adoptă ca referință timpul necesar efectuării unei operații elementare (adunare sau înmulțire de numere reale) și apoi se evaluează numărul acestor operații. De exemplu, pentru calculul produsului scalar a doi vectori n dimensionali se efectuează $n - 1$ adunări și n înmulțiri deci un total de $2n - 1$ operații. Deoarece la dublarea dimensiunii se dublează practic numărul de operații, se spune ca acest algoritm are ordinul de complexitate liniar și se notează $T = O(n)$.

În algoritmii numerici timpul de calcul este consumat mai ales în operațiile repetate ciclic. Ordinul de complexitate este în general dat de numărul ciclurilor incluse unul în altul, ca în exemplele:

$$c = ab \quad ; \text{ordinul } 0$$

$$\begin{array}{l} \text{pentru } i = 1, n \\ \quad c_i = a_i \cdot b_i \end{array} \quad ; \text{ordinul } 1$$

$$\begin{array}{l} \text{pentru } i = 1, n \\ \quad \text{pentru } j = 1, n \\ \quad \quad c_{ij} = a_i - b_j \end{array} \quad ; \text{ordinul } 2$$

$$\begin{array}{l} \text{pentru } i = 1, n \\ \quad \text{pentru } j = 1, n \\ \quad \quad \text{pentru } k = 1, n \\ \quad \quad \quad c_{ij} = a_{ik} b_{kj} \end{array} \quad ; \text{ordinul } 3$$

În consecință, produsul scalar a 2 vectori este un algoritm de ordinul 1, $T = O(n)$, iar produsul a două matrice pătrate este de ordinul 3, $T = O(n^3)$.

Aceeași problemă poate avea doi sau mai mulți algoritmi de rezolvare cu ordine de complexitate diferite. De exemplu, pentru evaluarea unui polinom se poate folosi procedura:

```

funcție evalpp ( $n, p, x$ )
    întreg  $n$                 ; gradul polinomului
    polinom  $p$                 ; coeficientii polinomului
    real  $x$                     ; variabila independentă
    real  $v$                     ; valoarea polinomului
    real  $xk$                   ; variabilă intermediară
     $v = p_0$ 
    pentru  $i = 1, n$ 
         $xk = p_i$ 
        pentru  $k = 1, i$ 
             $xk = xk \cdot x$ 
         $v = v + xk$ 
    întoarce  $v$ 

```

Acest algoritm are ordinul de complexitate $T = O(n^2/2)$, deci timpul de calcul crește practic cu pătratul gradului polinomului, față de algoritmul folosit în procedura `evalp`, care are ordinul de complexitate liniar $T = O(n)$ și care este deci mai avantajos.

O metodă eficientă pentru micșorarea timpului de calcul constă în scoaterea în afara ciclurilor a calculelor repetate, care au rezultate identice. De exemplu, dacă se dorește generarea matricei $A = [a_{ij}] \in \mathbb{R}^{n \times n}$ cu $a_{ij} = f(x_i)g(y_j)$ în care evaluările funcțiilor f și g cer un efort de calcul mult mai mare decât o înmulțire, se poate folosi algoritmul "natural":

```

pentru  $i = 1, n$ 
    pentru  $j = 1, n$ 
         $a_{ij} = f(x_i) \cdot g(y_j)$ 

```

cu ordinul de complexitate $O(2n^2)$, în care s-a folosit ca operație de referință evaluarea funcției f sau g .

Dacă evaluarea funcției f se face în afara ciclului interior:

```

pentru  $i = 1, n$ 
     $fx = f(x_i)$ 
    pentru  $j = 1, n$ 

```

$$a_{ij} = fx \cdot g(y_j)$$

timpul de calcul scade practic la jumătate, numărul de evaluări ale funcțiilor fiind $n(n+1)$ și ordinul de complexitate $O(n^2)$. Acest ordin se reduce și mai mult, dacă se adoptă algoritmul:

```
pentru  $i = 1, n$   
     $fx_i = f(x_i)$   
pentru  $j = 1, n$   
     $gy_j = g(y_j)$   
pentru  $i = 1, n$   
    pentru  $j = 1, n$   
         $a_{ij} = fx_i \cdot gy_j$ 
```

cu ordinul de complexitate liniar $O(2n)$. Reducerea timpului de calcul s-a făcut pe seama creșterii necesarului de memorie. În prima variantă $M = O(n^2 + 2n)$, în a doua $M = O(n^2 + 2n + 1)$, iar în a treia $M = O(n^2 + 4n)$. La dimensiuni mari ale lui n însă, necesarul de memorie suplimentar este nesemnificativ, astfel încât varianta a treia, cu timp de calcul liniar este cea mai bună.

1.5 Chestiuni de studiat

1. Analiza experimentală a complexității unui algoritm;
2. Utilizarea tipurilor abstracte de date în electrotehnică;
3. Utilizarea unor tipuri abstracte de date într-un limbaj de nivel înalt;
4. Căutarea pe Internet a unor informații legate de implementarea unor structuri de date.

1.6 Modul de lucru

Pentru desfășurarea lucrării se lansează programele demonstrative (clic pe pictograma LMN) și apoi se selectează lucrarea *Implementarea structurilor de date și a algoritmilor numerici* din meniul principal afișat.

Se afișează meniul lucrării care are două opțiuni:

- Analiza algoritmilor
- Calcule în complex

Utilizatorul va selecta succesiv opțiunile dorite.

a) *Analiza experimentală a complexității unui algoritm*

Se selectează opțiunea *Analiza algoritmilor* din meniul lucrării. Aceasta are ca efect lansarea unui submeniu din care se pot apela următoarele proceduri:

- produs scalar a doi vectori n dimensionali;
- produsul a două polinoame de grad n ;
- produsul a două matrice pătrate de $n \times n$ elemente.

Pentru fiecare din cele trei cazuri, utilizatorul trebuie să aleagă valorile lui n . De exemplu, pentru valoarea inițială 0, valoare finală 100000 și pas 10000, produsul scalar va fi apelat, succesiv pentru $n = 10000, 20000, 30000, 40000, 50000, 60000, 70000, 80000, 90000, 100000$. Programul calculează produsul scalar a doi vectori aleatori de dimensiune n și afișează în consola Scilab timpul de calcul.

Datele trebuie trecute într-un tabel de tipul

| n | 20000 | 40000 | 60000 | 80000 | 100000 |
|---------------------------------|-------|-------|-------|-------|--------|
| Timp CPU [s] (produs scalar) | | | | | |

Pentru produsul a două polinoame, dimensiunile recomandate sunt $n = 50, 100, 150, 200, 250, 300$.

Pentru produsul a două matrice, dimensiunile recomandate sunt $n = 10, 20, 30, 40, 50, 60, 70, 80$.

Se vor reprezenta grafic pe hârtie milimetrică cele trei curbe și se vor compara rezultatele cu estimările teoretice.

Indicație: se va verifica în cazul produsului scalar că raportul timp/dimensiune este aproximativ constant, în cazul produsului a două polinoame că raportul timp/(dimensiune la pătrat) este aproximativ constant, etc..

Din datele obținute în cele trei cazuri se va estima timpul CPU al unei operații elementare (se consideră că timpul unei adunări este egal cu timpul unui înmulțiri).

b) *Utilizarea tipurilor abstracte de date în electrotehnică*

Se selectează opțiunea *Calcule în complex*, care are ca efect lansarea unui program ce permite efectuarea diferitelor calcule algebrice cu numere complexe. Programul emulează un calculator de buzunar, care folosește notația poloneză inversă (operand, operand, operator), dar care nu operează cu numere reale ci cu numere complexe.

Introducerea operanzilor în stivă se face prin selectarea butonului:

Stivă → Inserare element.

Selectarea butonului *Stivă* permite și apelul unor funcții utile ca:

Stivă → Ștergere element sau

Stivă → Repetă vârf stivă

Programul permite aplicarea unor operatori unari elementului care se află în vârful stivei. Aceștia sunt:

Operatori_unari → Opus

Operatori_unari → Invers

Operatori_unari → Conjugat

Programul permite și aplicarea unor operatori binari, operanzii fiind în acest caz penultimul și ultimul element (vârful) din stivă. Pentru aceasta selectați, respectiv:

Operatori_binari → Adunare

Operatori_binari → Scădere

Operatori_binari → Înmulțire

Operatori_binari → Împărțire

Stiva este vizualizată pe ecran pe cinci coloane (numar curent, parte reală, parte imaginară, modul și argument exprimat în radiani). Operatorii unari acționează asupra ultimului element introdus în stivă, înlocuindu-l cu valoarea obținută în urma aplicării operatorului, iar stiva nu își modifică dimensiunea.

Operatorii binari folosesc ca operanzi ultimele 2 elemente din stivă iar rezultatul înlocuiește aceste 2 elemente (stiva se micșorează cu un element).

În consecință operatorii unari pot fi aplicați, dacă în stivă se află cel puțin un element, iar operatorii binari, dacă în stivă se află cel puțin 2 elemente.

Stiva este alimentată prin introducerea unui nou număr complex (dimensiunea ei crește cu un element).

Pentru a facilita manipularea stivei sunt disponibili alți 2 operatori cu caracter nenumeric (*repetă vârful stivei*, *șterge vârful stivei*), care modifică (incrementează respectiv decrementează) înălțimea stivei.

Se propune folosirea acestui program în rezolvarea unei probleme de electrotehnică și anume studiul unui circuit de curent alternativ format din trei impedanțe $\underline{Z}_1 = 10 + 5j$, $\underline{Z}_2 = 3 - 7j$, $\underline{Z}_3 = 5 + 2j$ conectate mixt (\underline{Z}_1 în paralel cu \underline{Z}_2 și rezultatul în serie cu \underline{Z}_3) alimentat de la o sursă cu t.e.m reprezentată în complex ca $\underline{E} = 100j$.

Se vor calcula succesiv

$$\begin{aligned}\underline{Z}_{12} &= (\underline{Z}_1 \underline{Z}_2) / (\underline{Z}_1 + \underline{Z}_2) = 1 / (1/\underline{Z}_1 + 1/\underline{Z}_2) \\ \underline{Z} &= \underline{Z}_{12} + \underline{Z}_3 \\ \underline{I} &= \underline{E} / \underline{Z} \\ \underline{I}_1 &= \underline{I} \underline{Z}_2 / (\underline{Z}_1 + \underline{Z}_2) = \underline{I} / (\underline{Z}_1 / \underline{Z}_2 + 1) \\ \underline{I}_2 &= \underline{I} \underline{Z}_1 / (\underline{Z}_1 + \underline{Z}_2) = \underline{I} - \underline{I}_1 \\ \underline{S}_g &= \underline{E} \underline{I}^* \\ \underline{S}_1 &= \underline{Z}_1 \underline{I}_1^2 \\ \underline{S}_2 &= \underline{Z}_2 \underline{I}_2^2 \\ \underline{S}_3 &= \underline{Z}_3 \underline{I}^2 \\ \underline{S}_c &= \underline{S}_1 + \underline{S}_2 + \underline{S}_3 \\ i_1(t) &= I_1 \sqrt{2} \sin(\omega t + \phi_1) \\ i_2(t) &= I_2 \sqrt{2} \sin(\omega t + \phi_2)\end{aligned}$$

c) *Implementarea unor tipuri abstracte de date într-un limbaj de nivel înalt*

Descărcați de la adresa <http://mn.lmn.pub.ro/> fișierele `complex.c`, `complex.h` și `elth.c`. Fișierele `complex.*` sunt aceleași cu <http://www.numerical-recipes.com/pubdom/complex.c.txt>, respectiv <http://www.numerical-recipes.com/pubdom/complex.h.txt>. Studiați modul de implementare corpul numerelor complexe în limbajul C.

În fișierul `elth.c` este începută rezolvarea problemei de electrotehnică de la punctul b). Comanda de compilare este

```
gcc elth.c complex.c -lm -o elth
```

Programul obținut se execută cu

```
./elth
```

Continuați scrierea programului care vă va permite să rezolvați aceeași problemă. Verificați rezultatele cu cele pe care le-ați obținut la punctul b).

d) *Căutarea pe Internet a unor informații legate de implementarea unor structuri de date*

Căutați pe Internet biblioteci informații legate de implementarea matricelor rare (matrice cu multe elemente nule). Cuvinte cheie recomandate: *Sparse Matrix Compression Formats*, *Sparse Matrix Storage Format*.

1.7 Exemple

1.7.1 Exemple rezolvate

1. Fie pseudocodul de mai jos:

```

; datele de intrare ale problemei
întreg  $n$  ; dimensiunea problemei
real  $c$ 
tablou real  $a[n], b[n]$  ; indicele tabloului începe de la 1
; datele de ieșire ale problemei
real  $s$ 
; variabile intermediare
întreg  $i$ 
; introducerea datelor de intrare
citește  $n$ 
citește  $c$ 
pentru  $i = 1, n$ 
    citește  $a_i, b_i$ 
; inițializarea soluției
 $s = 0$ 
; calculul soluției
pentru  $i = 1, n$ 
     $s = s + a_i/b_i \cdot c$ 
; afișarea soluției
scrie  $s$ 

```

Se cer:

- să se estimeze ordinul de complexitate al algoritmului din punct de vedere al timpului de calcul și al necesarului de memorie. Se consideră ca operații elementare (de referință) următoarele operații: $+$, $-$, $*$, $/$, iar ca locație elementară de memorie, locația ocupată de un număr real;
- să se scrie formula matematică de calcul a variabilei s , în funcție de datele problemei;
- să se optimizeze algoritmul în sensul reducerii timpului de calcul și să se precizeze noul timp de calcul.

Rezolvare:

- (a) Algoritmul conține un singur ciclu cu contor, în cadrul căruia se repetă de n ori o instrucțiune de atribuire, în care se efectuează operații elementare. Din aceste motive, ne așteptăm ca timpul de calcul să depindă liniar de dimensiunea problemei, n ($T \approx O(n)$).

În continuare vom estima exact timpul de calcul. Pentru fiecare valoare a contorului i , în interiorul ciclului, se efectuează 3 operații elementare (+, /, *). Deoarece i ia valori de la 1 la n , numărul total de operații elementare efectuate este $3n$. Astfel, ordinul de complexitate al algoritmului din punct de vedere al timpului de calcul este $T = O(3n) \cong O(n)$. De exemplu, dacă dimensiunea problemei crește de 10 ori, timpul de calcul va crește de 10 ori. Acest algoritm are ordinul de complexitate liniar (de ordinul 1).

Pentru estimarea necesarului de memorie este necesar să se evalueze numărul de locații de memorie utilizate, mai precis, numărul de variabile reale declarate la începutul algoritmului. Astfel, sunt declarate 2 numere reale (s și c) și 2 tablouri de numere reale de dimensiune n (a și b), în total $2n + 2$ numerele reale. Spunem că ordinul de complexitate al algoritmului din punct de vedere al necesarului de memorie este $M = O(2n + 2) \cong O(n)$. De exemplu, dacă se crește de 10 ori dimensiunea tablourilor, spațiul de memorie necesar crește de aproximativ 10 ori. Din punct de vedere al necesarului de memorie, algoritmul este de ordinul 1.

- (b) Se observă că algoritmul implementează următoarea formulă matematică:

$$s = \sum_{i=1}^n \frac{a_i}{b_i} \cdot c.$$

- (c) Pentru reducerea timpului de calcul, înmulțirea cu variabila c poate fi scoasă în afara ciclului:

```

s = 0
pentru i = 1, n
    s = s + a_i/b_i
s = s · c

```

Aceasta corespunde evaluării expresiei s cu formula $s = c \sum_{i=1}^n a_i/b_i$. Numărul de operații elementare efectuate este $2n + 1$, iar ordinul de complexitate din punct de vedere al timpului de calcul devine $T = O(2n + 1) \cong O(n)$. Această variantă a algoritmului este mai rapidă decât varianta inițială (de aproximativ 1.5 ori).

2. Fie pseudocodul de mai jos:

```

; declararea variabilelor
întreg  $n, i$ 
real  $s$ 
tablou real  $a[n][n]$ 
; introducerea datelor de intrare
.....
; instrucțiuni
 $s = 0$ 
pentru  $i = 1, n$ 
    pentru  $j = 1, n$ 
         $s = s + a_{i,j} \cdot v_j \cdot \sqrt{c}$ 
scrie  $s$ 

```

Se cer:

- să se declare variabilele j , c și v ;
- să se estimeze ordinul de complexitate al algoritmului din punct de vedere al timpului de calcul și al necesarului de memorie. Se consideră ca operații elementare (de referință) următoarele operații: $+$, $-$, $*$, $/$, $\sqrt{\quad}$, iar ca locație elementară de memorie, locația ocupată de un număr real;
- să se scrie formula matematică de calcul a variabilei s , în funcție de datele problemei;
- să se optimizeze algoritmul în sensul reducerii timpului de calcul și să se precizeze timpul de calcul.

Rezolvare:

- Deoarece variabila j este un contor, cu valori de la 1 la n (variabilă întreagă), j trebuie declarat ca un întreg. Variabilele c și v sunt utilizate la calculul rezultatului final, variabila reală s , astfel, c și v sunt numere reale. Mai mult, în algoritm, referirea la variabila v se face prin v_j , unde $j = 1, n$, ceea ce înseamnă că variabila v reprezintă un tablou de numere reale de dimensiune n . În concluzie, declarațiile sunt:

```

întreg  $j$ 
real  $c$ 
tablou real  $v[n]$ 

```

- Algoritmul conține două cicluri cu contor (de la 1 la n) imbricate. Instrucțiunea de atribuire din interiorul ciclurilor se repetă de n^2 ori și conține operații elementare. Ne așteptăm ca ordinul de complexitate să fie $T \approx O(n^2)$.

Pentru fiecare valoare a contoarelor i și j , în interiorul ciclurilor, se efectuează 4 operații elementare ($+$, $*$, $*$, $\sqrt{\quad}$). Pentru fiecare valoare a lui i se efectuează

$4n$ operații. Cum sunt n valori posibile pentru i , numărul total de operații elementare efectuate va fi $n * (4n) = 4n^2$. Ordinul de complexitate al algoritmului din punct de vedere al timpului de calcul este $T = O(4n^2) \cong O(n^2)$. Acest algoritm are ordinul de complexitate pătratic (de ordinul 2). De exemplu, dacă n crește de 10 ori, timpul de calcul crește de $100 = 10^2$ ori.

În algoritm sunt declarate două variabile reale (s și c), un tablou unidimensional (vector) de numere reale de dimensiune n (v) și un tablou bidimensional (matrice) de numere reale de dimensiune $n \times n$ (a). În total, sunt declarate $n^2 + n + 2$ numerele reale. Astfel, ordinul de complexitate al algoritmului din punct de vedere al necesarului de memorie este $M = O(n^2 + n + 2) \cong O(n^2)$. Se observă că, și din punctul de vedere al necesarului de memorie, algoritmul este de ordinul 2.

(c) Algoritm implementează următoarea formulă matematică:

$$s = \sum_{i=1}^n \sum_{j=1}^n a_{i,j} \cdot v_j \cdot \sqrt{c}$$

(d) Reducerea timpului de calcul se poate realiza prin scoaterea înmulțirii cu \sqrt{c} în afara ciclurilor:

```

s = 0
pentru i = 1, n
    pentru j = 1, n
        s = s + ai,j · vj
s = s · √c

```

Aceasta corespunde implementării formulei matematice:

$$s = \sqrt{c} \sum_{i=1}^n \sum_{j=1}^n a_{i,j} \cdot v_j.$$

Acum, numărul de operații elementare efectuate este $2n^2 + 2$, iar ordinul de complexitate din punct de vedere al timpului de calcul devine $T = O(2n^2 + 2) \cong O(n^2)$.

3. Fie pseudocodul de mai jos:

```

; declarații variabile
întreg n, i
real p, a, rez, term
tablou real b[n]
; introducere date de intrare
citește n

```

```

pentru  $i = 1, n$ 
    citește  $b_i$ 
citește  $a, p$ 
; inițializare soluție
 $rez = 0$ 
; calcul soluție
pentru  $i = 1, n$ 
     $term = p + f(b_i)$ 
     $term = term \cdot f(a)$ 
     $rez = rez + term$ 
; afișare soluție
scrie  $rez$ 

```

Se cer:

- să se estimeze ordinul de complexitate al algoritmului din punct de vedere al timpului de calcul și al necesarului de memorie. Se consideră ca operație elementară (de referință) evaluarea funcției f , iar ca locație elementară de memorie, locația ocupată de un numărul real;
- să se scrie formula matematică de calcul a rezultatului rez , în funcție de datele problemei;
- să se optimizeze algoritmul în sensul reducerii timpului de calcul și să se precizeze timpul de calcul.

Rezolvare:

- Există un singur ciclu cu contor în interiorul căruia există operația de referință. Ne așteptăm ca ordinul de complexitate din punct de vedere al timpului de calcul să fie $T \cong O(n)$.

Într-adevăr, pentru fiecare valoare i , în interiorul ciclului se efectuează 2 evaluări ale funcției, deci 2 operații elementare. Deoarece i poate lua n valori, rezultă că numărul total de operații elementare este $2n$. Deci, $T = O(2n) \cong O(n)$.

Pentru a estima necesarul de memorie, este util să se inspecteze declarațiile ce conțin cuvântul cheie **real**. Sunt declarați 4 scalari reali și un tablou de reali cu n componente. În consecință, $M = O(n + 4) \cong O(n)$.

- Se observă că algoritmul implementează următoarea formulă matematică:

$$rez = \sum_{i=1}^n [p + f(b_i)] \cdot f(a).$$

- Algoritmul poate fi îmbunătățit din punct de vedere al timpului de calcul observând că $f(a)$ este evaluat în mod inutil de n ori, de fiecare dată când se schimbă valoarea contorului. Această evaluare poate fi scoasă în afara ciclului, astfel:

```

real val
rez = 0
val = f(a)
pentru i = 1, n
    term = p + f(bi)
    term = term · val
    rez = rez + term

```

Acum, avem $T = O(n)$ și $M = O(n + 5) \cong O(n)$.

Această variantă este de 2 ori mai rapidă decât varianta inițială. Costul îmbunătățirii este nesemnificativ, memorarea unei noi variabile reale val .

Această implementare corespunde evaluării rezultatului cu formula:

$$rez = f(a) \sum_{i=1}^n [p + f(b_i)].$$

4. Fie pseudocodul de mai jos:

```

întreg n, i, j, k
real p, rez, s, t1, t2
tablou real a[n], b[n]
citește n
pentru i = 1, n
    citește ai, bi
citește p
rez = 0
pentru i = 1, n
    rez = rez + f(ai)
    t1 = p
    pentru j = 1, n
        t2 = g(bj)
        s = 0
        pentru k = 1, n
            s = s + f(ai)
        t2 = t2 + s
        t1 = t1 · t2
    rez = rez + t1
scrie rez

```

Se cer:

- (a) să se estimeze ordinul de complexitate al algoritmului din punct de vedere al timpului de calcul și al necesarului de memorie. Se consideră ca operații elementare (de referință) evaluările funcțiilor f și g , iar ca locație elementară de memorie, locația ocupată de un numărul real;

- (b) să se scrie formula matematică de calcul a rezultatului *rez*, în funcție de datele problemei;
- (c) să se optimizeze algoritmul în sensul reducerii timpului de calcul și să se precizeze timpul de calcul.

Rezolvare:

- (a) Sunt 3 cicluri imbricate, ciclul din interior conținând operația elementară, astfel este de așteptat să avem $T = O(n^3)$.

Într-adevăr, numărul de operații elementare pentru valori fixe ale contorilor i, j, k este 1 (o evaluare a funcției f); numărul de operații elementare pentru valori fixe ale contorilor i, j este $n+1$ (n evaluări ale funcției f și o evaluare a funcției g), numărul de operații elementare pentru i fixat este $n(n+1)+1 = n^2+n+1$. Astfel, numărul total de operații elementare este $n(n^2+n+1) = n^3+n^2+n$. Deci, $T = O(n^3+n^2+n) \cong O(n^3)$. Inspectând declarațiile care conțin cuvântul cheie **real**, se observă că necesarul de memorie este $M = O(2n+5) \cong O(n)$.

- (b) Formula matematică:

$$rez = \sum_{i=1}^n \left\{ f(a_i) + p \prod_{i=1}^n \left[g(b_j) + \sum_{k=1}^n f(a_i) \right] \right\}.$$

- (c) Simplificarea pseudocodului se realizează simplificând formula de calcul. Notăm:

$$S = \sum_{i=1}^n f(a_i), \quad P = p \prod_{i=1}^n [g(b_j) + S].$$

Atunci:

$$rez = \sum_{i=1}^n [f(a_i) + P] = \sum_{i=1}^n f(a_i) + nP = S + nP.$$

Algoritmul devine:

```

S = 0
pentru i = 1, n
    S = S + f(a_i)
P = p
pentru j = 1, n
    P = p · [g(b_j) + S]
rez = S + n · P

```

Acum, ordinul de complexitate din punct de vedere al timpului de calcul este $T = O(2n) \cong O(n)$.

1.7.2 Exemple propuse

1. Fie pseudocodul de mai jos:

```

întreg  $n$ 
real  $s$ 
tablou real  $b[n]$  ; indicele tabloului începe de la 1
.....
 $s = 0$ 
pentru  $i = 1, n$ 
     $s = s + \sqrt{a_i/b_i} \cdot \ln(c)$ 

```

Se cer:

- să se declare variabilele i , c și a ;
 - să se estimeze ordinul de complexitate al algoritmului din punct de vedere al timpului de calcul și al necesarului de memorie. Se consideră ca operații elementare (de referință) următoarele operații: $+$, $-$, $*$, $/$, $\sqrt{\quad}$, \ln , iar ca locație elementară de memorie, locația ocupată de un număr real;
 - să se scrie formula matematică de calcul a variabilei s , în funcție de datele problemei;
 - să se optimizeze algoritmul în sensul reducerii timpului de calcul și să se precizeze timpul de calcul.
2. Fie pseudocodul de mai jos:

```

întreg  $n$ 
real  $p$ 
tablou real  $x[n]$ 
.....
 $p = 1$ 
pentru  $i = 1, n$ 
     $p = p \cdot \sin(x_i/y_i - z_i) \cdot \sqrt{w}$ 

```

Se cer:

- să se declare variabilele i , w , y și z ;
- să se estimeze $T = O(?)$ și $M = O(?)$. Operațiile elementare se consideră: $+$, $-$, $*$, $/$, $\sqrt{\quad}$, \sin . Locația elementară de memorie este locația ocupată de un număr real;
- să se scrie formula matematică de calcul a variabilei p , în funcție de datele problemei;
- să se optimizeze algoritmul în sensul reducerii timpului de calcul și să se precizeze timpul de calcul.

3. Fie pseudocodul de mai jos:

```

întreg  $n, i$ 
real  $rez, t, t_1, t_2$ 
tablou real  $a[n]$ 
.....
 $rez = 0$ 
pentru  $i = 1, n$ 
     $t_1 = f(p) \cdot a_i$ 
     $t_2 = f(p) \cdot f(a_i)$ 
     $t = t_1 + t_2$ 
     $rez = rez + t$ 

```

Se cer:

- să se estimeze $T = O(?)$ și $M = O(?)$. Se consideră ca operație elementară evaluarea funcției f . Locația elementară de memorie este locația ocupată de un numărul real;
- să se scrie formula matematică de calcul a variabilei rez , în funcție de datele problemei;
- să se optimizeze algoritmul în sensul reducerii timpului de calcul și să se precizeze timpul de calcul.

4. Fie pseudocodul de mai jos:

```

întreg  $n, i$ 
real  $rez, t, a, b$ 
tablou real  $p[n]$ 
.....
 $rez = 0$ 
pentru  $i = 1, n$ 
     $t = f(p_i) + b$ 
     $t = t \cdot f(a)$ 
     $rez = rez + t$ 

```

Se cer:

- să se estimeze $T = O(?)$ și $M = O(?)$. Se consideră ca operație elementară evaluarea funcției f . Locația elementară de memorie este locația ocupată de un numărul real;
- să se scrie formula matematică de calcul a variabilei rez , în funcție de datele problemei;
- să se optimizeze algoritmul în sensul reducerii timpului de calcul și să se precizeze timpul de calcul.

5. Fie pseudocodul de mai jos:

```

întreg  $n, i$ 
real  $x$ 
tablou real  $c[n][n]$ 
.....
pentru  $i = 1, n$ 
    pentru  $j = 1, n$ 
         $c_{i,j} = \sqrt{x} \cdot a_{i,j} + \ln(y) \cdot b_{i,j}$ 

```

Se cer:

- să se declare variabilele j, y, a și b ;
- să se estimeze $T = O(?)$ și $M = O(?)$. Operațiile elementare se consideră: $+, -, *, /, \sqrt{}, \ln$. Locația elementară de memorie este locația ocupată de un numărul real;
- să se scrie formula matematică de calcul a variabilei c , în funcție de datele problemei;
- să se optimizeze algoritmul în sensul reducerii timpului de calcul și să se precizeze timpul de calcul.

1.8 Întrebări și probleme

- Să se implementeze un tip abstract de date, care să permită reprezentarea cu maximă eficiență spațială a polinoamelor cu mulți coeficienți nuli, (de exemplu $p(x) = 1 + x^{205}$).
- Să se implementeze un tip abstract de date care să permită reprezentarea eficientă a matricelor cu multe elemente nule ("matrice rare").
- Să se definească o funcție care să permită calculul normei Cebîșev a unui vector

$$\|v\| = \max_{i=1,n} |v_i|$$

și a unei matrice

$$\|A\| = \max_{i=1,n} \sum_{j=1}^n |a_{ij}|$$

- Să se scrie pseudocodul procedurilor de împărțire, derivare și integrare a polinoamelor.
- Să se definească următoarele tipuri de date: spațiu vectorial complex (\mathbb{C}^n), inelul matricelor pătrate cu elemente complexe ($\mathbb{C}^{n \times n}$), inelul polinoamelor cu coeficienți complecși.

6. Să se scrie o procedură de înmulțire a matricelor dreptunghiulare.
7. Să se definească și implementeze un tip abstract de date având ca elemente vectori tridimensionali \mathbb{R}^3 , cu care să se efectueze adunări, înmulțiri cu scalari, înmulțiri scalare și vectoriale.
8. Să se definească și să se implementeze un tip abstract de date având ca elemente impedanțele cu care se pot face operații de conexiune serie și paralel. Să se conceapă un program capabil să determine impedanța complexă de transfer a unui cuadripol pasiv.
9. Să se implementeze același tip abstract de date în două sau trei limbaje diferite de programare. Să se compare rezultatele din punctul de vedere al eficienței spațiale și temporale.
10. Să se studieze rutinele dedicate manipulării vectorilor, matricelor, și polinoamelor dintr-o bibliotecă matematică standard.
11. Să se definească și implementeze un tip abstract de date ale cărui elemente sunt funcții raționale cu coeficienți reali. Cum poate fi folosit un astfel de tip de date în analiza circuitelor electrice liniare în regim tranzitoriu?
12. Să se definească un tip abstract de date ale cărui elemente reprezintă serii Fourier trunchiate. Cum poate fi folosit acest tip de date în analiza cu calculatorul a circuitelor liniare în regim periodic permanent nesinusoidal?

Lucrarea 2

Erori în rezolvarea problemelor numerice

2.1 Caracterizarea lucrării

În majoritatea cazurilor, algoritmi cu caracter numeric, după implementarea lor pe un sistem de calcul determină nu soluția exactă a problemei ci o aproximare numerică a acesteia.

Scopul acestei lucrări este de a evidenția modul în care pot fi caracterizate erorile numerice, motivele apariției acestora și modul în care acestea se propagă. Se studiază *erorile inerente* (datorate datelor de intrare), *erorile de rotunjire* (datorate reprezentării finite, aproximative a numerelor reale) și *erorile de trunchiere* (datorate aproximării finite a unor procese teoretic infinite).

2.2 Principiul lucrării

Pentru a caracteriza abaterea unei variabile numerice de la valoarea sa exactă se poate folosi *eroarea absolută*, definită prin:

$$e_x = x - x^*, \quad (2.1)$$

în care x este valoarea exactă a variabilei, iar x^* este valoarea sa aproximativă. Deoarece în majoritatea cazurilor valoarea exactă nu este cunoscută se preferă utilizarea unei *margini superioare a erorii absolute*:

$$a_x \geq |e_x| = |x - x^*|. \quad (2.2)$$

În acest caz, în locul valorii exacte x se operează cu intervalul:

$$x^* - a_x \leq x \leq x^* + a_x. \quad (2.3)$$

O altă modalitate de caracterizare a abaterii unei variabile de la valoarea exactă este eroarea relativă:

$$\varepsilon_x = \frac{e_x}{x} = \frac{x - x^*}{x}, \quad (2.4)$$

sau marginea superioară a acesteia:

$$\Gamma_x = \frac{a_x}{|x|} \geq |\text{eps}_x| = \frac{|x - x^*|}{|x|}. \quad (2.5)$$

În majoritatea calculelor tehnice, mărimile rezultate în urma măsurării sunt cunoscute cu 3 maxim 6 cifre semnificative exacte, ceea ce corespunde unor erori relative cuprinse în intervalul $10^{-2} \div 10^{-5}$.

2.2.1 Erori de rotunjire

Una din cauzele frecvente de eroare în calculele cu numere reale se datorează reprezentării finite a acestor numere în sistemele de calcul.

Modul uzual de reprezentare a unui număr real într-un sistem de calcul este de forma:

$$x^* = \pm 0, kkk \dots k \cdot 10^{\pm kk} = m \cdot 10^e, \quad (2.6)$$

unde k este cifră ($0, 1, \dots, 9$), m se numește mantisa, iar e exponent. Cu excepția numărului nul, la care $m = 0$, în rest mantisa satisface relația:

$$0.1 \leq |m| \leq 1. \quad (2.7)$$

Presupunând că mantisa este reprezentată cu n cifre, rezultă că prin această reprezentare cifrele "l" din reprezentarea exactă:

$$x = \pm 0, \underbrace{kk \dots k}_{n} ll \dots \cdot 10^{\pm kk} \quad (2.8)$$

sunt pierdute prin rotunjire.

În consecință, eroarea relativă de rotunjire

$$\varepsilon_x = \frac{|x - x^*|}{|x|} = \frac{0, 0 \dots 0 ll \dots \cdot 10^{\pm kk}}{0, kk \dots ll \dots \cdot 10^{\pm kk}} = \frac{0, ll \dots}{0, kk \dots} 10^{-n} = 10^{-n+1} \quad (2.9)$$

depinde de numărul de cifre semnificative folosite în reprezentarea numărului real și nu de valoarea numărului. Această eroare relativă de rotunjire, specifică sistemului de calcul (calculator + mediu de programare) este cel mai mare număr real, care adăugat la unitate nu "modifică" valoarea acesteia. Ordinul de mărime al erorii relative de rotunjire în sistemele uzuale de calcul este $10^{-5} \div 10^{-20}$ și poate fi determinat pe fiecare sistem de calcul cu următorul algoritm:

```

; calculează eroarea relativă de rotunjire
real err
err=1
repetă
    err=err/2
până când (1 + err = 1)
scrie err

```

Eroarea relativă de rotunjire err este cunoscută sub numele de *zeroul mașinii* și nu trebuie confundată cu cel mai mic număr pozitiv, nenul, reprezentabil în calculator.

2.2.2 Erori inerente

Datele de intrare folosite în rezolvarea unei probleme tehnice provin în multe cazuri din determinări experimentale. Rezultatul oricărei măsurători este susceptibil de erori și chiar dacă datele de intrare sunt cunoscute cu maximă precizie ele pot fi afectate de erori de rotunjire.

Erorile datelor de intrare într-un algoritm se numesc erori inerente. Aceste erori se propagă în procesul de calcul și afectează în final soluția problemei. Chiar dacă algoritmul de calcul nu poate fi făcut responsabil de prezența erorilor în datele de intrare, el poate influența precizia soluției. Un algoritm la care eroarea relativă a soluției nu depășește erorile relative ale datelor de intrare este un *algoritm stabil din punct de vedere numeric*. În schimb, dacă erorile relative ale soluției sunt mult mai mari decât cele ale datelor de intrare se spune că algoritmul de rezolvare prezintă instabilități numerice. În acest caz este posibil ca abateri foarte mici ale datelor de intrare să determine abateri mari ale soluției numerice față de cea exactă, și să facă soluția numerică inutilizabilă. Dacă se notează cu y soluția problemei, iar cu x_1, x_2, \dots, x_n datele acesteia, procedeul de calcul va consta în fond în evaluarea funcției $y = f(x_1, x_2, \dots, x_n)$

Considerând erorile absolute suficient de mici, acestea se pot aproxima cu diferențiala:

$$\begin{aligned}
 dy &= \frac{\partial f}{\partial x_1} dx_1 + \frac{\partial f}{\partial x_2} dx_2 + \dots + \frac{\partial f}{\partial x_n} dx_n, \\
 e_y &= \frac{\partial f}{\partial x_1} e_{x_1} + \frac{\partial f}{\partial x_2} e_{x_2} + \dots + \frac{\partial f}{\partial x_n} e_{x_n}.
 \end{aligned} \tag{2.10}$$

Erorile relative satisfac relația:

$$y \cdot \varepsilon_y = \frac{\partial f}{\partial x_1} x_1 \cdot \varepsilon_{x_1} + \frac{\partial f}{\partial x_2} x_2 \cdot \varepsilon_{x_2} + \dots + \frac{\partial f}{\partial x_n} x_n \cdot \varepsilon_{x_n}. \tag{2.11}$$

Deoarece în sistemele numerice de calcul, cele mai complicate proceduri se reduc în final la operații aritmetice, va fi analizată propagarea erorilor în cazul celor patru operații aritmetice elementare:

Adunarea:

$$\begin{aligned} y &= f(x_1, x_2) = x_1 + x_2, \\ e_y &= e_{x_1} + e_{x_2}, \\ \varepsilon_y &= \frac{x_1}{x_1 + x_2} \varepsilon_{x_1} + \frac{x_2}{x_1 + x_2} \varepsilon_{x_2}. \end{aligned} \quad (2.12)$$

Dacă cei doi termeni x_1, x_2 au același semn, adunarea este o operație stabilă numeric, deoarece

$$\left| \frac{x_1}{x_1 + x_2} \right| \leq 1, \quad \left| \frac{x_2}{x_1 + x_2} \right| \leq 1, \quad |\varepsilon_y| \leq |\varepsilon_{x_1}| + |\varepsilon_{x_2}|.$$

Scăderea:

$$\begin{aligned} y &= f(x_1, x_2) = x_1 - x_2, \\ e_y &= e_{x_1} - e_{x_2}, \\ \varepsilon_y &= \frac{x_1}{x_1 - x_2} \varepsilon_{x_1} - \frac{x_2}{x_1 - x_2} \varepsilon_{x_2}. \end{aligned} \quad (2.13)$$

Dacă x_1 și x_2 au același semn, operația de scădere este instabilă numeric. Eroarea relativă a diferenței poate depăși cu multe ordine de mărime eroarea termenilor, prin fenomenul numit de anulare prin scădere, ca în exemplul:

$$x_1 = 0,12345 \pm 1\% ; x_2 = 0,12344 \pm 1\% ; y = x_1 - x_2 = 0,00001 \pm 3 \cdot 10^{40}\%.$$

Înmulțirea:

$$\begin{aligned} y &= f(x_1, x_2) = x_1 x_2 \\ e_y &= x_2 e_{x_1} + x_1 e_{x_2} \\ \varepsilon_y &= \varepsilon_{x_1} + \varepsilon_{x_2} \end{aligned} \quad (2.14)$$

Înmulțirea este o operație stabilă din punct de vedere numeric deoarece

$$|\varepsilon_y| \leq |\varepsilon_{x_1}| + |\varepsilon_{x_2}|.$$

Împărțirea:

$$\begin{aligned} y &= f(x_1, x_2) = \frac{x_1}{x_2}, \\ e_y &= \frac{1}{x_2} e_{x_1} - \frac{x_1}{(x_2)^2} e_{x_2}, \\ \varepsilon_y &= \varepsilon_{x_1} - \varepsilon_{x_2}. \end{aligned} \quad (2.15)$$

Și împărțirea este o operație stabilă din punct de vedere numeric deoarece

$$|\varepsilon_y| \leq |\varepsilon_{x_1}| + |\varepsilon_{x_2}|.$$

În aceste evaluări ale erorilor s-a considerat că toate calculele se efectuează exact. În realitate, rezultatul este rotunjit (la numărul de cifre semnificative specifice sistemului de calcul) și eroarea relativă a rezultatului este majorată cu eroarea relativă de rotunjire.

În cazul în care prezintă importanță deosebită evaluarea erorii unui calcul numeric se poate utiliza următorul tip abstract de date care permite controlul propagării erorii. În acest tip de date numerele reale x sunt reprezentate prin valoarea x și marginea erorii relative Γ_x , deci prin intervalul:

$$x^*(1 - \Gamma_x) \leq x \leq x^*(1 + \Gamma_x). \quad (2.16)$$

```

real tip inregistrare interval
    real val ;valoare
    real er ;marginea erorii relative
procedura suma (x,y,s) ;calculează s = x + y
    interval x, y, s
    s.val = x.val + y.val
    s.er = err + (|x.val · x.er| + |y.val · y.er|)/|s.val|
retur
procedura dif(x,y,d) ;calculează d = x - y
    interval x, y, d
    d.val = x.val - y.val
    d.er = err + (|x.val · x.er| + |y.val · y.er|)/|d.val|
retur
procedura prod(x,y,p) ;calculează p = x * y
    interval x, y, p
    p.val = x.val · y.val
    p.er = err + |x.er| + |y.er|
retur
procedura rap(x,y,c) ;calculează c = x / y
    interval x, y, c
    c.val = x.val/y.val
    c.er = err + |x.er| + |y.er|
retur

```

2.2.3 Erori de trunchiere

În esență, metodele numerice constau în reducerea rezolvării unei probleme complicate la un număr finit de etape simple, care în fond sunt operații aritmetice elementare. Datorită caracterului finit al oricărui algoritm, încercarea de a rezolva probleme de analiză

matematică, ce presupun teoretic o infinitate de pași (cum sunt de exemplu calculele limitelor) determină apariția unor erori de metodă numite erori de trunchiere.

Calculul numeric al limitelor de șiruri, serii sau funcții (inclusiv calculul numeric al derivatelor și integralelor, care se reduc în fond tot la calculul limitelor) presupune trunchierea unui proces numeric infinit. Pentru a evidenția eroarea de trunchiere se consideră un șir numeric $x_k = 1, 2, \dots, n$ convergent către limita $x = \lim_{k \rightarrow \infty} x_k$. Conform definiției convergenței, pentru orice ε există un n astfel încât $|x - x_k| \leq \varepsilon$, pentru orice $k > n$. În consecință, pentru o eroare ε impusă există un rang finit n , astfel încât x_n reprezintă o aproximare satisfăcătoare pentru limita x . Rezultă că, după evaluarea unui număr n suficient de mare de termeni, ultimul poate fi adoptat ca soluție numerică $x^* = x_n$, cu o eroare de trunchiere dependentă de acest n . În general, eroarea de trunchiere este cu atât mai mică cu cât numărul de termeni calculați este mai mare. Modul în care eroarea de trunchiere depinde de n caracterizează viteza de convergență a algoritmului. Se spune că un algoritm are *viteza de convergență* de ordinul p , dacă există o constantă $c > 0$, astfel încât eroarea de trunchiere satisface inegalitatea:

$$|\varepsilon_n| = |x - x_n| \leq \frac{c}{n^p}, \quad (2.17)$$

pentru orice $n > 1$. Se constată că ordinul vitezei de convergență a unui algoritm este dat de panta dreptei ce mărginește superior graficul funcției $|\varepsilon| = f(n)$ în scară dublu logaritmică.

O categorie importantă de procese numerice infinite o reprezintă seriile Taylor. Acestea, fiind serii de puteri, pot fi utilizate la evaluarea funcțiilor elementare (sinus, cosinus, exponențială, logaritm, etc.) și a celor speciale (Bessel, integrale eliptice) prin reducerea la operații aritmetice elementare (adunări și înmulțiri).

Pentru a exemplifica modul în care poate fi sumată numeric o serie cu controlul erorii de trunchiere se consideră dezvoltarea în serie Taylor a funcției $y = \sin x$:

$$y = x - \frac{x^3}{3!} + \frac{x^5}{5!} - \frac{x^7}{7!} + \dots \quad (2.18)$$

Termenul general al seriei poate fi calculat recursiv:

$$T_k = -\frac{(-1)^k}{(2k-1)!} x^{2k-1} = -T_{k-1} \frac{x^2}{(2k-1)(2k-2)}. \quad (2.19)$$

Prin trunchierea seriei la rangul n se obține

$$y^* = \sum_{k=1}^n \frac{(-1)^{k+1}}{(2k-1)!} \cdot x^{2k-1}. \quad (2.20)$$

Deoarece seria este alternantă, eroarea de trunchiere este majorată de modulul primului termen neglijat:

$$|\varepsilon_y| = |y - y^*| \leq \frac{|x|^{2n+1}}{(2n+1)!}. \quad (2.21)$$

Rezultă următorul pseudocod pentru evaluarea funcției sinus cu o eroare de trunchiere mai mică decât eroarea de rotunjire.

```

funcția sinus( $x$ )
    real  $x, t, s$ 
    întreg  $k$ 
     $t = x$ 
     $s = t$ 
     $k = 1$ 
    repetă
         $k = k + 2$ 
         $t = -tx^2/k/(k - 1)$ 
         $s = s + t$ 
    până când  $|t| < \text{err}$ 
întoarce  $s$ 

```

Efortul de calcul pentru evaluarea funcției crește odată cu scăderea erorii impuse, dar și cu creșterea modului variabilei x . Deoarece funcția $\sin(x)$ este periodică, algoritmul poate fi îmbunătățit prin reducerea variabilei la primul cerc (sau chiar la primul cadran).

2.3 Chestiuni de studiat

1. Determinarea erorii relative de rotunjire a sistemului de calcul;
2. Analiza propagării erorilor inerente;
3. Analiza erorii de trunchiere;
4. Implementarea unor algoritmi numerici care controlează eroarea.

2.4 Modul de lucru

Pentru desfășurarea lucrării lansați lucrarea *Erori în rezolvarea problemelor numerice* din meniul general. Aceasta are ca urmare lansarea următorului meniu:

- Eroarea de rotunjire
- Calcule cu controlul erorii
- Erori de trunchiere

2.4.1 Determinarea erorii relative de rotunjire a sistemului de calcul

Se selectează opțiunea *Eroarea de rotunjire* care are ca efect calculul și afișarea erorii relative de rotunjire specifice sistemului.

2.4.2 Analiza propagării erorilor inerente

Se selectează opțiunea *Calcule cu controlul erorii* din meniul principal, care are ca efect lansarea unui program ce emulează un calculator de buzunar care folosește notația poloneză inversă (operand, operand, operator). Acest calculator nu operează cu numere reale ci cu intervale (valoare numerică și margine superioară a erorii relative).

Programul permite introducerea fie a operanzilor (valoare și eroare relativă) fie a operatorilor unari (I - invers, O - opus, V - radical) sau binari (+ - * /).

Operanzii sunt introduși într-o stivă vizualizată pe ecran de 5 coloane (număr de ordine, valoare numerică, eroare relativă, limita minimă și limita maximă a valorii exacte).

Operatorii unari acționează asupra ultimului element introdus în stivă, înlocuindu-l cu valoarea obținută în urma aplicării operatorului (stiva nu își modifică dimensiunea).

Operatorii binari folosesc ca operanzi ultimele două elemente din stivă, iar rezultatul înlocuiește aceste elemente (stiva se micșorează cu o unitate).

Pentru a facilita manipularea stivei sunt disponibili încă doi operatori unari, cu caracter nenumeric (R - repetă vârful stivei și E - extrage element din stivă), care modifică (incrementează respectiv decrementează) înălțimea stivei.

Se propune rezolvarea ecuației de gradul doi:

$$ax^2 + bx + c = 0,$$

în care $a = 1$, $b = -100.01$, $c = 1$ (cu rădăcinile $x_1 = 100$; $x_2 = 0,01$). Valorile a , b , c se vor introduce cu erorile relative de $0.1\% = 0.001$. Se vor nota valorile intermediare:

$$\begin{aligned}\Delta &= b^2 - 4ac, \\ x_1 &= \frac{-b + \sqrt{\Delta}}{2a}, \\ x_2 &= \frac{-b - \sqrt{\Delta}}{2a},\end{aligned}$$

și erorile relative asociate.

Pentru a evita erorile datorate anulării prin scădere, se va calcula a doua rădăcină pe baza relației $x_1x_2 = c/a$

$$x_2 = \frac{c}{ax_1}.$$

Se vor compara erorile relative și absolute ale rezultatelor obținute pe cele două căi.

2.4.3 Analiza erorii de trunchiere

Se selectează opțiunea *Erori de trunchiere* din meniul principal, care are ca efect lansarea unui program care realizează sumarea următoarelor serii:

- Taylor pentru funcția exponențială
- Taylor pentru funcția sinus
- Taylor pentru funcția logaritm natural
- Fourier pentru funcția crenel
- armonica alternantă
- armonica alternantă cu convergență îmbunătățită prin metoda Euler

După selectarea seriei și alegerea valorii variabilei independente x , programul calculează și afișează suma parțială a seriei și eroarea absolută de trunchiere pentru diferite ordine, apoi reprezintă grafic variația erorii în funcție de numărul de termeni sumați. Pentru a putea facilita comparațiile se pot reprezenta și mai multe grafice de erori simultan.

Se recomandă observarea convergenței

- seriilor Taylor pentru evaluarea expresiilor:
 - $\exp(0)$, $\exp(1)$, $\exp(5)$, $\exp(-10)$, $\exp(10)$,
 - $\sin(0)$, $\sin(1)$, $\sin(10)$,
 - $\ln(1)$, $\ln(0.1)$, $\ln(1.1)$.

Reamintim că dezvoltările în serie Taylor sunt:

$$\begin{aligned}
 e^x &= 1 + x + \frac{x^2}{2!} + \frac{x^3}{3!} + \frac{x^4}{4!} + \dots \\
 \sin(x) &= x - \frac{x^3}{3!} + \frac{x^5}{5!} - \frac{x^7}{7!} + \dots \\
 \ln(x) &= (x-1) - \frac{(x-1)^2}{2} + \frac{(x-1)^3}{3} - \frac{(x-1)^4}{4} + \dots
 \end{aligned}$$

- seriei Fourier pentru evaluarea expresiilor:
 - $\text{crenel}(1)$, $\text{crenel}(0.1)$.

Funcția crenel este definită astfel

$$\text{crenel}(x) = \begin{cases} \frac{\pi}{4} & \text{dacă } \sin(x) > 0 \\ -\frac{\pi}{4} & \text{dacă } \sin(x) \leq 0 \end{cases}$$

iar dezvoltarea ei în serie Fourier conduce la

$$\text{crenel}(x) = \sin(x) + \frac{\sin(3x)}{3} + \frac{\sin(5x)}{5} + \dots$$

- armonicii alternante

$$A = 1 - \frac{1}{2} + \frac{1}{3} - \frac{1}{4} + \dots = \sum_{k=1}^{\infty} (-1)^{k+1} \frac{1}{k}$$

- armonicii alternante cu convergență îmbunătățită

$$A = 1 - \frac{1}{2} + \frac{1}{3} - \frac{1}{4} + \dots = 0.5 + \sum_{k=1}^{\infty} \frac{\left(\frac{1}{2k-1} - \frac{1}{2k+1}\right)}{4k}.$$

Se vor comenta rezultatele și se va aprecia viteza de convergență.

Indicație: Pentru estimarea vitezei de convergență se calculează panta dreptei ce mărginește graficul erorii, în scara dublu logaritmică.

2.4.4 Implementarea unor algoritmi cu controlul erorii

Se va genera pseudocodul funcției cosinus, determinată prin serie Taylor trunchiată până la atingerea unei erori de trunchiere impuse. Se va implementa acest algoritm într-un limbaj de programare sub forma unei funcții $\text{cosinus}(x, \text{ert})$, în care x este variabilă independentă iar ert este eroarea de trunchiere impusă. Se va implementa algoritmul de determinare al erorii relative de rotunjire err , iar în final se va implementa algoritmul de evaluare a funcției cosinus cu $\text{ert} = \text{err}$ și cu controlul propagării erorii, sub forma unei proceduri care să calculeze $\cos(x)$ și eroarea relativă asociată.

2.5 Exemple

2.5.1 Exemple rezolvate

1. Să se calculeze o margine a erorii relative pentru aproximarea numărului $\sqrt{2}$ cu 2 cifre semnificative exacte.

Rezolvare:

Notăm cu $x = \sqrt{2} = 1.4142\dots$, valoarea exactă a numărului $\sqrt{2}$. Aproximarea cu 2 cifre semnificative exacte a lui $\sqrt{2}$ este: $x^* = 1.41$.

Eroarea absolută este: $e_x = x - x^* = 1.4142\dots - 1.41 = 0.0042\dots$

Eroarea relativă este:

$$\varepsilon_x = \frac{e_x}{x} = \frac{0.0042\dots}{1.4142\dots},$$

care este mărginită de:

$$|\varepsilon_x| < \frac{0.005}{1.4} = 0.0035\dots < 0.0036 = 0.36\%.$$

Deci: $\sqrt{2} = 1.41 \pm 0.36\%$.

2. Fie $x = 5.43 \pm 1\%$, $y = -5.42 \pm 2\%$, $z = 3 \pm 1\%$.

Să se calculeze $(x + y) \cdot z$. Comentați rezultatul obținut.

Rezolvare:

Mai întâi se efectuează operația din paranteze, care este, de fapt, o scădere: $x + y = 5.43 - 5.42 = 0.01$. Eroarea relativă va fi mărginită de:

$$\begin{aligned} \Gamma_{x+y} &= \left| \frac{x}{x+y} \right| \Gamma_x + \left| \frac{y}{x+y} \right| \Gamma_y = \frac{5.43}{0.01} \cdot \frac{1}{100} + \frac{5.42}{0.01} \cdot \frac{2}{100} = \\ &= 5.43 + 10.84 = 16.27 = 1627\%. \end{aligned}$$

Eroarea este foarte mare deoarece au fost scăzute două numere foarte apropiate (a apărut fenomenul de anulare prin scădere).

Rezultatul final $(x + y) \cdot z = 0.03$ este calculat cu o eroare relativă mărginită de:

$$\Gamma_{(x+y) \cdot z} = \Gamma_{x+y} + \Gamma_z = \frac{1627}{100} + \frac{1}{100} = \frac{1628}{100} = 1628\%.$$

3. Fie $x = 2.3 \pm 2\%$, $y = 3.2 \pm 3\%$, $z = 5.5 \pm 5\%$.

Să se calculeze $(x + y) + z$ și $x + (y + z)$. Comentați rezultatele obținute.

Rezolvare:

Să calculăm $(x + y) + z$. Mai întâi se efectuează operația din paranteze: $x + y = 2.3 + 3.2 = 5.5$. Eroarea relativă va fi mărginită de:

$$\begin{aligned} \Gamma_{x+y} &= \left| \frac{x}{x+y} \right| \Gamma_x + \left| \frac{y}{x+y} \right| \Gamma_y; \tag{2.22} \\ \Gamma_{x+y} &= \frac{2.3}{5.5} \cdot \frac{2}{100} + \frac{3.2}{5.5} \cdot \frac{3}{100} = \frac{2.58}{100} = 2.58\%. \end{aligned}$$

Rezultatul final $(x + y) + z = 5.5 + 5.5 = 11.0$ este calculat cu o eroare relativă mărginită de:

$$\Gamma_{(x+y)+z} = \left| \frac{x+y}{(x+y)+z} \right| \Gamma_{x+y} + \left| \frac{z}{(x+y)+z} \right| \Gamma_z; \quad (2.23)$$

$$\Gamma_{(x+y)+z} = \frac{5.5}{11} \cdot \frac{14.2}{5.5} \cdot \frac{1}{100} + \frac{5.5}{11} \cdot \frac{5}{100} = \frac{3.79}{100} = 3.79\%.$$

În continuare calculăm $x + (y + z)$. Mai întâi se efectuează operația din paranteze $y + z = 3.2 + 5.5 = 8.7$. Eroarea relativă va fi mărginită de:

$$\Gamma_{y+z} = \left| \frac{y}{y+z} \right| \Gamma_y + \left| \frac{z}{y+z} \right| \Gamma_z; \quad (2.24)$$

$$\Gamma_{y+z} = \frac{3.2}{8.7} \cdot \frac{3}{100} + \frac{5.5}{8.7} \cdot \frac{5}{100} = \frac{4.26}{100} = 4.26\%.$$

Rezultatul final $x + (y + z) = 2.3 + 8.7 = 11.0$ este calculat cu o eroare relativă mărginită de:

$$\Gamma_{x+(y+z)} = \left| \frac{x}{x+(y+z)} \right| \Gamma_x + \left| \frac{y+z}{x+(y+z)} \right| \Gamma_{y+z}; \quad (2.25)$$

$$\Gamma_{x+(y+z)} = \frac{2.3}{11} \cdot \frac{2}{100} + \frac{8.7}{11} \cdot \frac{37.1}{8.7} \cdot \frac{1}{100} = \frac{3.79}{100} = 3.79\%.$$

Observăm că:

$$\Gamma_{(x+y)+z} = \Gamma_{x+(y+z)}.$$

Într-adevăr, înlocuind relația (2.22) în relația (2.23), obținem:

$$\Gamma_{(x+y)+z} = \left| \frac{x}{x+y+z} \right| \Gamma_x + \left| \frac{y}{x+y+z} \right| \Gamma_y + \left| \frac{z}{x+y+z} \right| \Gamma_z. \quad (2.26)$$

Similar, înlocuind (2.24) în (2.25), obținem exact același rezultat, (2.26).

În realitate, în aceste calcule nu am ținut cont de erorile de rotunjire *eps*. Acestea se suprapun peste erorile inerente, astfel încât este mai corect să scriem:

$$\Gamma_{x+y} = \left| \frac{x}{x+y} \right| \Gamma_x + \left| \frac{y}{x+y} \right| \Gamma_y + eps. \quad (2.27)$$

Urmează că:

$$\Gamma_{(x+y)+z} = \left| \frac{x+y}{(x+y)+z} \right| \Gamma_{x+y} + \left| \frac{z}{(x+y)+z} \right| \Gamma_z + eps. \quad (2.28)$$

Înlocuind (2.27) în (2.28), rezultă că:

$$\Gamma_{(x+y)+z} = \left| \frac{x}{x+y+z} \right| \Gamma_x + \left| \frac{y}{x+y+z} \right| \Gamma_y + \left| \frac{z}{x+y+z} \right| \Gamma_z + \left| \frac{x+y}{x+y+z} \right| \text{eps} + \text{eps}.$$

Similar se obține:

$$\Gamma_{x+(y+z)} = \left| \frac{x}{x+y+z} \right| \Gamma_x + \left| \frac{y}{x+y+z} \right| \Gamma_y + \left| \frac{z}{x+y+z} \right| \Gamma_z + \left| \frac{y+z}{x+y+z} \right| \text{eps} + \text{eps}.$$

În consecință:

$$\Gamma_{(x+y)+z} \neq \Gamma_{x+(y+z)}.$$

Adunarea numerelor reale pe un sistem de calcul nu este asociativă.

2.5.2 Exemple propuse

1. Să se calculeze o margine a erorii relative pentru aproximarea numărului π cu 3 cifre semnificative exacte.
2. Să se calculeze o margine a erorii relative pentru aproximarea numărului e cu 2 cifre semnificative exacte.
3. Fie $x = 2.01 \pm 1\%$, $y = 4.24 \pm 4\%$, $z = 2.12 \pm 2\%$.
Să se calculeze $x - y/z$. Comentați rezultatul obținut.
4. Fie $x = 3.12 \pm 1\%$, $y = 2 \pm 1\%$, $z = 1.21 \pm 2\%$.
Să se calculeze $x * y + z$.

2.6 Întrebări și probleme

1. Cum poate fi caracterizată eroarea unei variabile vectoriale x ?
2. Implementați algoritmul de determinare a erorii relative de rotunjire în diferite limbaje de programare (în simplă și dublă precizie) și apoi comparați rezultatele.
3. Ce modificări trebuie aduse algoritmului de determinare a erorii relative de rotunjire pentru ca acesta să determine nu numai ordinul de mărime al erorii ci și valoarea sa exactă?
4. Definiți și implementați un tip abstract de date, care să reprezinte fiecare număr real ca o pereche de numere reale ce îl încadrează (valoare maximă, valoare minimă).

5. Este adunarea numerelor reale rotunjite o operație asociativă? Pentru a aduna mai multe numere reale diferite cu eroare minimă ele trebuie sortate în ordine crescătoare sau descrescătoare?
6. Pentru a micșora erorile de rotunjire la sumarea unei serii cum trebuie adunați termenii, în ordine crescătoare sau descrescătoare?
7. Folosiți opțiunea *Calcule cu controlul erorii* pentru a determina rezistența de șunt ce trebuie folosită la transformarea unui galvanometru de 1mA (în clasa 2%) a cărui rezistență $R = 57.5\Omega$ a fost determinată cu precizie de 0,5(%) într-un ampermetru de 1A.
8. Generați un algoritm pentru rezolvarea unei ecuații de gradul doi, care evită fenomenul de anulare prin scădere.
9. Generați și implementați un algoritm, pentru evaluarea funcțiilor Bessel.



Brook Taylor (1685, Anglia - 1731, Anglia)

<http://www-groups.dcs.st-and.ac.uk/history/Mathematicians/Taylor.html>



Jean Baptiste Joseph Fourier (1768, France - 1830, France)

<http://www-groups.dcs.st-and.ac.uk/history/Mathematicians/Fourier.html>

Lucrarea 3

Rezolvarea sistemelor de ecuații liniare prin metoda Gauss. Strategii de pivotare în rezolvarea sistemelor algebrice liniare

3.1 Metoda Gauss fără pivotare

3.1.1 Caracterizarea metodei

Metoda Gauss este o metodă directă de rezolvare a sistemelor de ecuații algebrice liniare care au matricea sistemului pătrată și nesingulară. Soluția sistemului se obține după un număr finit de pași.

În lucrare se prezintă principiul metodei și se analizează algoritmul atât din punctul de vedere al complexității cât și al stabilității numerice, evidențiindu-se limitele acestei metode.

3.1.2 Principiul metodei

Fie sistemul de ecuații:

$$\begin{aligned} a_{11}x_1 + a_{12}x_2 + \dots + a_{1n}x_n &= b_1 \\ a_{21}x_1 + a_{22}x_2 + \dots + a_{2n}x_n &= b_2 \\ &\dots\dots\dots \\ a_{n1}x_1 + a_{n2}x_2 + \dots + a_{nn}x_n &= b_n \end{aligned} \tag{3.1}$$

sau în forma matriceală

$$Ax = b \quad (3.2)$$

A fiind matricea pătrată $n \times n$ - dimensională, iar b și x doi vectori n - dimensionali. Cunoscând matricea sistemului A și termenul liber b se pune problema determinării soluției x .

Înmulțind prima ecuație, pe rând, cu $-a_{i1}/a_{11}$, pentru $i = 2, \dots, n$, apoi adunând-o la ecuația cu numărul i , se elimină x_1 din toate ecuațiile, cu excepția primei ecuații:

$$\begin{aligned} a_{11}x_1 + a_{12}x_2 + \dots + a_{1n}x_n &= b_1 \\ a_{22}x_2 + \dots + a_{2n}x_n &= b_2 \\ &\dots\dots\dots \\ a_{n2}x_2 + \dots + a_{nn}x_n &= b_n \end{aligned} \quad (3.3)$$

Coefficienții care apar în liniile 2, ..., n, deși modificați, s-au notat în același mod, deoarece ei se vor memora în aceleași locații de memorie.

Înmulțind a doua ecuație cu a_{i2}/a_{22} și adunând-o apoi la ecuația i , pentru $i = 3, \dots, n$, se elimină x_2 din toate ecuațiile aflate sub linia a doua.

Se continuă astfel până se aduce sistemul la forma:

$$\begin{aligned} a_{11}x_1 + a_{12}x_2 + \dots + a_{1n}x_n &= b_1 \\ a_{22}x_2 + \dots + a_{2n}x_n &= b_2 \\ &\dots\dots\dots \\ a_{nn}x_n &= b_n \end{aligned} \quad (3.4)$$

unde $a_{11}, \dots, a_{nn}, b_1, \dots, b_n$ au alte valori decât în sistemul inițial.

Necunoscutele se determină prin retrosubstituție:

$$\begin{aligned} x_n &= \frac{b_n}{a_{nn}}, \\ x_{n-1} &= \frac{b_{n-1} - a_{n-1,n}x_n}{a_{n-1,n-1}}, \\ &\dots\dots\dots \\ x_k &= \frac{b_k - \sum_{j=k+1}^n a_{kj}x_j}{a_{k,k}}, \\ &\dots\dots\dots \\ x_1 &= \frac{b_1 - \sum_{j=2}^n a_{1j}x_j}{a_{11}}. \end{aligned} \quad (3.5)$$

Etapa de aducere a matricei A la forma triunghiulară se numește *eliminare* sau *triangularizare*, iar etapa de determinare a soluțiilor - *substituție regresivă* sau *retrosubstituție*. Fiecare din elementele a_{kk} , cu $k = 1, 2, \dots, n$ se numește *pivot*.

Dacă la o etapă a algoritmului se întâlnește un pivot nul, pentru a evita o împărțire la 0 este necesară o permutare a liniilor (sau a liniilor și coloanelor) în scopul aducerii pe linia i , coloana i a unui element nenul. Această operație poartă numele de *pivotare*.

3.1.3 Pseudocodul algoritmului Gauss fără pivotare

```

procedura gauss_fp( $n, a, b, x$ )
  tablou real  $a(n, n), b(n), x(n)$ 
  ;eliminare
  pentru  $k = 1, n - 1$                                 ;etapele eliminării
    pentru  $i = k + 1, n$                                 ;parcurge coloana de sub pivot
       $p = a_{ik}/a_{kk}$ 
      pentru  $j = k + 1, n$                                 ;parcurge linia  $i$ , la dreapta
         $a_{ij} = a_{ij} - a_{kj}p$                             ;pivotul
         $b_i = b_i - b_k p$ 
  ;retrosubstituție
   $x_n = b_n/a_{nn}$ 
  pentru  $i = n - 1, 1, -1$ 
     $s = b_i$ 
    pentru  $j = n, i + 1, -1$ 
       $s = s - a_{ij}x_j$ 
     $x_i = s/a_{ii}$ 

retur

```

Procedura are parametrii:

- de intrare:
 - n = dimensiunea sistemului;
 - $a(n, n)$ = matricea sistemului;
 - $b(n)$ = vectorul termenilor liberi;
- de ieșire:
 - $x(n)$ = vectorul soluție.

Matricea A este adusă la forma superior triunghiulară după $n - 1$ pași. La fiecare pas k , linia k și cele de deasupra ei, coloana k și cele din stânga ei nu sunt afectate.

3.1.4 Analiza complexității

Efort de calcul

Pentru trecerea de la pasul k la pasul $k + 1$ se efectuează:

- $(n - k)(n - k + 1)$ înmulțiri,
- $(n - k)(n - k + 1)$ adunări,
- $(n - k)$ împărțiri.

În consecință, pentru trecerea de la matricea inițială la forma superior triunghiulară, se vor efectua:

- $\sum_{k=1}^{n-1} (n - k)(n - k + 1) = n(n^2 - 1)/3$ înmulțiri,
- $\sum_{k=1}^{n-1} (n - k)(n - k + 1) = n(n^2 - 1)/3$ adunări,
- $\sum_{k=1}^{n-1} (n - k) = n(n - 1)/2$ împărțiri.

În etapa de retrosubstituție se mai efectuează:

- $\sum_{i=1}^{n-1} (n - i) = n(n - 1)/2$ înmulțiri,
- $\sum_{i=1}^{n-1} (n - i) = n(n - 1)/2$ adunări,
- n împărțiri.

Deci, în total se efectuează:

- $n(n - 1)(2n + 5)/6$ înmulțiri,
- $n(n - 1)(2n + 5)/6$ adunări,
- $n(n + 1)/2$ împărțiri.

Deoarece, în general, timpul necesar calculatorului pentru a efectua o înmulțire sau o împărțire este aproximativ egal cu cel consumat pentru o adunare, efortul de calcul este $2n(2n^2 + 6n - 2)/6$ operații aritmetice elementare.

Dacă n este mare ($n > 2$), efortul de calcul este de ordinul $2n^3/3$ și se notează $O(2n^3/3)$.

Necesarul de memorie

Pentru memorarea matricei A și a vectorilor b și x sunt necesare: $n^2 + n + n = n(n + 2)$ locații de memorie, fiecare locație de memorie fiind rezervată unui număr real.

3.1.5 Analiza erorilor

Rulat pe un calculator ipotetic de precizie infinită, algoritmul Gauss permite determinarea soluției exacte a sistemului. Cu alte cuvinte acest algoritm nu introduce eroare de metodă.

Pot apare însă erori de rotunjire, datorate preciziei finite a echipamentului de calcul. Aceste erori cresc odată cu creșterea dimensiunii n a sistemului.

Metoda Gauss în această variantă (fără pivotare) poate genera instabilități numerice chiar dacă nu se întâlnește vreun element a_{ii} nul, din cauza erorilor de rotunjire.

Pentru evaluarea erorii se poate folosi reziduul

$$r = Ax - b, \quad (3.6)$$

mai precis norma lui. Această normă poate fi evaluată euclidian:

$$\|r\| = \sqrt{\sum_k r_k^2} \quad (3.7)$$

sau în sens Cebîșev:

$$\|r\| = \max \|r_k\|, \quad k = 1, \dots, n. \quad (3.8)$$

Eroarea relativă se definește ca

$$\varepsilon_r = \|r\|/\|b\|. \quad (3.9)$$

Norma reziduului definită anterior, nu trebuie confundată cu norma erorii adevărate:

$$e = \|x_{\text{adevărat}} - x\|. \quad (3.10)$$

Eroarea relativă adevărată se definește ca:

$$\varepsilon = e/\|x_{\text{adevărat}}\|. \quad (3.11)$$

Calculul erorii (3.10) ar necesita însă cunoașterea soluției exacte a sistemului. De aceea, în practică se face doar o *evaluare* a erorii, folosind norma reziduului, care însă poate avea o valoare mai mare sau mai mică decât eroarea reală.

3.2 Strategii de pivotare în rezolvarea sistemelor algebrice liniare

3.2.1 Caracterizarea metodei

Pivotarea este o metodă care permite extinderea domeniului de aplicabilitate a metodei Gauss și îmbunătățirea stabilității ei numerice.

În acest paragraf se analizează diferite strategii de pivotare și efectele lor asupra erorii cu care se obține soluția.

3.2.2 Principiul metodei

La rezolvarea unui sistem de ecuații prin metode directe, de exemplu prin metoda Gauss, poate apare situația în care un element pivot a_{kk} este nul, chiar dacă matricea sistemului este nesingulară. Metodele directe necesitând împărțirea la pivot, sistemul nu se poate rezolva în forma dată.

Permutarea liniilor și/sau a coloanelor astfel încât să se aducă pe poziția diagonală (k, k) , un element nenul se numește *pivotare*. Pentru a obține o bună stabilitate numerică (erori de rotunjire minime) se preferă alegerea ca pivot a unui element de modul maxim.

Se pot utiliza trei strategii de pivotare: parțială, totală sau diagonală.

Pivotarea parțială constă în căutarea pivotului de modul maxim printre toți coeficienții aflați sub linia k și pe coloana k și aducerea acestui element pe poziția (k, k) prin permutări de linii (ceea ce este echivalent cu schimbarea ordinii ecuațiilor).

Pivotarea totală constă în căutarea pivotului de modul maxim printre toți coeficienții aflați sub linia k și la dreapta coloanei k și aducerea acestui element pe poziția (k, k) prin permutări de linii și de coloane (se schimbă atât ordinea liniilor cât și cea a coloanelor).

Pivotarea diagonală constă în căutarea pivotului optim doar printre elementele diagonale a_{ii} , cu $i \geq k$. Aducerea acestui element pe poziția (k, k) se face, ca și la pivotarea totală, prin permutări de linii și coloane. Avantajul acestei strategii de pivotare este păstrarea simetriei matricei sistemului.

La metoda cu pivotare parțială, unde se fac doar permutări de linii, ordinea necunoscutelor în fiecare ecuație nu se modifică. La metodele cu pivotare totală sau diagonală, datorită permutării coloanelor, se modifică și ordinea necunoscutelor în sistem. De aceea, aceste strategii impun memorarea permutărilor de coloane făcute pe parcursul algoritmului, pentru a se putea reconstitui la sfârșit ordinea inițială a necunoscutelor.

3.2.3 Pseudocodul algoritmului Gauss cu pivotare parțială

```

funcția gausspp (n, a, b, x)
  tablou real  $a(n, n)$ ,  $b(n)$ ,  $x(n)$ 
  ; eliminare ; etapele eliminării
  pentru  $k = 1, n - 1$  ; găsire pivot
     $max = k$ 
    pentru  $m = k + 1, n$ 

```

dacă $|a_{mx}| > |a_{max,k}|$ **atunci** $max = m$
dacă $a_{max,k} = 0$ **atunci** **întoarce** 1 ; eroare
dacă $max \neq k$ **atunci** ; permută liniile max, k
pentru $m = k, n$
 $temp = a_{km}$
 $a_{km} = a_{max,m}$
 $a_{max,m} = temp$
 $temp = b_k$; permută termenii liberi
 $b_k = b_{max}$
 $b_{max} = temp$; s-a găsit pivotul
pentru $i = k + 1, n$; parcurge coloana de sub pivot
dacă $a_{ik} \neq 0$ **atunci**
 $p = a_{ik}/a_{kk}$
pentru $j = k + 1, n$; parcurge linia i
 $a_{ij} = a_{ij} - a_{kj} \cdot p$; la dreapta pivotului
 $b_i = b_i - b_k \cdot p$
; retrosubstituție
dacă $a_{n,n} = 0$ **atunci** **întoarce** 1 ; eroare
 $x_n = b_n/a_{n,n}$
pentru $i = n - 1, 1, -1$
 $s = b_i$
pentru $j = n, i + 1, -1$
 $s = s - a_{ij} \cdot x_j$
 $x_i = s/a_{ii}$
întoarce 0

Funcția are parametrii:

- de intrare:

n = dimensiunea sistemului;
 $a(n, n)$ = matricea sistemului;
 $b(n)$ = vectorul termenilor liberi.

- de ieșire:

$x(n)$ = vectorul soluției.

Funcția întoarce:

- 0 - dacă algoritmul s-a executat integral;
- 1 - dacă matricea sistemului este singulară.

3.2.4 Analiza complexității

Efort de calcul

Dacă se neglijează timpul consumat datorită permutărilor de linii, efortul de calcul la procedura Gauss cu pivotare este de ordinul $O(2n^3/3)$, ca și la cea fără pivotare.

Necesarul de memorie

Pentru memorarea matricei \mathbf{A} și a vectorilor \mathbf{b} și \mathbf{x} sunt necesare:

$$n^2 + n + n = n(n + 2)$$

locații, fiecare locație de memorie fiind rezervată unui număr real.

3.2.5 Analiza erorilor

Erorile se calculează la fel ca la algoritmul Gauss fără pivotare. Deși stabilitatea numerică a algoritmului cu pivotare este în general mai bună, totuși, erorile de rotunjire pot afecta grav soluția în cazul sistemelor slab condiționate.

3.3 Chestiuni de studiat

1. Rezolvarea unor sisteme algebrice liniare;
2. Analiza experimentală a algoritmilor;
3. Implementarea algoritmilor într-un limbaj de programare;
4. Căutare de informații legate de această temă.

3.4 Modul de lucru

Se selectează lucrarea *Rezolvarea sistemelor cu metoda Gauss* din meniul principal. Aceasta are ca efect lansarea următorului meniu:

- Rezolvare sisteme de ecuații
- Analiza algoritmilor

3.4.1 Rezolvarea unor sisteme algebrice liniare

Se selectează opțiunea *Rezolvare sisteme de ecuații*.

Se vor introduce parametrii necesari pentru rezolvarea următoarelor sisteme:

$$\left\{ \begin{array}{l} x_1 + x_2 + x_3 + x_4 + x_5 = 9 \\ 2x_1 + x_2 + x_3 + 3x_4 + x_5 = 12 \\ x_1 + x_2 + 3x_3 + x_4 + 2x_5 = 17 \\ 2x_1 + 3x_2 + x_3 + 2x_4 + x_5 = 15 \\ x_1 + x_2 + x_3 + x_4 + 4x_5 = 15 \end{array} \right. \quad R: \begin{array}{l} x_1 = 1 \\ x_2 = 2 \\ x_3 = 3 \\ x_4 = 1 \\ x_5 = 2 \end{array}$$

$$\left\{ \begin{array}{l} x_1 + x_2 - 2x_3 = -3 \\ 3x_1 + \quad \quad \quad x_3 = 10 \\ x_1 + 2x_2 + x_3 = 12 \end{array} \right. \quad R: \begin{array}{l} x_1 = 2 \\ x_2 = 3 \\ x_3 = 4 \end{array}$$

$$\left\{ \begin{array}{l} \quad \quad \quad y + z = 4 \\ 2x + y + 2z = 11 \\ x + 2y + z = 7 \end{array} \right.$$

$$\left\{ \begin{array}{l} x + 2y + z = 7 \\ x + 2y + 2z = 10 \\ 2x + 4y + 3z = 11 \end{array} \right.$$

$$\left\{ \begin{array}{l} mx_1 + 1000x_2 = 1000 \\ 1000x_1 \quad \quad = 1000 \end{array} \right.$$

unde m ia valorile: 1000, 100, 10, 1, 10^{-1} , 10^{-4} , 10^{-5} , 10^{-6} .

Se vor selecta pe rând metoda fără pivotare și apoi cu pivotare. Se vor comenta rezultatele obținute.

3.4.2 Analiza experimentală a algoritmului

Se selectează opțiunea *Analiza algoritmilor*.

Astfel, se apelează un program care rezolvă sisteme de ecuații liniare de diferite mărimi prin metoda Gauss fără pivotare, Gauss cu pivotare parțială și Gauss cu pivotare totală.

Parametrul de intrare al programului este dimensiunea sistemului, n . După preluarea acestui parametru programul generează aleator un sistem de n ecuații și n necunoscute, îl rezolvă și afișează: eroarea absolută, eroarea relativă și reziduul rezultatului, calculate fiecare cu formula normei Euclidiene, sau a normei Cebîșev (în total 6 valori). Se afișează de asemenea timpul de calcul.

Pentru a simplifica operația de culegere a datelor numerice, programul cere valoarea inițială a lui n , valoarea finală și pasul. Se recomandă folosirea următoarelor valori: valoare inițială 10, valoare finală 100, pas 10, ceea ce corespunde șirului de valori $n = 10, 20, 30, 40, 50, 60, 70, 80, 90, 100$.

Rezultatele numerice sunt afișate în consola Scilab și reprezentate grafic.

Se vor nota pentru fiecare n și fiecare metodă eroarea relativă (norma Euclidiană și norma Cebîșev) și reziduul relativ (norma euclidiană), precum și timpul de calcul.

| n | | 10 | 20 | | 90 | 100 |
|--------------------------|--------|----|----|-------|----|-----|
| timp [s] | G.f.p | | | | | |
| | G.p.p | | | | | |
| | G.p.t | | | | | |
| er.rel (Euclid) | G.f.p | | | | | |
| | G.p.p. | | | | | |
| er.rel (Cebîșev) | G.f.p | | | | | |
| | G.p.p. | | | | | |
| reziduu rel. (Euclid) | G.f.p | | | | | |
| | G.p.p. | | | | | |

Se vor reprezenta pe hârtie milimetrică:

- curba timpului de calcul în funcție de dimensiunea sistemului n ;
- curbele erorilor de calcul în funcție de n .

3.4.3 Implementarea algoritmilor într-un limbaj de programare

Se va implementa o procedură proprie de rezolvare a unui sistem de ecuații prin metoda Gauss fără pivotare. Se va compila procedura eliminându-se eventualele erori.

Se va scrie pseudocodul și se va implementa pe calculator un program care apelează procedura de la punctul anterior și rezolvă sistemul de ecuații:

$$\begin{cases} 2x + y + z = 7 & R : x = 1 \\ x + y + z = 6 & y = 2 \\ 2x + y + 3z = 13 & z = 3 \end{cases}$$

Acest program va permite introducerea datelor de la consolă și afișarea pe ecran a soluției. Se vor nota și comenta rezultatele obținute, eventualele dificultăți apărute pe parcursul lucrului.

3.4.4 Căutare de informații

Căutați pe Internet informații (coduri) legate de metoda Gauss pentru rezolvarea directă a sistemelor de ecuații liniare. Exemple de cuvinte cheie: *Gauss elimination and back substitution*.

3.5 Exemple

3.5.1 Exemple rezolvate

1. Fie sistemul de ecuații:

$$\begin{cases} x + 2y - z = 4 \\ 2x + 2y - 3z = 2 \\ -3x + 2y + 2z = 2 \end{cases}$$

Să se rezolve sistemul de ecuații prin metoda Gauss.

Rezolvare:

Deoarece matricea coeficienților sistemului de ecuații este pătrată și nesingulară, metoda Gauss se poate aplica pentru rezolvarea sistemului de ecuații.

Metoda Gauss constă în etapa de eliminare și etapa de retrosubstituție.

În **etapa de eliminare** (sau triangularizare) matricea coeficienților sistemului de ecuații se aduce la forma superior triunghiulară.

Pentru triangularizarea matricii, prima ecuație (linie, notată L_1 în cele ce urmează) se înmulțește cu $-(2/1)$ și se adună la a doua ecuație (linie, L_2) pentru a se elimina termenul în x din a doua ecuație. De notat că, după acest pas, prima ecuație nu se modifică, doar a două ecuație suferă modificări, conform relației $L'_2 = L_2 + (-2) \cdot L_1$.

$$\begin{array}{l} L_1 \\ L_2 \\ L_3 \end{array} \begin{cases} x + 2y - z = 4 \\ 2x + 2y - 3z = 2 \\ -3x + 2y + 2z = 2 \end{cases} \quad \left| \cdot \left(-\frac{2}{1}\right) \right. \quad \begin{array}{l} \\ \\ \xrightarrow{L'_2 = L_2 + (-2) \cdot L_1} \end{array}$$

$$\begin{array}{l} L_1 \\ L'_2 \\ L_3 \end{array} \begin{cases} x + 2y - z = 4 \\ -2y - z = -6 \\ -3x + 2y + 2z = 2 \end{cases}$$

În continuare, prima ecuație (L_1) se înmulțește cu $-[(-3)/1]$ și se adună la a treia ecuație (L_3), astfel eliminându-se termenul în x și din a treia ecuație ($L'_3 = L_3 + 3 \cdot L_1$).

$$\begin{array}{l} L_1 \\ L'_2 \\ L_3 \end{array} \left\{ \begin{array}{l} x + 2y - z = 4 \\ -2y - z = -6 \\ -3x + 2y + 2z = 2 \end{array} \right. \quad \left| \cdot \left(-\frac{3}{1}\right) \right. \quad \begin{array}{l} \\ \\ \xrightarrow{L'_3=L_3+3\cdot L_1} \end{array}$$

$$\begin{array}{l} L_1 \\ L'_2 \\ L'_3 \end{array} \left\{ \begin{array}{l} x + 2y - z = 4 \\ -2y - z = -6 \\ +8y - z = 14 \end{array} \right.$$

Se observă că elementele de sub elementul diagonal din prima ecuație sunt nuli.

Mai departe, se urmărește anularea elementelor de sub elementul diagonal din a doua ecuație.

Astfel, a doua ecuație (L'_2) se înmulțește cu $-[8/(-2)]$ și se adună la a treia ecuație (L'_3), eliminându-se termenul în y din a treia ecuație ($L''_3 = L'_3 + 4 \cdot L'_2$). De notat că ecuația a doua (L'_2) nu suferă modificări.

$$\begin{array}{l} L_1 \\ L'_2 \\ L'_3 \end{array} \left\{ \begin{array}{l} x + 2y - z = 4 \\ -2y - z = -6 \\ +8y - z = 14 \end{array} \right. \quad \left| \cdot \left(-\frac{8}{-2}\right) \right. \quad \begin{array}{l} \\ \\ \xrightarrow{L''_3=L'_3+4\cdot L'_2} \end{array}$$

$$\begin{array}{l} L_1 \\ L'_2 \\ L''_3 \end{array} \left\{ \begin{array}{l} x + 2y - z = 4 \\ -2y - z = -6 \\ -5z = -10 \end{array} \right.$$

Se observă că matricea coeficienților ultimului sistem de ecuații este superior triunghiulară.

Necunoscutele sistemului se determină în **etapa de retrosubstituție** (substituție regresivă).

În ultima ecuație apare o singură necunoscută, z , care se calculează astfel:

$$z = \frac{-10}{-5} = 2.$$

În a doua ecuație, avem tot o singură necunoscută, y , deoarece z este deja calculat la pasul precedent. Astfel:

$$y = \frac{-6 + z}{-2} = \frac{-6 + 2}{-2} = 2.$$

În sfârșit, în prima ecuație, singura necunoscută este acum x , iar y și z fiind calculate la pașii anteriori. Rezultă:

$$x = \frac{4 - 2y + z}{1} = 4 - 4 + 2 = 2.$$

Soluția sistemului de ecuații este (2, 2, 2).

2. Fie sistemul de ecuații:

$$\begin{cases} -x + 2y + 4z = 5 \\ 3x - y + z = 3 \\ -2x - y + z = -2 \end{cases}$$

Să se rezolve sistemul de ecuații prin metoda Gauss.

Rezolvare:

Etapa de eliminare:

- Prima ecuație (L_1) se înmulțește cu $-[3/(-1)]$ și se adună la a doua ecuație (L_2), astfel se elimină termenul în x din a doua ecuație. Doar a doua ecuație se modifică ($L'_2 = L_2 + 3 \cdot L_1$).

- Prima ecuație (L_1) se înmulțește cu $-[(-2)/(-1)]$ și se adună la a treia ecuație (L_3), astfel se elimină termenul în x și din a treia ecuație ($L'_3 = L_3 + (-2) \cdot L_1$).

De precizat că prima ecuație (L_1) nu se modifică.

$$\begin{array}{l} L_1 \\ L_2 \\ L_3 \end{array} \begin{cases} -x + 2y + 4z = 5 \\ 3x - y + z = 3 \\ -2x - y + z = -2 \end{cases} \begin{array}{l} | \cdot (-\frac{3}{-1}) \\ | \cdot (-\frac{-2}{-1}) \\ \end{array} \begin{array}{l} \xrightarrow{L'_2=L_2+3 \cdot L_1} \\ \xrightarrow{L'_3=L_3+(-2) \cdot L_1} \end{array}$$

$$\begin{array}{l} L_1 \\ L'_2 \\ L'_3 \end{array} \begin{cases} -x + 2y + 4z = 5 \\ 5y + 13z = 18 \\ -5y - 7z = -12 \end{cases}$$

- A doua ecuație (L'_2) se înmulțește cu $-[(-5)/5]$ și se adună la a treia ecuație (L'_3), eliminându-se y din a treia ecuație ($L''_3 = L'_3 + 1 \cdot L'_2$).

De notat că ecuația a doua (L'_2) nu suferă modificări.

$$\begin{array}{l} L_1 \\ L'_2 \\ L'_3 \end{array} \begin{cases} -x + 2y + 4z = 5 \\ 5y + 13z = 18 \\ -5y - 7z = -12 \end{cases} \begin{array}{l} \\ | \cdot (-\frac{-5}{5}) \\ \end{array} \xrightarrow{L''_3=L'_3+L'_2}$$

$$\begin{array}{l} L_1 \\ L'_2 \\ L''_3 \end{array} \begin{cases} -x + 2y + 4z = 5 \\ 5y + 13z = 18 \\ 6z = 6 \end{cases}$$

Se observă că matricea coeficienților ultimului sistem de ecuații este superior triunghiulară.

Etapa de retrosubstituție:

- Necunoscutele sistemului se determină astfel:

$$\begin{aligned} z &= \frac{6}{6} = 1 \\ y &= \frac{18-13z}{5} = \frac{18-13}{5} = 1 \\ x &= \frac{5-2y-4z}{-1} = \frac{5-2-4}{-1} = 1. \end{aligned}$$

Soluția sistemului de ecuații este (1, 1, 1).

3. Fie sistemul de ecuații:

$$\begin{cases} -2x + y - z = -3 \\ -4x + 4y + z = 7 \\ 6x + 2y + 3z = 19 \end{cases}$$

Să se rezolve sistemul de ecuații prin metoda Gauss.

Rezolvare:

Etapa de eliminare:

$$\begin{array}{l} L_1 \\ L_2 \\ L_3 \end{array} \begin{cases} -2x + y - z = -3 \\ -4x + 4y + z = 7 \\ 6x + 2y + 3z = 19 \end{cases} \begin{array}{l} | \cdot (-\frac{4}{-2}) \\ | \cdot (-\frac{6}{-2}) \\ \end{array} \begin{array}{l} L'_2 = L_2 + (-2) \cdot L_1 \\ L'_3 = L_3 + 3 \cdot L_1 \end{array}$$

$$\begin{array}{l} L_1 \\ L'_2 \\ L'_3 \end{array} \begin{cases} -2x + y - z = -3 \\ 2y + 3z = 13 \\ 5y = 10 \end{cases} \begin{array}{l} | \cdot (-\frac{5}{2}) \\ \end{array} \begin{array}{l} L''_3 = L'_3 + (-5/2) \cdot L'_2 \end{array}$$

$$\begin{array}{l} L_1 \\ L'_2 \\ L''_3 \end{array} \begin{cases} -2x + y - z = -3 \\ 2y + 3z = 13 \\ -\frac{15}{2}z = -\frac{45}{2} \end{cases}$$

Matricea coeficienților ultimului sistem de ecuații este superior triunghiulară.

Se observă că în ultima ecuație a penultimului sistem de ecuații de mai sus există o singură necunoscută, y . Determinarea lui y din această ecuație este corectă din punct de vedere matematic, dar nu este conform metodei Gauss. La metoda Gauss, necunoscutele sistemului se determină când matricea sistemului are o formă superior triunghiulară, ceea ce nu este cazul matricii penultimului sistem de ecuații.

Etapa de retrosubstituție:

$$\begin{aligned} z &= \frac{-\frac{45}{2}}{-\frac{15}{2}} = 3 \\ y &= \frac{13-3z}{2} = \frac{13-9}{2} = 2 \\ x &= \frac{-3-y+z}{-2} = \frac{-3-2+3}{-2} = 1. \end{aligned}$$

Soluția sistemului de ecuații este (1, 2, 3).

4. Fie sistemul de ecuații:

$$\begin{cases} 2y - 3z = -1 \\ x + y - z = 1 \\ -2x + 3y + z = 2 \end{cases}$$

Să se rezolve sistemul de ecuații prin metoda Gauss.

Rezolvare:

Etapa de eliminare:

În prima ecuație coeficientul diagonal (pivotul, termenul în x) este nul, ceea ce ar duce la o împărțire la zero în etapa de eliminare. Din acest motiv, trebuie să se aplice o tehnică de pivotare. Se va utiliza pivotarea parțială (permutarea a două linii), fiind cea mai ușor de aplicat.

Pentru a obține erori de rotunjire minime, se permută prima ecuație (cu pivot nul) cu ecuația care are termenul în x maxim în modul (coeficientul de sub pivotul nul). Se observă că a treia ecuație îndeplinește această condiție ($|-2| > |1|$).

Astfel, prima ecuație se permută cu a treia ecuație, iar sistemul de ecuații devine:

$$\begin{array}{l} L'_1 \\ L_2 \\ L'_3 \end{array} \begin{cases} -2x + 3y + z = 2 & | \cdot (-\frac{1}{-2}) \\ x + y - z = 1 \\ 2y - 3z = -1 \end{cases} \quad L'_2 = L_2 + (1/2) \cdot L'_1$$

$$\begin{array}{l} L'_1 \\ L'_2 \\ L'_3 \end{array} \begin{cases} -2x + 3y + z = 2 \\ \frac{5}{2}y - \frac{1}{2}z = 2 & | \cdot (-\frac{4}{5}) \\ 2y - 3z = -1 \end{cases} \quad L''_3 = L'_3 + (-4/5) \cdot L'_2$$

$$\begin{array}{l} L'_1 \\ L'_2 \\ L''_3 \end{array} \begin{cases} -2x + 3y + z = 2 \\ \frac{5}{2}y - \frac{1}{2}z = 2 \\ -\frac{13}{5}z = -\frac{13}{5} \end{cases}$$

Matricea coeficienților ultimului sistem de ecuații este superior triunghiulară.

Etapa de retrosubstituție:

$$\begin{aligned} z &= \frac{-\frac{13}{5}}{-\frac{13}{5}} = 1 \\ y &= \frac{2 + \frac{1}{2}z}{\frac{5}{2}} = \frac{2 + \frac{1}{2}}{\frac{5}{2}} = 1 \\ x &= \frac{2 - 3y - z}{-2} = \frac{2 - 3 - 1}{-2} = 1. \end{aligned}$$

Soluția sistemului de ecuații este $(1, 1, 1)$.

5. Fie sistemul de ecuații:

$$\begin{cases} -x + y + z + w = 2 \\ 2x - 2y - z + w = 0 \\ -3x + 2y + z - w = -1 \\ x - 3y + z + 2w = 1 \end{cases}$$

Să se rezolve sistemul de ecuații prin metoda Gauss.

Rezolvare:

Etapa de eliminare:

$$\begin{array}{l} L_1 \\ L_2 \\ L_3 \\ L_4 \end{array} \begin{cases} -x + y + z + w = 2 \\ 2x - 2y - z + w = 0 \\ -3x + 2y + z - w = -1 \\ x - 3y + z + 2w = 1 \end{cases} \begin{array}{l} | \cdot (-\frac{2}{-1}) \quad | \cdot (-\frac{-3}{-1}) \quad | \cdot (-\frac{1}{-1}) \\ \xrightarrow{L'_2 = L_2 + 2 \cdot L_1} \\ \xrightarrow{L'_3 = L_3 + (-3) \cdot L_1} \\ \xrightarrow{L'_4 = L_4 + L_1} \end{array}$$

$$\begin{array}{l} L_1 \\ L'_2 \\ L'_3 \\ L'_4 \end{array} \begin{cases} -x + y + z + w = 2 \\ z + 3w = 4 \\ -y - 2z - 4w = -7 \\ -2y + 2z + 3w = 3 \end{cases}$$

În a doua ecuație coeficientul diagonal (pivotul, termenul în y) este nul, fiind necesară o pivotare parțială.

Pentru a obține erori de rotunjire minime, se permută a doua ecuație (cu pivot nul) cu ecuația care are termenul în y maxim în modul (coeficientul de sub pivotul nul). Se observă că a patra ecuație îndeplinește această condiție ($|-2| > |-1|$).

Astfel, a doua ecuație se permută cu a patra ecuație, iar sistemul de ecuații devine:

$$\begin{array}{l} L_1 \\ L_2'' \\ L_3' \\ L_4'' \end{array} \left\{ \begin{array}{l} -x + y + z + w = 2 \\ -2y + 2z + 3w = 3 \quad | \cdot (-\frac{-1}{-2}) \\ -y - 2z - 4w = -7 \\ z + 3w = 4 \end{array} \right. \quad L_3' = L_3' + (-1/2) \cdot L_2''$$

$$\begin{array}{l} L_1 \\ L_2'' \\ L_3'' \\ L_4'' \end{array} \left\{ \begin{array}{l} -x + y + z + w = 2 \\ -2y + 2z + 3w = 3 \\ -3z - \frac{11}{2}w = -\frac{17}{2} \quad | \cdot (-\frac{1}{-3}) \\ z + 3w = 4 \end{array} \right. \quad L_4'' = L_4'' + (1/3) \cdot L_3''$$

$$\begin{array}{l} L_1 \\ L_2'' \\ L_3'' \\ L_4''' \end{array} \left\{ \begin{array}{l} -x + y + z + w = 2 \\ -2y + 2z + 3w = 3 \\ -3z - \frac{11}{2}w = -\frac{17}{2} \\ \frac{7}{6}w = \frac{7}{6} \end{array} \right.$$

Matricea coeficienților ultimului sistem de ecuații este superior triunghiulară.

Etapa de retrosubstituție:

$$\begin{aligned} w &= \frac{\frac{7}{6}}{\frac{7}{6}} = 1 \\ z &= \frac{-\frac{17}{2} + \frac{11}{2}w}{-3} = \frac{-\frac{17}{2} + \frac{11}{2}}{-3} = 1 \\ y &= \frac{3 - 2z - 3w}{-2} = \frac{3 - 2 - 3}{-2} = 1 \\ x &= \frac{2 - y - z - w}{-1} = \frac{2 - 1 - 1 - 1}{-1} = 1. \end{aligned}$$

Soluția sistemului de ecuații este (1, 1, 1, 1).

3.5.2 Exemple propuse

1. Fie sistemul de ecuații:

$$\left\{ \begin{array}{l} 3x - y + z = 3 \\ 3x - 6y + z = -2 \\ -x + 2y + 4z = 5 \end{array} \right.$$

Să se rezolve sistemul de ecuații prin metoda directă Gauss.

2. Fie sistemul de ecuații:

$$\left\{ \begin{array}{l} x + y - 3z = -1 \\ 2x + y - z = 2 \\ x - y - z = -1 \end{array} \right.$$

Să se rezolve sistemul de ecuații prin metoda directă Gauss.

3. Fie sistemul de ecuații:

$$\begin{cases} x + 2y - z = 2 \\ 2x - y - 2z = -1 \\ -x + y + z = 1 \end{cases}$$

Să se rezolve sistemul de ecuații prin metoda Gauss.

4. Fie sistemul de ecuații:

$$\begin{cases} y + z = 3 \\ 2x + y - z = 1 \\ -x - y + 2z = 2 \end{cases}$$

Să se rezolve sistemul de ecuații prin metoda Gauss.

5. Fie sistemul de ecuații:

$$\begin{cases} -x + y + z = 1 \\ 2x - 2y - z = -1 \\ -3x + y + z = -1 \end{cases}$$

Să se rezolve sistemul de ecuații prin metoda Gauss.

3.6 Întrebări

1. Cum se pot verifica soluțiile obținute în urma rezolvării unui sistem de ecuații? Cum s-ar putea evalua eroarea cu care s-au determinat necunoscutele?
2. Dați exemplu de un sistem, cu matricea A nesingulară, care nu poate fi rezolvat prin algoritmul Gauss fără pivotare.
3. Care este ordinul de complexitate al algoritmului Gauss? Să se compare valoarea teoretică cu valorile obținute în urma experimentărilor.
4. Să se evalueze durata medie a unei operații matematice elementare.
5. Cum variază erorile de calcul introduse de algoritmul Gauss cu dimensiunea sistemului? Care este explicația?
6. Cât de bine este evaluată eroarea adevărată prin norma reziduuului?
7. Evidențiați utilitatea acestei proceduri în electrotehnică.

8. Ce modificări trebuie aduse procedurii pentru a rezolva sisteme cu coeficienți complecși?
9. Ce alte îmbunătățiri se pot aduce procedurii?
10. Ce limitări are algoritmul prezentat în capitolul 3?
11. Cum variază timpul de calcul la rezolvarea de sisteme liniare prin metodele Gauss fără pivotare și cu pivotare? Care este explicația?
12. Care sunt avantajele și dezavantajele metodelor cu pivotare?
13. Cum variază erorile de calcul introduse de algoritmul Gauss pentru metodele: fără pivotare, cu pivotare parțială, cu pivotare totală?
14. Să se facă o analiză a celor trei metode, luând în considerație erorile și timpul de calcul. Care este metoda optimă?
15. Ce modificări trebuie aduse algoritmului pentru a rezolva sistemul cu coeficienți complecși?
16. Ce alte îmbunătățiri se pot aduce algoritmului?
17. Documentați-vă în literatura de specialitate și pe internet cum poate fi evaluată eroarea soluției numerice a unui sistem de ecuații algebrice liniare, atunci când termenul liber este perturbat. Ce se înțelege printr-un sistem liniar bine condiționat și, respectiv, slab condiționat? Cum se definește "numărul de condiționare" și cum se folosește acesta pentru a stabili gradul de condiționare al unei probleme?
18. Cum se rezolvă sistemele algebrice liniare prin metode directe în mediul MATLAB/SCILAB?
19. Identificați în biblioteca matematică descrisă în [2] funcții avansate pentru rezolvarea cu metode directe a sistemelor de ecuații algebrice liniare. Ce aduc nou aceste funcții față de cea folosită în lucrare?



Johann Carl Friedrich Gauss (1777, Brunswick - 1855, Hanover
(acum Germania))

<http://www-gap.dcs.st-and.ac.uk/history/Mathematicians/Gauss.html>

<http://scienceworld.wolfram.com/biography/Gauss.html>



Pafnuty Lvovich Chebyshev (1821, Rusia - 1894, Rusia)

<http://scienceworld.wolfram.com/biography/Chebyshev.html>



Euclid of Alexandria (aprox. 325 BC - aprox. 265 BC, Alexandria,
Egipt)

<http://www-gap.dcs.st-and.ac.uk/history/Mathematicians/Euclid.html>

<http://scienceworld.wolfram.com/biography/Euclid.html>

Lucrarea 4

Metode iterative de rezolvare a sistemelor algebrice liniare

4.1 Caracterizarea metodelor

Metodele iterative sunt metode care permit obținerea soluției numerice a unui sistem de ecuații, prin generarea unui șir care tinde către soluția exactă. Elementele acestui șir de iterații se calculează recursiv, iar procesul se oprește după un număr finit de pași, la îndeplinirea criteriului de eroare.

Chiar dacă soluția obținută prin metode iterative este afectată de erori de trunchiere, erori care nu apar în cazul metodelor directe, este totuși posibil ca soluția iterativă să fie mai precisă decât cea obținută prin metode directe. Pentru o anumită clasă de sisteme, metodele iterative sunt superioare atât din punctul de vedere al erorii cât și din cel al efortului de calcul.

4.2 Principiul metodei

În lucrare se prezintă cele mai simple metode iterative pentru rezolvarea sistemelor algebrice liniare și se descrie clasa sistemelor pentru care acestea pot fi aplicate.

Metodele iterative de rezolvare a sistemelor de ecuații liniare sunt metodele în care termenul $\mathbf{x}^{(k)}$ al șirului soluțiilor se obține din termenul anterior, $\mathbf{x}^{(k-1)}$.

Soluția exactă se obține teoretic după un număr infinit de iterații. În practică, prin efectuarea unui număr finit de iterații, se poate ajunge la o aproximare suficient de bună a soluției exacte. Dacă șirul iterațiilor este convergent, cu cât se efectuează mai multe iterații, cu atât soluția numerică este mai precis determinată, erorile, atât cele de trunchiere cât și cele de rotunjire, devenind tot mai mici.

În metodele iterative, se pornește de la o inițializare arbitrară pentru vectorul soluție numerică \mathbf{x}^0 . Pentru a determina noua valoare a soluției numerice, se rescrie ecuația sub forma:

$$\mathbf{x} = F(\mathbf{x}), \quad (4.1)$$

în care F se numește *aplicație cu punct fix*, iar la fiecare pas k al algoritmului, se determină noua soluție numerică din relația:

$$\mathbf{x}^k = F(\mathbf{x}^{k-1}). \quad (4.2)$$

Pentru a aduce sistemul de rezolvat

$$\mathbf{Ax} = \mathbf{b} \quad (4.3)$$

la forma unei aplicații cu punct fix, în general se caută o descompunere a matricei \mathbf{A} într-o diferență de două matrice:

$$\mathbf{A} = \mathbf{B} - \mathbf{C}, \quad (4.4)$$

sistemul putând fi astfel adus la forma:

$$\mathbf{x} = \mathbf{B}^{-1}(\mathbf{b} + \mathbf{Cx}), \quad (4.5)$$

soluția la pasul k fiind:

$$\mathbf{x}^k = \mathbf{B}^{-1}(\mathbf{Cx}^{k-1} + \mathbf{b}), \quad (4.6)$$

sau

$$\mathbf{x}^k = \mathbf{Mx}^{k-1} + \mathbf{u}, \quad (4.7)$$

în care $\mathbf{M} = \mathbf{B}^{-1}\mathbf{C}$ se numește *matrice de iterație*, iar $\mathbf{u} = \mathbf{B}^{-1}\mathbf{b}$.

Una din problemele metodelor iterative este *convergența șirului de iterații*. Se demonstrează că o condiție suficientă pentru ca metoda să fie convergentă este ca valorile proprii ale matricei de iterație $\mathbf{M} = \mathbf{B}^{-1}\mathbf{C}$ să fie toate, în modul, mai mici decât 1. Definind *raza de convergență* a matricei \mathbf{M} , $\rho(\mathbf{M})$, ca fiind modulul celei mai mari valori proprii, condiția de convergență se scrie:

$$\rho(\mathbf{M}) < 1 \quad (4.8)$$

Această condiție de convergență este corelată cu norma matricei de iterație \mathbf{M} . Se demonstrează că, pentru orice matrice, există următoarea relație între norma și raza sa de convergență:

$$\rho(\mathbf{M}) \leq \|\mathbf{M}\| \quad (4.9)$$

Prin urmare, dacă matricea \mathbf{M} are norma subunitară ($\|\mathbf{M}\| < 1$), raza sa de convergență va fi și ea mai mică decât 1, iar metoda iterativă va fi în acest caz convergentă.

Metodele iterative cele mai cunoscute sunt:

- metoda deplasărilor simultane (Jacobi),

- metoda deplasărilor succesive (Gauss-Seidel),
- metoda suprarelaxărilor succesive (Frankel-Young),
- metoda direcțiilor alternante (Peaceman-Rachford),
- metoda iterațiilor bloc,
- metoda factorizării incomplete,
- metoda Southwell.

Metoda Jacobi a deplasărilor simultane constă în alegerea partiției matricei \mathbf{A} astfel: \mathbf{B} este matricea alcătuită din elementele diagonale ale lui \mathbf{A}

$$\mathbf{B} = \mathbf{D}, \quad (4.10)$$

iar matricea \mathbf{C} conține restul elementelor din matricea \mathbf{A} , luate cu semn schimbat:

$$\mathbf{C} = -(\mathbf{L} + \mathbf{U}), \quad (4.11)$$

în care s-au notat cu \mathbf{L} și \mathbf{U} triunghiul inferior, respectiv cel superior din \mathbf{A} . Cu această descompunere, vectorul soluție la fiecare pas k va avea expresia:

$$\mathbf{x}^k = \mathbf{D}^{-1}(\mathbf{b} - (\mathbf{L} + \mathbf{U})\mathbf{x}^{k-1}), \quad (4.12)$$

iar matricea de iterație \mathbf{M} va fi:

$$\mathbf{M} = -\mathbf{D}^{-1}(\mathbf{L} + \mathbf{U}). \quad (4.13)$$

Se consideră linia i a sistemului de ecuații care trebuie rezolvat:

$$a_{i1}x_1 + a_{i2}x_2 + \dots + a_{ii}x_i + \dots + a_{in}x_n = b_i \quad (4.14)$$

Partiționarea aleasă pentru matricea \mathbf{A} revine la a determina pe x_i la pasul curent k din ecuația i , cu relația:

$$x_i^k = \frac{b_i - \sum_{j=1, j \neq i}^n a_{ij}x_j^{k-1}}{a_{ii}}, \quad (4.15)$$

în care x_i din membrul stâng reprezintă componenta i a noii soluții, iar x_j din membrul drept sunt valorile obținute la precedentul pas al iterației. Se observă că, pentru determinarea noii soluții, trebuie cunoscute, pe tot parcursul iterației k , valorile soluției de la pasul anterior $k - 1$.

În metoda *Gauss-Seidel*, a deplasărilor succesive, partiționarea se alege astfel:

$$\mathbf{B} = \mathbf{D} + \mathbf{L}, \quad (4.16)$$

matricea \mathbf{B} conținând astfel partea inferior triunghiulară a matricei \mathbf{A} inclusiv diagonală, iar

$$\mathbf{C} = -\mathbf{U} \quad (4.17)$$

matricea \mathbf{C} conținând partea superior triunghiulară a matricei. Matricea de iterație va avea forma

$$\mathbf{M} = -(\mathbf{D} + \mathbf{L})^{-1}\mathbf{U}. \quad (4.18)$$

Această partiționare presupune că în membrul stâng al ecuației i din sistem rămân termenii care conțin $x_j, j \leq i$, iar în membrul drept trec toți ceilalți termeni:

$$a_{i1}x_1 + a_{i2}x_2 + \dots + a_{ii}x_i = b_i - a_{i,i+1}x_{i+1} - \dots - a_{in}x_n. \quad (4.19)$$

Ca și până acum, componentele vectorului soluție aflate în membrul stâng reprezintă valori "noi", calculate la pasul curent k , pe când componentele din membrul drept sunt cele calculate la pasul anterior. Din această relație rezultă valoarea componentei x_i la pasul curent:

$$x_i^k = \frac{b_i - \sum_{j=1}^{i-1} a_{ij}x_j^{(k)} - \sum_{j=i+1}^n a_{ij}x_j^{(k-1)}}{a_{ii}}. \quad (4.20)$$

Se observă că o componentă x_i a soluției la pasul k este calculată în funcție de componentele precedente $1, \dots, i-1$, deja calculate la pasul curent și de următoarele componente $i+1, \dots, n$, calculate la pasul precedent. Algoritmii nu necesită păstrarea vechii componente i , după ce cea nouă a fost calculată, de aceea x_i nou se poate plasa în memorie în aceeași locație ca și vechea valoare. Astfel, algoritmul Gauss-Seidel nu necesită spațiu pentru memorarea decât a unui vector soluție, spre deosebire de algoritmul Jacobi, unde trebuiau memorate atât x nou cât și x vechi. În metoda Gauss-Seidel, imediat ce o componentă a fost determinată, ea este folosită în calculele următoare, înlocuind valoarea veche care se pierde, idee cunoscută sub numele de *principiul lui Seidel*.

Una din problemele care apar la rezolvarea sistemelor de ecuații liniare prin metode iterative este *alegerea criteriului de oprire a procesului iterativ*. O metodă de a rezolva această problemă a criteriului de oprire constă în evaluarea, după fiecare iterație, a erorii Cauchy

$$e = \|\mathbf{x}^{nou} - \mathbf{x}^{vechi}\| \quad (4.21)$$

și întreruperea calculelor atunci când această valoare devine mai mică decât eroarea impusă, ε .

În ceea ce privește *convergența* metodelor, se demonstrează că la metodele Jacobi și Gauss-Seidel, o condiție suficientă ca metodele să fie convergente este ca matricea \mathbf{A} a sistemului să fie diagonal dominantă, adică

$$|a_{ii}| > \sum_{j \neq i} |a_{ij}| \quad \forall i. \quad (4.22)$$

Desigur, așa cum s-a arătat, condiția de mai sus este echivalentă cu impunerea condiției ca norma matricei de iterație să fie subunitară, procesul iterativ fiind cu atât mai rapid convergent cu cât norma matricei de iterație este mai mică. În cazul matricelor simetrice și pozitiv definite, metoda Gauss-Seidel este de aproximativ 2 ori mai rapidă decât metoda Jacobi. Acest avantaj, corelat și cu necesitatea memorării unui singur vector soluție, face ca metoda Gauss-Seidel să fie preferabilă metodei Jacobi din toate punctele de vedere.

4.3 Pseudocodul algoritmilor

Următoarea procedură permite rezolvarea sistemelor de ecuații liniare prin metoda *Jacobi*.

```

procedura Jacobi (n, a, b, x, nrit, eps)
    tablou real a(n,n), b(n), x(n)
    înteg nrit
    real eps
    tablou real xn(N) ; x nou
    ; inițializări
    k = 0 ; contor iterații
    pentru i=1,n
         $x_i = 0$  ; inițializarea soluției
    ; iterații
    repetă ; parcurge iterațiile
        err = 0; ; eroarea la pasul curent
        pentru i= 1,n ; parcurge ecuațiile
             $s = b(i)$ 
            pentru j=1,n ; parcurge ecuația i
                 $s = s - a(i, j)x(j)$ 
             $s = s + a(i, i)x(i)$ 
             $xn(i) = s/a(i, i)$  ; x nou
             $s = |xn(i) - x(i)|$ 
            dacă  $err < s$  atunci err = s
        pentru i= 1,n
             $x(i) = xn(i)$  ; înlocuiește x vechi cu x nou
         $k = k + 1$  ; incrementează contor iterații
    până când ( $err < eps$ ) sau ( $k > nrit$ )
retur

```

Următoarea procedură permite rezolvarea sistemelor de ecuații liniare prin metoda *Gauss-Seidel*

```

procedura Gauss-Seidel(n,a,b,x,nrit,eps)
  tablou real a(n,n), b(n), x(n)
  întreg nrit
  real eps
  inițializări
  k = 0 ; contor iterații
  pentru i=1,n
    x(i) = 0 ; inițializarea soluției
    ; iterații
    repetă ; parcurge iterațiile
    err = 0 ; eroarea la pasul curent
    pentru i=1,n ; parcurge ecuațiile
      s = b(i)
      pentru j=1,n ; parcurge ecuația i
        s = s - a(i,j)x(j)
      s = (s + a(i,i)x(i))/a(i,i)
      err = err + (s - x(i))
      x(i) = s ; x nou
    k = k + 1 ; incrementează contor iterații
    err = sqrt(err)
  până când (err < eps) sau (k > nrit)
retur

```

Procedurile Jacobi și Gauss-Seidel au parametrii:

- de intrare
 - n = dimensiunea sistemului;
 - a(n,n) = matricea sistemului;
 - b(n) = vectorul termenilor liberi;
 - nrit = numărul maxim de iterații;
 - eps = eroarea admisă;
- de ieșire x(n) = vectorul soluție.

Pentru a demonstra modul diferit în care se poate evalua eroarea, în algoritmul Jacobi s-a folosit norma Cebîșev a erorii, iar în algoritmul Gauss-Seidel norma Euclidiană.

4.4 Analiza algoritmilor

Efort de calcul

Pentru o iterație, ordinul de complexitate al metodelor Jacobi și Gauss-Seidel este $O(n(n+2))$. Efortul de calcul pentru rezolvarea întregului sistem de ecuații liniare prin metode iterative este de ordinul $O(mn^2)$, în care numărul total de iterații m care vor fi efectuate nu este în general cunoscut dinainte. Efortul de calcul depinde de norma matricei de iterație, fiind cu atât mai mic cu cât norma este mai mică.

Necesar de memorie

Pentru memorarea matricei sistemului, a vectorilor termen liber și soluție sunt necesare $n^2 + 2n$ locații de memorie. În plus, la algoritmul Jacobi mai sunt necesare n locații pentru memorarea soluției obținute la pasul curent.

Dacă matricea sistemului este o matrice rară, atunci metodele iterative se dovedesc extrem de eficiente din punctul de vedere al memoriei, ele negenerând umpleri.

Analiza erorilor

Spre deosebire de metodele directe, la care singurele erori care apar sunt cele de rotunjire, la metodele iterative apar și erori de trunchiere prin reținerea din șirul convergent către soluția exactă, a unui număr finit de termeni. Datorită convergenței lor, metodele iterative au proprietatea remarcabilă de a corecta erorile de rotunjire apărute pe parcurs.

Eroarea absolută la iterția k este de cel puțin $\|M\|$ ori mai mică decât eroarea de la pasul anterior:

$$e_k = \|\mathbf{x}^k - \mathbf{x}\| \leq \|M\| \|\mathbf{x}^{k-1} - \mathbf{x}\| = \|M\| e_{k-1} \leq \|M\|^k e_0. \quad (4.23)$$

Se constată că eroarea finală depinde de eroarea inițială, de numărul de iterații efectuate și de norma matricei de iterație, care determină viteza de convergență. Aceeași relație este valabilă și pentru reziduul $\|A\mathbf{x}^k - \mathbf{b}\|$.

4.5 Chestiuni de studiat

- Rezolvarea unor sisteme de ecuații liniare prin metodele Jacobi și Gauss-Seidel;
- Analiza experimentală a erorilor și a efortului de calcul, la metodele Jacobi și Gauss-Seidel;
- Implementarea algoritmilor;
- Căutare de informații pe Internet.

4.6 Mod de lucru

Pentru desfășurarea lucrării se selectează lucrarea *Metode iterative de rezolvare a sistemelor algebrice liniare* din meniul general de lucrări.

Aceasta are ca efect afișarea meniului:

1. Rezolvare de sisteme cu metodele Jacobi/Gauss-Seidel
2. Analiza algoritmilor

4.6.1 Rezolvarea unor sisteme de ecuații liniare prin metodele Jacobi/Gauss-Seidel

Programul lansat permite rezolvarea unor sisteme liniare prin metode iterative.

Se vor introduce:

- numărul de ecuații;
- elementele $a(i, j)$ ale matricei sistemului;
- termenii liberi $b(i)$;
- eroarea admisă;
- numărul maxim de iterații admis.

Programul afișează în consola Scilab informații despre procesul iterativ: dacă a fost convergent sau nu, norma matricei de iterație, în cazul în care procesul a fost convergent, câte iterații au fost necesare și care este soluția.

Se vor introduce parametrii necesari pentru rezolvarea următoarelor sisteme:

$$\begin{cases} x_1 + x_2 = 5 & : R \quad x_1 = 2 \\ 2x_1 + 3x_2 = 13 & \quad \quad x_2 = 3 \end{cases}$$

Se va inversa ordinea ecuațiilor și se va comenta efectul asupra soluției.

$$\begin{cases} 8x_1 + 2x_2 + x_3 = 15 & R : \quad x_1 = 1 \\ 10x_1 + 4x_2 + x_3 = 21 & \quad \quad x_2 = 2 \\ 50x_1 + 25x_2 + 8x_3 = 124 & \quad \quad x_3 = 3 \end{cases}$$

$$\begin{cases} 2x_1 + x_2 + x_3 = 7 & R : x_1 = 1 \\ x_1 + 2x_2 + x_3 = 8 & x_2 = 2 \\ x_1 + x_2 + x_3 = 6 & x_3 = 3 \end{cases}$$

$$\begin{cases} 3x_1 + x_3 = 10 & R : x_1 = 2 \\ x_1 + 2x_2 + x_3 = 12 & x_2 = 3 \\ x_1 + x_2 + 2x_3 = 13 & x_3 = 4 \end{cases}$$

Se va inversa ordinea a două ecuații din sistem și se va comenta efectul asupra soluției.

Se vor comenta rezultatele obținute, convergența metodelor pentru fiecare sistem rezolvat.

4.6.2 Analiza experimentală a algoritmilor

Se selectează opțiunea *Analiza algoritmilor*. Aceasta are ca efect afișarea unui meniu cu opțiunile:

- Eroarea în funcție de numărul de iterații;
- Numărul de iterații în funcție de norma matricei de iterație.

La selectarea opțiunii *Eroarea în funcție de numărul de iterații*, utilizatorul introduce: norma matricei de iterație Jacobi și numărul de ecuații (valoare inițială, valoare finală, pas). Astfel se apelează un program care rezolvă, pe baza celor două metode iterative, sisteme de ecuații liniare generate aleator. Programul afișează rezultatele numerice în consola Scilab și reprezintă grafic variația erorii Cauchy în funcție de iterație. Valorile recomandate sunt: norma matricei de iterație Jacobi 0.5, dimensiunile sistemelor 20, 40, 60. Datele se pot nota într-un tabel de tipul:

| iterații | | 1 | 5 | 9 | 13 | 17 |
|----------|-----------|---|---|---|----|----|
| n = 20 | eroare J | | | | | |
| | eroare GS | | | | | |
| n = 40 | eroare J | | | | | |
| | eroare GS | | | | | |
| n = 60 | eroare J | | | | | |
| | eroare GS | | | | | |

Se vor reprezenta pe același grafic erorile în funcție de numărul de iterații. Se vor comenta rezultatele obținute.

La selectarea opțiunii *Numărul de iterații în funcție de norma matricei de iterație* utilizatorul alege dimensiunea n a sistemului și eroarea de oprire. Programul afișează numărul de iterații necesar celor două metode pentru sisteme generate aleator, de dimensiune n , având norma matricei de iterație 0.1, 0.2, ..., 0.9. Datele se pot nota într-un tabel de tipul:

| | | | | |
|---------------------------|-----|-----|-----|-----|
| norma matricei Jacobi | 0.1 | 0.2 | ... | 0.9 |
| nr. iterații Jacobi | | | | |
| nr. iterații Gauss-Seidel | | | | |

Se vor reprezenta pe același grafic numărul de iterații în funcție de norma matricei. Se vor comenta rezultatele obținute.

4.6.3 Implementarea algoritmilor

Se va implementa pe calculator, în limbajul C, o procedură proprie de rezolvare a unui sistem de ecuații liniare, prin una din cele două metode iterative. Se va compila și testa procedura, eliminându-se eventualele erori.

Se va scrie pseudocodul și se va implementa pe calculator un program principal, care apelează procedura anterioară și rezolvă sistemul de ecuații:

$$\begin{cases} 2x + \quad \quad z = 5 & R : x = 1 \\ x + y + z = 6 & y = 2 \\ \quad y + 3z = 11 & z = 3 \end{cases}$$

Acest program va permite introducerea datelor de la consolă și afișarea pe ecran a soluției. Se vor nota și comenta rezultatele obținute și eventualele dificultăți apărute pe parcursul lucrului.

4.6.4 Căutare de informații pe Internet

Se vor căuta pe Internet informații (coduri) legate de rezolvarea iterativă a sistemelor algebrice de ecuații prin metode iterative. Cuvinte cheie recomandate: *Iterative methods for algebraic systems, Jacobi, Gauss-Seidel*.

4.7 Exemple

4.7.1 Exemple rezolvate

1. Fie sistemul de ecuații:

$$\begin{cases} x - 2y = -2 \\ -3x + 2y = -6 \end{cases}$$

- să se determine soluția sistemului de ecuații pentru primele două iterații ale metodei Jacobi, cunoscând soluția inițială $x^{(0)} = y^{(0)} = 0$;
- să se illustreze grafic procesul iterativ și să se comenteze convergența lui;
- să se comenteze rezultatele obținute atunci când se schimbă ordinea ecuațiilor.

Rezolvare:

- Iterațiile metodei Jacobi se calculează conform formulelor:

$$\begin{cases} x^{(k+1)} = -2 + 2y^{(k)} \\ 2y^{(k+1)} = -6 + 3x^{(k)} \end{cases}$$

Soluția la prima iterație este:

$$\begin{cases} x^{(1)} = -2 + 2y^{(0)} = -2 \\ y^{(1)} = \frac{-6 + 3x^{(0)}}{2} = -3, \end{cases}$$

iar la a doua iterație:

$$\begin{cases} x^{(2)} = -2 + 2y^{(1)} = -2 - 6 = -8 \\ y^{(2)} = \frac{-6 + 3x^{(1)}}{2} = \frac{-6 - 6}{2} = -6. \end{cases}$$

- Din punct de vedere geometric, rezolvarea sistemului este echivalentă cu găsirea punctului de intersecție al dreptelor ecuațiilor, D_1 și D_2 :

$$\begin{aligned} D_1 : \quad x - 2y + 2 &= 0 \\ D_2 : \quad -3x + 2y + 6 &= 0 \end{aligned}$$

Vom reprezenta grafic aceste drepte. Dreapta D_1 taie axele în punctele de coordonate $(0, 1)$ și $(-2, 0)$. Dreapta D_2 taie axele în punctele de coordonate $(0, -3)$ și $(2, 0)$. Dreptele D_1 și D_2 sunt concurente în punctul $(4, 3)$, soluția sistemului de ecuații.

Procesul iterativ este ilustrat în figura 1 și se observă că este divergent. Deși problema este bine formulată matematic (soluția există și este unică), metoda Jacobi eșuează.

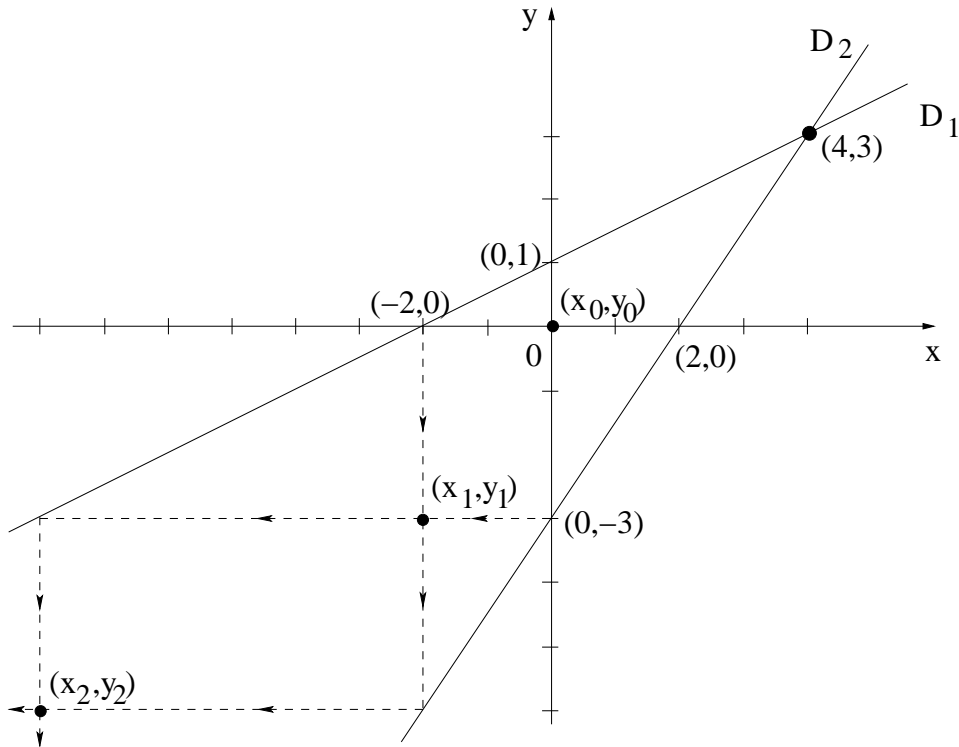


Fig. 1. Proces iterativ divergent al metodei Jacobi

Convergența metodei depinde de proprietățile matricei de iterație. Dacă notăm $A = D + L + U$, atunci $M = -D^{-1}(L + U)$ este matricea de iterație în cazul metodei Jacobi.

În cazul problemei considerate:

$$D = \begin{pmatrix} 1 & 0 \\ 0 & 2 \end{pmatrix}, \quad L = \begin{pmatrix} 0 & 0 \\ -3 & 0 \end{pmatrix}, \quad U = \begin{pmatrix} 0 & -2 \\ 0 & 0 \end{pmatrix}.$$

$$M = - \begin{pmatrix} 1 & 0 \\ 0 & 2 \end{pmatrix}^{-1} \begin{pmatrix} 0 & -2 \\ -3 & 0 \end{pmatrix} = - \begin{pmatrix} 1 & 0 \\ 0 & \frac{1}{2} \end{pmatrix} \begin{pmatrix} 0 & -2 \\ -3 & 0 \end{pmatrix} = \begin{pmatrix} 0 & 2 \\ \frac{3}{2} & 0 \end{pmatrix}.$$

Raza spectrală (de convergență) a matricei de iterație M este: $\rho(M) = \max_{i=1,2} |\lambda_i|$, unde λ_i sunt valorile proprii, care reprezintă soluțiile ecuației $\det(M - \lambda I) = 0$.

În cazul studiat:

$$M - \lambda I = \begin{pmatrix} -\lambda & 2 \\ \frac{3}{2} & -\lambda \end{pmatrix} \implies \det(M - \lambda I) = \lambda^2 - 3 = 0.$$

Valorile proprii sunt $\lambda_{1,2} = \pm\sqrt{3}$, iar $\rho(M) = \max_{i=1,2} |\lambda_i| = \sqrt{3}$.

Deoarece $\rho(M) > 1$, procesul iterativ este divergent.

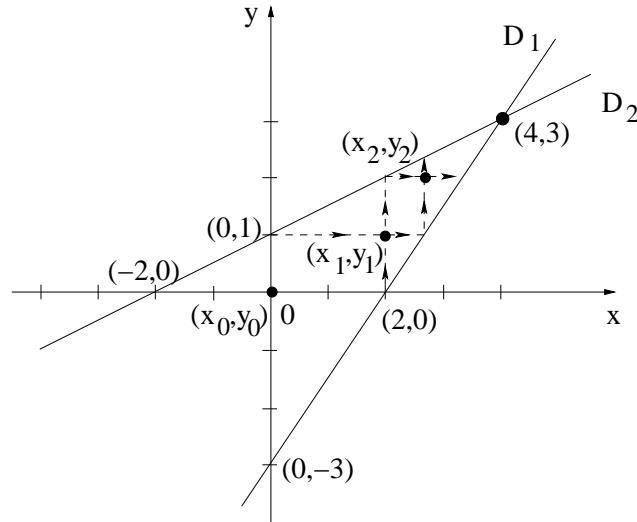


Fig. 2. Proces iterativ convergent al metodei Jacobi

(c) În cazul în care se schimbă ordinea ecuațiilor, sistemul de rezolvat este:

$$\begin{cases} -3x + 2y = -6 \\ x - 2y = -2 \end{cases}$$

Soluția la prima iterație se calculează astfel:

$$\begin{cases} -3x^{(1)} = -6 - 2y^{(0)} \\ -2y^{(1)} = -2 - x^{(0)} \end{cases} \implies \begin{cases} x^{(1)} = 2 \\ y^{(1)} = 1 \end{cases}$$

Iar soluția la a doua iterație este:

$$\begin{cases} -3x^{(2)} = -6 - 2y^{(1)} \\ -2y^{(2)} = -2 - x^{(1)} \end{cases} \implies \begin{cases} x^{(2)} = \frac{8}{3} \\ y^{(2)} = 2 \end{cases}$$

Procedul iterativ este convergent așa cum se observă în figura 2.

Într-adevăr, pentru acest sistem, matricea de iterație este:

$$M = - \begin{pmatrix} 3 & 0 \\ 0 & -2 \end{pmatrix}^{-1} \begin{pmatrix} 0 & 2 \\ 1 & 0 \end{pmatrix} = - \begin{pmatrix} -\frac{1}{3} & 0 \\ 0 & -\frac{1}{2} \end{pmatrix} \begin{pmatrix} 0 & 2 \\ 1 & 0 \end{pmatrix} = \begin{pmatrix} 0 & \frac{2}{3} \\ \frac{1}{2} & 0 \end{pmatrix},$$

iar valorile proprii sunt soluțiile ecuației:

$$\det(M - \lambda I) = 0 \implies \begin{vmatrix} -\lambda & \frac{2}{3} \\ \frac{1}{2} & -\lambda \end{vmatrix} = 0.$$

Deci:

$$\lambda^2 - \frac{1}{3} = 0 \implies \lambda_{1,2} = \pm \frac{1}{\sqrt{3}} \implies \rho(M) = \max_{i=1,2} |\lambda_i| = \frac{1}{\sqrt{3}}.$$

Deoarece $\rho(M) < 1$, procesul iterativ este convergent.

Aceeași concluzie se poate obține dacă se observă că matricea sistemului este diagonal dominantă (vezi relația (4.22)). Aceasta este o condiție suficientă de convergență.

Inegalitatea (4.22) este adevărată pentru cele două ecuații ale sistemului:

$$|-3| > |2|, \quad |-2| > |1|,$$

deci matricea sistemului este diagonal dominantă, ceea ce este echivalent cu $\|M\| < 1$. Pentru orice matrice avem $\rho(M) \leq \|M\|$, astfel că $\rho(M) < 1$.

2. Fie sistemul de ecuații de la exercițiul anterior:

$$\begin{cases} x - 2y = -2 \\ -3x + 2y = -6 \end{cases}$$

- să se determine soluția sistemului de ecuații pentru primele două iterații ale metodei Gauss-Seidel, cunoscând soluția inițială $x^{(0)} = y^{(0)} = 0$;
- să se illustreze grafic procesul iterativ și să se comenteze convergența lui;
- să se comenteze rezultatele obținute atunci când se schimbă ordinea ecuațiilor.

Rezolvare:

- Iterațiile metodei Gauss-Seidel se calculează conform formulelor:

$$\begin{cases} x^{(k+1)} = -2 + 2y^{(k)} \\ 2y^{(k+1)} = -6 + 3x^{(k+1)} \end{cases}$$

Soluția la prima iterație este:

$$\begin{cases} x^{(1)} = -2 + 2y^{(0)} = -2 \\ y^{(1)} = \frac{-6 + 3x^{(1)}}{2} = \frac{-6 - 6}{2} = -6, \end{cases}$$

iar la a doua iterație:

$$\begin{cases} x^{(2)} = -2 + 2y^{(1)} = -2 - 12 = -14 \\ y^{(2)} = \frac{-6 + 3x^{(2)}}{2} = \frac{-6 - 42}{2} = -24. \end{cases}$$

- Procesul iterativ este ilustrat în figura 3 și se observă că este divergent. Deși problema este bine formulată matematic (soluția există și este unică), metoda Gauss-Seidel eșuează.

Matricea de iterație în cazul metodei Gauss-Seidel este $M = -(D + L)^{-1}U$.

În cazul problemei considerate:

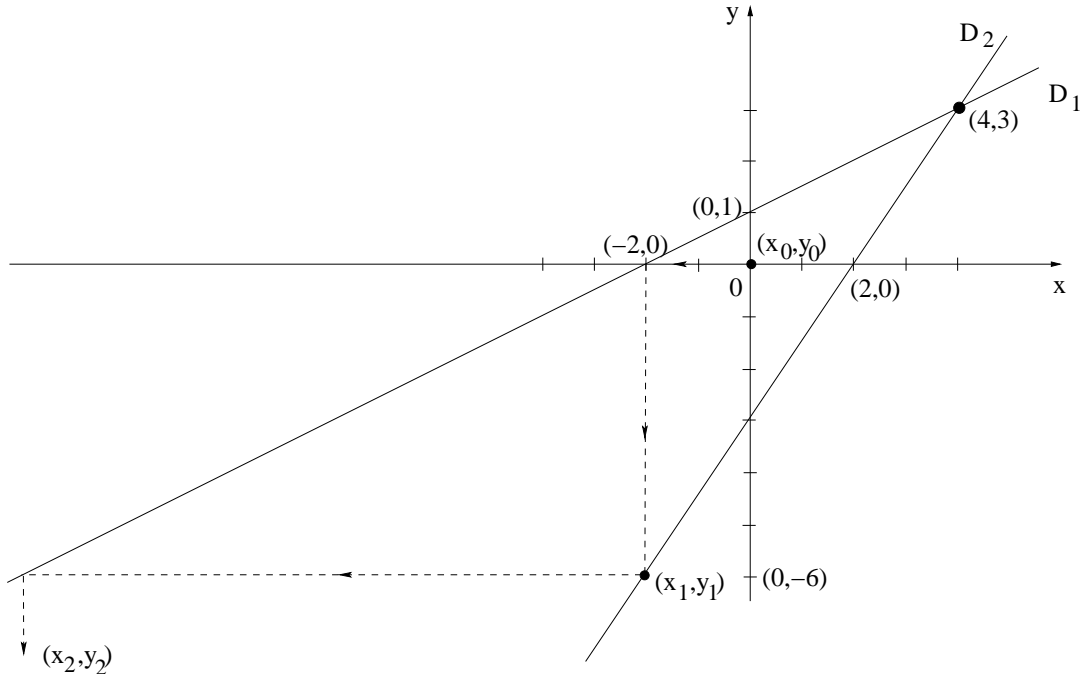


Fig. 3. Proces iterativ divergent al metodei Gauss-Seidel

$$M = - \begin{pmatrix} 1 & 0 \\ -3 & 2 \end{pmatrix}^{-1} \begin{pmatrix} 0 & -2 \\ 0 & 0 \end{pmatrix} = - \begin{pmatrix} 1 & 0 \\ \frac{3}{2} & \frac{1}{2} \end{pmatrix} \begin{pmatrix} 0 & -2 \\ 0 & 0 \end{pmatrix} = \begin{pmatrix} 0 & 2 \\ 0 & 3 \end{pmatrix}.$$

Raza spectrală (de convergență) a matricei de iterație M este: $\rho(M) = \max_{i=1,2} |\lambda_i|$, unde λ_i sunt valorile proprii, care sunt soluțiile ecuației $\det(M - \lambda I) = 0$.

În cazul studiat:

$$M - \lambda I = \begin{pmatrix} -\lambda & 2 \\ 0 & 3 - \lambda \end{pmatrix} \implies \det(M - \lambda I) = -\lambda(3 - \lambda) = 0.$$

Valorile proprii sunt $\lambda_1 = 0$, $\lambda_2 = 3$, iar $\rho(M) = \max_{i=1,2} |\lambda_i| = 3$.

Deoarece $\rho(M) > 1$, procesul iterativ este divergent.

(c) În cazul în care se schimbă ordinea ecuațiilor, sistemul de rezolvat este:

$$\begin{cases} -3x + 2y = -6 \\ x - 2y = -2 \end{cases}$$

Soluția la prima iterație se calculează astfel:

$$\begin{cases} -3x^{(1)} = -6 - 2y^{(0)} \\ -2y^{(1)} = -2 - x^{(1)} \end{cases} \implies \begin{cases} x^{(1)} = 2 \\ y^{(1)} = 2 \end{cases}$$

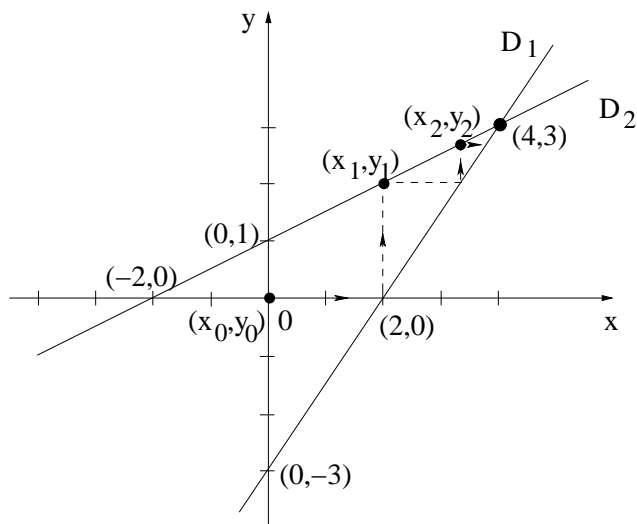


Fig. 4. Proces iterativ convergent al metodei Gauss-Seidel

Iar soluția la a doua iterație este:

$$\begin{cases} -3x^{(2)} = -6 - 2y^{(1)} \\ -2y^{(2)} = -2 - x^{(2)} \end{cases} \implies \begin{cases} x^{(2)} = \frac{10}{3} \\ y^{(2)} = \frac{8}{3} \end{cases}$$

Procedeul iterativ este convergent așa cum se observă în figura 4.

Într-adevăr, pentru acest sistem, matricea de iterație este:

$$M = - \begin{pmatrix} -3 & 0 \\ 1 & -2 \end{pmatrix}^{-1} \begin{pmatrix} 0 & 2 \\ 0 & 0 \end{pmatrix} = - \begin{pmatrix} -\frac{1}{3} & 0 \\ -\frac{1}{6} & -\frac{1}{2} \end{pmatrix} \begin{pmatrix} 0 & 2 \\ 0 & 0 \end{pmatrix} = \begin{pmatrix} 0 & \frac{2}{3} \\ 0 & \frac{1}{3} \end{pmatrix},$$

iar valorile proprii sunt soluțiile ecuației:

$$\det(M - \lambda I) = 0 \implies \begin{vmatrix} -\lambda & \frac{2}{3} \\ 0 & \frac{1}{3} - \lambda \end{vmatrix} = 0.$$

Deci:

$$-\lambda(\frac{1}{3} - \lambda) = 0 \implies \lambda_1 = 0, \lambda_2 = \frac{1}{3} \implies \rho(M) = \max_{i=1,2} |\lambda_i| = \frac{1}{3}.$$

Deoarece $\rho(M) < 1$, procesul iterativ este convergent.

3. Fie sistemul de ecuații:

$$\begin{cases} 3x - y + z = 3 \\ 3x - 6y + z = -2 \\ -x + 2y + 4z = 5 \end{cases}$$

Să se comenteze convergența metodelor iterative și să se determine soluția sistemului de ecuații pentru primele două iterații ale metodelor Jacobi și Gauss-Seidel, cunoscând soluția inițială $x^{(0)} = y^{(0)} = z^{(0)} = 0$.

Rezolvare:

Deoarece matricea coeficienților sistemului este diagonal dominantă, metodele iterative Jacobi și Gauss-Seidel sunt convergente.

De exemplu, pentru prima ecuație a unui sistem, conform relației (4.22), trebuie să fie adevărată inegalitatea: $|a_{11}| > |a_{12}| + |a_{13}|$.

Pentru sistemul de ecuații considerat, inegalitatea (4.22) este adevărată pentru toate cele trei ecuații:

$$|3| > |-1| + |1|, \quad |-6| > |3| + |1|, \quad |4| > |-1| + |2|,$$

deci matricea sistemului este diagonal dominantă, ceea ce este echivalent cu $\|M\| < 1$. Pentru orice matrice avem $\rho(M) \leq \|M\|$, astfel că $\rho(M) < 1$, ceea ce înseamnă că metodele iterative sunt convergente pentru acest sistem.

Metoda Jacobi

Soluția la o anumită iterație se determină în funcție de soluția calculată la iterația precedentă.

Conform relației (4.15), din prima ecuație a sistemului se determină:

$$x^{(1)} = \frac{3 + y^{(0)} - z^{(0)}}{3} = \frac{3 + 0 - 0}{3} = 1,$$

iar din ecuațiile a doua și a treia rezultă următoarele componente ale soluției la prima iterație:

$$y^{(1)} = \frac{-2 - 3x^{(0)} - z^{(0)}}{-6} = \frac{-2 - 0 - 0}{-6} = \frac{1}{3},$$

$$z^{(1)} = \frac{5 + x^{(0)} - 2y^{(0)}}{4} = \frac{5 + 0 - 0}{4} = \frac{5}{4}.$$

La a doua iterație a metodei Jacobi soluția sistemului este:

$$x^{(2)} = \frac{3 + y^{(1)} - z^{(1)}}{3} = \frac{3 + \frac{1}{3} - \frac{5}{4}}{3} = \frac{25}{36},$$

$$y^{(2)} = \frac{-2 - 3x^{(1)} - z^{(1)}}{-6} = \frac{-2 - 3 - \frac{5}{4}}{-6} = \frac{25}{24},$$

$$z^{(2)} = \frac{5 + x^{(1)} - 2y^{(1)}}{4} = \frac{5 + 1 - \frac{2}{3}}{4} = \frac{4}{3}.$$

Metoda Gauss-Seidel

Soluția la o anumită iterație se determină în funcție de componentele soluției deja calculate la iterația curentă și restul componentelor soluției calculate la iterația precedentă.

Conform relației (4.20), din prima ecuație a sistemului se determină:

$$x^{(1)} = \frac{3 + y^{(0)} - z^{(0)}}{3} = \frac{3 + 0 - 0}{3} = 1,$$

iar din ecuațiile a doua și a treia rezultă următoarele componente ale soluției la prima iterație:

$$y^{(1)} = \frac{-2 - 3x^{(1)} - z^{(0)}}{-6} = \frac{-2 - 3 - 0}{-6} = \frac{5}{6},$$

$$z^{(1)} = \frac{5 + x^{(1)} - 2y^{(1)}}{4} = \frac{5 + 1 - \frac{5}{3}}{4} = \frac{13}{12}.$$

La a doua iterație a metodei Gauss-Seidel soluția sistemului este:

$$x^{(2)} = \frac{3 + y^{(1)} - z^{(1)}}{3} = \frac{3 + \frac{5}{6} - \frac{13}{12}}{3} = \frac{11}{12},$$

$$y^{(2)} = \frac{-2 - 3x^{(2)} - z^{(1)}}{-6} = \frac{-2 - \frac{33}{12} - \frac{13}{12}}{-6} = \frac{35}{36},$$

$$z^{(2)} = \frac{5 + x^{(2)} - 2y^{(2)}}{4} = \frac{5 + \frac{11}{12} - \frac{35}{18}}{4} = \frac{143}{144}.$$

4. Fie sistemul de ecuații:

$$\begin{cases} x - 2y + 2z = 2 \\ 2x - y + 2z = 6 \\ x + 2y + z = 8 \end{cases}$$

Să se comenteze convergența metodelor iterative și să se determine soluția sistemului de ecuații pentru primele două iterații ale metodelor Jacobi și Gauss-Seidel, cunoscând soluția inițială $x^{(0)} = y^{(0)} = z^{(0)} = 1$.

Rezolvare:

Inegalitatea (4.22) nu este adevărată pentru cele trei ecuații ale sistemului considerat:

$$|1| < |-2| + |2|, \quad |-1| < |2| + |2|, \quad |1| > |1| + |2|.$$

Totuși, deși matricea nu este diagonal dominantă, nu putem concluziona că metodele iterative nu sunt convergente.

Condiția necesară și suficientă de convergență este ca raza de convergență să fie subunitară (4.8).

Pentru sistemul considerat, deoarece matricea sistemului nu este diagonal dominantă, norma matricei de iterație este supraunitară. Se cunoaște că raza de convergență este mai mică decât norma matricei de iterație (4.9), însă nu putem afirma că raza de convergență este supraunitară.

Raza de convergență trebuie calculată pentru a preciza convergența șirului de soluții.

În cazul metodei Jacobi, matricea de iterație este:

$$M = - \begin{pmatrix} 1 & 0 & 0 \\ 0 & -1 & 0 \\ 0 & 0 & 1 \end{pmatrix}^{-1} \begin{pmatrix} 0 & -2 & 2 \\ 2 & 0 & 2 \\ 1 & 2 & 0 \end{pmatrix} = \begin{pmatrix} 0 & 2 & -2 \\ 2 & 0 & 2 \\ -1 & -2 & 0 \end{pmatrix},$$

iar valorile proprii sunt soluțiile ecuației:

$$\det(M - \lambda I) = 0 \implies \begin{vmatrix} -\lambda & 2 & -2 \\ 2 & -\lambda & 2 \\ -1 & -2 & -\lambda \end{vmatrix} = 0.$$

Deci:

$$-\lambda^3 + 2\lambda + 4 = 0 \implies \rho(M) = \max_{i=1,2,3} |\lambda_i| = 2 > 1.$$

În cazul metodei Gauss-Seidel, matricea de iterație este:

$$M = - \begin{pmatrix} 1 & 0 & 0 \\ 2 & -1 & 0 \\ 1 & 2 & 1 \end{pmatrix}^{-1} \begin{pmatrix} 0 & -2 & 2 \\ 0 & 0 & 2 \\ 0 & 0 & 0 \end{pmatrix} = \begin{pmatrix} 0 & 2 & -2 \\ 0 & 4 & -2 \\ 0 & -10 & 6 \end{pmatrix},$$

iar valorile proprii sunt soluțiile ecuației:

$$\det(M - \lambda I) = 0 \implies \begin{vmatrix} -\lambda & 2 & -2 \\ 0 & 4 - \lambda & -2 \\ 0 & -10 & 6 - \lambda \end{vmatrix} = 0.$$

Deci:

$$\lambda(-\lambda^2 + 10\lambda - 4) = 0 \implies \rho(M) = \max_{i=1,2,3} |\lambda_i| = 9.58 > 1.$$

Pentru ambele metode raza de convergență este supraunitară, deci metodele iterative nu sunt convergente pentru acest sistem.

Metoda Jacobi

La prima iterație a metodei Jacobi soluția sistemului este:

$$x^{(1)} = \frac{2 + 2y^{(0)} - 2z^{(0)}}{1} = 2 + 2 - 2 = 2,$$

$$y^{(1)} = \frac{6 - 2x^{(0)} - 2z^{(0)}}{-1} = -(6 - 2 - 2) = -2,$$

$$z^{(1)} = \frac{8 - x^{(0)} - 2y^{(0)}}{1} = 8 - 1 - 2 = 5.$$

La a doua iterație a metodei Jacobi soluția sistemului este:

$$x^{(2)} = \frac{2 + 2y^{(1)} - 2z^{(1)}}{1} = 2 - 4 - 10 = -12,$$

$$y^{(2)} = \frac{6 - 2x^{(1)} - 2z^{(1)}}{-1} = -(6 - 4 - 10) = 8,$$

$$z^{(2)} = \frac{8 - x^{(1)} - 2y^{(1)}}{1} = 8 - 2 + 4 = 10.$$

Metoda Gauss-Seidel

La prima iterație a metodei Gauss-Seidel soluția sistemului este:

$$x^{(1)} = \frac{2 + 2y^{(0)} - 2z^{(0)}}{1} = 2 + 2 - 2 = 2,$$

$$y^{(1)} = \frac{6 - 2x^{(1)} - 2z^{(0)}}{-1} = -(6 - 4 - 2) = 0,$$

$$z^{(1)} = \frac{8 - x^{(1)} - 2y^{(1)}}{1} = 8 - 2 + 0 = 6.$$

La a doua iterație a metodei Gauss-Seidel soluția sistemului este:

$$x^{(2)} = \frac{2 + 2y^{(1)} - 2z^{(1)}}{1} = 2 + 0 - 12 = -10,$$

$$y^{(2)} = \frac{6 - 2x^{(2)} - 2z^{(1)}}{-1} = -(6 + 20 - 12) = -14,$$

$$z^{(2)} = \frac{8 - x^{(2)} - 2y^{(2)}}{1} = 8 + 10 + 28 = 46.$$

4.7.2 Exemple propuse

1. Fie sistemul de ecuații:

$$\begin{cases} 2x + y = -4 \\ 3x + 5y = 15 \end{cases}$$

- să se determine soluția sistemului de ecuații pentru primele două iterații ale metodelor Jacobi și Gauss-Seidel, cunoscând soluția inițială $x^{(0)} = y^{(0)} = 0$;
- să se illustreze grafic procesul iterativ și să se comenteze convergența lui;

(c) să se comenteze rezultatele obținute atunci când se schimbă ordinea ecuațiilor.

2. Fie sistemul de ecuații:

$$\begin{cases} 3x + 5y = 15 \\ 2x + y = -4 \end{cases}$$

(a) să se determine soluția sistemului de ecuații pentru primele două iterații ale metodelor Jacobi și Gauss-Seidel, cunoscând soluția inițială $x^{(0)} = y^{(0)} = 0$;

(b) să se illustreze grafic procesul iterativ și să se comenteze convergența lui;

(c) să se comenteze rezultatele obținute atunci când se schimbă ordinea ecuațiilor.

3. Fie sistemul de ecuații:

$$\begin{cases} x + y - 3z = -1 \\ 2x + y - z = 2 \\ x - y - z = -1 \end{cases}$$

Să se comenteze convergența metodelor iterative și să se determine soluția sistemului de ecuații pentru primele două iterații ale metodelor Jacobi și Gauss-Seidel, cunoscând soluția inițială $x^{(0)} = y^{(0)} = z^{(0)} = 0$.

4. Fie sistemul de ecuații:

$$\begin{cases} 4x + 2y - z = 5 \\ x - 3y + z = -1 \\ -x + y + 4z = 4 \end{cases}$$

Să se comenteze convergența metodelor iterative și să se determine soluția sistemului de ecuații pentru primele două iterații ale metodelor Jacobi și Gauss-Seidel, cunoscând soluția inițială $x^{(0)} = y^{(0)} = z^{(0)} = 0$.

5. Fie sistemul de ecuații:

$$\begin{cases} 3x + y + z = 4 \\ x + y + 2z = 4 \\ x + y + 3z = 6 \end{cases}$$

Să se comenteze convergența metodelor iterative și să se determine soluția sistemului de ecuații pentru primele două iterații ale metodelor Jacobi și Gauss-Seidel, cunoscând soluția inițială $x^{(0)} = y^{(0)} = z^{(0)} = 0$.

4.8 Întrebări și probleme

1. Dați o explicație calitativă pentru convergența mai rapidă a metodei Gauss-Seidel față de metoda Jacobi.
2. Există sisteme de ecuații, nedominant diagonale, care se pot rezolva totuși prin metoda Gauss-Seidel, deși metoda Jacobi nu este convergentă?
3. Care este explicația că inversând ordinea a 2 ecuații în sistemele propuse pentru rezolvare cu primul program demonstrativ, metodele iterative nu conduc la obținerea soluției?
4. Cum scade eroarea în funcție de numărul de iterații, la metodele Jacobi și Gauss-Seidel? Cum este corelată scăderea erorii cu norma matricei de iterație?
5. Scrieți pseudocodul unei proceduri care să genereze, cu ajutorul unui generator de numere aleatoare, o matrice a cărei normă este dată.
6. Care sunt matricele \mathbf{B} și \mathbf{C} în care s-a partiționat matricea sistemului la o metodă iterativă care ar folosi următoarea expresie pentru determinare a componentei i a soluției :

$$x_i^k = \frac{b_i - \sum_{j=i+1}^n a_{ij}x_j^k - \sum_{j=1}^{i-1} a_{ij}x_j^{k-1}}{a_{ii}}.$$

7. Scrieți pseudocodul unui polialgoritm de rezolvare a unui sistem de ecuații liniare prin metode directe a cărui soluție este rafinată ulterior prin metode iterative, în vederea eliminării erorilor de rotunjire.
8. Analizați teoretic modul în care depinde numărul de iterații m , necesare atingerii unei precizii dorite, în funcție de norma matricei \mathbf{M} .
9. Modificați pseudocodul algoritmului Gauss-Seidel prin adoptarea unui criteriu de eroare relativ la norma reziduului $\|\mathbf{Ax} - \mathbf{b}\|$.
10. Scrieți un algoritm de rezolvare iterativă a unui sistem cu matrice tridiagonală.
11. Scrieți un algoritm de rezolvare iterativă a sistemului $\mathbf{Ax} = \mathbf{b}$ bazat pe partiția:

$$\mathbf{A} = \mathbf{B} - \mathbf{C} = \mathbf{L} + \mathbf{D} - (-\mathbf{U}),$$

cu \mathbf{D} matrice bloc diagonală.

12. Documentați-vă în literatura de specialitate și pe internet ce înseamnă preconditionarea? Cum influențează această operație numărul de condiționare și viteza de convergență a rezolvării sistemelor liniare prin metode iterative?

13. Rezolvați în mediul MATLAB/SCILAB, un sistem de ecuații liniare algebrice folosind o metodă iterativă. Evaluați viteza de convergență a procesului iterativ.
14. Identificați în biblioteca matematică descrisă în [2] funcții avansate pentru rezolvarea cu metode directe a sistemelor de ecuații algebrice liniare cu matrice rare. Ce aduc nou aceste funcții față de cea folosită în lucrare?



Carl Gustav Jacob Jacobi (1804, Prusia - 1851, Germania)

<http://www-gap.dcs.st-and.ac.uk/history/Mathematicians/Jacobi.html>

<http://scienceworld.wolfram.com/biography/Jacobi.html>

Philipp Ludwig von Seidel (1821, Germania - 1896, Germania)
<http://www-gap.dcs.st-and.ac.uk/history/Mathematicians/Seidel.html>



Augustin Louis Cauchy (1789, Franta - 1857, Franta)

<http://www-gap.dcs.st-and.ac.uk/history/Mathematicians/Cauchy.html>

<http://scienceworld.wolfram.com/biography/Cauchy.html>

Lucrarea 5

Analiza numerică a circuitelor electrice liniare în regim permanent

5.1 Caracterizarea lucrării

Cele mai simple circuite electrice sunt circuitele rezistive liniare. Studiul acestor circuite este o problemă foarte importantă, deoarece se constată că și analiza altor categorii de circuite, cum sunt cele neliniare sau cele în regim tranzitoriu, se reduce în final la această problemă. Circuitele electrice rezistive liniare sunt caracterizate de sisteme de ecuații algebrice liniare formate din ecuațiile lui Kirchhoff și din relațiile constitutive ale elementelor. Din punct de vedere matematic, analiza unui astfel de circuit se reduce la rezolvarea unui sistem liniar.

Analiza asistată de calculator a circuitelor electrice presupune nu numai rezolvarea numerică a ecuațiilor asociate acestor circuite ci și generarea automată, cu ajutorul calculatorului a acestor ecuații. Ecuațiile unui circuit electric pot avea diferite forme echivalente. Cea mai eficientă tehnică de scriere automată a ecuațiilor s-a dovedit a fi tehnica nodală, bazată pe metoda potențialelor la noduri.

În lucrare se prezintă tehnica nodală aplicată în analiza circuitelor electrice liniare, de curent continuu și alternativ. Pentru descrierea circuitelor a fost ales un limbaj de maximă simplitate, orientat pe laturi.

5.2 Principiul metodei

Se consideră un circuit electric cu N noduri și L laturi. Pe fiecare latură k a acestui circuit se află un rezistor liniar cu rezistența R_k , eventual înseriat cu o sursă cu t.e.m. E_k ,

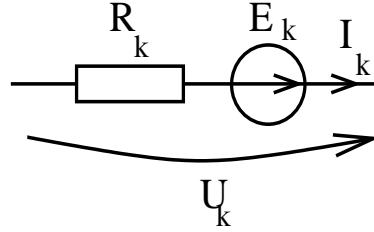


Figura 5.1: Latura standard considerată pentru analiza circuitelor rezistive liniare de curent continuu.

astfel încât:

$$u_k = R_k i_k - E_k, \quad k = 1, 2, \dots, L, \quad (5.1)$$

unde u_k este tensiunea la bornele laturii k , iar i_k este curentul ce străbate latura (figura 5.1).

Relația (5.1) se poate scrie și sub forma:

$$i_k = \frac{u_k + E_k}{R_k} = G_k u_k + J_k, \quad (5.2)$$

în care $G_k = 1/R_k$ este conductanța laturii, presupusă mărginită, iar $J_k = E_k/R_k$ este curentul electromotor al generatorului de curent Norton echivalent laturii. S-a presupus că nici o latură nu are rezistența nulă.

Dacă se notează cu $\mathbf{i} = [i_1, i_2, \dots, i_L]^T$ vectorul intensităților curenților din laturile circuitului, cu $\mathbf{u} = [u_1, u_2, \dots, u_L]^T$ vectorul tensiunilor la bornele laturilor și cu $\mathbf{v} = [v_1, v_2, \dots, v_{N-1}]^T$ vectorul potențialelor nodurilor, atunci teoremele lui Kirchhoff capătă următoarea formă matriceală:

$$\mathbf{A}\mathbf{i} = \mathbf{0}, \quad (5.3)$$

$$\mathbf{u} = \mathbf{A}^T \mathbf{v}, \quad (5.4)$$

în care s-a notat cu $\mathbf{A} \in \mathbb{R}^{(N-1) \times L}$ matricea redusă a incidențelor laturi-noduri.

Problema fundamentală a analizei circuitelor electrice rezistive liniare constă în determinarea vectorilor \mathbf{u} , \mathbf{i} și \mathbf{v} , atunci când se cunosc parametrii R_k , E_k , pentru $k = 1, \dots, L$ și topologia circuitului descrisă, de exemplu, prin matricea \mathbf{A} . Soluția acestei probleme se determină prin rezolvarea sistemului de ecuații algebrice liniare (5.1), (5.3), (5.4).

Scriind și ecuațiile constitutive ale laturilor (5.1) sub forma matriceală:

$$\mathbf{u} = \mathbf{R}\mathbf{i} - \mathbf{E}, \quad (5.5)$$

unde $\mathbf{R} = \text{diag}(R_1, R_2, \dots, R_L) \in \mathbb{R}^{L \times L}$ este matricea rezistențelor laturilor, iar $\mathbf{E} = [E_1, E_2, \dots, E_L]^T$ este matricea t.e.m., rezultă, prin eliminarea vectorilor \mathbf{u} și \mathbf{i} din (5.3), (5.4), și (5.5):

$$\mathbf{A}\mathbf{i} = \mathbf{A}\mathbf{R}^{-1}(\mathbf{u} + \mathbf{E}) = \mathbf{A}\mathbf{R}^{-1}\mathbf{A}^T \mathbf{v} + \mathbf{A}\mathbf{R}^{-1}\mathbf{E} = \mathbf{0}. \quad (5.6)$$

Dacă se notează cu $\mathbf{G} = \mathbf{A}\mathbf{R}^{-1}\mathbf{A}^T$ matricea conductanțelor nodale și cu $\mathbf{i}_S = -\mathbf{A}\mathbf{R}^{-1}\mathbf{E}$ matricea injecțiilor de curent în noduri (suma curenților de scurtcircuit) rezultă sistemul de ecuații algebrice liniare

$$\mathbf{G}\mathbf{v} = \mathbf{i}_S \quad (5.7)$$

specific tehnicii nodale, matricea \mathbf{G} fiind o matrice pătrată de dimensiune $N - 1$. Prin rezolvarea acestui sistem, rezultă potențialele nodurilor $\mathbf{v} = \mathbf{G}^{-1}\mathbf{i}_S$, din care se calculează cu (5.4) tensiunile și cu (5.5) curenții.

Se constată că fiecare latură k , conectată între nodurile inițial ni și final nf , contribuie la patru termeni ai matricei \mathbf{G} și la doi termeni ai vectorului \mathbf{i}_S :

| | Matricea \mathbf{G} | | vectorul \mathbf{i}_S |
|------------|-----------------------|--------------|-------------------------|
| | coloana ni | coloana nf | |
| linia ni | $1/R_k$ | $-1/R_k$ | $-E_k/R_k$ |
| linia nf | $-1/R_k$ | $1/R_k$ | E_k/R_k |

Această observație permite generarea automată a matricelor \mathbf{G} , \mathbf{i}_S , prin parcurgerea laturilor și adunarea contribuției fiecărei laturi, la aceste matrice. Se constată că matricea \mathbf{G} este diagonal dominantă, ceea ce permite rezolvarea sistemului liniar atât cu metode iterative cât și cu metode directe, fără pivotare.

Analiza circuitelor electrice liniare în curent alternativ prin tehnica nodală presupune **reprezentarea circuitului în complex**. Dacă se notează cu $\mathbf{I} \in \mathbb{C}^L$, $\mathbf{U} \in \mathbb{C}^L$, $\mathbf{V} \in \mathbb{C}^{N-1}$, vectorii curenților, tensiunilor și respectiv potențialelor complexe, ecuațiile circuitului au forma matriceală:

$$\begin{aligned} \mathbf{A}\mathbf{I} &= \mathbf{0}, \\ \mathbf{U} &= \mathbf{A}^T\mathbf{V}, \\ \mathbf{U} &= \mathbf{Z}\mathbf{I} - \mathbf{E}, \end{aligned} \quad (5.8)$$

în care $\mathbf{Z} = \text{diag}(\underline{Z}_1, \underline{Z}_2, \dots, \underline{Z}_L) \in \mathbb{C}^{L \times L}$ este matricea impedanțelor complexe ale laturilor, iar $\mathbf{E} = \text{diag}(\underline{E}_1, \underline{E}_2, \dots, \underline{E}_L)^T$ este matricea tensiunilor electromotoare complexe. Impedanțele complexe ale elementelor ideale sunt: la rezistor $\underline{Z}_R = R$, la bobină $\underline{Z}_L = j\omega L$, iar la condensator $\underline{Z}_C = \frac{1}{j\omega C}$, unde ω este pulsația (frecvența unghiulară) în radiani/s.

Prin eliminări succesive din (5.8) se obține:

$$\mathbf{Y}\mathbf{V} = \mathbf{I}_S, \quad (5.9)$$

în care $\mathbf{Y} = \mathbf{Z}^{-1}\mathbf{A}^T$ este matricea admitanțelor nodale, iar $\mathbf{I}_S = -\mathbf{A}\mathbf{Z}^{-1}\mathbf{E}$ este matricea injecțiilor de curent din noduri. Prin rezolvarea sistemului algebric liniar (5.9) rezultă potențialele $\mathbf{V} = \mathbf{Y}^{-1}\mathbf{I}_S$.

În consecință, analiza de curent alternativ se desfășoară similar cu cea de curent continuu, cu deosebirea că în acest caz se operează cu numere complexe.

5.3 Pseudocodul metodei

Următorul pseudocod descrie analiza unui **circuit rezistiv liniar, de curent continuu**.

```

; Introducerea datelor de descriere a circuitului
citește  $N$  ; numărul de noduri
citește  $L$  ; numărul de laturi
pentru  $k = 1, L$  ; parcurge laturi
    citește  $ni_k, nf_k$  ; nodurile inițial și final
    citește  $R_k, E_k$  ; rezistența și t.e.m

; Rezolvă circuitul prin tehnica nodală și determină vectorul  $v$  al potențialelor
nodal ( $N, L, ni, nf, R, E, v$ )

; Calculează și afișează soluția
 $pg = 0$  ; puterea generată
 $pc = 0$  ; puterea consumată
pentru  $k = 1, L$  ; parcurge laturile
     $u = v_{ni(k)} - v_{nf(k)}$  ; tensiunea la bornele laturii
     $i = (u + E_k) / R_k$  ; curentul din latură
     $pg = pg + E_k i$ 
     $pc = pc + R_k i^2$ 
    scrie  $k, u, i$ 
scrie  $pc, pg$  ; bilanțul de puteri

```

Acest program apelează procedura nodal, care determină potențialele nodurilor:

procedura nodal (N, L, ni, nf, R, E, v)

; analizează circuitul rezistiv liniar cu tehnica nodală

```

întreg  $N$  ; număr de noduri
întreg  $L$  ; număr de laturi
tablou întreg  $ni(L)$  ; noduri inițiale
tablou întreg  $nf(L)$  ; noduri finale
tablou real  $R(L)$  ; rezistențele laturilor
tablou real  $E(L)$  ; t.e.m. ale laturilor
tablou real  $v(N)$  ; potențialele nodurilor
; (date de ieșire)
tablou real  $G(N, N)$  ; matricea conductanțelor nodale

```

```

tablou real  $is(L)$  ; vectorul injecțiilor de curent
pentru  $i = 1, N$  ; inițializează matricea sistemului
     $is(i) = 0$ 
    pentru  $j = 1, N$ 
         $G(i, j) = 0$ 
pentru  $k = 1, L$  ; parcurge laturi
     $n1 = ni(k)$ 
     $n2 = nf(k)$ 
     $G(n1, n1) = G(n1, n1) + 1/R_k$ 
     $G(n2, n2) = G(n2, n2) + 1/R_k$ 
     $G(n1, n2) = G(n1, n2) - 1/R_k$ 
     $G(n2, n1) = G(n2, n1) - 1/R_k$ 
     $is(n1) = is(n1) - E_k/R_k$ 
     $is(n2) = is(n2) + E_k/R_k$ 
    Gauss (N-1, G, is, v) ; rezolvă sistem liniar cu N-1 ecuații
    ; cu matricea G și termenul liber is
 $v(N) = 0$ 
retur

```

În procedura nodal se apelează procedura Gauss, care determină vectorul \mathbf{v} al potențialelor, prin rezolvarea sistemului liniar $\mathbf{G}\mathbf{v} = \mathbf{i}_s$ cu metoda eliminării gaussiene. Pentru a simplifica algoritmi, matricea \mathbf{G} generată are dimensiunea $N \times N$, dar la rezolvarea sistemului aceasta se consideră de dimensiuni $(N-1) \times (N-1)$, ceea ce corespunde alegerii ultimului nod, ca nod de referință. Algoritmul prezentat poate fi extins fără dificultăți pentru a permite analiza circuitelor care conțin și surse de curent.

Dacă se operează cu variabile complexe și nu cu variabile reale, procedura nodal se poate aplica la analiza circuitelor de curent alternativ. Se va nota cu **nodal-cx** varianta acestei proceduri, în care declarația **real** se înlocuiește cu **complex**.

Următorul pseudocod descrie **algoritmul de analiză a circuitelor de curent alternativ**.

```

; Introducerea datelor de descriere
citește  $N$  ; număr de noduri
citește  $L$  ; număr de laturi
citește  $f$  ; frecvența în Hz
pentru  $k = 1, L$ 
    citește  $ni_k, nf_k$ 
    citește  $tip_k$  ; tipul elementului R, L sau C
    citește  $p_k$  ; parametrul elementului pasiv
    citește  $e_k$  ; valoarea efectivă

```

```

    citește  $f_{i_k}$  ; faza inițială
 $w = 2 \cdot \pi \cdot f$  ; pulsația
pentru  $k = 1, L$ 
    dacă  $tip_k = L$  atunci
         $Z_k = complex(0, wp_k)$ 
    altfel dacă  $tip_k = C$  atunci
         $Z_k = complex(0, -1/(wp_k))$ 
    altfel
         $Z_k = complex(p_k, 0)$ 
     $E_k = complex(e_k \cos(f_{i_k}), e_k \sin(f_{i_k}))$ 

; Determină potențialele complexe ale nodurilor
nodal-cx (N, L, ni, nf, Z, E, V)

; Calculează și afișează soluția
 $Sg = complex(0, 0)$  ; puterea complexă generată
 $Sc = complex(0, 0)$  ; puterea complexă consumată
pentru  $k = 1, L$ 
     $U = V_{ni(k)} - V_{nf(k)}$ 
     $I = (U + E_k) / Z_k$ 
     $Sg = Sg + E_k \cdot conjugat(I)$ 
     $Sc = Sc + Z_k \cdot |I|^2$ 
    scrie  $k$  ; latura
    scrie  $|I|$  ; valoarea efectivă
    scrie  $arg(I)$  ; faza curentului

scrie  $Re(Sg)$  ; puterea generată activă  $P_g$ 
scrie  $Im(Sg)$  ; puterea generată reactivă  $Q_g$ 
scrie  $Re(Sc)$  ; puterea consumată activă  $P_c$ 
scrie  $Im(Sc)$  ; puterea consumată reactivă  $Q_g$ 

```

Dacă partea de analiză a acestui program este repetată ciclic pentru diferite frecvențe se obțin caracteristicile de frecvență ale circuitului.

5.4 Analiza algoritmilor

Necesarul de memorie

Memoria necesară în analiza circuitelor electrice rezistive liniare este ocupată de:

- 2 vectori întregi **ni**, **nf** de dimensiune L ;

- 2 vectori reali \mathbf{R} , \mathbf{E} de dimensiune L ;
- 1 vector real \mathbf{i}_s de dimensiune N ;
- 1 matrice \mathbf{G} de dimensiune $N \times N$.

Se constată că necesarul de memorie depinde pătratic de dimensiunea circuitului, caracterizată în principal prin numărul de noduri N .

Efort de calcul

Timpul de calcul necesar analizei este folosit în special pentru rezolvarea sistemului liniar de dimensiune N , deci ordinul de complexitate al algoritmului de analiză este cubic $O(2N^3/3)$.

Analiza erorilor

Erorile numerice apărute în analiza circuitelor sunt:

- erori inerente, în datele de intrare;
- erori de rotunjire, datorate reprezentării finite.

Erorile inerente și de rotunjire se propagă în procesul de calcul și pot genera instabilități numerice, cu atât mai mari, cu cât sistemul de ecuații este mai slab condiționat.

Dacă circuitul analizat are rezistențe foarte diferite, atunci instabilitățile numerice pot deveni importante. Așa se întâmplă, dacă de exemplu, una din rezistențele laturilor tinde către zero (conductanța tinde către infinit, ceea ce determină valori foarte mari pentru unele din elementele matricei \mathbf{G}).

5.5 Chestiuni de studiat

1. Analiza numerică a unui circuit rezistiv liniar în regim staționar (curent continuu);
2. Analiza numerică a unui circuit liniar în regim sinusoidal (curent alternativ);
3. Implementarea unui algoritm de analiză numerică a unui circuit electric liniar;
4. Căutarea de informații pe Internet.

5.6 Modul de lucru

Pentru desfășurarea lucrării se selectează lucrarea *Analiza numerică a circuitelor liniare în regim permanent* din meniul principal de lucrări.

Aceasta are ca efect lansarea unui meniu cu următoarele opțiuni:

- Circuite de curent continuu;
- Circuite de curent alternativ,

din care utilizatorul selectează opțiunea dorită.

5.6.1 Analiza numerică a unui circuit rezistiv liniar

Prin selectarea opțiunii *Circuite de curent continuu* din meniul principal se lansează un program de analiză a circuitelor electrice de tip R, E .

Programul solicită din partea utilizatorului următoarele informații de descriere a circuitului:

- numărul de noduri;
- numărul de laturi;
- pentru fiecare latură de circuit:
 - nodul inițial al laturii;
 - nodul final al laturii;
 - rezistența din latură;
 - t.e.m. a sursei de tensiune.

După introducerea datelor, programul analizează circuitul introdus cu metoda potențialelor la noduri și sunt afișate pentru fiecare latură valoarea tensiunii și cea a intensității curentului. Sunt calculate și afișate valorile puterii consumate și puterii generate.

Pentru a analiza un circuit electric cu ajutorul acestui program, acesta trebuie ”pregătit” în felul următor:

- se numerotează nodurile de la 1 la N ;
- se numerotează laturile de la 1 la L ;

- se alege pentru fiecare latură un sens de parcurs, orientat de la borna minus la borna plus a sursei de tensiune, dacă aceasta există, și arbitrar în caz contrar.

Se recomandă analiza unui circuit electric simplu, de exemplu cu $L = 3$ și $N = 2$, a cărei soluție este cunoscută. Se va studia soluția numerică obținută, pentru valori extreme (foarte mari și foarte mici) ale uneia din rezistențele circuitului.

5.6.2 Analiza unui circuit de curent alternativ

Prin selectarea opțiunii *Circuite de curent alternativ* se lansează un program, care permite analiza unui circuit electric în regim sinusoidal.

Pentru descrierea circuitului, în afară de numărul de laturi, numărul de noduri și a frecvenței de lucru (exprimată în Hz), pentru fiecare latură se descrie:

- nodul inițial și final;
- tipul elementului pasiv din latură (R , L sau C);
- valoarea parametrului elementului pasiv (R , L sau C);
- valoarea efectivă a t.e.m. a sursei de tensiune din latură;
- faza inițială a t.e.m. a sursei de tensiune (în grade).

După introducerea datelor se analizează circuitul cu metoda nodală și se afișază, pentru fiecare latură:

- valoarea efectivă a curentului;
- faza inițială a curentului.

În final se afișează puterile active și reactive, consumate și generate. Se recomandă să se analizeze numeric funcționarea unui circuit electric stabilizator de curent de tip Boucherot pentru diferite valori ale rezistenței de sarcină. Reamintim că un circuit de tip Boucherot este un circuit de tipul celui din figura 5.2.

Pentru acest circuit curentul \underline{I}_3 prin impedanța \underline{Z}_3 nu depinde de valoarea acestei impedanțe dacă $\underline{Z}_1 + \underline{Z}_2 = 0$. Pentru a justifica acest lucru este suficient să se calculeze curentul \underline{I}_3 :

$$\underline{I}_3 = \frac{\underline{E}}{\underline{Z}_1 + \frac{\underline{Z}_2 \underline{Z}_3}{\underline{Z}_2 + \underline{Z}_3}} \frac{\underline{Z}_2}{\underline{Z}_2 + \underline{Z}_3} = \frac{\underline{E} \underline{Z}_2}{\underline{Z}_1 \underline{Z}_2 + (\underline{Z}_1 + \underline{Z}_2) \underline{Z}_3}.$$

Este evident că, dacă $\underline{Z}_1 + \underline{Z}_2 = 0$ curentul \underline{I}_3 nu depinde de \underline{Z}_3 , și anume el este

$$\underline{I}_3 = \frac{\underline{E}}{\underline{Z}_1}.$$

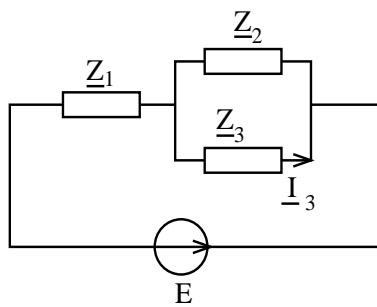


Figura 5.2: Circuit de tip Boucherot. ($Z_1 + Z_2 = 0$ și I_3 nu depinde de Z_3)

5.6.3 Implementarea algoritmilor

Se va implementa în limbajul C, algoritmul de analiză a circuitelor electrice rezistive liniare. Programul va fi editat, compilat, executat și testat pentru un circuit simplu.

5.6.4 Căutarea de informații pe Internet

Căutați pe Internet informații (coduri) legate de rezolvarea circuitelor electrice. Exemple de cuvinte cheie: *electric circuits simulation*.

5.7 Exemple

5.7.1 Exemple rezolvate

1. Fie circuitul de curent continuu din figura 5. Se cunosc: $R_1 = 1\Omega$, $R_2 = 2\Omega$, $R_3 = 3\Omega$, $R_4 = 4\Omega$, $R_5 = 5\Omega$, $R_6 = 6\Omega$, $E_1 = 10V$, $E_3 = 30V$, $E_5 = 50V$.

Se cer:

- Să se precizeze numărul de noduri, numărul de laturi și, pentru fiecare latură, nodul inițial, nodul final, rezistența și t.e.m. a sursei de tensiune.
- Ce dimensiuni au matricea \mathbf{G} și vectorul \mathbf{i}_s asamblate de algoritm?
- Să se determine contribuțiile laturilor 3 și 4 la matricea \mathbf{G} și vectorul \mathbf{i}_s .
- Care sunt matricea \mathbf{G} și vectorul \mathbf{i}_s asamblate?
- Care este sistemul de ecuații de rezolvat?

Rezolvare:

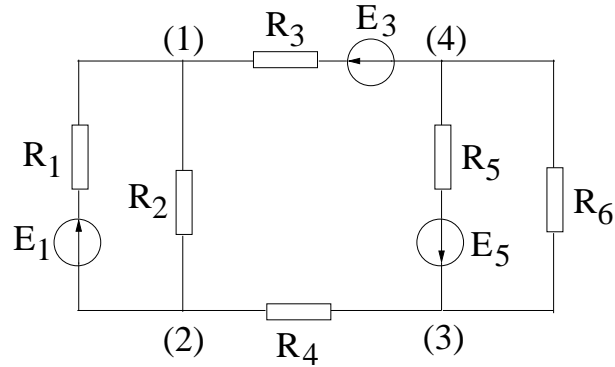


Fig. 5. Circuit rezistiv liniar de curent continuu

Pentru circuitul din figura 5, numărul de noduri este $N = 4$, iar numărul de laturi este $L = 6$.

Pentru laturile cu surse de tensiune, sensul laturii este sensul intern al sursei de tensiune, iar pentru restul laturilor, sensul laturii este ales de utilizator.

| Latura | Nodul inițial | Nodul final | $R [\Omega]$ | $E [V]$ |
|--------|---------------|-------------|--------------|---------|
| 1 | 2 | 1 | 1 | 10 |
| 2 | 1 | 2 | 2 | 0 |
| 3 | 4 | 1 | 3 | 30 |
| 4 | 2 | 3 | 4 | 0 |
| 5 | 4 | 3 | 5 | 50 |
| 6 | 4 | 3 | 6 | 0 |

Deoarece numărul total de noduri este 4, matricea \mathbf{G} asamblată de algoritm are dimensiunea $(4, 4)$, iar vectorul \mathbf{i}_s are dimensiunea 4.

Contribuțiile laturii 3 la matricea \mathbf{G} și vectorul \mathbf{i}_s :

| \mathbf{G} | | | | \mathbf{i}_s |
|----------------|--|--|----------------|-----------------|
| $\frac{1}{3}$ | | | $-\frac{1}{3}$ | $\frac{30}{3}$ |
| | | | | |
| | | | | |
| $-\frac{1}{3}$ | | | $\frac{1}{3}$ | $-\frac{30}{3}$ |

Contribuțiile laturii 4 la matricea \mathbf{G} și vectorul \mathbf{i}_s :

| G | | | | i_s |
|----------|----------------|----------------|--|----------------------|
| | | | | |
| | $\frac{1}{4}$ | $-\frac{1}{4}$ | | 0 |
| | $-\frac{1}{4}$ | $\frac{1}{4}$ | | 0 |
| | | | | |

Matricea **G** și vectorul **i_s** asamblate:

| G | | | | i_s |
|---------------------------------|---------------------------------|---|---|--------------------------------|
| $1 + \frac{1}{2} + \frac{1}{3}$ | $-1 - \frac{1}{2}$ | | $-\frac{1}{3}$ | $10 + \frac{30}{3}$ |
| $-1 - \frac{1}{2}$ | $1 + \frac{1}{2} + \frac{1}{4}$ | $-\frac{1}{4}$ | | -10 |
| | $-\frac{1}{4}$ | $\frac{1}{4} + \frac{1}{5} + \frac{1}{6}$ | $-\frac{1}{5} - \frac{1}{6}$ | $\frac{50}{5}$ |
| $-\frac{1}{3}$ | | $-\frac{1}{5} - \frac{1}{6}$ | $\frac{1}{3} + \frac{1}{5} + \frac{1}{6}$ | $-\frac{30}{3} - \frac{50}{5}$ |

Nodul 4 este nod de referință.

Matricea **G** a sistemului de rezolvat se obține din matricea **G** asamblată prin eliminarea ultimei linii și a ultimei coloane. Vectorul **i_s** al sistemului de rezolvat se obține din vectorul **i_s** asamblat prin eliminarea ultimei linii.

Matricea **G** și vectorul **i_s** ale sistemului de ecuații de rezolvat:

| G | | | i_s |
|---------------------------------|---------------------------------|---|----------------------|
| $1 + \frac{1}{2} + \frac{1}{3}$ | $-1 - \frac{1}{2}$ | | $10 + \frac{30}{3}$ |
| $-1 - \frac{1}{2}$ | $1 + \frac{1}{2} + \frac{1}{4}$ | $-\frac{1}{4}$ | -10 |
| | $-\frac{1}{4}$ | $\frac{1}{4} + \frac{1}{5} + \frac{1}{6}$ | $\frac{50}{5}$ |

2. Fie circuitul de curent alternativ din figura 6: Se cunosc: frecvența $f = 50\text{Hz}$, $R_2 = 3\Omega$, $R_3 = 1\Omega$, $R_5 = 4\Omega$, $L_1 = \frac{2}{100\pi}\text{H}$, $L_4 = \frac{3}{100\pi}\text{H}$, $C_3 = \frac{1}{100\pi}\text{F}$, $C_6 = \frac{1}{400\pi}\text{F}$, $e_1(t) = 30\sqrt{2}\sin(\omega t)\text{V}$, $e_5(t) = 20\sin(\omega t + \frac{\pi}{2})\text{V}$.

Să se precizeze numărul de noduri, numărul de laturi și, pentru fiecare latură, nodul inițial, nodul final, impedanța și valoarea complexă a t.e.m. a sursei de tensiune.

Rezolvare:

Pentru circuitul din figura 6, numărul de noduri este $N = 4$, iar numărul de laturi este $L = 6$.

Pentru laturile cu surse de tensiune, sensul laturii este sensul intern al sursei de tensiune, iar pentru restul laturilor, sensul laturii este ales de utilizator.

Transformarea în complex simplificat a unei valori instantanee a t.e.m. este:

$$e(t) = E\sqrt{2}\sin(\omega t + \varphi) \longrightarrow \underline{E} = Ee^{j\varphi} = E[\cos(\varphi) + j\sin(\varphi)].$$

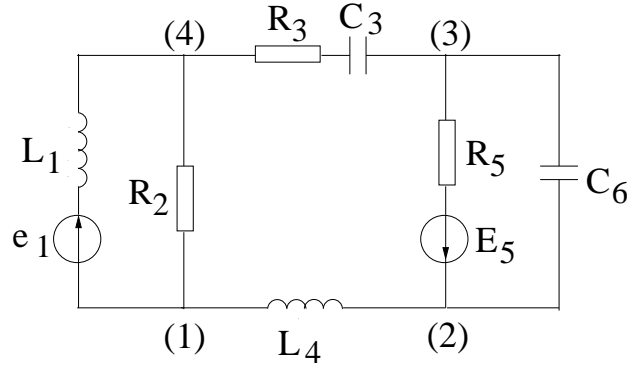


Fig. 6. Circuit rezistiv liniar de curent alternativ

Astfel:

$$\underline{E}_1 = 30e^{j0} = 30, \quad \underline{E}_5 = \frac{20}{\sqrt{2}}e^{j\frac{\pi}{2}} = \frac{20}{\sqrt{2}}j.$$

Impedanțele rezistorului, bobinei și condensatorului sunt:

$$\underline{Z}_R = R, \quad \underline{Z}_L = j\omega L, \quad \underline{Z}_C = \frac{1}{j\omega C} = -j\frac{1}{\omega C},$$

unde $\omega = 2\pi f = 100\pi$ este pulsația.

De exemplu, impedanțele laturilor 1 și 3 sunt:

$$\underline{Z}_1 = j\omega L_1 = 2j, \quad \underline{Z}_3 = R_3 - j\frac{1}{\omega C_3} = 1 - j.$$

| Latura | Nodul inițial | Nodul final | \underline{Z} | \underline{E} |
|--------|---------------|-------------|-----------------|------------------------|
| 1 | 1 | 4 | $2j$ | 30 |
| 2 | 1 | 4 | 3 | 0 |
| 3 | 4 | 3 | $1 - j$ | 0 |
| 4 | 2 | 1 | $3j$ | 0 |
| 5 | 3 | 2 | 4 | $\frac{20}{\sqrt{2}}j$ |
| 6 | 2 | 3 | $-4j$ | 0 |

5.7.2 Exemple propuse

1. Fie circuitul de curent continuu din figura 7: Se cunosc: $R_1 = 1\Omega$, $R_2 = 2\Omega$, $R_3 = 1\Omega$, $R_4 = 3\Omega$, $R_5 = 2\Omega$, $R_6 = 4\Omega$, $E_3 = 10V$, $E_4 = 20V$, $E_5 = 10V$, $E_6 = 30V$.

Se cer:

- Să se precizeze numărul de noduri, numărul de laturi și, pentru fiecare latură, nodul inițial, nodul final, rezistența și t.e.m. a sursei de tensiune.

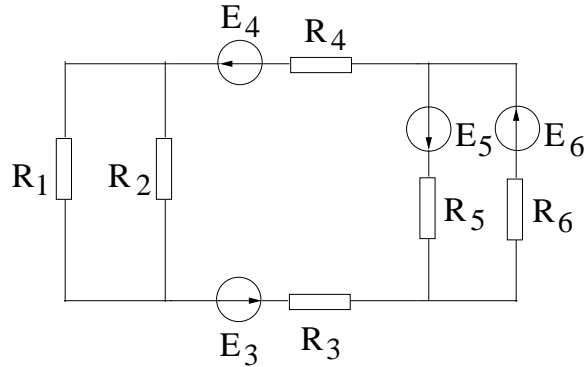


Fig. 7. Circuit rezistiv liniar de curent continuu

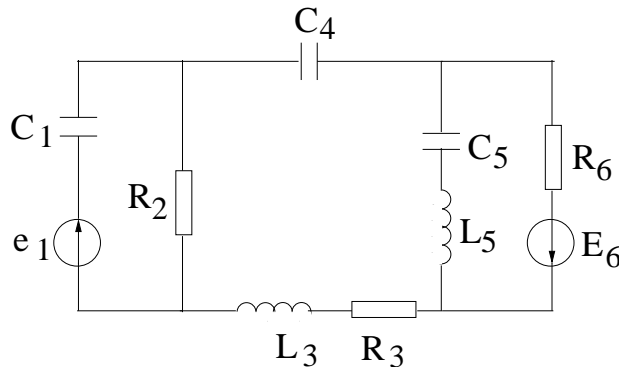


Fig. 8. Circuit rezistiv liniar de curent alternativ

- Ce dimensiuni au matricea \mathbf{G} și vectorul \mathbf{i}_s asamblate de algoritm?
 - Să se determine contribuțiile laturilor 2 și 3 la matricea \mathbf{G} și vectorul \mathbf{i}_s .
 - Care sunt matricea \mathbf{G} și vectorul \mathbf{i}_s asamblate?
 - Care este sistemul de ecuații de rezolvat?
2. Fie circuitul de curent alternativ din figura 8: Se cunosc: frecvența $f = 50\text{Hz}$, $R_2 = 5\Omega$, $R_3 = 2\Omega$, $R_6 = 3\Omega$, $L_3 = \frac{2}{100\pi}\text{H}$, $L_5 = \frac{4}{100\pi}\text{H}$, $C_1 = \frac{1}{300\pi}\text{F}$, $C_4 = \frac{1}{100\pi}\text{F}$, $C_5 = \frac{1}{200\pi}\text{F}$, $e_1(t) = 20\sqrt{2}\sin(\omega t + \pi)\text{V}$, $e_6(t) = 10\sin(\omega t + \frac{3\pi}{2})\text{V}$.

Să se precizeze numărul de noduri, numărul de laturi și, pentru fiecare latură, nodul inițial, nodul final, impedanța și valoarea complexă a t.e.m.

5.8 Întrebări și probleme

1. Cum trebuie modificat algoritmul de analiză a circuitelor electrice rezistive liniare, pentru a admite și surse ideale de curent, conectate în paralel cu fiecare latură?
2. Extindeți algoritmul de analiză a circuitelor electrice rezistive liniare pentru a admite și surse comandate liniar în tensiune.
3. Modificați algoritmul de analiză nodală, astfel încât să admită și elemente comandate în curent (surse de tensiune sau surse comandate liniar în curent).
4. Modificați algoritmul de analiză în curent alternativ, astfel încât aceasta să admită și bobine cuplate mutual.
5. Analizați comparativ cele două metode de descriere a unui circuit: cea orientată pe elemente (se dau nodurile fiecărui element) și cea orientată pe noduri (se dau elementele, care concură la fiecare nod).
6. Analizați modul în care se pot folosi tehnicile de matrice rare la analiza circuitelor electrice liniare.
7. Generați un algoritm de analiză a circuitelor de curent alternativ, pentru un sistem care nu admite operații cu numere complexe.
8. Generați un algoritm de analiză a datelor de descriere a unui circuit, care permite simbolizarea nodurilor prin nume alfanumerice și care testează corectitudinea descrierii.
9. Comparați diferitele metode de scriere ale ecuațiilor unui circuit electric rezistiv liniar.



Gustav Robert Kirchhoff (1824, Prusia - 1887, Germania)

<http://www-gap.dcs.st-and.ac.uk/history/Mathematicians/Kirchhoff.html>

<http://scienceworld.wolfram.com/biography/Kirchhoff.html>

Lucrarea 6

Interpolarea polinomială a funcțiilor reale

6.1 Caracterizarea metodei

Funcțiile numerice se pot reprezenta în sistemele de calcul prin două metode principal diferite:

- prin cod, indicând algoritmul care permite evaluarea funcției în orice punct al domeniului de definiție;
- prin date, indicând valorile funcției numai într-o rețea de puncte din domeniul de definiție, numite noduri.

Evaluarea unei *funcții reprezentate tabelar (prin date)* presupune aproximarea ei (interpolarea) în intervalele dintre nodurile rețelei, în orice punct al domeniului de definiție. Una din cele mai simple metode de interpolare constă în aproximarea funcției cu un polinom. În acest caz evaluarea funcției se reduce la operații aritmetice elementare (adunări și înmulțiri).

Scopul lucrării este de a evidenția cele mai eficiente metode de determinare a polinomului de interpolare. În lucrare se studiază efortul de calcul, eroarea introdusă prin interpolare polinomială și limitele acestei metode de aproximare.

6.2 Principiul metodei

Se consideră funcția reală de variabilă reală $f : [a, b] \rightarrow \mathbb{R}$ ale cărei valori sunt cunoscute într-o rețea de noduri $a = x_0 < x_1 < \dots < x_n = b$:

$$\begin{array}{cccc} x : & x_0 & x_1 & \dots & x_n \\ y : & y_0 & y_1 & \dots & y_n \end{array}$$

în care $y_k = f(x_k)$.

Problema fundamentală a interpolării constă în determinarea unei funcții $g : [a, b] \rightarrow \mathbb{R}$, care aproximează funcția f satisfăcând condițiile: $g(x_0) = y_0, g(x_1) = y_1, \dots, g(x_n) = y_n$. De obicei funcția g este căutată de forma unei combinații liniare

$$g(x) = \sum_{k=0}^n c_k b_k(x) \quad (6.1)$$

de funcții $b_k : [a, b] \rightarrow \mathbb{R}$, numite funcții de bază. Dacă în general problema interpolării nu are soluție unică, prin alegerea funcțiilor de bază problema este bine formulată și are soluție unică, cu condiția ca aceste funcții să fie liniar independente. În acest caz, problema interpolării se reduce la determinarea coeficienților c_0, c_1, \dots, c_n , care alcătuiesc vectorul $\mathbf{c} = [c_0, c_1, \dots, c_n]^T \in \mathbb{R}^{(n+1)}$.

Metoda clasică

Alegând funcțiile de bază de forma $1, x, x^2, \dots, x^n$, respectiv $b_k = x^k$, *funcția de interpolare este un polinom*:

$$g(x) = \sum_{k=0}^n c_k x^k,$$

de gradul n care satisface *condițiile de interpolare*:

$$g(x_k) = y_k, \quad k = 0, 1, 2, \dots, n.$$

Există deci o legătură strânsă între gradul polinomului de interpolare și numărul de puncte ale tabelului de valori, și anume gradul polinomului este cu 1 mai mic decât numărul de puncte din tabel (prin două puncte trece o dreaptă, prin trei puncte trece o parabolă, etc.).

În consecință, coeficienții polinomului de interpolare satisfac sistemul de ecuații algebrice liniare:

$$\begin{array}{rcl} c_0 + c_1 x_0 + c_2 x_0^2 + \dots + c_n x_0^n & = & y_0 \\ c_0 + c_1 x_1 + c_2 x_1^2 + \dots + c_n x_1^n & = & y_1 \\ & \vdots & \\ c_0 + c_1 x_n + c_2 x_n^2 + \dots + c_n x_n^n & = & y_n \end{array} \quad (6.2)$$

sau sub forma matriceală:

$$\mathbf{A}\mathbf{c} = \mathbf{y},$$

în care $\mathbf{y} = [y_0, y_1, \dots, y_n]^T \in \mathbb{R}^{(n+1)}$ iar

$$\mathbf{A} = \begin{bmatrix} 1 & x_0 & x_0^2 & \cdots & x_0^n \\ 1 & x_1 & x_1^2 & \cdots & x_1^n \\ \vdots & \vdots & \vdots & & \vdots \\ 1 & x_n & x_n^2 & \cdots & x_n^n \end{bmatrix} \in \mathbb{R}^{(n+1) \times (n+1)} \quad (6.3)$$

este o matrice nesingulară, dacă $x_i \neq x_j$ pentru $i \neq j$.

În acest fel, problema interpolării presupune parcurgerea etapelor:

- determinarea coeficienților polinomului de interpolare prin rezolvarea unui sistem liniar de ecuații algebrice;
- evaluarea polinomului interpolant.

Această tehnică de interpolare poate fi aplicată doar pentru valori mici ale gradului ($n < 5$), deoarece are două mari dezavantaje:

1. efortul de calcul pentru determinarea coeficienților este relativ mare, ordinul de complexitate al celui mai eficient algoritm de rezolvare a unui sistem liniar general fiind $O(2n^3/3)$;
2. erorile soluției sunt mari, deoarece sistemul este slab condiționat pentru valori mari ale gradului n .

Metoda Lagrange

O metodă care evită aceste dezavantaje este metoda Lagrange, în care funcțiile de bază se aleg de forma:

$$\begin{aligned} b_0(x) &= (x - x_1)(x - x_2) \cdots (x - x_n) \\ b_1(x) &= (x - x_0)(x - x_2) \cdots (x - x_n) \\ &\vdots \\ b_n(x) &= (x - x_0)(x - x_1) \cdots (x - x_{n-1}) \end{aligned} \quad (6.4)$$

sau în general:

$$b_k(x) = \prod_{i=0, i \neq k}^n (x - x_i) \quad (6.5)$$

Impunând polinomului

$$g(x) = \sum_{k=0}^n c_k \prod_{i=0, i \neq k}^n (x - x_i) \quad (6.6)$$

condițiile de interpolare, rezultă sistemul de ecuații algebrice liniare:

$$\begin{aligned} g(x_0) &= c_0(x_0 - x_1)(x_0 - x_2) \cdots (x_0 - x_n) = y_0 \\ g(x_1) &= c_1(x_1 - x_0)(x_1 - x_2) \cdots (x_1 - x_n) = y_1 \\ &\vdots \\ g(x_n) &= c_n(x_n - x_0) \cdots (x_n - x_{n-1}) = y_n \end{aligned} \quad (6.7)$$

cu structura diagonală. Soluția acestui sistem este:

$$c_k = \frac{y_k}{\prod_{i=0, i \neq k}^n (x_k - x_i)}, \quad (6.8)$$

iar polinomul de interpolare are expresia

$$g(x) = \sum_{k=0}^n y_k \prod_{i=0, i \neq k}^n \frac{(x - x_i)}{(x_k - x_i)} = \sum_{k=0}^n y_k l_k(x), \quad (6.9)$$

în care s-a notat cu $l_k(x)$ polinomul lui Lagrange.

Metoda Lagrange elimină dezavantajele metodei "clasice", în schimb timpul necesar evaluării polinomului de interpolare crește de la ordinul liniar $O(n)$ la cel pătratic $O(n^2)$.

Metoda Newton

O altă metodă pentru determinarea polinomului de interpolare este metoda Newton, în care funcțiile de bază se aleg de forma:

$$\begin{aligned} b_0(x) &= 1 \\ b_1(x) &= (x - x_0) \\ b_2(x) &= (x - x_0)(x - x_1) \\ &\vdots \\ b_n(x) &= (x - x_0)(x - x_1) \cdots (x - x_{n-1}) \end{aligned} \quad (6.10)$$

sau în general:

$$b_k(x) = \prod_{i=0}^{k-1} (x - x_i).$$

Impunând polinomului

$$g(k) = \sum_{k=0}^n c_k \prod_{i=0}^{k-1} (x - x_i) \quad (6.11)$$

condițiile de interpolare:

$$\begin{aligned}
 g(x_0) &= c_0 = y_0 \\
 g(x_1) &= c_0 + c_1(x_1 - x_0) = y_1 \\
 g(x_2) &= c_0 + c_1(x_2 - x_0) + c_2(x_2 - x_0)(x_2 - x_1) = y_2 \\
 &\vdots \\
 g(x_n) &= c_0 + c_1(x_n - x_0) + c_2(x_n - x_0)(x_n - x_1) + \cdots = y_n
 \end{aligned} \tag{6.12}$$

rezultă un sistem algebric liniar cu structura triunghiular inferioară, a cărui rezolvare poate fi realizată prin metoda substituției progresive. Coeficienții polinomului de interpolare Newton sunt:

$$\begin{aligned}
 c_0 &= y_0 \\
 c_1 &= (y_1 - c_0)/(x_1 - x_0) = (y_1 - y_0)/(x_1 - x_0) \\
 c_2 &= (y_2 - c_0 - c_1(x_2 - x_0))/(x_2 - x_0)/(x_2 - x_1) \\
 &\vdots \\
 c_n &= (y_n - c_0 - c_1(x_n - x_0) - c_2(x_n - x_0)(x_n - x_1) \cdots)/(x_n - x_0)/\cdots/(x_n - x_{n-1})
 \end{aligned} \tag{6.13}$$

Un concept aflat într-o strânsă relație cu polinomul de interpolare Newton este cel al *diferențelor divizate de ordinul k ale unei funcții f* , valori notate cu $f[\cdots]$ și care se definesc recursiv prin:

$$f[x_0, x_1, \cdots, x_k] = \frac{f[x_1, \cdots, x_k] - f[x_0, x_1, \cdots, x_{k-1}]}{x_k - x_0}, \tag{6.14}$$

iar în particular, în cazul diferenței divizate de ordinul 1:

$$f[x_0, x_1] = \frac{y_1 - y_0}{x_1 - x_0}. \tag{6.15}$$

Se constată că valorile coeficienților c_k din polinomul de interpolare Newton sunt date de diferențele divizate

$$c_k = f[x_0, x_1, \cdots, x_n]$$

și:

$$g(x) = \sum_{k=0}^n c_k b_k(x) = \sum_{k=0}^n f[x_0, x_1, \cdots, x_k] \prod_{i=0}^{k-1} (x - x_i). \tag{6.16}$$

Determinarea coeficienților polinomului Newton este facilitată de utilizarea tabelii diferențelor divizate, în care elementele se calculează recursiv:

| x | y | ord.1 | ord.2 | ord.3 | ord.4 |
|-------|-------|---------------|--------------------|----------------------|----------------------|
| x_0 | y_0 | $f[x_0, x_1]$ | | | |
| x_1 | y_1 | $f[x_1, x_2]$ | $f[x_0, x_1, x_2]$ | $f[x_0, \dots, x_3]$ | |
| x_2 | y_2 | $f[x_2, x_3]$ | $f[x_1, x_2, x_3]$ | $f[x_1, \dots, x_4]$ | $f[x_0, \dots, x_4]$ |
| x_3 | y_3 | $f[x_3, x_4]$ | $f[x_2, x_3, x_4]$ | | |
| x_4 | y_4 | | | | |
| ... | ... | ... | ... | ... | ... |

Prima "linie" a acestui tabel conține chiar coeficienții polinomului de interpolare Newton. Diferențele divizate de diferite ordine reprezintă aproximări ale derivatelor de ordin corespunzător ale funcției în sensul că dacă $f(x)$ are m derivate pe intervalul $[a, b]$ există un punct $a \leq z \leq b$ astfel încât:

$$f[x_0, x_1, \dots, x_m] = \frac{f^{(m)}(z)}{m!} \quad (6.17)$$

în care x_0, x_1, \dots, x_m sunt puncte distincte din intervalul $[a, b]$.

Metoda de interpolare Newton are următoarele avantaje:

- realizează un compromis optim între efortul de construcție și cel de evaluare;
- algoritmul este relativ stabil din punct de vedere numeric, având erori numerice acceptabile ale rezultatelor;
- permite mărirea gradului polinomului de interpolare, prin adăugarea unui nod nou în rețeaua de interpolare, cu reutilizarea coeficienților de la gradul anterior, care nu se modifică, deci cu un efort minim de calcul;
- are posibilitatea de a controla eroarea de interpolare;
- prin mărirea succesivă a gradului polinomului de interpolare până la atingerea preciziei dorite, timpul de calcul este dependent de eroarea impusă, având valori mari doar în cazurile în care se dorește o precizie ridicată;
- coeficienții polinomului Newton reprezintă diferențele divizate de interpolat, ceea ce facilitează calculul numeric al polinomului de interpolare.

Observație:

Cele trei metode prezentate (clasică, Lagrange, Newton) sunt metode de interpolare globală. Ele caută un polinom de grad n ce trece prin cele $n + 1$ puncte ale tabelului de

date. Deoarece acest polinom este unic (de exemplu, dacă $n = 1$, există o dreaptă unică ce trece prin cele două puncte, dacă $n = 2$, există o parabolă unică ce trece prin cele trei puncte, etc.), cele trei metode rulate pe un calculator ideal, de precizie infinită (în care nu există erori de rotunjire) ar da același rezultat.

6.3 Pseudocodul algoritmilor

Metoda clasică

Determinarea coeficienților polinomului de interpolare se poate face cu următoarea procedură, care apelează la rândul ei procedura Gauss, de rezolvare a sistemelor algebrice liniare.

```

procedura interp( $n, x, y, c$ ) ; determină coeficienții polinomului de interpolare
    întreg  $n$  ; gradul polinomului de interpolare
    tablou real  $x(n)$  ; abscisele punctelor de interpolare
    tablou real  $y(n)$  ; ordonatele punctelor de interpolare
    tablou real  $c(n)$  ; coeficienții polinomului (date de ieșire), indicii sunt de la 0 la  $n$ 
    tablou real  $a(n, n)$  ; matricea sistemului, cu indici de la 0 la  $n$ 
    pentru  $i = 0, n$ 
         $a_{i0} = 1$ 
    pentru  $j = 1, n$ 
        pentru  $i = 0, n$ 
             $a_{ij} = a_{ij-1}x_i$ 
    Gauss0( $n+1, a, y, c$ ) ; rezolvă sistemul liniar  $ac = y$  cu  $n + 1$  ecuații
retur

```

Atenție: Tabloul de date are indici de la 0 la n . Procedura Gauss implementată în lucrarea 3 folosea indici de la 1 la n . Ea trebuie rescrisă pentru a trata matrice în care notația indicilor este de la 0 la n . De aceea pseudocodul de mai sus apelează o funcție Gauss0.

Pentru evaluarea polinomului se poate folosi rutina evalp prezentată în lucrarea 1.

Metoda Lagrange fără pregătire

Procedura de interpolare Lagrange admite următoarea reprezentare în pseudocod:

```

funcția interp-L ( $n, x, y, xcrt$ ) ; evaluează polinomul de interpolare
    ; Lagrange în punctul  $xcrt$ 
    întreg  $n$  ; gradul polinomului
    tablou real  $x(n), y(n)$  ; rețeaua de interpolare, indici de la 0 la  $n$ 

```

real $xcrt$; variabilă independentă
real $ycrt$; valoarea polinomului în $xcrt$
real p ; variabilă intermediară

$ycrt = 0$

pentru $k = 0, n$

$p = 1$

pentru $j = 0, n$

dacă $j \neq k$ **atunci**

$p = p \cdot (x - x_j) / (x_k - x_j)$

$ycrt = ycrt + y_k \cdot p$

întoarce $ycrt$

Metoda Lagrange cu pregătire

Dacă polinomul este evaluat într-un număr mare de puncte, diferite de nodurile rețelei de interpolare, atunci este avantajoasă următoarea formă a polinomului de interpolare (6.6):

$$g(x) = (x - x_0)(x - x_1) \cdots (x - x_n) \sum_{k=0}^n \left(\frac{c_k}{x - x_k} \right), \quad (6.18)$$

în care c_k este dat de relația (6.8).

Această metodă admite următorul pseudocod:

procedura prep-L(n, x, y, c) ; pregătește datele pentru interpolarea Lagrange
întreg n ; gradul polinomului
tablou real $x(n), y(n)$; rețeaua de interpolare, indici de la 0 la n
 $c(n)$; coeficienții polinomului de ieșire, indici de la 0 la n

pentru $k = 0, n$

$c_k = y_k$

pentru $j = 0, n$

dacă $j \neq k$ **atunci**

$c_k = c_k / (x_k - x_j)$

retur

funcția eval-L ($n, x, y, xcrt$) ; evaluează polinomul Lagrange în punctul $xcrt$ cu
; coeficienții c calculați cu prep-L
întreg n ; gradul polinomului
tablou real $x(n)$, ; abscisele punctelor de interpolare, indici de la 0 la n
tablou real $c(n)$; coeficienții polinomului, indici de la 0 la n
real $xcrt$; variabilă independentă
 $p = 1$

```

pentru  $k = 0, n$ 
     $p = p(xcrt - x_k)$ 
    dacă  $p = 0$  atunci întoarce  $y_k$ 
 $ycrt = 0$ 
pentru  $k = 0, n$ 
     $ycrt = ycrt + c_k/(xcrt - x_k)$ 
 $ycrt = p \cdot ycrt$ 
întoarce  $ycrt$ 

```

Metoda Newton

Problema determinării coeficienților polinomului Newton are o soluție dependentă de reprezentarea datelor.

Dacă se generează diferențele divizate și se memorează într-un tabel bidimensional cu elementele:

$$a_{ij} = f[x_i \cdots, x_{i+j}]$$

pentru $i = 0, 1, \dots, n$ și $j = 0, 1, \dots, (n - i)$ și $a_{ij} = 0$ pentru $j > n - i$, atunci pe prima linie a acestui tabel se obțin coeficienții polinomului de interpolare Newton $c_k = a_{0k}$:

| | | | | | | |
|---------------|-----------|--------------|-------------------|--------------------|---------|--------------|
| | | $j = 0$ | $j = 1$ | $j = 2$ | \dots | |
| $i = 0 :$ | x_0 | $f[x_0]$ | $f[x_0, x_1]$ | $f[x_0, x_1, x_2]$ | \dots | |
| $i = 1 :$ | x_1 | $f[x_1]$ | $f[x_1, x_2]$ | $f[x_1, x_2, x_3]$ | \dots | $= [a_{ij}]$ |
| $i = 2 :$ | x_2 | $f[x_2]$ | $f[x_2, x_3]$ | $f[x_2, x_3, x_4]$ | \dots | |
| \vdots | | | | | | |
| $i = n - 1 :$ | x_{n-1} | $f[x_{n-1}]$ | $f[x_{n-1}, x_n]$ | 0 | \dots | |
| $i = n :$ | x_n | $f[x_n]$ | 0 | 0 | \dots | |

procedura prep-N (n, x, y, c) ; determină coeficienții polinomului
; de interpolare Newton
întreg n ; gradul polinomului
tablou real $x(n), y(n)$; rețeaua de interpolare, indici de la 0 la n
tablou real $c(n)$; coeficienții polinomului, indici de la 0 la n
; (date de ieșire)

```

pentru  $i = 0, n$ 
     $a_{i0} = y_i$ 
    pentru  $j = 1, n$ 
pentru  $i = 0, n - j$ 
     $a_{ij} = (a_{i+j, j-1} - a_{i, j-1}) / (x_{j+1} - x_i)$ 
pentru  $i = 0, n$ 

```


$$c_i = a_0^i$$

retur

funcția eval-N ($n, x, y, xcrt$) ; evaluează polinomul Newton
întreg n ; gradul polinomului
tablou real $x(n)$, ; abscisele punctelor de interpolare, indici de la 0 la n
tablou real $c(n)$; coeficienții polinomului, indici de la 0 la n
real $xcrt$; variabilă independentă
 $ycrt = c_n$
pentru $k = n - 1, 0, -1$
 $ycrt = c_k + (xcrt - x_k)ycrt$
întoarce $ycrt$

Evaluarea polinomului Newton se bazează pe observația ca acesta poate fi scris sub forma:

$$g(x) = c_0 + (x - x_0)(c_1 + (x - x_1)(c_2 + \cdots + (x - x_{n-2})(c_{n-1} + c_n(x - x_{n-1}) \cdots))$$

mult mai avantajoasă din punctul de vedere al efortului de calcul decât forma (6.11).

6.4 Analiza complexității algoritmilor

6.4.1 Efort de calcul

Metoda clasică de interpolare polinomială, bazată pe rezolvarea unui sistem de ecuații liniare necesită un efort de calcul de ordinul $O(2n^3/3)$ pentru determinarea coeficienților polinomului și un efort liniar $O(2n)$ pentru evaluarea polinomului. Dacă se efectuează m evaluări, efortul global de calcul este $O(2n^3/3 + 2mn)$.

La *metoda Lagrange*, efortul de calcul pentru evaluarea polinomului Lagrange într-un punct cu relația (6.9) este de ordinul $O(4n^2)$. Dacă se utilizează relația (6.18), atunci pregătirea datelor (procedura prep-L) necesită un efort de calcul de ordinul $O(2n^2)$, iar evaluarea (funcția eval-L) necesită un efort de calcul de ordinul $O(5n)$, deci un efort de calcul global cu ordinul $O(2n^2 + 5mn)$.

În cazul *metodei Newton* efortul de pregătire are ordinul $O(3n^2/2)$, iar efortul de evaluare are ordinul $O(2n)$, ceea ce corespunde unui efort de calcul global de ordinul $O(3n^2/2 + 2mn)$.

Următorul tabel sintetizează rezultatele obținute și evidențiază eficiența metodei Newton:

| Metoda | Timp de pregătire | Timp de evaluare | Timp total |
|-----------------|-------------------|------------------|----------------|
| Clasică | $2n^3/3$ | $2n$ | $2n^3/3 + 2nm$ |
| Lagrange (6.9) | – | $4n^2$ | $4n^2m$ |
| Lagrange (6.18) | $2n^2$ | $5n$ | $2n^2 + 5nm$ |
| Newton | $3n^2/2$ | $2n$ | $3n^2/2 + 2nm$ |

6.4.2 Necesari de memorie

Din punctul de vedere al eficienței spațiale metoda clasică necesită un spațiu de memorie de ordine $O(n^2)$ pe când în cazul metodei Lagrange spațiul de memorie necesar are ordinul liniar $O(2n)$ pentru varianta (6.9) și $O(3n)$ pentru varianta (6.18).

Metoda Newton, așa cum a fost descrisă în procedura **prep-N**, necesită un spațiu de memorie $O(n^2)$ pentru determinarea coeficienților. Deoarece jumătate din acest spațiu este neutilizat, structura de date poate fi modificată prin memorarea diferențelor divizate într-un tablou unidimensional, ceea ce conduce la un necesar de memorie de ordinul $O(n^2/2)$.

6.5 Eroarea de interpolare

Problema generală a interpolării nu are soluție unică, existând o infinitate de funcții $g(x)$, care interpolatează funcția $f(x)$ pe o rețea dată. Mai mult, abaterea dintre funcția "exactă" $f(x)$ și aproximarea sa $g(x)$ poate fi făcută oricât de mare, chiar dacă $g(x_k) = f(x_k)$ pentru $k = 0, 1, \dots, n$. Dacă în schimb, funcția $f(x)$ are derivate de ordin superior pe intervalul $[a, b]$, atunci eroarea de aproximare a ei cu un polinom interpolat $g(x)$ este mărginită.

Dacă se notează cu:

$$e(x) = f(x) - g(x),$$

eroarea absolută, în care $g(x)$ este polinomul de interpolare pe rețeaua x_0, x_1, \dots, x_n , atunci:

$$e(x) = f[x_0, x_1, \dots, x_n, x]. \quad (6.19)$$

Folosind relațiile (6.16) și (6.17) rezultă că există un punct $z \in [a, b]$ astfel încât:

$$e(x) = \frac{f^{(n+1)}(z)}{(n+1)!} \prod_{j=0}^n (x - x_j). \quad (6.20)$$

Dacă $|f^{(n+1)}(x)| \leq M$, pentru orice $a \leq x \leq b$, atunci eroarea de interpolare satisface inegalitatea:

$$|e(x)| \leq \frac{M}{(n+1)!} \prod_{j=0}^n |x - x_j|. \quad (6.21)$$

În particular, în cazul interpolării liniare pe rețeaua cu două puncte x_0, x_1 eroarea de interpolare satisface inegalitatea:

$$|e(x)| \leq \frac{M_2}{2} |x - x_0| |x - x_1|,$$

în care $M_2 > |f''(z)|$ cu $x_0 < z < x_1$. Se constată că eroarea de interpolare se anulează în nodurile rețelei x_0, x_1 și că nu poate depăși valoarea:

$$|e(x)| \leq \frac{M_2}{2} h^2,$$

în care s-a notat cu $h = x_1 - x_0$ lungimea intervalului.

Interpolarea parabolică (cu polinom de gradul doi) va avea o eroare care depinde de valoarea maximă a modului derivatei a treia a funcției de interpolat. În general, dacă $h = b - a$, rezultă inegalitatea:

$$|e(x)| \leq \frac{M_{n+1}}{(n+1)!} h^{n+1}, \quad (6.22)$$

care evidențiază dependența erorii de lungimea h a intervalului de interpolat.

Dacă marginile M_2, M_3, M_4, \dots ale derivatelor alcătuiesc un șir monoton descrescător ($M_{k+1} \leq M_k$), atunci relațiile (6.19) și (6.21) evidențiază faptul că ultimul termen din polinomul interpolat Newton reprezintă o aproximare a erorii de interpolare pentru polinomul de grad $n - 1$.

Din rezultatele prezentate s-ar părea că măririi gradului polinomului de interpolare, eroarea de interpolare trebuie să scadă. În realitate, această afirmație nu este exactă. Un exemplu celebru este cel dat de Runge, care a arătat că pentru funcția $f : [-5, 5] \rightarrow \mathbb{R}$, definită prin:

$$f(x) = \frac{1}{1 + x^2},$$

care este o funcție suficient de netedă, interpolarea pe o rețea uniformă de noduri este numeric instabilă. Pe măsură ce crește numărul de noduri (și implicit gradul polinomului) crește și eroarea de interpolare, datorită oscilației polinomului interpolat între punctele rețelei. Această lipsă de convergență a polinomului de grad n către $f(x)$, când gradul n tinde către infinit este cunoscută sub numele de *efectul Runge*.

Pentru a elimina efectul Runge se recomandă alegerea nodurilor de interpolare în poziția corespunzătoare rădăcinilor polinomului Cebîșev:

$$x_k = \frac{a+b}{2} + \frac{b-a}{2} \cos\left(\frac{(n-k)\pi}{n}\right), \quad (6.23)$$

unde $k = 0, 1, \dots, n$

Erorile prezentate sunt în fond *erori de trunchiere*, dar într-o interpolare apar și erori inerente sau de rotunjire.

Erorile inerente se datorează abaterilor datelor de intrare de la valoarea exactă. Interpolarea polinomială având un caracter global, o abatere într-un nod x_k se face simțită nu numai local, în vecinătatea nodului x_k ci pe întreg domeniul $[a, b]$. Dacă de exemplu $y_k^* = y_k + e_y$ este afectată de eroarea e_y , atunci rezultatul interpolării $g(x)^* = g(x) + e_g$ are o eroare:

$$e_g = e_y \prod_{j=0, j \neq k}^n \frac{x - x_j}{x_k - x_j},$$

care se anulează în nodurile x_j cu j diferit de k , deci este chiar polinomul Lagrange $l_k(x)$ multiplicat cu e_y . Acest polinom poate lua în intervalul $[a, b]$ valori mult mai mari ca e_y . Alegând nodurile conform rădăcinilor polinomului Cebîșev, atunci polinomul Lagrange $l_k(x)$ se identifică cu polinomul Cebîșev de grad k , care are oscilație minimă în intervalul $[a, b]$. În consecință, interpolarea Cebîșev asigură nu numai erori de trunchiere ci și erori de rotunjire minime.

Spre deosebire de erorile de trunchiere, *erorile de rotunjire* depind de metoda adoptată. Deoarece polinomul de interpolare al unei rețele de date este unic (nu depinde de metoda prin care a fost calculat), erorile de aproximare în cazul operării cu un sistem de calcul ideal (fără erori de rotunjire) sunt aceleași indiferent dacă polinomul a fost determinat prin metoda clasică, Lagrange sau Newton.

Modul în care se propagă erorile de rotunjire depinde de stabilitatea numerică a metodei. Metoda Lagrange este foarte stabilă numeric, deoarece elementele bazei sunt ortogonale și sistemul de rezolvat (cu structură diagonală) este foarte bine condiționat. Metoda "clasică" este foarte instabilă deoarece sistemul care se rezolvă este slab condiționat, mai ales pentru polinoame de grad mare. Metoda Newton prezintă o stabilitate numerică acceptabilă.

Erorile prezentate limitează drastic *utilizarea interpolării polinomiale globale*. Nu este recomandabilă această metodă pentru interpolarea datelor experimentale, susceptibile de erori mari. Ea poate fi aplicată cu succes la interpolarea funcțiilor evaluate algoritmic, care sunt suficient de netede (de preferință analitice), fără modificări prea rapide ale pantei (de preferință la funcții monotone). Dacă nodurile rețelei de interpolare pot fi alese de utilizator, atunci se recomandă ca ele să fie mai dese spre marginile intervalului, de preferință conform relației (6.23). Din păcate, nici alegerea nodurilor conform acestei relații nu rezolvă complet problema interpolării polinomiale. Faber a demonstrat o teoremă care afirmă că *pentru orice șir de rețele de discretizare cu un număr de noduri n tinzând către infinit există cel puțin o funcție continuă pentru care procedura de interpolare este divergentă, în sensul că eroarea de interpolare tinde la infinit*. Această teoremă evidențiază limitarea majoră a metodei interpolării polinomiale globale.

6.6 Chestiuni de studiat

1. Interpolarea polinomială a funcțiilor pe rețele uniforme sau neuniforme (conform rădăcinilor polinoamelor Cebîșev);
2. Analiza experimentală a erorilor;
3. Analiza experimentală a timpului de calcul;
4. Implementarea și testarea unor algoritmi de interpolare polinomială;
5. Căutare de informații pe Internet.

6.7 Mod de lucru

Pentru desfășurarea lucrării selectați opțiunea *Interpolarea polinomială a funcțiilor reale* din meniul principal de lucrări. Aceasta are ca urmare lansarea următorului meniu:

- Interpolarea polinomială uniformă /Cebîșev
- Analiza algoritmilor - erori
- Analiza algoritmilor - timpi de calcul

6.7.1 Interpolarea polinomială a funcțiilor pe rețele uniforme/Cebîșev

Se selectează din meniul principal opțiunea *Interpolare polinomială*, care lansează un program de interpolare mai întâi pe o rețea cu pas constant și apoi pe o rețea cu pas neuniform, în concordanță cu rădăcinile polinoamelor Cebîșev. Programul afișează lista funcțiilor $f(x)$ care pot fi interpolate:

- $\sin(x)$
- $\exp(x)$
- $\ln(|x|)$
- $\text{th}(x)$
- Runge: $1/(1+x^2)$
- $|x|$

- $\sqrt{|x|}$

După selectarea funcției programul solicită limitele domeniului de definiție $a \leq x \leq b$ și gradul polinomului de interpolare. Se reprezintă grafic funcția exactă $f(x)$ și interpolarea sa polinomială $g(x)$ în ambele cazuri (uniform/neuniform). În consola Scilab se afișează eroarea de interpolare $\max_{a \leq x \leq b} |f(x) - g(x)|$.

Se vor studia interpolările polinomiale pentru cele 7 funcții predefinite, cu diferite valori ale gradului polinomului. Pentru una din funcții (în afara funcției \sin) se va reprezenta grafic modul de variație a erorii în funcție de numărul nodurilor de interpolare (de la 2 la 20). Se recomandă să se aleagă o funcție pentru care se remarcă efectul Runge. Se vor comenta rezultatele obținute.

6.7.2 Analiza experimentală a erorilor de interpolare

Se selectează opțiunea *Analiza algoritmilor - erori* din meniul principal al lucrării. Programul lansat determină eroarea de interpolare a funcției $\sin(x)$ pe o perioadă, în cazul folosirii metodelor de interpolare: clasică, Lagrange, Newton. Programul solicită valoarea inițială, valoarea finală și pasul pentru gradul polinomului de interpolare. Valorile recomandate pentru gradul polinomului sunt 1,2,3,4,5,6,7,8 (valoarea inițială 1, valoarea finală 8, pas 1).

Se vor nota erorile și se vor comenta rezultatele. Se va reprezenta grafic eroarea în funcție de gradul polinomului de interpolare.

6.7.3 Analiza experimentală a timpului de calcul necesar interpolării polinomiale

Se selectează opțiunea *Analiza algoritmilor - timpi de calcul* din meniul principal al lucrării. Programul lansat determină timpul de calcul necesar interpolării funcției $\sin(x)$ pe o perioadă, în cazul folosirii metodelor de interpolare: clasică, Lagrange, Newton.

Singura dată de intrare este numărul de noduri n din rețeaua de interpolare. Se va reprezenta grafic modul de variație a timpului de calcul (separat pentru pregătire și interpolare) n , pentru n variind de la 20 la 100, cu pas 20.

6.7.4 Implementarea unor algoritmi de interpolare polinomială

Se va implementa în limbajul C algoritmul Lagrange de interpolare. Se va scrie un program de testare, care va permite introducerea datelor n - gradul polinomului de interpolare, x, y

- tabelele de date (cu $n + 1$ puncte) și afișarea rezultatelor interpolării la mijlocul distanței dintre nodurile de interpolare x .

6.7.5 Căutare de informații pe Internet

Căutați pe Internet informații legate de interpolarea funcțiilor. Cuvinte cheie recomandate: *interpolation*, *fitting*.

6.8 Exemple

6.8.1 Exemple rezolvate

1. Fie funcția $y = f(x)$ definită tabelar:

| | | | |
|---|---|---|---|
| x | 1 | 2 | 4 |
| y | 2 | 1 | 3 |

Se cer:

- (a) Cât este gradul polinomului de interpolare globală?
- (b) Care sunt condițiile de interpolare?
- (c) Care este sistemul de ecuații asamblat în metoda clasică de interpolare?
- (d) Care sunt polinoamele Lagrange asociate diviziunii [1 2 4]?
- (e) Care este polinomul de interpolare Lagrange?
- (f) Care este tabelul de diferențe divizate?
- (g) Care este polinomul de interpolare Newton?
- (h) Care este valoarea funcției în punctul $x = 3$?

Rezolvare:

- (a) Gradul polinomului de interpolare globală $g(x)$ este cu o unitate mai mic decât numărul de noduri ale rețelei de discretizare în care este cunoscută funcția $f(x)$. Pentru exemplul dat, funcția $y = f(x)$ are valori date în 3 noduri, și în consecință gradul polinomului de interpolare este $n = 2$.
- (b) Condițiile de interpolare sunt $g(x_k) = y_k$, $k = 0, n$. Aceste condiții impun ca funcția de interpolare $g(x)$ să aibă aceleași valori ca funcția $f(x)$ în nodurile rețelei de discretizare:

$$\begin{aligned} g(x_0) = y_0 &\implies g(1) = 2, \\ g(x_1) = y_1 &\implies g(2) = 1, \\ g(x_2) = y_2 &\implies g(4) = 3. \end{aligned} \quad (6.24)$$

(c) În metoda clasică de interpolare, funcția de interpolare este $g(x) = \sum_{k=0}^n c_k x^k$.

În cazul acestei probleme, avem:

$$g(x) = c_0 + c_1 x + c_2 x^2. \quad (6.25)$$

Din cele $n + 1$ condiții de interpolare rezultă un sistem (6.2) de $n + 1$ ecuații cu $n + 1$ necunoscute (coeficienții c_k , $k = 0, n$).

Condițiile de interpolare (6.24) scrise pentru funcția $g(x)$ dată de (6.25) conduc la următorul sistem de ecuații:

$$\begin{cases} c_0 + c_1 + c_2 = 2 \\ c_0 + 2c_1 + 4c_2 = 1 \\ c_0 + 4c_1 + 16c_2 = 3 \end{cases}$$

(d) Polinomul Lagrange l_k asociat unei diviziuni x_i are următoarea formă:

$$l_k(x) = \prod_{i=0, i \neq k}^n \frac{x - x_i}{x_k - x_i}.$$

Pentru exemplul considerat, diviziunea are 3 puncte, în consecință vor fi 3 polinoame Lagrange de grad 2:

$$l_0(x) = \prod_{i=0, i \neq 0}^2 \frac{x - x_i}{x_k - x_i} = \frac{(x - x_1)(x - x_2)}{(x_0 - x_1)(x_0 - x_2)} = \frac{(x - 2)(x - 4)}{(1 - 2)(1 - 4)} = \frac{x^2 - 6x + 8}{3},$$

$$l_1(x) = \prod_{i=0, i \neq 1}^2 \frac{x - x_i}{x_k - x_i} = \frac{(x - x_0)(x - x_2)}{(x_1 - x_0)(x_1 - x_2)} = \frac{(x - 1)(x - 4)}{(2 - 1)(2 - 4)} = \frac{x^2 - 5x + 4}{-2},$$

$$l_2(x) = \prod_{i=0, i \neq 2}^2 \frac{x - x_i}{x_k - x_i} = \frac{(x - x_0)(x - x_1)}{(x_2 - x_0)(x_2 - x_1)} = \frac{(x - 1)(x - 2)}{(4 - 1)(4 - 2)} = \frac{x^2 - 3x + 2}{6}.$$

(e) Polinomul de interpolare Lagrange este: $g(x) = \sum_{k=0}^n y_k l_k(x)$.

În cazul particular studiat:

$$g(x) = y_0 l_0(x) + y_1 l_1(x) + y_2 l_2(x),$$

și înlocuind expresiile polinomului Lagrange de mai sus, rezultă:

$$g(x) = 2 \frac{x^2 - 6x + 8}{3} + 1 \frac{x^2 - 5x + 4}{-2} + 3 \frac{x^2 - 3x + 2}{6} = \frac{2x^2 - 9x + 13}{3}.$$

(f) Tabelul de diferențe divizate este:

| x | y | ord.1 | ord.2 |
|-----------|-----------|--------------------|----------------------------------|
| $x_0 = 1$ | $y_0 = 2$ | | |
| $x_1 = 2$ | $y_1 = 1$ | $f[x_0, x_1] = -1$ | |
| $x_2 = 4$ | $y_2 = 3$ | $f[x_1, x_2] = 1$ | $f[x_0, x_1, x_2] = \frac{2}{3}$ |

Diferențele divizate de ordinul 1, respectiv ordinul 2 se calculează cu formula (6.14), astfel:

$$f[x_0, x_1] = \frac{y_1 - y_0}{x_1 - x_0} = \frac{1 - 2}{2 - 1} = -1,$$

$$f[x_1, x_2] = \frac{y_2 - y_1}{x_2 - x_1} = \frac{3 - 1}{4 - 2} = 1,$$

$$f[x_0, x_1, x_2] = \frac{f[x_1, x_2] - f[x_0, x_1]}{x_2 - x_0} = \frac{1 - (-1)}{4 - 1} = \frac{2}{3}.$$

(g) Polinomul de interpolare Newton (6.16) este:

$$g(x) = \sum_{k=0}^n f[x_0, x_1, \dots, x_k] \prod_{i=0}^{k-1} (x - x_i).$$

În cazul studiat:

$$\begin{aligned} g(x) &= y_0 + f[x_0, x_1](x - x_0) + f[x_0, x_1, x_2](x - x_0)(x - x_1) = \\ &= 2 + (-1)(x - 1) + \frac{2}{3}(x - 1)(x - 2) = \frac{2x^2 - 9x + 13}{3}. \end{aligned}$$

Observație: polinomul de interpolare globală $g(x)$ este unic, indiferent de metoda de interpolare utilizată. De aceea, rezultatul obținut este identic cu rezultatul de la punctul (e).

(h) În punctul $x = 3$, polinomul de interpolare este:

$$g(3) = \frac{2 \cdot 3^2 - 9 \cdot 3 + 13}{3} = \frac{4}{3}.$$

2. Fie funcția $y = f(x)$ definită tabelar:

| | | | |
|---|---|---|----|
| x | 2 | 3 | 5 |
| y | 5 | 7 | 11 |

Se cer:

(a) Cât este gradul polinomului de interpolare globală?

- (b) Care sunt condițiile de interpolare?
- (c) Care este sistemul de ecuații asamblat în metoda clasică de interpolare?
- (d) Care sunt polinoamele Lagrange asociate diviziunii [2 3 5]?
- (e) Care este polinomul de interpolare Lagrange?
- (f) Care este tabelul de diferențe divizate?
- (g) Care este polinomul de interpolare Newton?
- (h) Care este valoarea funcției în punctul $x = 4$?
- (i) Care este polinomul de interpolare în ipoteza adăugării punctului $(1, 0)$ în tabelul de valori?

Rezolvare:

- (a) Deoarece rețeaua de discretizare are 3 noduri, gradul polinomului de interpolare este $n = 2$.
- (b) Condițiile de interpolare sunt:

$$\begin{aligned} g(2) &= 5, \\ g(3) &= 7, \\ g(5) &= 11. \end{aligned}$$

- (c) Impunând condițiile de interpolare expresiei $g(x) = c_0 + c_1x + c_2x^2$, rezultă sistemul de ecuații în metoda clasică de interpolare:

$$\begin{cases} c_0 + 2c_1 + 4c_2 = 5 \\ c_0 + 3c_1 + 9c_2 = 7 \\ c_0 + 5c_1 + 25c_2 = 11 \end{cases}$$

- (d) Polinoamele Lagrange sunt:

$$l_0(x) = \frac{(x - x_1)(x - x_2)}{(x_0 - x_1)(x_0 - x_2)} = \frac{(x - 3)(x - 5)}{(2 - 3)(2 - 5)} = \frac{x^2 - 8x + 15}{3},$$

$$l_1(x) = \frac{(x - x_0)(x - x_2)}{(x_1 - x_0)(x_1 - x_2)} = \frac{(x - 2)(x - 5)}{(3 - 2)(3 - 5)} = \frac{x^2 - 7x + 10}{-2},$$

$$l_2(x) = \frac{(x - x_0)(x - x_1)}{(x_2 - x_0)(x_2 - x_1)} = \frac{(x - 2)(x - 3)}{(5 - 2)(5 - 3)} = \frac{x^2 - 5x + 6}{6}.$$

- (e) Polinomul de interpolare Lagrange este:

$$\begin{aligned} g(x) &= y_0l_0(x) + y_1l_1(x) + y_2l_2(x) = 5\frac{x^2 - 8x + 15}{3} + 7\frac{x^2 - 7x + 10}{-2} + \\ &+ 11\frac{x^2 - 5x + 6}{6} = \frac{12x + 6}{6} = 2x + 1. \end{aligned}$$

Gradul polinomului de interpolare este 1, deși avem 3 noduri în rețeaua de discretizare. Aceasta se explică prin faptul că cele trei noduri sunt situate pe dreapta $2x + 1 = y$.

(f) Tabelul de diferențe divizate este:

| x | y | ord.1 | ord.2 |
|-----------|------------|-------------------|------------------------|
| $x_0 = 2$ | $y_0 = 5$ | | |
| $x_1 = 3$ | $y_1 = 7$ | $f[x_0, x_1] = 2$ | |
| $x_2 = 5$ | $y_2 = 11$ | $f[x_1, x_2] = 2$ | $f[x_0, x_1, x_2] = 0$ |

Diferențele divizate de ordinul 1, respectiv ordinul 2 sunt:

$$f[x_0, x_1] = \frac{y_1 - y_0}{x_1 - x_0} = \frac{7 - 5}{3 - 2} = 2,$$

$$f[x_1, x_2] = \frac{y_2 - y_1}{x_2 - x_1} = \frac{11 - 7}{5 - 3} = 2,$$

$$f[x_0, x_1, x_2] = \frac{f[x_1, x_2] - f[x_0, x_1]}{x_2 - x_0} = \frac{2 - 2}{5 - 2} = 0.$$

Ultima diferență divizată egală cu zero indică faptul că polinomul de interpolare nu este de grad 2.

(g) Polinomul de interpolare Newton este:

$$\begin{aligned} g(x) &= y_0 + f[x_0, x_1](x - x_0) + f[x_0, x_1, x_2](x - x_0)(x - x_1) = \\ &= 5 + 2(x - 2) + 0(x - 2)(x - 3) = 2x + 1. \end{aligned}$$

(h) În punctul $x = 4$, polinomul de interpolare este:

$$g(4) = 2 \cdot 4 + 1 = 9.$$

(i) În situația în care tabelului de valori i se adaugă un punct, metoda Newton este cea mai avantajoasă metodă deoarece aceasta permite re folosirea calculelor deja efectuate.

Tabelul de diferențe divizate se completează cu noua valoare astfel:

| x | y | ord.1 | ord.2 | ord.3 |
|---|----|----------------|----------------|---------------|
| 2 | 5 | | | |
| | | 2 | | |
| 3 | 7 | | 0 | |
| | | 2 | | $\frac{3}{8}$ |
| 5 | 11 | | $-\frac{3}{8}$ | |
| | | $\frac{11}{4}$ | | |
| 1 | 0 | | | |

Diferențele divizate care apar prin adăugarea punctului $(1, 0)$ sunt:

$$f[x_2, x_3] = \frac{y_3 - y_2}{x_3 - x_2} = \frac{0 - 11}{1 - 5} = \frac{11}{4},$$

$$f[x_1, x_2, x_3] = \frac{f[x_2, x_3] - f[x_1, x_2]}{x_3 - x_1} = \frac{11/4 - 2}{1 - 3} = -\frac{3}{8},$$

$$f[x_0, x_1, x_2, x_3] = \frac{f[x_1, x_2, x_3] - f[x_0, x_1, x_2]}{x_3 - x_0} = \frac{-3/8 - 0}{1 - 2} = \frac{3}{8}.$$

Polinomul de interpolare este:

$$\begin{aligned} h(x) &= g(x) + \frac{3}{8}(x-2)(x-3)(x-5) = 2x + 1 + \frac{3}{8}(x^3 - 10x^2 + 31x - 30) = \\ &= \frac{3}{8}x^3 - \frac{15}{4}x^2 + \frac{109}{8}x - \frac{41}{4}. \end{aligned}$$

Se observă ca nu este nevoie ca punctele diviziunii să fie sortate. De asemenea, în cazul aplicării metodei clasice sau Lagrange, efortul de calcul efectuat anterior s-ar fi pierdut.

3. Fie funcția $y = f(x)$ definită tabelar:

| | | | | |
|---|---|---|---|---|
| x | 1 | 2 | 3 | 5 |
| y | 3 | 2 | 4 | 1 |

Se cer:

- Cât este gradul polinomului de interpolare globală?
- Care sunt condițiile de interpolare?
- Care este sistemul de ecuații asamblat în metoda clasică de interpolare?
- Care sunt polinoamele Lagrange asociate diviziunii $[1\ 2\ 3\ 5]$?
- Care este polinomul de interpolare Lagrange?
- Care este tabelul de diferențe divizate?
- Care este polinomul de interpolare Newton?
- Care este valoarea funcției în punctul $x = 4$?

Rezolvare:

- Deoarece rețeaua de discretizare are 4 noduri, gradul polinomului de interpolare este $n = 3$.

(b) Condițiile de interpolare sunt;

$$\begin{aligned}g(1) &= 3, \\g(2) &= 2, \\g(3) &= 4, \\g(5) &= 1.\end{aligned}$$

(c) Condițiile de interpolare impuse polinomului $g(x) = c_0 + c_1x + c_2x^2 + c_3x^3$ conduc la sistemul de ecuații în metoda clasică de interpolare:

$$\begin{cases} c_0 + 1 \cdot c_1 + 1^2 \cdot c_2 + 1^3 \cdot c_3 = 3 \\ c_0 + 2 \cdot c_1 + 2^2 \cdot c_2 + 2^3 \cdot c_3 = 2 \\ c_0 + 3 \cdot c_1 + 3^2 \cdot c_2 + 3^3 \cdot c_3 = 4 \\ c_0 + 5 \cdot c_1 + 5^2 \cdot c_2 + 5^3 \cdot c_3 = 1 \end{cases} \implies \begin{cases} c_0 + c_1 + c_2 + c_3 = 3 \\ c_0 + 2c_1 + 4c_2 + 8c_3 = 2 \\ c_0 + 3c_1 + 9c_2 + 27c_3 = 4 \\ c_0 + 5c_1 + 25c_2 + 125c_3 = 1 \end{cases}$$

(d) Polinoamele Lagrange sunt:

$$\begin{aligned}l_0(x) &= \frac{(x-x_1)(x-x_2)(x-x_3)}{(x_0-x_1)(x_0-x_2)(x_0-x_3)} = \frac{(x-2)(x-3)(x-5)}{(1-2)(1-3)(1-5)} = \frac{x^3 - 10x^2 + 31x - 30}{-8}, \\l_1(x) &= \frac{(x-x_0)(x-x_2)(x-x_3)}{(x_1-x_0)(x_1-x_2)(x_1-x_3)} = \frac{(x-1)(x-3)(x-5)}{(2-1)(2-3)(2-5)} = \frac{x^3 - 9x^2 + 23x - 15}{3}, \\l_2(x) &= \frac{(x-x_0)(x-x_1)(x-x_3)}{(x_2-x_0)(x_2-x_1)(x_2-x_3)} = \frac{(x-1)(x-2)(x-5)}{(3-1)(3-2)(3-5)} = \frac{x^3 - 8x^2 + 17x - 10}{-4}, \\l_3(x) &= \frac{(x-x_0)(x-x_1)(x-x_2)}{(x_3-x_0)(x_3-x_1)(x_3-x_2)} = \frac{(x-1)(x-2)(x-3)}{(5-1)(5-2)(5-3)} = \frac{x^3 - 6x^2 + 11x - 6}{24}.\end{aligned}$$

(e) Polinomul de interpolare Lagrange este:

$$\begin{aligned}g(x) &= y_0l_0(x) + y_1l_1(x) + y_2l_2(x) = 3 \frac{x^3 - 10x^2 + 31x - 30}{-8} + 2 \frac{x^3 - 9x^2 + 23x - 15}{3} + \\ &+ 4 \frac{x^3 - 8x^2 + 17x - 10}{-4} + 1 \frac{x^3 - 6x^2 + 11x - 6}{24} = \frac{-16x^3 + 132x^2 - 308x + 264}{24} = \\ &= -\frac{2}{3}x^3 + \frac{11}{2}x^2 - \frac{77}{6}x + 11.\end{aligned}$$

(f) Tabelul de diferențe divizate este:

| x | y | ord.1 | ord.2 | ord.3 |
|-----------|-----------|------------------------------|-----------------------------------|--|
| $x_0 = 1$ | $y_0 = 3$ | | | |
| $x_1 = 2$ | $y_1 = 2$ | $f[x_0, x_1] = -1$ | | |
| $x_2 = 3$ | $y_2 = 4$ | $f[x_1, x_2] = 2$ | $f[x_0, x_1, x_2] = \frac{3}{2}$ | |
| $x_3 = 5$ | $y_3 = 1$ | $f[x_2, x_3] = -\frac{3}{2}$ | $f[x_1, x_2, x_3] = -\frac{7}{6}$ | $f[x_0, x_1, x_2, x_3] = -\frac{2}{3}$ |

Diferențele divizate de ordinele 1, 2 și 3 sunt:

$$f[x_0, x_1] = \frac{y_1 - y_0}{x_1 - x_0} = \frac{2 - 3}{2 - 1} = -1,$$

$$f[x_1, x_2] = \frac{y_2 - y_1}{x_2 - x_1} = \frac{4 - 2}{3 - 2} = 2,$$

$$f[x_2, x_3] = \frac{y_3 - y_2}{x_3 - x_2} = \frac{1 - 4}{5 - 3} = -\frac{3}{2},$$

$$f[x_0, x_1, x_2] = \frac{f[x_1, x_2] - f[x_0, x_1]}{x_2 - x_0} = \frac{2 - (-1)}{3 - 1} = \frac{3}{2},$$

$$f[x_1, x_2, x_3] = \frac{f[x_2, x_3] - f[x_1, x_2]}{x_3 - x_1} = \frac{-\frac{3}{2} - 2}{5 - 2} = -\frac{7}{6},$$

$$f[x_0, x_1, x_2, x_3] = \frac{f[x_1, x_2, x_3] - f[x_0, x_1, x_2]}{x_3 - x_0} = \frac{-\frac{7}{6} - \frac{3}{2}}{5 - 1} = -\frac{2}{3}.$$

(g) Polinomul de interpolare Newton este:

$$\begin{aligned} g(x) &= y_0 + f[x_0, x_1](x - x_0) + f[x_0, x_1, x_2](x - x_0)(x - x_1) + \\ &\quad + f[x_0, x_1, x_2, x_3](x - x_0)(x - x_1)(x - x_2), \\ g(x) &= 3 + (-1)(x - 1) + \frac{3}{2}(x - 1)(x - 2) + \left(-\frac{2}{3}\right)(x - 1)(x - 2)(x - 3) = \\ &= -\frac{2}{3}x^3 + \frac{11}{2}x^2 - \frac{77}{6}x + 11. \end{aligned}$$

(h) În punctul $x = 4$, polinomul de interpolare este:

$$g(4) = -\frac{2}{3}4^3 + \frac{11}{2}4^2 - \frac{77}{6}4 + 11 = 5.$$

6.8.2 Exemple propuse

1. Fie funcția $y = f(x)$ definită tabelar:

| | | | |
|---|---|---|---|
| x | 2 | 4 | 5 |
| y | 1 | 3 | 2 |

Se cer:

- Cât este gradul polinomului de interpolare globală?
- Care sunt condițiile de interpolare?
- Care este sistemul de ecuații asamblat în metoda clasică de interpolare?
- Care sunt polinoamele Lagrange asociate diviziunii [2 4 5]?

- (e) Care este polinomul de interpolare Lagrange?
- (f) Care este tabelul de diferențe divizate?
- (g) Care este polinomul de interpolare Newton?
- (h) Care este valoarea funcției în punctul $x = 3$?

2. Fie funcția $y = f(x)$ definită tabelar:

| | | | |
|---|---|---|---|
| x | 1 | 3 | 5 |
| y | 4 | 1 | 3 |

Se cer:

- (a) Cât este gradul polinomului de interpolare globală?
- (b) Care sunt condițiile de interpolare?
- (c) Care este sistemul de ecuații asamblat în metoda clasică de interpolare?
- (d) Care sunt polinoamele Lagrange asociate diviziunii [1 3 5]?
- (e) Care este polinomul de interpolare Lagrange?
- (f) Care este tabelul de diferențe divizate?
- (g) Care este polinomul de interpolare Newton?
- (h) Care este valoarea funcției în punctul $x = 2$?
- (i) Care este polinomul de interpolare în ipoteza adăugării punctului (4, 5) în tabelul de valori?

3. Fie funcția $y = f(x)$ definită tabelar:

| | | | | |
|---|---|---|---|---|
| x | 1 | 3 | 4 | 5 |
| y | 2 | 3 | 1 | 4 |

Se cer:

- (a) Cât este gradul polinomului de interpolare globală?
- (b) Care sunt condițiile de interpolare?
- (c) Care este sistemul de ecuații asamblat în metoda clasică de interpolare?
- (d) Care sunt polinoamele Lagrange asociate diviziunii [1 3 4 5]?
- (e) Care este polinomul de interpolare Lagrange?
- (f) Care este tabelul de diferențe divizate?
- (g) Care este polinomul de interpolare Newton?
- (h) Care este valoarea funcției în punctul $x = 2$?

6.9 Întrebări și probleme

1. Evaluați stabilitatea numerică a metodei interpolării polinomiale.
2. Generați un algoritm de interpolare polinomială a unei funcții de două variabile $f(x, y)$.
3. Implementați într-un limbaj de nivel înalt algoritmul de interpolare Newton.
4. Determinați o aproximare polinomială pentru caracteristica unei diode semiconductoare $i(u) = I_s(e^{u/v_i} - 1)$, cu $I_s = 10^{-6}$ A, $v = 0,027$ V și analizați eroarea introdusă prin interpolare.
5. Determinați o aproximare polinomială pentru caracteristica de magnetizare $B = \mu_0 H + B_s \text{th}(\mu H/B_s)$, cu $\mu_0 = 4\pi \cdot 10^{-7}$ H/m, $B_s = 1.7$ T, $\mu = 10^4 \mu_0$ și analizați eroarea introdusă prin interpolare.
6. Analizați comportarea aproximării polinomiale în exteriorul domeniului $a \leq x \leq b$ (problema extrapolării).
7. Generați și implementați un algoritm de interpolare a unei funcții reale impare și periodice printr-un polinom trigonometric de forma

$$g(x) = \sum_{k=1}^n a_k \sin(k\omega t).$$

8. Documentați-vă în literatura de specialitate și pe internet ce înseamnă interpolarea polinomială pe porțiuni (de tip spline).
9. Rezolvați problemele 4 și 5 în mediul MATLAB/SCILAB.
10. Identificați în biblioteca matematică descrisă în [2] funcții avansate pentru interpolări și aproximări polinomiale, raționale și spline. Ce aduc nou aceste funcții față de cea analizată în lucrare?



Joseph-Louis Lagrange (1736, Sardinia-Piedmont, acum Italia - 1813, Franța)

<http://www-gap.dcs.st-and.ac.uk/history/Mathematicians/Lagrange.html>



Sir Isaac Newton (1643, Anglia - 1727, Anglia)

<http://www-gap.dcs.st-and.ac.uk/history/Mathematicians/Newton.html>



Carle David Tolme Runge (1856, Germania - 1927, Germania)

<http://www-gap.dcs.st-and.ac.uk/history/Mathematicians/Runge.html>

Lucrarea 7

Derivarea numerică a funcțiilor reale

7.1 Caracterizarea metodelor de derivare numerică

Metodele numerice de derivare au o largă aplicabilitate în inginerie, de exemplu atunci când expresia analitică a derivatei funcției este complicată și cere un efort mare de evaluare sau atunci când funcția are expresia necunoscută (valorile sunt determinate experimental sau rezultă dintr-un calcul numeric anterior). Aceste metode stau la baza rezolvării numerice a ecuațiilor diferențiale, foarte puține din acestea putând fi rezolvate prin metode analitice.

Derivarea numerică se reduce la calcule aritmetice (adunări, scăderi, înmulțiri și împărțiri), folosind formule relativ simple deduse prin aproximarea funcției de derivat printr-un polinom de interpolare. În acest fel, din punct de vedere teoretic, problema derivării numerice se reduce, practic, la problema interpolării funcțiilor.

În lucrare se studiază erorile de trunchiere și rotunjire și modul în care acestea depind de ordinul aproximării și pasul rețelei de interpolare.

7.2 Principiile metodelor

Problema derivării numerice se formulează diferit în următoarele două cazuri:

- funcția este definită prin cod (este cunoscută expresia ei analitică sau algoritmul de evaluare pentru orice punct din domeniul de definiție);
- funcția este definită prin date (este cunoscut tabelul valorilor funcției într-o rețea finită de puncte din domeniul de definiție, numite noduri).

Fie o rețea de discretizare:

$$\begin{aligned} x &: x_0, x_1, x_2, \dots, x_n \\ f &: f_0, f_1, f_2, \dots, f_n \end{aligned}$$

pe care sunt date valorile $f_k = f(x_k)$ ale unei funcții reale $f : [x_0, x_n] \rightarrow \mathbb{R}$.

Dacă se notează cu $g : [x_0, x_n] \rightarrow \mathbb{R}$ o funcție care interpolează datele anterioare (de exemplu, polinomul de interpolare de gradul n), atunci derivata funcției $f(x)$ în punctul x poate fi calculată aproximativ, evaluând $g'(x)$.

De exemplu, în cazul $n = 1$, polinomul de interpolare

$$g(x) = f_0 \frac{x - x_1}{x_0 - x_1} + f_1 \frac{x - x_0}{x_1 - x_0} \quad (7.1)$$

are derivata

$$g'(x) = \frac{f_1 - f_0}{x_1 - x_0} \quad (7.2)$$

iar în cazul $n = 2$:

$$\begin{aligned} g(x) &= f_0 \frac{(x - x_1)(x - x_2)}{(x_0 - x_1)(x_0 - x_2)} + f_1 \frac{(x - x_0)(x - x_2)}{(x_1 - x_0)(x_1 - x_2)} + f_2 \frac{(x - x_0)(x - x_1)}{(x_2 - x_0)(x_2 - x_1)} \\ g'(x) &= f_0 \frac{2x - (x_1 + x_2)}{(x_0 - x_1)(x_0 - x_2)} + f_1 \frac{2x - (x_0 + x_2)}{(x_1 - x_0)(x_1 - x_2)} + f_2 \frac{2x - (x_0 + x_1)}{(x_2 - x_0)(x_2 - x_1)} \end{aligned} \quad (7.3)$$

Calcululele pot fi continuate pentru grade superioare, prin folosirea polinomului Newton de interpolare.

În cazul *rețelei de noduri echidistante* cu pasul

$$h = x_{i+1} - x_i, \quad (7.4)$$

aceste relații capătă o formă mult mai simplă:

$$g'(x) = \frac{f_1 - f_0}{h}, \quad (7.5)$$

pentru ordinul $n = 1$ și

$$g'(x) = f_0 \frac{x - (x_0 + \frac{3h}{2})}{h^2} - 2f_1 \frac{x - (x_0 + h)}{h^2} + f_2 \frac{x - (x_0 + \frac{h}{2})}{h^2}, \quad (7.6)$$

pentru $n = 2$.

Polinomul de interpolare de grad doi devine, după derivare, o funcție de gradul întâi care, în cele trei noduri ale rețelei are valorile:

$$g'(x_0) = \frac{1}{2h}(-3f_0 + 4f_1 - f_2); \quad (7.7)$$

$$g'(x_1) = \frac{1}{2h}(f_2 - f_0); \quad (7.8)$$

$$g'(x_2) = \frac{1}{2h}(f_0 - 4f_1 + 3f_2). \quad (7.9)$$

Aceste trei relații reprezintă aproximări de ordinul doi ale primei derivate, cunoscute sub numele de relații cu diferențe finite *progresive*, *centrate* și respectiv *regresive*. Aproximările de ordin doi oferă erori de trunchiere mai mici decât aproximările progresive și regresive de ordinul întâi:

$$g'(x_0) = \frac{1}{h}(f_1 - f_0); \quad (7.10)$$

$$g'(x_1) = \frac{1}{h}(f_1 - f_0); \quad (7.11)$$

obținute folosind polinomul de gradul $n = 1$.

Se constată că pentru aproximarea derivatei într-un nod al rețelei de discretizare se folosesc valorile funcției în nodurile vecine. Cu cât ordinul aproximării este mai mare, cu atât sunt utilizate mai multe noduri din vecinătatea iar calculul este mai complicat.

Derivatele de ordin superior se pot evalua numeric prin aplicarea recursivă a formulelor de calcul pentru prima derivată. De exemplu, folosind succesiv relația (7.8) a diferențelor finite centrate de ordinul doi, pentru o discretizare locală cu pasul $h/2$ și cu notațiile: $f(x_i + h/2) = f_{i+1/2}$, $f(x_i - h/2) = f_{i-1/2}$, se obține:

$$f''(x_i) = \frac{f'_{i+1/2} - f'_{i-1/2}}{2(h/2)} = \frac{\frac{f_{i+1} - f_i}{2(h/2)} - \frac{f_i - f_{i-1}}{2(h/2)}}{h} = \frac{f_{i+1} - 2f_i + f_{i-1}}{h^2}, \quad (7.12)$$

rezultat care corespunde derivării directe a polinomului de interpolare $g(x)$, pentru aproximarea de ordinul doi. Acest rezultat are avantajul unei precizii maxime pentru rețeaua considerată și pentru trei evaluări a funcției f .

În cazul unei rețele *neuniforme* cu: $x_1 - x_0 = h_1$, $x_2 - x_1 = h_2$, rezultă:

$$g''(x) = f_0 \frac{2}{h_1(h_1 + h_2)} - f_1 \frac{2}{h_1 h_2} + f_2 \frac{2}{(h_1 + h_2)h_2}. \quad (7.13)$$

Formulele de derivare numerică obținute se pot aplica și în calculul derivatelor parțiale.

Rezultatele obținute pentru cazul funcțiilor definite tabelar se aplică și în cazul funcțiilor definite prin cod, cu observația că: $f_i = f(x_i)$ și $f_{i+1} = f(x_i + h)$, în care pasul h se alege astfel încât erorile numerice să fie cât mai mici.

7.3 Analiza algoritmilor

Analiza erorilor

Deoarece valoarea exactă a derivatei se obține printr-un proces infinit de trecere la limită:

$$f'(x) = \lim_{h \rightarrow 0} \frac{f(x+h) - f(x)}{h}, \quad (7.14)$$

evaluarea numerică este afectată de o *eroare de trunchiere*. Teoretic, eroarea de trunchiere este cu atât mai mică cu cât ordinul aproximării este mai mare. În realitate, din cauza fenomenului Runge (evidențiat la interpolarea polinomială), formulele de derivare de ordin superior sunt afectate, în anumite cazuri, de erori mari de trunchiere (mai ales la prelucrarea datelor experimentale). În acest caz se recomandă folosirea relațiilor de ordin mic, cea mai indicată fiind relația cu diferențe finite centrate de ordinul doi.

Erorile care apar prin folosirea formulelor de derivare numerică depind de doi factori:

- pasul de derivare h ;
- gradul polinomului de interpolare n .

Pasul de derivare are o valoare optimă, finită, pentru care eroarea este minimă.

Pentru $h > h_{\text{optim}}$, predomină *eroarea de trunchiere*, datorată trunchierii seriei Taylor. În general, eroarea de trunchiere are ordinul $O(h^n)$, deci scade cu micșorarea pasului h și creșterea gradului n .

Pentru $h < h_{\text{optim}}$, predomină *eroarea de rotunjire* cauzată de faptul că sistemul nu poate reține decât un număr limitat de zecimale. Această eroare crește pe măsura scăderii pasului h , datorită fenomenului de "anulare prin scădere".

Pentru evaluarea erorii de trunchiere se folosește dezvoltarea în serie Taylor:

$$f(x_1) = f(x_0) + \frac{h}{1!} f'(x_0) + \frac{h^2}{2!} f''(z), \quad (7.15)$$

de unde rezultă:

$$f'(x_0) = \frac{f_1 - f_0}{h} - \frac{h}{2} f''(z) = g'(x_0) + O(h), \quad (7.16)$$

deci o eroare de trunchiere $O(h)$ pentru relația cu diferențe finite de ordinul întâi.

Efort de calcul

Timpul de calcul crește cu creșterea ordinului n al aproximării, fiind necesare $n + 1$ evaluări ale funcției f pentru calculul primei derivate.

Derivatele de ordin superior se pot calcula numeric prin aplicarea recursivă a formulei de derivare de ordinul întâi, dar erorile sunt tot mai mari pentru derivatele de ordin superior, generând importante *instabilități numerice*.

7.4 Pseudocodul metodei

Metodele de derivare numerică se transpun ușor în orice limbaj de programare, datorită simplității formulelor de calcul.

Ca date de intrare pentru calculul derivatei funcției f sunt necesare doar:

- punctul x_0 (în care se calculează derivata);
- pasul de derivare h (distanța între două puncte ale rețelei de noduri).

Dacă funcția este dată tabelar, datele de intrare trebuie să fie completate cu:

- tabelul nodurilor rețelei și al valorilor funcției în aceste noduri.

În cazul *funcțiilor definite prin cod*, calculul primei derivate prin metoda diferențelor finite progresive de ordinul 1 se poate face utilizând pseudocodul următor (care determină automat valoarea optimă a pasului de derivare):

```

funcția derivare ( $x, h$ )           ; derivează funcția  $f$  în punctul  $x$ , cu pasul inițial  $h$ 
  real x
  real h
  nrit = 10                          ; numărul maxim de iterații pentru
                                      ; determinarea pasului optim
  err = 1e-20                         ; eroarea relativă de rotunjire
  f0 = f(x)                           ; valoarea funcției în punctul de derivare
  e = err(|f0|+err)                   ; eroarea absolută de rotunjire
  k = 0                                ; contor iterații
  repetă
    k = k+1
    f1 = f(x+h)
    f2 = f(x+2h)
    d2 = |f0-2f1+f2|/h2           ; modulul dublei derivate
    dacă d2 = 0 atunci
      h0 = h
    altfel
      h0 = sqrt(2e/d2)           ; pasul optim
      r = h/h0                   ; rata de modificare a pasului
      h = h0                       ; actualizează pasul la valoarea optimă
  până când ( $k > nrit$  sau ( $r < 2$  și  $r > 1/2$ ))
  df = (f(x+h)-f0)/h             ; derivata progresivă de ordinul 1
  întoarce df

```

Aplicând funcția **derivare** pentru valori negative ale parametrului h , valoarea întoarsă df va fi derivata regresivă de ordinul 1. Derivata centrată se poate calcula ca media aritmetică a valorilor regresivă și progresivă.

În cazul funcțiilor tabelare, calculul derivatei admite următoarea reprezentare în pseudocod:

```
procedura derivtab (n, x0, h, f, df); calculează tabelul de derivare a funcției f,  
                                     ; dat prin vectorii x și f, în n+1 puncte  
întreg n                               ; dimensiunea tabloului  
real x0                               ; nodul inițial  
real h                               ; pasul rețelei  
tablou real f(n)                       ; tabloul valorilor funcției  
tablou real df(n)                       ; tabloul valorilor derivatei (date de ieșire)  
df(0) = (-3f(0) + 4f(1) - f(2))/2h  
df(n) = (f(n-2) - 4f(n-1) + 3f(n))/2h  
pentru i = 1, n-1  
    df(i) = (f(i+1) - f(i-1))/2h  
retur
```

7.5 Chestiuni de studiat

1. Evaluarea numerică a primei derivate;
2. Analiza experimentală a erorii de derivare numerică;
3. Analiza derivării numerice de ordin superior;
4. Implementarea algoritmului;
5. Căutare de informații pe Internet.

7.6 Modul de lucru

Pentru desfășurarea lucrării selectați opțiunea *Derivarea numerică a funcțiilor reale* din meniul principal de lucrări. Aceasta are ca urmare lansarea următorului meniu:

- Program demonstrativ
- Analiza erorilor
- Derivare de ordin superior

7.6.1 Evaluarea numerică a primei derivate

Se selectează din meniul principal opțiunea *Program demonstrativ*. Acest program calculează derivatele unor funcții definite prin cod și pune în evidență ordinul de mărime a erorilor ce apar, dependența acestora de modul de interpolare (progresivă, regresivă și centrată), de pasul de derivare (valoare dată de utilizator și valoare optimă, determinată de program), de funcția de derivat și de punctul în care se calculează derivata.

Utilizatorul alege:

- funcția de derivat;
- punctul x_0 în care se calculează derivata;
- pasul de derivare h .

Funcția de derivat se poate alege din cele 6 funcții afișate:

- x^2
- \sqrt{x}
- e^x
- $\ln(x)$
- $\sin(x)$
- $\text{tg}(x)$

Programul afișează valoarea exactă a derivatei și valorile aproximative calculate prin diferite metode și erorile absolute (de rotunjire și de trunchiere).

Se vor comenta rezultatele obținute și se va studia eficiența algoritmului de optimizare a pasului.

7.6.2 Analiza experimentală a erorii de derivare numerică

Se selectează opțiunea *Analiza erorilor* din meniul principal.

Programul ilustrează dependența erorii de pasul de derivare folosit și evidențiază ponderile celor două tipuri de erori (de rotunjire și de trunchiere).

Se folosesc succesiv formulele diferențelor finite centrate de ordin 2, 4, respectiv 6, pentru calculul derivatei funcției sinus în punctul $\pi/4$. Se poate observa, astfel, și dependența

ordinului de mărime al erorilor de ordinul polinomului de interpolare. Graficele sunt afișate în scară dublu-logaritmică, pentru a se putea vizualiza în amănunt tot intervalul "activ" al variației erorilor.

După afișarea unui grafic, în consola Scilab se afișează eroarea minimă și pasul pentru care este obținută. Se va estima din grafic valoarea pasului optim și ordinul erorii de trunchiere în funcție de pasul de derivare.

Se vor analiza și comenta rezultatele obținute.

7.6.3 Analiza derivării numerice de ordin superior

Se selectează opțiunea *Derivare de ordin superior*. Programul calculează și reprezintă grafic derivatele succesive de ordin superior ale funcției exponențiale $\exp(x)$, definite pe intervalul $[Xmin, Xmax]$. Se afișează de fiecare dată și graficul exact al derivatei respective, care este tot $\exp(x)$.

Datele de intrare ale programului sunt:

- ordinul maxim al derivatei de reprezentat;
- X minim;
- X maxim;
- numărul de noduri.

Programul evaluează derivatele în punctele interioare ale rețelei cu metoda diferențelor finite centrate de ordinul 2, iar pentru punctele periferice folosește metoda diferențelor finite progresive respectiv regresive de ordinul 3.

Se recomandă analiza propagării erorilor la calculul până la ordinul 5, pe o rețea cu 100 de noduri ce discretizează intervalul $[0, 10]$, precum și intervalul $[0, 1]$. Se vor comenta comparativ rezultatele obținute.

7.6.4 Implementarea algoritmului

Se va scrie, în limbajul de programare C, o funcție care să permită calculul numeric al derivatei întâi, prin metoda diferențelor finite centrate pentru

$$f(x) = \frac{x^2}{\sin(x)} \ln(x).$$

Folosind această funcție, se va scrie apoi un program care să aibă ca date de intrare pasul de derivare și punctul în care se calculează derivata și care să afișeze valorile numerice ale derivatei.

7.6.5 Căutare de informații pe Internet

Căutați pe Internet informații și coduri legate de derivarea numerică a funcțiilor. Cuvinte cheie recomandate: *numerical derivative*.

7.7 Exemple

7.7.1 Exemple rezolvate

1. Fie funcția $y = f(x)$ definită tabelar:

| | | | | |
|---|---|---|---|---|
| x | 1 | 2 | 3 | 4 |
| y | 2 | 1 | 3 | 5 |

Să se determine derivata funcției în nodurile rețelei de discretizare utilizând diferențele finite astfel: formulele progresivă și regresivă de ordinul întâi pentru primul și respectiv ultimul nod, formula centrată de ordinul doi pentru nodurile interioare.

Rezolvare:

Rețeaua de discretizare este uniformă cu pasul $h = x_1 - x_0 = 2 - 1 = 1$.

Derivata progresivă (7.10) și derivata regresivă (7.11) de ordinul întâi în primul nod și respectiv ultimul nod sunt:

$$y'_0 = \frac{y_1 - y_0}{h} = \frac{1 - 2}{1} = -1,$$

$$y'_3 = \frac{y_3 - y_2}{h} = \frac{5 - 3}{1} = 2.$$

Derivatele centrate de ordinul doi (7.8) în nodurile interioare sunt:

$$y'_1 = \frac{y_2 - y_0}{2h} = \frac{3 - 2}{2} = \frac{1}{2},$$

$$y'_2 = \frac{y_3 - y_1}{2h} = \frac{5 - 1}{2} = 2.$$

2. Fie funcția $y = f(x)$ definită tabelar:

| | | | |
|---|---|---|----|
| x | 1 | 3 | 5 |
| y | 4 | 7 | 10 |

Să se determine derivata funcției în nodurile rețelei de discretizare utilizând diferențele finite astfel: formulele progresivă și regresivă de ordinul întâi pentru primul și respectiv ultimul nod, formula centrată de ordinul doi pentru nodul interior.

Rezolvare:

Rețeaua de discretizare este uniformă cu pasul $h = x_1 - x_0 = 3 - 1 = 2$.

Derivata progresivă (7.10) și derivata regresivă (7.11) de ordinul întâi în primul nod și respectiv ultimul nod sunt:

$$y'_0 = \frac{y_1 - y_0}{h} = \frac{7 - 4}{2} = \frac{3}{2},$$

$$y'_2 = \frac{y_2 - y_1}{h} = \frac{10 - 7}{2} = \frac{3}{2}.$$

Derivata centrată de ordinul doi (7.8) în nodul interior este:

$$y'_1 = \frac{y_2 - y_0}{2h} = \frac{10 - 4}{4} = \frac{3}{2}.$$

Cele trei derivate sunt egale deoarece punctele din tabel sunt plasate pe o dreaptă.

3. Fie funcția $y = f(x)$ definită tabelar:

| | | | | | |
|---|---|---|---|---|---|
| x | 1 | 3 | 5 | 7 | 9 |
| y | 3 | 1 | 2 | 4 | 1 |

Să se determine derivata funcției în nodurile rețelei de discretizare utilizând diferențele finite astfel: formulele progresivă și regresivă de ordinul doi pentru primul și respectiv ultimul nod, formula centrată de ordinul doi pentru nodurile interioare.

Rezolvare:

Rețeaua de discretizare este uniformă cu pasul $h = x_1 - x_0 = 3 - 1 = 2$.

Derivata progresivă (7.7) și derivata regresivă (7.9) de ordinul doi în primul nod și respectiv ultimul nod sunt:

$$y'_0 = \frac{-3y_0 + 4y_1 - y_2}{2h} = \frac{-9 + 4 - 2}{4} = -\frac{7}{4},$$

$$y'_4 = \frac{y_2 - 4y_3 + 3y_4}{2h} = \frac{2 - 16 + 3}{4} = -\frac{11}{4}.$$

Derivatele centrate de ordinul doi (7.8) în nodurile interioare sunt:

$$y'_1 = \frac{y_2 - y_0}{2h} = \frac{2 - 3}{4} = -\frac{1}{4},$$

$$y'_2 = \frac{y_3 - y_1}{2h} = \frac{4 - 1}{4} = \frac{3}{4},$$

$$y'_3 = \frac{y_4 - y_2}{2h} = \frac{1 - 2}{4} = -\frac{1}{4}.$$

4. Să se estimeze ordinul de mărime al pasului de derivare optim pentru evaluarea numerică a derivatei funcției $\sin x$ cu o formulă de derivare progresivă de ordinul 1.

Rezolvare:

Formula de calcul a pasului optim este:

$$h_{\text{optim}} = 2\sqrt{\frac{\varepsilon_0 M_0}{M_2}}.$$

În cazul funcției sinus, $M_0 = M_2 = 1$. Considerând $\varepsilon_0 = 10^{-16}$, rezultă un pas de derivare optim de ordinul $h_{\text{optim}} = 2 \cdot 10^{-8}$.

7.7.2 Exemple propuse

1. Fie funcția $y = f(x)$ definită tabelar:

| | | | | |
|---|---|---|---|---|
| x | 1 | 3 | 5 | 7 |
| y | 1 | 2 | 4 | 1 |

Să se determine derivata funcției în nodurile rețelei de discretizare utilizând diferențele finite astfel: formulele progresivă și regresivă de ordinul întâi pentru primul și respectiv ultimul nod, formula centrată de ordinul doi pentru nodurile interioare.

2. Fie funcția $y = f(x)$ definită tabelar:

| | | | | | |
|---|---|---|---|---|---|
| x | 1 | 2 | 3 | 4 | 5 |
| y | 1 | 4 | 2 | 3 | 5 |

Să se determine derivata funcției în nodurile rețelei de discretizare utilizând diferențele finite astfel: formulele progresivă și regresivă de ordinul doi pentru primul și respectiv ultimul nod, formula centrată de ordinul doi pentru nodurile interioare.

7.8 Probleme și întrebări

- Deduceți formulele aproximative ale derivatelor centrate până la ordinul 4.
- Determinați expresia Laplaceanului funcției $f(x, y)$, folosind diferențele finite centrate de ordinul 2. Calculați valoarea Laplaceanului în punctul $x = 1, y = 1$, pentru funcția:

$$f(x, y) = x^3 y^3$$

folosind formula obținută și evaluați eroarea.

3. Determinați expresiile aproximative centrate de ordinul 2 ale derivatelor întâi și a doua, în cazul în care pasul de derivare nu este constant. Se vor folosi notațiile:

$$\begin{aligned}x(i) - x(i - 1) &= h \\x(i + k) - x(i) &= kh\end{aligned}$$

în care se presupun cunoscute: $h, k, f(x(i - 1)), f(x(i)), f(x(i + k))$.

4. Deduceți ordinul de mărime al erorii maxime în cazul aproximării centrate, progresive și regresive de ordin n .
5. Evaluați ordinul erorii de rotunjire la metodele diferențelor finite de ordinul 1 și ordinul 2. Analizați dependența acestor erori de pasul h .
6. Argumentați algoritmul pentru determinarea pasului optim, folosit în funcția **derivare**, prezentată în pseudocod.
7. Generați un algoritm pentru determinarea pasului optim la diferențe centrate.
8. Generați un algoritm pentru derivarea funcțiilor definite tabelar pe rețele neuniforme.

Lucrarea 8

Integrarea numerică a funcțiilor reale

8.1 Caracterizarea metodelor de integrare numerică

Integrarea numerică se aplică funcțiilor care nu pot fi integrate analitic (sau ar necesita calcule complicate) sau în cazul funcțiilor date tabelar, de exemplu cele rezultate experimental.

În general, metodele de integrare numerică se bazează pe aproximarea funcției de integrat prin funcții mai simple, a căror integrală se poate evalua ușor. O metodă de aproximare frecvent utilizată în cadrul integralelor este *metoda interpolării polinomiale pe porțiuni*.

Spre deosebire de derivarea numerică, integrarea este o operație relativ stabilă numeric, dar mai lentă, din cauza numărului sporit de calcule care trebuie efectuate.

8.2 Principiul metodei

Se consideră funcția reală $f : [a, b] \rightarrow \mathbb{R}$, definită prin cod sau tabelar, într-o rețea de $n + 1$ noduri: x_0, x_1, \dots, x_n . Se formulează problema calculului integralei:

$$I = \int_a^b f(x) dx. \quad (8.1)$$

Metoda trapezelor

Este una dintre cele mai simple metode de integrare numerică, cu rezultate bune în aplicațiile ingineresti.

Pe o rețea de $n + 1$ noduri echidistante, pasul rețelei are valoarea

$$h = \frac{x_n - x_0}{n}. \quad (8.2)$$

Metoda se bazează pe aproximarea variației funcției de integrat între două noduri succesive ale rețelei printr-un polinom de gradul întâi (o dreaptă). Aceasta echivalează cu aproximarea ariei subîntinse de graficul funcției între două noduri succesive (i și $i + 1$), cu aria trapezului "sprijinit" de axa Ox, determinat de abscisele x_i, x_{i+1} și ordonatele $f(x_i)$ și $f(x_{i+1})$. Prin însumarea ariilor tuturor trapezelor de acest fel care se formează între punctele a și b , se obține valoarea aproximativă a integralei definite a lui f , între aceste puncte.

Aria unui trapez este

$$I_i = \frac{h(f(x_i) + f(x_{i+1}))}{2}. \quad (8.3)$$

Rezultă, prin însumare pentru $i = 0, \dots, n - 1$, formula de integrare prin metoda trapezelor:

$$I = \int_a^b f(x) dx \approx \frac{h}{2}(f(x_0) + 2f(x_1) + \dots + 2f(x_{n-1}) + f(x_n)). \quad (8.4)$$

Metoda Simpson 1/3

Se aproximează variația funcției de integrat între trei noduri succesive ($i - 1, i, i + 1$), printr-un polinom de interpolare de gradul doi: $P(x) = a_0 + a_1x + a_2x^2$ (o parabolă).

Presupunând aceeași rețea de $n + 1$ noduri echidistante, dar cu n par, și considerând originea în punctul x_i , se poate scrie:

$$\begin{aligned} f(x_{i-1}) &= P(-h) = a_0 - a_1h + a_2h^2, \\ f(x_i) &= P(0) = a_0, \\ f(x_{i+1}) &= P(h) = a_0 + a_1h + a_2h^2. \end{aligned} \quad (8.5)$$

Așadar, se aproximează aria subîntinsă de funcția de integrat între punctele x_{i-1} și x_{i+1} cu aria subîntinsă de parabola P dintre punctele $-h$ și h :

$$I_i = \int_{-h}^h P(x) dx = \int_{-h}^h (a_0 + a_1x + a_2x^2) dx = 2ha_0 + 2\frac{h^3}{3}a_2. \quad (8.6)$$

Din condițiile de interpolare se calculează:

$$a_0 = f(x_i); \quad (8.7)$$

$$a_2 = \frac{f(x_{i-1}) - 2f(x_i) + f(x_{i+1}))}{2h^2} \quad (8.8)$$

necesare în evaluarea integralei

$$I_i = \frac{h(f(x_{i-1}) + 4f(x_i) + f(x_{i+1}))}{3}. \quad (8.9)$$

Însumând toate ariile I_i , pentru $i = 1, 3, 5, \dots, n-1$, rezultă

$$I = \int_a^b f(x) dx \approx \frac{h}{3}(f(x_0) + 4f(x_1) + 2f(x_2) + 4f(x_3) + \dots + f(x_n)), \quad (8.10)$$

cunoscută sub numele de *Formula lui Simpson 1/3*.

Integrarea Romberg

Valoarea numerică a integralei depinde de pasul de integrare h , eroarea de trunchiere scăzând cu micșorarea pasului h . Se notează cu I_0 valoarea exactă a integralei și cu $I = I(h)$ valoarea ei numerică. Deoarece funcția $I(h)$ este pară (trapezele obținute pornind din a cu pasul h sunt aceleași cu cele obținute pornind din b cu pasul $-h$), prin dezvoltarea ei în serie Taylor în jurul lui 0 se obține, în cazul metodei trapezelor:

$$I = I_0 + a_0 h^2 + a_1 h^4 + a_2 h^6 + \dots \quad (8.11)$$

Reținând din această serie numai doi termeni, se obțin pentru două valori diferite h_1 și h_2 ale pasului de integrare:

$$\begin{aligned} I_1 &= I_0 + a_0 h_1^2; \\ I_2 &= I_0 + a_0 h_2^2. \end{aligned}$$

Din cele două ecuații rezultă următoarea aproximare pentru valoarea exactă a integralei:

$$I_0 = \frac{h_2^2 I_1 - h_1^2 I_2}{h_2^2 - h_1^2}, \quad (8.12)$$

cunoscută sub numele de *formula de integrare Romberg*.

Reducând succesiv valoarea lui h : $h_1 > h_2 > h_3 > \dots > h_k \dots$, se obțin valorile integralei numerice:

$$I_{0k} = \frac{h_{k+1}^2 I_k - h_k^2 I_{k+1}}{h_{k+1}^2 - h_k^2}, \quad k = 1, 2, \dots, \quad (8.13)$$

care au precizie din ce în ce mai bună.

Formula lui Romberg se simplifică, dacă la fiecare iterație se înjumătățește pasul de integrare ($h_{k+1} = h_k/2$):

$$I_{0k} = \frac{4I_{k+1} - I_k}{3}. \quad (8.14)$$

Valorile numerice ale integralelor $I_{01}, I_{02}, I_{03}, \dots$, calculate pe rețele tot mai fine, pot fi folosite pentru calculul unei valori numerice de precizie ridicată, prin aplicarea recursivă a formulei Romberg:

- Nr. intervale: n 2n 4n ...
- Met. trapezelor: I_{01} I_{02} I_{03} ...

- Romberg ord. 1: $I_{11} = \frac{4I_{02}-I_{01}}{3}$ $I_{12} = \frac{4I_{03}-I_{02}}{3} \dots$
- Romberg ord. 2: $I_{21} = \frac{16I_{12}-I_{11}}{15} \dots$

În general, formula lui Romberg de ordinul k pentru înjumătățirea pasului este

$$I_{mk} = \frac{4^m I_{m-1,k+1} - I_{m-1,k}}{4^m - 1}, \quad (8.15)$$

cu $k = 1, 2, \dots$ și $m = 1, 2, \dots$. Iterațiile se pot opri pentru acel ordin m , la care eroarea relativă

$$\left| \frac{I_{mk} - I_{m-1,k}}{I_{mk}} \right|$$

este mai mică decât o valoare impusă.

8.3 Pseudocodul algoritmilor

În cazul funcțiilor definite prin cod, **metoda trapezelor** are următorul pseudocod:

```

funcția trapez ( $a, b, n$ )                                ; calculează integrala definită a
                                                            ; funcției  $f$  în intervalul  $[a, b]$ ,
                                                            ; discretizat în  $n$  subintervale
                                                            ; egale

    real  $a, b$ 
    întreg  $n$ 
     $h = (b - a)/n$ 
    rezultat = 0
    pentru  $k = 1, n - 1$ 
        rezultat = rezultat +  $f(a + kh)$ 
    rezultat =  $(2 \cdot \text{rezultat} + f(a) + f(b)) * h/2$ 
întoarce rezultat
  
```

Pseudocodul **metodei Simpson**, pentru funcțiile definite tabelar, are forma:

```

citește  $a, b$                                             ; limitele de integrare
citește  $n$                                               ; trebuie să fie par
pentru  $k = 0, n$                                         ; valorile funcției în nodurile rețelei
    citește  $y_k$ 
     $h = (b - a)/n$ 
    rezultat = 0
  
```

```

pentru  $k = 1, n - 1, 2$ 
    rezultat = rezultat +  $y_{k-1} + 4y_k + y_{k+1}$ 
rezultat = rezultat  $\cdot h/3$ 
scrie rezultat

```

Pseudocodul **metodei Romberg** este:

```

citește  $a, b$ 
citește  $n$  ; numărul inițial al subintervalelor de integrare
citește eps ; diferența maximă dintre rezultatele
; iterațiilor succesive

rezultat_nou = trapez ( $a, b, n$ )
repetă
    rezultat_vechi = rezultat_nou
     $n = 2n$ 
    rezultat_nou = trapez ( $a, b, n$ )
    rezultat =  $(4 \cdot \text{rezultat\_nou} - \text{rezultat\_vechi})/3$ 
pană când  $(|\text{rezultat} - \text{rezultat\_vechi}|) < \text{eps}$ 
scrie rezultat

```

8.4 Analiza algoritmilor

Analiza erorilor

În cazul integrării numerice, se pot defini două tipuri de erori:

- *eroarea locală*, care apare prin aproximarea ariei subîntinse pe un interval elementar (de lungime h , respectiv $2h$) cu aria elementară specifică metodei: aria trapezului (la metoda trapezelor), respectiv aria subîntinsă de parabolă (la metoda Simpson).
- *eroarea globală*, care apare prin aproximarea integralei cu suma ariilor elementare.

La metoda trapezelor, eroarea locală are ordinul $O(h^3)$, iar în cazul metodei Simpson ea are ordinul $O(h^5)$. Eroarea globală este mai mare decât eroarea locală, având ordinul $O(h^2)$ respectiv $O(h^4)$.

Efort de calcul

Timpul de calcul depinde de numărul de noduri din rețeaua de discretizare, având ordinul liniar $O(n)$, atât în cazul metodei trapezelor cât și în cazul metodei Simpson.

Metoda trapezelor e mai flexibilă, deoarece folosește o rețea cu număr oarecare de noduri, spre deosebire de metoda Simpson, care necesită un număr *impar* de noduri. Aceasta din urmă este însă mai precisă.

Metoda Romberg este cea mai exactă, dar și cea mai lentă, necesitând un număr relativ mic de iterații, însă la fiecare iterație rețeaua de noduri se îndesește de două ori.

8.5 Chestiuni de studiat

1. Calculul numeric al integralei definite, pentru câteva funcții elementare;
2. Analiza experimentală a erorii la integrarea numerică;
3. Implementarea algoritmului;
4. Căutarea de informații pe Internet.

8.6 Modul de lucru

Pentru desfășurarea lucrării se selectează lucrarea *Integrarea numerică a funcțiilor reale* din meniul general de lucrări.

Aceasta are ca efect afișarea meniului:

1. Program demonstrativ
2. Analiza erorilor

8.6.1 Calculul integralei unor funcții elementare

În urma selectării opțiunii *Program demonstrativ*, se poate alege una din funcțiile:

- x^2
- \sqrt{x}
- e^x
- $\ln(x)$
- $\sin(x)$
- $\operatorname{tg}(x)$

După alegerea unei funcții, utilizatorul trebuie să introducă:

- limitele inferioară și superioară ale intervalului de integrare;
- numărul subintervalelor în care se împarte intervalul de integrare.

După efectuarea calculelor, se trasează graficul funcției pe domeniul de integrare, punându-se în evidență trapezele corespunzătoare acestui domeniu.

În consola Scilab se afișează rezultatele:

- valoarea exactă a integralei definite;
- valoarea aproximativă și modulul erorii absolute.

Se vor comenta rezultatele obținute.

8.6.2 Analiza erorii la integrarea numerică

Se selectează *Analiza erorilor* din meniul principal al lucrării. Programul ilustrează grafic dependența modulului erorilor absolute de pasul de integrare h . Se folosesc, pe rând, metodele:

- trapezelor
- Simpson
- Romberg cu 2 iterații
- Romberg cu 3 iterații

pentru calculul integralei funcției sinus între punctele 0 și π .

Se vor analiza și comenta rezultatele obținute. Se va estima ordinul erorii de trunchiere pentru toate cele patru cazuri.

8.6.3 Implementarea algoritmului

Se va scrie în limbajul de programare C, un program care să permita calculul integralei definite a funcției $f(x) = x^2 \sin(x)$, folosind metoda Simpson 1/3. Datele de intrare ale programului vor fi cele două limite de integrare.

8.6.4 Căutare de informații pe Internet

Se vor căuta pe Internet informații (coduri) legate de integrarea numerică a funcțiilor. Cuvinte cheie recomandate: *Numerical Integration*, *Numerical Quadrature*, *Gauss Quadrature*.

8.7 Exemple

8.7.1 Exemple rezolvate

1. Fie funcția $f : [1, 5] \rightarrow \mathbb{R}$, $y = f(x)$, definită tabelar:

| | | | | |
|---|---|---|---|---|
| x | 1 | 2 | 4 | 5 |
| y | 2 | 1 | 3 | 5 |

Se cer:

- Reprezentați grafic interpolarea liniară pe porțiuni a acestor date.
- Câte trapeze se consideră în urma aplicării metodei trapezelor pentru determinarea integralei funcției $f(x)$ pe intervalul $[1, 5]$? Indicați grafic aceste trapeze pe figura de la punctul precedent.
- Rețeaua de discretizare a domeniului de definiție a funcției $f(x)$ este neuniformă?
- Să se determine integrala $I = \int_1^5 f(x) dx$ prin metoda trapezelor.
- Se poate aplica metoda Simpson 1/3? Dacă răspunsul este afirmativ, să se determine $I = \int_1^5 f(x) dx$ prin această metodă.

Rezolvare:

- În figura 9 este reprezentată grafic interpolarea liniară pe porțiuni a funcției $y = f(x)$.
- Funcția $f(x)$ este cunoscută în 4 puncte (3 segmente). Astfel, numărul de trapeze considerat este 3. Cele trei trapeze sunt hașurate diferit în figura 9.
- O rețea de discretizare x_k , $k = 0, n$ este uniformă dacă pasul de discretizare corespunzător unui segment, $h_k = x_k - x_{k-1}$, $k = 1, n$, este constant, indiferent de segmentul k considerat. În cazul acestui exemplu, avem:

$$h_1 = x_1 - x_0 = 2 - 1 = 1,$$

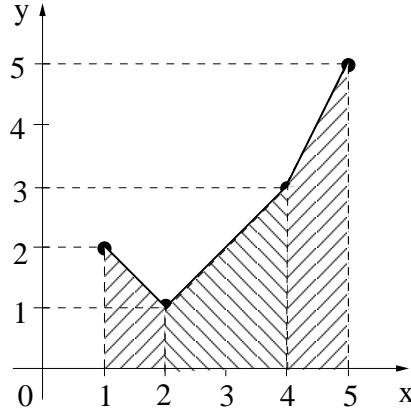


Fig. 9. Interpolarea liniară pe porțiuni a funcției f

$$h_2 = x_2 - x_1 = 4 - 2 = 2,$$

$$h_3 = x_3 - x_2 = 5 - 4 = 1.$$

Deoarece pasul nu este constant pe întreg domeniul de definiție, rețeaua de discretizare este neuniformă.

(d) Aria primului trapez (8.3) este:

$$I_0 = \frac{y_0 + y_1}{2}(x_1 - x_0) = \frac{2 + 1}{2}(2 - 1) = \frac{3}{2}.$$

În mod similar se determină ariile celorlalte două trapeze:

$$I_1 = \frac{y_1 + y_2}{2}(x_2 - x_1) = \frac{1 + 3}{2}(4 - 2) = 4,$$

$$I_2 = \frac{y_2 + y_3}{2}(x_3 - x_2) = \frac{3 + 5}{2}(5 - 4) = 4.$$

Integrala prin metoda trapezelor se obține prin însumarea ariilor trapezelor:

$$I = \int_1^5 f(x) dx = I_0 + I_1 + I_2 = \frac{3}{2} + 4 + 4 = \frac{19}{2}.$$

(e) Metoda Simpson 1/3 se poate aplica numai când numărul de noduri este impar. Pentru cazul dat, numărul de noduri este 4, și în consecință, metoda Simpson 1/3 nu se poate aplica.

2. Fie funcția $f : [1, 5] \rightarrow \mathbb{R}$, $y = f(x)$, definită tabelar:

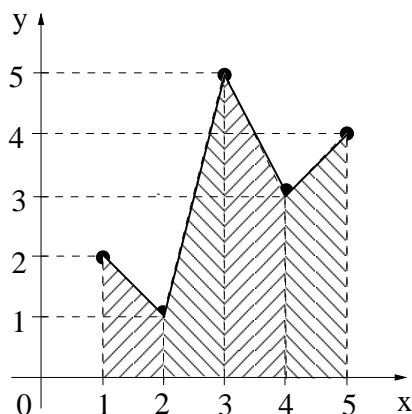


Fig. 10. Interpolarea liniară pe porțiuni a funcției f

| | | | | | |
|---|---|---|---|---|---|
| x | 1 | 2 | 3 | 4 | 5 |
| y | 2 | 1 | 5 | 3 | 4 |

Se cer:

- Reprezentați grafic interpolarea liniară pe porțiuni a acestor date.
- Câte trapeze se consideră în urma aplicării metodei trapezelor pentru determinarea integralei funcției $f(x)$ pe intervalul $[1, 5]$? Indicați grafic aceste trapeze pe figura de la punctul precedent.
- Rețeaua de discretizare a domeniului de definiție a funcției $f(x)$ este neuniformă?
- Să se determine integrala $I = \int_1^5 f(x) dx$ prin metoda trapezelor.
- Se poate aplica metoda Simpson 1/3? Dacă răspunsul este afirmativ, să se determine $I = \int_1^5 f(x) dx$ prin această metodă.

Rezolvare:

- În figura 10 este reprezentată grafic interpolarea liniară pe porțiuni a funcției $y = f(x)$.
- Deoarece gridul de discretizare al domeniului de definiție conține 5 puncte, determinând o împărțire în 4 segmente, numărul de trapeze considerat este 4. Trapezele sunt hașurate diferit în figura 10.

- (c) Se observă că pasul de discretizare corespunzător fiecărui segment este constant pe întreg domeniul de definiție, $h = 1$. Din acest motiv, rețeaua este uniformă.
- (d) Deoarece pasul este constant, se poate aplica direct formula simplificată pentru rețea uniformă a metodei trapezelor (8.4):

$$I = \int_1^5 f(x) dx = \frac{h}{2}(y_0 + 2y_1 + 2y_2 + 2y_3 + y_4) = \frac{1}{2}(2 + 2 \cdot 1 + 2 \cdot 5 + 2 \cdot 3 + 4) = 12.$$

Alternativ, se pot însuma cele 4 arii ale trapezelor pentru determinarea integralei numerice.

- (e) Metoda Simpson 1/3 se poate aplica deoarece numărul de noduri este impar (5).

Deoarece rețeaua de discretizare este uniformă, se aplică formula (8.10):

$$I = \int_1^5 f(x) dx = \frac{h}{3}(y_0 + 4y_1 + 2y_2 + 4y_3 + y_4) = \frac{1}{3}(2 + 4 \cdot 1 + 2 \cdot 5 + 4 \cdot 3 + 4) = \frac{32}{3}.$$

3. Fie funcția $f : [1, 11] \rightarrow \mathbb{R}$, $y = f(x)$, definită tabelar:

| | | | | | | | |
|---|---|---|---|---|---|---|----|
| x | 1 | 3 | 5 | 6 | 7 | 9 | 11 |
| y | 2 | 3 | 4 | 1 | 5 | 2 | 3 |

Se cer:

- (a) Câte trapeze se consideră în urma aplicării metodei trapezelor pentru determinarea integralei funcției $f(x)$ pe intervalul $[1, 11]$?
- (b) Rețeaua de discretizare a domeniului de definiție a funcției $f(x)$ este neuniformă?
- (c) Să se determine integrala $I = \int_1^11 f(x) dx$ prin metoda trapezelor.
- (d) Se poate aplica metoda Simpson 1/3? Dacă răspunsul este afirmativ, să se determine $I = \int_1^11 f(x) dx$ prin această metodă

Rezolvare:

- (a) Funcția $f(x)$ este cunoscută în 7 puncte. Acestea determină 6 segmente, care discretizează domeniul de definiție $[1, 11]$. Numărul de trapeze considerat este 6, egal cu numărul de segmente.

(b) Se observă că pasul de discretizare nu este constant pe fiecare segment:

$$h_1 = x_1 - x_0 = 3 - 1 = 2, \quad h_3 = x_3 - x_2 = 6 - 5 = 1.$$

Astfel, rețeaua de discretizare este neuniformă.

(c) Integrala prin metoda trapezelor, pentru o rețea neuniformă, se determină prin însumarea ariilor trapezelor:

$$\begin{aligned} I &= \int_1^{11} f(x) dx = \frac{y_0 + y_1}{2}(x_1 - x_0) + \frac{y_1 + y_2}{2}(x_2 - x_1) + \frac{y_2 + y_3}{2}(x_3 - x_2) + \\ &+ \frac{y_3 + y_4}{2}(x_4 - x_3) + \frac{y_4 + y_5}{2}(x_5 - x_4) + \frac{y_5 + y_6}{2}(x_6 - x_5) = \\ &= \frac{2 + 3}{2}(3 - 1) + \frac{3 + 4}{2}(5 - 3) + \frac{4 + 1}{2}(6 - 5) + \frac{1 + 5}{2}(7 - 6) + \\ &+ \frac{5 + 2}{2}(9 - 7) + \frac{2 + 3}{2}(11 - 9) = 5 + 7 + \frac{5}{2} + 3 + 7 + 5 = \frac{59}{2}. \end{aligned}$$

(d) Metoda Simpson 1/3 se poate aplica deoarece numărul de noduri este impar (7).

Rețeaua este neuniformă, astfel integrala prin metoda Simpson 1/3 se determină prin însumarea ariilor suprafețelor subîntinse de parabolele care trec prin trei noduri consecutive (8.9). În total, sunt trei parabole: $[x_0, x_1, x_2]$ (pasul este 2), $[x_2, x_3, x_4]$ (pasul este 1), $[x_4, x_5, x_6]$ (pasul este 2).

$$I_1 = \frac{h_1}{3}(y_0 + 4y_1 + y_2) = \frac{2}{3}(2 + 4 \cdot 3 + 4) = 12,$$

$$I_3 = \frac{h_3}{3}(y_2 + 4y_3 + y_4) = \frac{1}{3}(4 + 4 \cdot 1 + 5) = \frac{13}{3},$$

$$I_5 = \frac{h_5}{3}(y_4 + 4y_5 + y_6) = \frac{2}{3}(5 + 4 \cdot 2 + 3) = \frac{32}{3}.$$

$$I = \int_1^{11} f(x) dx = I_1 + I_3 + I_5 = 12 + \frac{13}{3} + \frac{32}{3} = 27.$$

8.7.2 Exemple propuse

1. Fie funcția $f : [1, 6] \rightarrow \mathbb{R}$, $y = f(x)$, definită tabelar:

| | | | | |
|---|---|---|---|---|
| x | 1 | 2 | 4 | 6 |
| y | 1 | 3 | 2 | 4 |

Se cer:

- (a) Reprezentați grafic interpolarea liniară pe porțiuni a acestor date.
- (b) Câte trapeze se consideră în urma aplicării metodei trapezelor pentru determinarea integralei funcției $f(x)$ pe intervalul $[1, 6]$? Indicați grafic aceste trapeze pe figura de la punctul precedent.
- (c) Rețeaua de discretizare a domeniului de definiție a funcției $f(x)$ este neuniformă?
- (d) Să se determine integrala $I = \int_1^6 f(x) dx$ prin metoda trapezelor.
- (e) Se poate aplica metoda Simpson 1/3? Dacă răspunsul este afirmativ, să se determine $I = \int_1^6 f(x) dx$ prin această metodă.

2. Fie funcția $f : [1, 13] \rightarrow \mathbb{R}$, $y = f(x)$, definită tabelar:

| | | | | | | | |
|---|---|---|---|---|---|----|----|
| x | 1 | 3 | 5 | 7 | 9 | 11 | 13 |
| y | 1 | 4 | 2 | 3 | 1 | 2 | 5 |

Se cer:

- (a) Reprezentați grafic interpolarea liniară pe porțiuni a acestor date.
- (b) Câte trapeze se consideră în urma aplicării metodei trapezelor pentru determinarea integralei funcției $f(x)$ pe intervalul $[1, 13]$? Indicați grafic aceste trapeze pe figura de la punctul precedent.
- (c) Rețeaua de discretizare a domeniului de definiție a funcției $f(x)$ este neuniformă?
- (d) Să se determine integrala $I = \int_1^{13} f(x) dx$ prin metoda trapezelor.
- (e) Se poate aplica metoda Simpson 1/3? Dacă răspunsul este afirmativ, să se determine $I = \int_1^{13} f(x) dx$ prin această metodă.

3. Fie funcția $f : [1, 7] \rightarrow \mathbb{R}$, $y = f(x)$, definită tabelar:

| | | | | | |
|---|---|---|---|---|---|
| x | 1 | 2 | 3 | 5 | 7 |
| y | 3 | 1 | 2 | 3 | 4 |

Se cer:

- (a) Reprezentați grafic interpolarea liniară pe porțiuni a acestor date.
- (b) Câte trapeze se consideră în urma aplicării metodei trapezelor pentru determinarea integralei funcției $f(x)$ pe intervalul $[1, 7]$? Indicați grafic aceste trapeze pe figura de la punctul precedent.

- (c) Rețeaua de discretizare a domeniului de definiție a funcției $f(x)$ este neuniformă?
- (d) Să se determine integrala $I = \int_1^7 f(x) dx$ prin metoda trapezelor.
- (e) Se poate aplica metoda Simpson 1/3? Dacă răspunsul este afirmativ, să se determine $I = \int_1^7 f(x) dx$ prin această metodă.

8.8 Probleme și întrebări

1. Generați algoritmul *metodei dreptunghiurilor*, bazat pe aproximarea funcției de integrat printr-o funcție "scară". Comparați precizia acestei metode cu metoda trapezelor. Analizați cazul unei funcții la care derivata a doua își păstrează semnul pe intervalul de integrare.
2. Generați algoritmul metodei trapezelor pentru o funcție definită tabelar, pe o rețea cu pas variabil. Aplicați algoritmul pentru datele de mai jos:

| | | | |
|---|---|----|----|
| x | 1 | 7 | 9 |
| y | 5 | 13 | 15 |

3. Demonstrați expresia ordinului erorii locale la metoda trapezelor.
4. Calculați integrala următoare, folosind metoda trapezelor și $h_x = h_y = 1$:

$$I = \int_0^3 \int_0^2 xy \, dx \, dy.$$

Comparați cu rezultatul exact.

5. Obțineți formula Simpson 3/8, folosind un polinom de interpolare de ordinul 3. Ce restricție trebuie să îndeplinească numărul de subintervale al rețelei de discretizare?
6. Generați un algoritm de integrare numerică, bazat pe interpolarea "spline" a funcției de integrat.
7. Generați un algoritm de integrare numerică, bazat pe pseudocodul metodei Simpson, dedicat funcțiilor definite prin cod. Modificați acest algoritm astfel încât să fie efectuat un număr minim de evaluări.
8. Generați un algoritm pentru calculul integralei duble: $\int \int f(x, y) \, dx \, dy$ pe un dreptunghi discretizat cu o rețea cu doi pași constanți h_x și respectiv h_y .

9. Generați un algoritm (metoda de integrare Gauss), bazat pe aproximarea

$$\int_{-1}^1 f(x) dx = \omega_0 f(x_0) + \omega_1 f(x_1) + \omega_2 f(x_2).$$

Alegeți ponderile ω_0 , ω_1 , ω_2 și nodurile x_0 , x_1 , x_2 în mod optim, astfel încât eroarea să fie minimă. Demonstrați că pentru: $x_1 = 0$, $x_2 = -x_0 = 3/5$ și $\omega_1 = 8/9$, $\omega_0 = \omega_2 = 5/9$ formula anterioară este exactă dacă $f(x)$ este un polinom de gradul 5.

10. Generați un algoritm de integrare numerică prin metoda trapezelor, la care rețeaua de noduri este adaptată funcției. Pornind de la o rețea cu pas constant se vor îmbunătăți succesiv acele subintervale pentru care eroarea locală de trunchiere

$$e = \frac{h^2}{12} \frac{\partial^2 f(z)}{\partial z^2}, \quad (8.16)$$

cu z în subinterval, este maximă. Procesul de rafinare a rețelei va continua până când eroarea totală de trunchiere scade sub o limită impusă.

11. Calculați numeric integrala definită a unor funcții date prin expresiile lor analitice în mediul MATLAB/SCILAB.
12. Identificați în biblioteca matematică descrisă în [2] funcții avansate pentru integrarea numerică. Ce aduc nou aceste funcții față de cele analizate în lucrare?



Thomas Simpson (1710, Anglia - 1761, Anglia)

<http://www-gap.dcs.st-and.ac.uk/history/Mathematicians/Simpson.html>



Lewis Fry Richardson (1881, Anglia - 1953, Scoția)

<http://www-gap.dcs.st-and.ac.uk/history/Mathematicians/Richardson.html>

Lucrarea 9

Rezolvarea numerică prin metode iterative a ecuațiilor neliniare

9.1 Caracterizarea lucrării

Rezolvarea numerică a unei ecuații algebrice neliniare sau transcendente $f(x) = 0$ constă în construirea unui șir $x_0, x_1, x_2, \dots, x_k, \dots$ convergent către soluția x a ecuației considerate. Se adoptă drept soluție numerică un termen x_k al șirului suficient de apropiat de limita x .

Modul în care este generat șirul determină calitățile metodei (viteza de convergență, eroare numerică, efort de calcul, etc.). De obicei șirul este definit recurent, iar procesul iterativ se oprește atunci când distanța dintre doi termeni succesivi devine suficient de mică sau $|f(x)|$ este neglijabil.

9.2 Principiul lucrării

Se consideră o ecuație neliniară:

$$f(x) = 0, \tag{9.1}$$

în care f este o funcție continuă definită pe intervalul $[a, b]$ cu valori în \mathbb{R} , iar x este soluția exactă a ecuației (presupunând că există un x astfel încât $a < x < b$ și acesta este unic).

Pentru determinarea numerică a soluției x se construiește un șir $x_0, x_1, \dots, x_k, \dots$ convergent către soluția exactă x a ecuației. Termenul x_k al șirului se determină în mod recurent:

$$x_k = g(x_{k-1}), \tag{9.2}$$

în funcție de termenul precedent. Iterațiile se opresc atunci când distanța dintre doi termeni succesivi $|x_k - x_{k-1}|$ este mai mică decât o valoare impusă ε . Se presupune că valoarea x_k astfel obținută este o aproximare suficient de bună a soluției exacte și se adoptă ca soluție numerică. În consecință, metoda iterativă este caracterizată prin *funcția de iterație* g , care trebuie aleasă astfel încât punctul ei fix $x = g(x)$ să coincidă cu soluția ecuației $f(x) = 0$.

Metoda biseției

Una din cele mai simple metode iterative pentru rezolvarea unei ecuații neliniare, dar care nu se bazează pe construcția unei funcții de iterație, este metoda biseției, care se bazează pe observația că $f(x)$ are semne diferite la capetele intervalului $[a, b]$, în interiorul căruia se determină soluția, deci $f(a)f(b) < 0$. Considerând $x_m = (a + b)/2$, se va înjumătăți intervalul $[a, b]$ și se va selecta din cele două subintervale acela care conține soluția. Pentru aceasta se determină semnul valorii $f(x_m)$ și se modifică $a = x_m$ sau $b = x_m$ în funcție de acest semn, astfel încât $f(a)f(b) < 0$. Șirul valorilor succesive ale lui x_m este convergent către soluția exactă x . Procedura iterativă de înjumătățire se oprește atunci când lungimea intervalului $|b - a|$ devine mai mică decât eroarea impusă soluției.

Metoda iterației simple

O altă variantă a metodei iterative este cunoscută sub numele de metoda iterației simple. Ea constă în transformarea ecuației $f(x) = 0$ într-o ecuație de forma $x = g(x)$, de exemplu, prin artificul $x = x + cf(x)$, în care $g(x) = x + cf(x)$. Aparent, valoarea constantei c cu care se multiplică ecuația $f(x) = 0$ nu este importantă, totuși se va constata că ea influențează puternic convergența șirului de iterații.

În consecință, în metoda iterației simple, șirul soluțiilor numerice este generat de relația:

$$x_k = x_{k-1} + cf(x_{k-1}) \quad (9.3)$$

în care $k = 1, 2, \dots, n$.

Se pornește de la o inițializare arbitrară $x_0 \in [a, b]$ și se calculează succesiv x_1, x_2, \dots, x_n până când $|x_n - x_{n-1}| < \text{eps}$. O condiție suficientă pentru convergența șirului (16.2) este ca g să fie o contracție, respectiv:

$$|g(x_1) - g(x_2)| \leq L|x_1 - x_2| \quad (9.4)$$

cu L strict subunitar, pentru orice $x_1, x_2 \in [a, b]$. Dacă f este derivabilă, această condiție este satisfăcută atunci când $|g'| < 1$, deci:

$$|1 + cf'(x)| < 1, \quad x \in [a, b]. \quad (9.5)$$

Condiția (9.5) evidențiază importanța constantei c , care trebuie să aibă semn opus derivatei funcției f și trebuie aleasă astfel încât $|1 + cf'(x)|$ să fie subunitar. Cu cât $|g'| = |1 + cf'(x)|$ este mai mic, cu atât șirul iterativ este mai rapid convergent.

Metoda Newton (a tangentelor)

Una din metodele iterative cele mai eficiente este metoda Newton, în care $c = c_k$ se modifică la fiecare iterație, astfel încât $1 + c_k f'(x_k) = 0$, respectiv:

$$c_k = -\frac{1}{f'(x_k)}. \quad (9.6)$$

Rezultă următoarea relație pentru definirea șirului soluțiilor numerice în metoda Newton:

$$x_{k+1} = x_k - \frac{f(x_k)}{f'(x_k)}, \quad k = 1, 2, \dots \quad (9.7)$$

care evidențiază faptul că la fiecare iterație graficul funcției este aproximat cu tangenta dusă în punctul de coordonate $x_k, f(x_k)$. Ecuația dreptei tangente este:

$$y = f'(x)(x - x_k) + f(x_k), \quad (9.8)$$

iar prin intersecția ei cu axa, rezultă, pentru $y = 0$:

$$x = x_{k+1} = x_k - \frac{f(x_k)}{f'(x_k)}. \quad (9.9)$$

Din acest motiv, metoda Newton este cunoscută și sub numele de *metoda tangentelor*. Dezavantajul acestei metode constă în faptul că la fiecare iterație trebuie evaluată derivata $f'(x_k)$, ceea ce poate necesita un efort mare de calcul.

Metoda Newton-Kantorovici (a tangentelor paralele)

O variantă simplificată, cunoscută sub numele de **Newton-Kantorovici (a tangentelor paralele)** folosește o singură evaluare a derivatei în punctul inițial $c = -1/f'(x_0)$, iar iterațiile sunt date de:

$$x_{k+1} = x_k - \frac{f(x_k)}{f'(x_0)} \quad (9.10)$$

Această metodă este, în fond, o variantă a metodei iterației simple, cu o alegere convenabilă a factorului c .

Metoda Newton discretă (a secantelor)

Dacă expresia derivatei $f'(x)$ nu este cunoscută, atunci metoda Newton și varianta sa simplificată nu pot fi aplicate. În acest caz se poate face apel la aproximarea numerică a derivatei:

$$f'(x_k) \approx \frac{f(x_k) - f(x_{k-1})}{x_k - x_{k-1}}, \quad (9.11)$$

aceasta reprezentând panta secantei ce unește ultimele două puncte din șirul iterativ, având coordonatele $x_{k-1}, f(x_{k-1})$ și respectiv $x_k, f(x_k)$. Metoda astfel obținută bazată pe relația iterativă:

$$x_{k+1} = x_k - \frac{f(x_k)(x_k - x_{k-1})}{f(x_k) - f(x_{k-1})}, \quad k = 1, 2, \dots \quad (9.12)$$

este cunoscută sub numele de *metoda Newton (sau metoda secantelor)*. Această metodă folosește o funcție de iterație de două variabile $x_{k+1} = g(x_k, x_{k-1})$, deci necesită o inițializare dublă x_0, x_1 (alese, de exemplu: $x_0 = a, x_1 = b$).

9.3 Pseudocodul algoritmilor

Metoda biseecției

Rezolvarea ecuației $f(x) = 0$ prin metoda biseecției poate fi reprezentată în pseudocod prin următoarea procedură:

```

procedura biseecție ( $a, b, eps, nit$ )
    real  $a, b$  ; domeniul de definiție al funcției  $f$ 
    real  $eps$  ; eroarea impusă de soluție
    întreg  $nit$  ; număr maxim de iterații
    întreg  $k = 0$  ; contor iterații
    repetă
         $k = k + 1$ 
         $xm = (a + b)/2$ 
        dacă  $f(xm)f(a) > 0$  atunci
             $a = xm$ 
        altfel
             $b = xm$ 
    până când  $(b - a) < eps$  sau  $k > nit$ 
    dacă  $k \leq nit$ 
        scrie  $xm$  ; soluție
retur

```

Metoda iterației simple

Rezolvarea ecuației $f(x) = 0$ prin metoda iterației simple poate fi reprezentată în pseudocod prin următoarea procedură:

```

procedura iterație simplă ( $x_0, eps, nit$ )
    real  $x_0$  ; inițializare soluție
    real  $eps$  ; eroarea impusă de soluție
    întreg  $nit$  ; număr maxim de iterații
    întreg  $k = 0$  ; contor iterații
    real  $xvechi = x_0$  ; inițializarea soluției
    repetă
         $k = k + 1$ 
         $xnou = g(xvechi)$  ; unde  $g(x) = x + cf(x)$ 
         $d = |xnou - xvechi|$ 
         $xvechi = xnou$ 
    până când  $d < eps$  sau  $k > nit$ 
    dacă  $k \leq nit$ 

```

scrie x_{nou}

retur

Metoda Newton-Kantorovici (tangente paralele)

Rezolvarea ecuației $f(x) = 0$ prin metoda Newton-Kantorovici (tangente paralele) poate fi reprezentată în pseudocod prin următoarea procedură:

procedura tangente paralele (x_0, eps, nit)

real x_0 ; inițializare soluție
real eps ; eroarea impusă de soluție
întreg nit ; număr maxim de iterații
real $xvechi = x_0$; inițializarea soluției
real $fd = f'(x_0)$; valoarea derivatei în x_0
repetă

$k = k + 1$

$xnou = xvechi - f(xvechi)/fd$

$d = |xnou - xvechi|$

$xvechi = xnou$

până când $d < eps$ **sau** $k > nit$

dacă $k \leq nit$

scrie $xnou$

retur

Metoda Newton (tangente)

Rezolvarea ecuației $f(x) = 0$ prin metoda Newton (a tangentelor) poate fi reprezentată în pseudocod prin următoarea procedură:

procedura Newton (x_0, eps, nit)

real x_0 ; inițializare soluție
real eps ; eroarea impusă de soluție
întreg nit ; număr maxim de iterații
întreg $k = 0$; contor iterații
real $xvechi = x_0$; inițializarea soluției
repetă

$k = k + 1$

$xnou = xvechi - f(xvechi)/f'(xvechi)$

$d = |xnou - xvechi|$

$xvechi = xnou$

până când $d < eps$ **sau** $k > nit$

dacă $k \leq nit$

scrie *xnou*

retur

Metoda Newton discretă (a secantelor)

Rezolvarea ecuației $f(x) = 0$ prin metoda Newton discretă (a secantelor) poate fi reprezentată în pseudocod prin următoarea procedură:

procedura secante (*a, b, eps, nit*)

real *a, b* ; domeniul de definiție al funcției

real *eps* ; eroarea impusă de soluție

întreg *nit* ; număr maxim de iterații

întreg $k = 0$; contor iterații

real $xv = a$; inițializări ale soluției

real $xvv = b$

repetă

$k = k + 1$

$xnou = xv - (xv - xvv)f(xv)/(f(xv) - f(xvv))$

$d = |xnou - xv|$

$xvv = xv$

$xv = xnou$

până când $d < eps$ **sau** $k > nit$

dacă $k \leq nit$

scrie *xnou*

retur

9.4 Analiza algoritmilor

Efort de calcul

Efortul de calcul pentru determinarea soluției numerice este dependent de eroarea impusă soluției. În general, cu cât precizia impusă soluției este mai mare, cu atât timpul de calcul crește, deoarece sunt necesare mai multe iterații.

Efortul de calcul pentru o iterație depinde de metoda adoptată și el constă în principal în evaluarea funcției f sau a derivatei acesteia:

| Metoda | Număr de evaluări pe iterație |
|-------------------|--|
| Bisecției | 2 evaluări pentru f (poate fi redusă la o evaluare) |
| Iterația simplă | 1 evaluare pentru f |
| Tangente paralele | 1 evaluare pentru f |
| Newton | 1 evaluare pentru f și 1 evaluare pentru derivata f' |
| Secante | 2 evaluări pentru f (poate fi redusă la o evaluare) |

Deoarece viteza cu care șirul de iterații converge către soluția exactă este diferită de la o metodă la alta, este posibil ca numărul de iterații necesare atingerii unei precizii dorite să fie mult mai mic în cazul metodei Newton decât în cazul metodei iterației simple. În acest caz se obține o eficiență globală superioară prin folosirea metodei Newton, chiar dacă la fiecare iterație timpul de calcul este mai mare.

Analiza erorilor

O altă problemă importantă în procedurile iterative constă în încrederea care se poate acorda soluției numerice. Faptul că doi termeni succesivi sunt suficient de apropiați $|x_{k+1} - x_k| < eps$ nu înseamnă întotdeauna că aceștia sunt foarte aproape de soluția exactă x . Este posibil ca distanța $err = |x_{k+1} - x|$ să fie mult mai mare decât eps . Folosind principiul contracției se obțin următoarele relații privind eroarea impusă eps și eroarea reală err în cazul metodei iterației simple:

$$err = |x_{n+1} - x| \leq \frac{L^{n+1}}{1-L} |x_1 - x_0| \quad (9.13)$$

$$eps = |x_{n+1} - x_n| \leq L^{n+1} |x_0 - x| \quad (9.14)$$

în care s-a notat cu $L < 1$ constanta Lipschitz a funcției de iterație g , ce satisface:

$$|g(u) - g(v)| \leq L|u - v| \quad (9.15)$$

pentru orice u, v din domeniul (a, b) . Cu cât această constantă are valori mai mici, cu atât șirul iterativ este mai rapid convergent, numărul de iterații necesar atingerii preciziei impuse fiind:

$$n = \left\lceil \frac{\log(1-L) \frac{eps}{|x_1 - x_0|}}{\log L} \right\rceil \quad (9.16)$$

Raportul dintre eroarea impusă și cea reală depinde de constanta L .

Deoarece în metoda biseției marginea erorii reale la iterația n ($merr_n$) satisface inegalitatea:

$$merr_n \leq \frac{merr_{n-1}}{2}, \quad (9.17)$$

rezultă că metoda iterației simple este mai avantajoasă decât metoda biseției, doar atunci când constanta Lipschitz $L < 1/2$.

Metoda Newton este mai rapid convergentă decât metoda iterației simple deoarece în acest caz, eroarea reală la fiecare pas este:

$$err_{n+1} = |x_{n+1} - x| = |g(x_n) - g(x)| \leq L(|x_n - x|)^2 \quad (9.18)$$

spre deosebire de eroarea reală la fiecare pas în cazul metodei iterației simple:

$$err_{n+1} = |x_{n+1} - x| = |g(x_n) - g(x)| \leq L|x_n - x|. \quad (9.19)$$

În concluzie, efortul de calcul pentru determinarea soluției numerice a unei ecuații neliniare printr-o metodă iterativă depinde de:

- tipul ecuației;
- inițializarea adoptată (distanța față de soluția exactă);
- metoda iterativă adoptată;
- eroarea impusă soluției numerice.

Metodele iterative nu sunt convergente în orice caz. Aceasta situație poate avea loc de exemplu, în cazul metodei iterației simple dacă constanta L a funcției g are valori supraunitare.

9.5 Chestiuni de studiat

1. Rezolvarea unor ecuații neliniare prin diferite metode iterative;
2. Analiza experimentală a erorilor și a timpului de calcul la rezolvarea prin metode iterative a ecuațiilor neliniare;
3. Implementarea într-un limbaj de programare a unor algoritmi de rezolvare iterativă a ecuațiilor neliniare și testarea acestora;
4. Căutarea de informații pe Internet.

9.6 Modul de lucru

Pentru desfășurarea lucrării selectați opțiunea *Rezolvarea numerică prin metode iterative a ecuațiilor neliniare* din meniul principal de lucrări. Aceasta are ca urmare lansarea următorului meniu:

- Rezolvare ecuații
- Analiza rezolvării

Utilizatorul va selecta opțiunile din acest meniu.

9.6.1 Rezolvarea unor ecuații neliniare prin diferite metode iterative

Prin selectarea opțiunii *Rezolvare ecuații* din meniul lucrării se apelează un program care poate rezolva următoarele ecuații neliniare:

$$e^x = a_0$$

$$x + a_0 \ln x = a_1$$

$$a_0 \sin x + a_1 \cos x = a_2$$

$$a_3 x^3 + a_2 x^2 + a_1 x + a_0 = 0$$

în care a_0, a_1, a_2, a_3 , sunt parametri reali ce vor fi introduși de utilizator. După introducerea acestor parametri, programul solicită domeniul de definiție $[x_{min}, x_{max}]$ al funcției, numărul maxim de iterații și apoi alegerea metodei de rezolvare dintre variantele:

1. metoda biseției;
2. metoda iterației simple (cu $c = -1$);
3. metoda tangentelor paralele;
4. metoda tangentelor;
5. metoda secantelor.

În continuare programul afișează graficul funcției $f(x)$ și marchează succesiv punctele de coordonate $x_k, f(x_k), k = 0, 1, 2, \dots$

Pentru trecerea la iterația următoare trebuie apăsată tasta <ENTER> în consola Scilab.

Se recomandă rezolvarea ecuațiilor: $e^x = 2, x + \ln x = 2, \sin(x) + \cos(x) = 1$ și $x^2 = 2$, prin diferite metode. Se vor alege limitele x_{min} și x_{max} ale domeniului de definiție în mod convenabil pentru fiecare ecuație și se va comenta convergența procesului iterativ, așa cum este ea evidențiată din grafic.

Pentru fiecare metodă disponibilă, se va căuta un exemplu de ecuație, la care iterațiile nu sunt convergente.

9.6.2 Analiza experimentală a erorilor și a timpului de calcul la rezolvarea prin metode iterative a ecuațiilor neliniare

Prin selectarea opțiunii *Analiza rezolvării* din meniul principal se apelează un program care rezolvă ecuația algebrică:

$$a_2 x^2 + a_1 x + a_0 = 0$$

prin diferite metode iterative și anume:

1. metoda biseției;
2. metoda iterației simple;
3. metoda tangentelor paralele;
4. metoda tangentelor;
5. metoda secantelor.

La fiecare metodă este afișată și reprezentată grafic variația erorii absolute reale $|x_k - x|$ (abaterea iterației curente față de soluția exactă), a erorii aparente Cauchy $|x_k - x_{k-1}|$ (distanța dintre două iterații succesive egală cu modulul corecției efectuate asupra ultimei soluții numerice) și a reziduului $|f(x_k)|$ pe parcursul iterațiilor. Programul afișează și timpul necesar pentru efectuarea unei iterații.

Se va rezolva ecuația $x^2 = 2$ și se va calcula timpul necesar atingerii unei precizii dorite (de exemplu, primele trei cifre semnificative exacte) pentru soluția numerică. Se vor compara rezultatele obținute prin diferite metode (eficiența lor relativă în rezolvarea problemei date) și se va determina metoda optimă.

9.6.3 Implementarea algoritmilor de rezolvare iterativă a ecuațiilor neliniare

Se va implementa în limbajul C una din procedurile de rezolvare iterativă prezentate. Se va scrie un program principal, care va apela procedura implementată și care va rezolva ecuația algebrică neliniară:

$$a_3x^3 + a_2x^2 + a_1x + a_0 = 0$$

Programul va permite:

- introducerea datelor a_0, a_1, a_2, a_3, a, b ;
- rezolvarea ecuației prin apelul procedurii;
- afișarea rezultatelor: x - soluția numerică; k - numărul de iterații; eps - eroarea aparentă Cauchy.

9.6.4 Căutare de informații pe Internet

Căutați pe Internet informații și coduri legate de rezolvarea numerică a ecuațiilor neliniare. Cuvinte cheie recomandate: *solving nonlinear equations*, *solving nonlinear systems*, *secant method*, etc.

9.7 Exemple

9.7.1 Exemple rezolvate

1. Fie funcția $f : \mathbb{R} \rightarrow \mathbb{R}$, $f(x) = x^2 - 9$. Se cer:
 - (a) Să se calculeze primele două iterații ale metodei biseecției pentru rezolvarea ecuației $f(x) = 0$ în intervalul $[a, b]$, unde $a = 0$, $b = 8$.
 - (b) Să se calculeze primele trei iterații ale metodei Newton pentru rezolvarea ecuației $f(x) = 0$, pornind de la inițializarea $x_0 = 1$, respectiv $x_0 = -1$.
 - (c) Comentați comportarea metodei Newton pentru rezolvarea ecuației $f(x) = 0$, dacă inițializarea este $x_0 = 0$.
 - (d) Să se calculeze primele două iterații ale metodei Newton-Kantorovici pentru rezolvarea ecuației $f(x) = 0$, pornind de la inițializarea $x_0 = 2$.
 - (e) Să se calculeze primele două iterații ale metodei Newton discretă pentru rezolvarea ecuației $f(x) = 0$, pornind de la inițializarea dublă $x_0 = 0$, $x_1 = 1$.

Rezolvare:

- (a) Metoda biseecției (înjumătățirii intervalului) este garantat convergentă dacă funcția este continuă, soluția este unică (problema este bine formulată matematic) și funcția își schimbă semnul în intervalul de căutare, $[a, b]$ ($f(a)f(b) < 0$). Pentru funcția dată avem: $f(a) = f(0) = -9$ și $f(b) = f(8) = 55$, adică $f(a)f(b) = -9 \cdot 55 < 0$.

La prima iterație, $k = 1$, mijlocul intervalului este: $x_{m,1} = (a + b)/2 = 4$, $f(x_{m,1}) = f(4) = 7$. Deoarece $f(a)f(x_{m,1}) = -9 \cdot 7 < 0$, soluția se află în prima jumătate a intervalului $[a, b]$. Valoarea lui b se modifică, $b = x_{m,1} = 4$. Noul interval de căutare este $[0, 4]$.

La a doua iterație, $k = 2$, mijlocul intervalului este: $x_{m,2} = (a + b)/2 = 2$, $f(x_{m,2}) = f(2) = -5$. Deoarece $f(a)f(x_{m,2}) = -9 \cdot (-5) > 0$, soluția se află în a doua jumătate a intervalului $[a, b]$. Acum, valoarea lui a se modifică, $a = x_{m,2} = 2$. Noul interval de căutare este $[2, 4]$.

Procedeeul iterativ este ilustrat în figura 11.

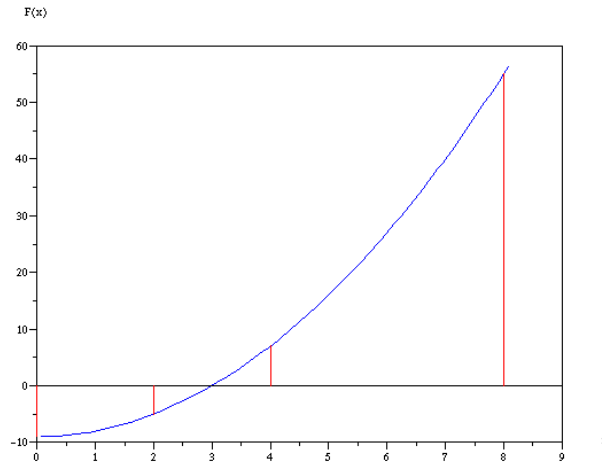


Fig. 11. Primele două iterații ale metodei bisecției

- (b) Formula de recurență a metodei Newton (a tangentelor) pentru generarea șirului de soluții este:

$$x_{k+1} = x_k - \frac{f(x_k)}{f'(x_k)}, \quad k = 1, 2, \dots$$

Se observă că este necesară evaluarea derivatei la fiecare iterație. În cazul problemei considerate, $f'(x) = 2x$,

Dacă inițializarea este $x_0 = 1$, primele 3 iterații ale metodei Newton sunt:

$$x_1 = x_0 - \frac{f(x_0)}{f'(x_0)} = 1 - \frac{f(1)}{f'(1)} = 1 - \frac{-8}{2} = 5,$$

$$x_2 = x_1 - \frac{f(x_1)}{f'(x_1)} = 5 - \frac{f(5)}{f'(5)} = 5 - \frac{16}{10} = \frac{17}{5} = 3.4,$$

$$x_3 = x_2 - \frac{f(x_2)}{f'(x_2)} = \frac{17}{5} - \frac{f(17/5)}{f'(17/5)} = \frac{17}{5} - \frac{32}{85} = \frac{257}{85} = 3.02.$$

Procedeeul iterativ este ilustrat în figura 1b-stânga.

Dacă inițializarea este $x_0 = -1$, primele 3 iterații sunt:

$$x_1 = x_0 - \frac{f(x_0)}{f'(x_0)} = -1 - \frac{f(-1)}{f'(-1)} = -1 - \frac{-8}{-2} = -5,$$

$$x_2 = x_1 - \frac{f(x_1)}{f'(x_1)} = -5 - \frac{f(-5)}{f'(-5)} = -5 - \frac{16}{-10} = -\frac{17}{5} = -3.4,$$

$$x_3 = x_2 - \frac{f(x_2)}{f'(x_2)} = -\frac{17}{5} - \frac{f(-17/5)}{f'(-17/5)} = -\frac{17}{5} + \frac{32}{85} = -\frac{257}{85} = -3.02.$$

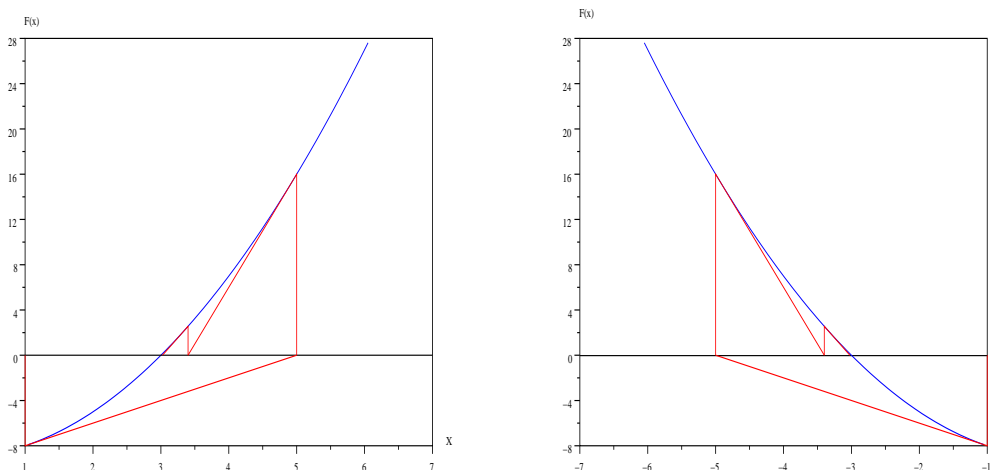


Figura 9.1: Primele trei iterații ale metodei Newton: stânga $x_0 = 1$, dreapta $x_0 = -1$.

Procedeeul iterativ este ilustrat în figura 1b-dreapta.

Se observă că, în funcție de inițializarea soluției, metoda Newton converge către una dintre cele două soluții exacte ale ecuației $x^2 - 9 = 0$, $x = \pm 3$.

- (c) Dacă inițializarea este $x_0 = 0$, atunci prima iterație a metodei Newton ar fi:

$$x_1 = x_0 - \frac{f(x_0)}{f'(x_0)} = 0 - \frac{f(0)}{f'(0)} = \frac{9}{0},$$

și metoda eșuează încă de la prima iterație.

Metoda Newton va eșua dacă o iterație ajunge într-un punct critic al funcției (punct pentru care derivata este nulă). Din punct de vedere geometric, într-un punct critic, tangenta la graficul funcției $f(x)$ este paralelă cu abscisa OX , deci nu există intersecție cu aceasta, implicit soluție la iterația următoare.

- (d) Formula de recurență a metodei Newton-Kantorovici (a tangentelor paralele) pentru generarea șirului de soluții este:

$$x_{k+1} = x_k - \frac{f(x_k)}{f'(x_k)}, \quad k = 1, 2, \dots$$

Se observă că este necesară o singură evaluare a derivatei, $f'(x_0) = 2x_0$.

Dacă inițializarea este $x_0 = 2$, primele 2 iterații ale metodei Newton-Kantorovici sunt:

$$x_1 = x_0 - \frac{f(x_0)}{f'(x_0)} = 2 - \frac{f(2)}{f'(2)} = 2 - \frac{-5}{4} = \frac{13}{4} = 3.25,$$

$$x_2 = x_1 - \frac{f(x_1)}{f'(x_1)} = \frac{13}{4} - \frac{f(13/4)}{f'(13/4)} = \frac{13}{4} - \frac{25}{64} = \frac{183}{64} = 2.859.$$

Procedeeul iterativ este ilustrat în figura 1e-stânga.

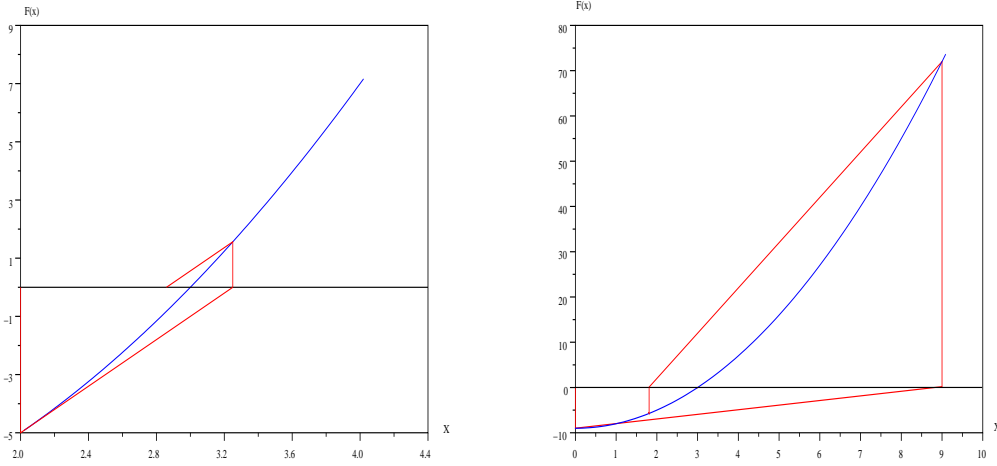


Figura 9.2: Primele trei iterații ale metodei: Newton Kantorovici (stânga), Newton discretă (dreapta).

- (e) Formula de recurență a metodei Newton discretă (a secantelor) pentru generarea șirului de soluții este:

$$x_{k+1} = x_k - \frac{f(x_k)(x_k - x_{k-1})}{f(x_k) - f(x_{k-1})}, \quad k = 1, 2, \dots$$

Pornind de la inițializarea dublă $x_0 = 0$, $x_1 = 1$, primele 2 iterații ale metodei Newton discretă sunt:

$$x_2 = x_1 - \frac{f(x_1)(x_1 - x_0)}{f(x_1) - f(x_0)} = 1 - \frac{f(1)(1 - 0)}{f(1) - f(0)} = 1 - \frac{-8}{1} = 9,$$

$$x_3 = x_2 - \frac{f(x_2)(x_2 - x_1)}{f(x_2) - f(x_1)} = 9 - \frac{f(9)(9 - 1)}{f(9) - f(1)} = 9 - \frac{36}{5} = \frac{9}{5} = 1.8.$$

Procedeeul iterativ este ilustrat în figura 1e-dreapta.

2. Fie ecuația neliniară $x^2 + x = 2$. Se cer:

- Să se calculeze primele două iterații ale metodei biseției pentru rezolvarea ecuației pentru $x \in [a, b]$, unde $a = -6$, $b = 0$.
- Să se calculeze primele două iterații ale metodei Newton pentru rezolvarea ecuației, pornind de la inițializarea $x_0 = 0$.
- Să se calculeze primele două iterații ale metodei Newton-Kantorovici pentru rezolvarea ecuației, pornind de la inițializarea $x_0 = 0$.
- Să se calculeze primele două iterații ale metodei Newton discretă pentru rezolvarea ecuației, pornind de la inițializarea dublă $x_0 = -1/2$, $x_1 = 0$.

Rezolvare:

La rezolvarea oricărei ecuații neliniare este indicat să avem forma $f(x) = 0$. În cazul considerat, $f(x) = x^2 + x - 2$.

- (a) Pentru funcția dată avem: $f(a) = f(-6) = 28$ și $f(b) = f(0) = -2$, adică $f(a)f(b) = 28 \cdot (-2) < 0$, o singură soluție în intervalul $[a, b]$.

La prima iterație, $k = 1$: $x_{m,1} = (a + b)/2 = -3$, $f(x_{m,1}) = f(-3) = 4$. Deoarece $f(a)f(x_{m,1}) = 28 \cdot 4 > 0$, soluția se află în a doua jumătate a intervalului $[a, b]$. Valoarea lui a se modifică, $a = x_{m,1} = -3$. Noul interval de căutare este $[-3, 0]$.

La a doua iterație, $k = 2$: $x_{m,2} = (a + b)/2 = -3/2$, $f(x_{m,2}) = f(-3/2) = -5/4$. Deoarece $f(a)f(x_{m,2}) = 4 \cdot (-5/4) < 0$, soluția se află în prima jumătate a intervalului $[a, b]$. Acum, valoarea lui b se modifică, $b = x_{m,2} = -3/2$. Noul interval de căutare este $[-3, -3/2]$.

- (b) Pentru metoda Newton este necesară cunoașterea expresiei derivatei funcției. În cazul problemei considerate, $f'(x) = 2x + 1$.

Pornind de la inițializarea $x_0 = 0$, primele două iterații ale metodei Newton sunt:

$$x_1 = x_0 - \frac{f(x_0)}{f'(x_0)} = 0 - \frac{f(0)}{f'(0)} = -\frac{-2}{1} = 2,$$

$$x_2 = x_1 - \frac{f(x_1)}{f'(x_1)} = 2 - \frac{f(2)}{f'(2)} = 2 - \frac{4}{5} = \frac{6}{5} = 1.2.$$

- (c) Pornind de la inițializarea $x_0 = 0$, primele două iterații ale metodei Newton-Kantorovici sunt:

$$x_1 = x_0 - \frac{f(x_0)}{f'(x_0)} = 0 - \frac{f(0)}{f'(0)} = -\frac{-2}{1} = 2,$$

$$x_2 = x_1 - \frac{f(x_1)}{f'(x_0)} = 2 - \frac{f(2)}{f'(0)} = 2 - \frac{4}{1} = -2.$$

- (d) Pornind de la inițializarea dublă $x_0 = -1/2$, $x_1 = 0$, primele două iterații ale metodei Newton discretă sunt:

$$x_2 = x_1 - \frac{f(x_1)(x_1 - x_0)}{f(x_1) - f(x_0)} = 0 - \frac{f(0)[0 - (-1/2)]}{f(0) - f(-1/2)} = -\frac{-1}{-2 - (-9/4)} = 4,$$

$$x_3 = x_2 - \frac{f(x_2)(x_2 - x_1)}{f(x_2) - f(x_1)} = 4 - \frac{f(4)(4 - 0)}{f(4) - f(0)} = 4 - \frac{18 \cdot 4}{20} = \frac{2}{5} = 0.4.$$

9.7.2 Exemple propuse

1. Fie funcția $f : \mathbb{R} \rightarrow \mathbb{R}$, $f(x) = x^2 - 16$. Se cer:
 - (a) Să se calculeze primele două iterații ale metodei bisecției pentru rezolvarea ecuației $f(x) = 0$ în intervalul $[a, b]$, unde $a = 0$, $b = 12$.
 - (b) Să se calculeze primele două iterații ale metodei Newton pentru rezolvarea ecuației $f(x) = 0$, pornind de la inițializarea $x_0 = 1$.
 - (c) Să se calculeze primele două iterații ale metodei Newton-Kantorovici pentru rezolvarea ecuației $f(x) = 0$, pornind de la inițializarea $x_0 = 1$.
 - (d) Să se calculeze primele două iterații ale metodei Newton discretă pentru rezolvarea ecuației $f(x) = 0$, pornind de la inițializarea dublă $x_0 = 0$, $x_1 = 1$.
2. Fie ecuația neliniară $x^2 + x = 6$. Se cer:
 - (a) Să se calculeze primele două iterații ale metodei bisecției pentru rezolvarea ecuației pentru $x \in [a, b]$, unde $a = -8$, $b = 0$.
 - (b) Să se calculeze primele două iterații ale metodei Newton pentru rezolvarea ecuației, pornind de la inițializarea $x_0 = -1$.
 - (c) Să se calculeze primele două iterații ale metodei Newton-Kantorovici pentru rezolvarea ecuației, pornind de la inițializarea $x_0 = -1$.
 - (d) Să se calculeze primele două iterații ale metodei Newton discretă pentru rezolvarea ecuației, pornind de la inițializarea dublă $x_0 = -2$, $x_1 = -1$.

9.8 Întrebări și probleme

1. Comparați eficiența diferitelor metode iterative pentru rezolvarea aceleiași ecuații neliniare;
2. Analizați cum depinde eficiența rezolvării de inițializarea adoptată;
3. Analizați cum depinde timpul de calcul pentru determinarea soluției numerice a unei ecuații neliniare de eroarea impusă soluției numerice;
4. Modificați algoritmul metodei bisecției astfel încât să se efectueze o singură evaluare a funcției f la fiecare înjumătățire;
5. Analizați efectul pe care îl are introducerea unui factor de relaxare (subrelaxare, respectiv suprelaxare) în iterațiile neliniare;
6. Care din metodele prezentate poate fi generalizată la rezolvarea unui sistem de ecuații neliniare și cum se realizează această generalizare?

7. Propuneți diferite criterii sigure pentru oprirea iterațiilor;
8. Generați un algoritm pentru determinarea iterativă a zerourilor funcției complexe analitice.
9. Descrieți algoritmul Newton în cazul unui sistem de ecuații algebrice neliniare. Cum poate fi aplicat acest algoritm în analiza numerică a circuitelor electrice neliniare în regim staționar (de c.c.)? Arătați că la fiecare iterație trebuie rezolvat un circuit electric liniar, pentru care se poate aplica algoritmul din Lucrarea nr. 5.
10. Identificați în biblioteca matematică descrisă în [2] funcții avansate pentru rezolvarea sistemelor de ecuații neliniare. Ce aduc nou aceste funcții, față de cele analizate în lucrare?



Sir Isaac Newton (1643, Anglia - 1727, Anglia)

<http://www-gap.dcs.st-and.ac.uk/history/Mathematicians/Newton.html>



Leonid Vitalyevich Kantorovich (1912, Rusia - 1986, URSS)

<http://www-gap.dcs.st-and.ac.uk/history/Mathematicians/Kantorovich.html>

<http://www.nobel.se/economics/laureates/1975/kantorovich-autobio.html>

Lucrarea 10

Rezolvarea ecuațiilor diferențiale ordinare cu condiții inițiale prin metoda Euler

10.1 Caracterizarea metodei

Metoda Euler este o metodă elementară de integrare numerică a unei ecuații diferențiale cu condiții inițiale de forma:

$$\begin{aligned}\frac{dy}{dt} &= f(t, y) \\ y(t_0) &= y_0\end{aligned}$$

pentru intervalul de definiție $t_0 \leq t \leq t_{max}$.

În această metodă, pentru evaluarea numerică a derivatei se utilizează aproximarea obținută prin reținerea primilor doi termeni din dezvoltarea în serie Taylor a funcției $y(t)$. Deoarece soluția numerică are pe fiecare pas de timp variație liniară, se spune că metoda este de ordinul I.

10.2 Principiul metodei

Se consideră următoarea ecuație diferențială de ordinul I:

$$\begin{aligned}\frac{dy}{dt} &= f(t, y) \\ y(0) &= y_0\end{aligned}\tag{10.1}$$

a cărei soluție $y(t)$ este o funcție de timp definită pe intervalul $[0, t_{max}]$.

Rezolvarea numerică a ecuației (10.1) constă în evaluarea funcției $y(t)$ în nodurile $0 < t_1 < t_2 < \dots < t_{max}$ ale intervalului de definiție. Se alege un pas de integrare h , astfel încât intervalul $[0, t_{max}]$ să fie împărțit în n pași egali:

$$h = \frac{t_{max}}{n}. \quad (10.2)$$

Nodurile intervalului de definiție sunt în acest caz următoarele:

$$t_0 = 0; t_1 = h; t_2 = 2h; t_3 = 3h; \dots; t_n = nh = t_{max}.$$

Dezvoltarea în serie Taylor a funcției $y(t)$ la dreapta punctului $t_i = ih$ este:

$$y(t_i + h) = y_i + y'_i h + y''_i \frac{h^2}{2} + y'''_i \frac{h^3}{6} + \dots \quad (10.3)$$

unde $y_i = y(t_i)$ și $y'_i = f(t_i, y_i)$. Dacă se neglijează termenii de grad mai mare sau egal cu 2, și se notează cu y_{i+1} soluția la momentul $t_{i+1} = t_i + h$, atunci se face următoarea aproximare:

$$y_{i+1} = y_i + hf(t_i, y_i). \quad (10.4)$$

Această expresie reprezintă *formula explicită* a metodei lui Euler. Pornind de la condiția inițială y_0 , relația (10.4) permite calculul succesiv al soluției numerice y_1, y_2, \dots, y_n , în toate nodurile rețelei de discretizare.

Dezvoltarea în serie Taylor a funcției $y(t)$ la stânga punctului $t_{i+1} = (i+1)h$ este:

$$y(t_{i+1} - h) = y_{i+1} - y'_{i+1} h + y''_{i+1} \frac{h^2}{2} - y'''_{i+1} \frac{h^3}{6} + \dots \quad (10.5)$$

unde $y'_{i+1} = f(t_{i+1}, y_{i+1})$. Dacă se neglijează în (10.5) termenii de grad mai mare sau egal cu 2 rezultă următoarea aproximare:

$$y_{i+1} = y_i + hf(t_{i+1}, y_{i+1}). \quad (10.6)$$

Această expresie reprezintă *formula implicită* a metodei lui Euler. Determinarea soluției numerice presupune în acest caz rezolvarea la fiecare pas de timp a ecuației (10.6).

10.3 Pseudocodul metodei

Rezolvarea prin *metoda explicită* este descrisă de următorul pseudocod:

```

procedura euler_exp (x0, xmax, y0, h, y)
  real x0,                ; nod inițial
  real xmax,              ; nod final
  real y0,                ; condiția inițială
  real h,                 ; pasul de integrare
  tablou real y(n)        ; vectorul soluției numerice (indici de la 0)
  t = x0
  y(0) = y0
  n = (xmax - x0)/h        ; număr de pași
  pentru i = 1, n          ; evaluează funcția în cele n noduri
    y(i) = y(i-1) + h · func(t, y(i -1))
    t = t + h
retur

```

Procedura are următorii parametri:

- de intrare:
 - x_0 = limita inferioară a intervalului de integrare;
 - x_{max} = limita superioară a intervalului de integrare;
 - y_0 = condiția inițială;
 - h = pasul de integrare.
- de ieșire: $y(n)$ = vectorul soluție.

Procedura apelează funcția **func** ce evaluează funcția $f(t, y)$ din membrul drept al ecuației (10.1) pentru nodul i .

Rezolvarea prin *metoda implicită* este descrisă de următorul pseudocod:

```

procedura euler_imp (x0, xmax, y0, h, err, itmax, y)
  real x0,                ; nodul inițial
  real xmax,              ; nod final
  real y0,                ; condiția inițială
  real h,                 ; pasul de integrare
  real err                ; eroarea maxim admisă
  întreg itmax            ; nr. max. de iterații
  tablou real y(N)        ; vectorul soluției
  t = x0
  y(0) = y0
  n = (xmax - x0)/h        ; nr. de pași

```

```

pentru i = 1, n ; evaluează funcția în cele n noduri
    t = t + h ; pas nou
    ynou = y(i-1) + h · func(t, y(i-1)) ; prima evaluare se face cu metoda explicită
    j = 0 ; contor iterații
    repetă
        yvechi = ynou
        ynou = y(i-1) + h · func(t, yvechi) ; evaluare nouă
        j = j + 1
        eps = abs(yvechi - ynou) ; evaluare eroare
    până când (abs(eps) ≤ err sau j > itmax)
    y(i) = ynou
retur

```

Procedura are următorii parametri:

- de intrare:
 - x_0 - limita inferioară a intervalului de integrare;
 - x_{max} - limita superioară a intervalului de integrare;
 - y_0 - condiția inițială;
 - h - pasul de integrare;
 - err - eroarea maximă admisă;
 - $itmax$ - nr. maxim de iterații admis.
- de ieșire: $y(n)$ - vectorul soluției numerice.

Procedura apelează funcția **func** ce calculează valoarea funcției $f(t, y)$ din membrul drept al ecuației (10.1) pentru nodul i .

Metoda implementată pentru rezolvarea ecuației neliniare (10.6) este metoda iterației simple, la care inițializarea este făcută prin valori date de relația explicită (10.4).

10.4 Analiza algoritmului

Efortul de calcul

Deoarece durata evaluării funcției $f(t, y)$ este în general mult mai mare decât durata efectuării câtorva înmulțirii și adunări, timpul de calcul depinde de numărul de evaluări ale funcției $f(t, y)$.

În *metoda explicită* se efectuează n evaluări ale funcției f .

În cazul *metodei implicite*, aplicată pe aceeași rețea de discretizare, timpul de calcul crește odată cu creșterea preciziei de calcul dorite în rezolvarea iterativă a ecuației neliniare (10.6). Ciclul de iterații corectează succesiv valoarea soluției de la momentul curent. Această tehnică bazată pe relațiile (10.4) și (10.6) se numește **metoda predictiv-corectivă**.

Numărul de evaluări ale funcției f este majorat de $n \cdot \text{itmax}$.

Deoarece metoda implicită are o stabilitate numerică superioară față de metoda explicită, pentru calculul soluției numerice la un moment dat (de exemplu t_{max}) cu o eroare impusă, trebuie folosită o rețea de discretizare mai fină în cazul utilizării metodei explicite, ceea ce poate conduce la un efort de calcul global mai mic prin utilizarea metodei implicite.

Necesar de memorie

Pentru memorarea vectorului y sunt necesare n locații de memorie, fiecare din ele fiind rezervată unui număr real. În scopul eliminării acestui consum de memorie, soluția poate fi afișată (sau salvată pe disc), imediat după ce a fost calculată.

Cele două variante ale metodei Euler (explicită și implicită), necesită practic același necesar de memorie.

Analiza erorilor

Pentru o ecuație diferențială simplă de forma:

$$\begin{aligned} \frac{dy}{dt} &= ay \\ y(0) &= y_0 \end{aligned} \tag{10.7}$$

se demonstrează că *eroarea de trunchiere* cumulată după k pași de integrare cu metoda Euler explicită este:

$$\text{eps}_k \leq h y_0 a^2 t_k \exp(at_k) = O(h),$$

unde $t_k = hk$, $k \neq 1$, iar $\text{eps}_k = |y(t_k) - y_k|$ este eroarea la pasul k .

Pentru $k = 1$:

$$\text{eps}_1 \leq y_0 h^2 a^2 \exp(ah) = O(h^2),$$

unde eps_1 este eroare locală, efectuată după un singur pas de integrare și care este cu un ordin mai mare decât eroarea globală.

Eroarea de trunchiere este cu atât mai mică cu cât pasul de timp este mai mic. Pentru a obține aceeași eroare de trunchiere, în cazul metodei Euler explicite se impune alegerea unui pas de timp mai mic decât în cazul metodei Euler implicite.

În cazul în care se implementează metoda Euler pe un sistem de calcul care operează cu q cifre semnificative, eroarea de rotunjire, care se adaugă erorii de trunchiere, este:

$$\text{eps}_r = \left| \frac{10^{-q+1}}{ah} \right|.$$

Datorită efectului de anulare prin scădere, eroarea de rotunjire este cu atât mai mare cu cât pasul h este mai mic. Prin urmare pasul de integrare poate fi scăzut (în vederea micșorării erorii de trunchiere) numai atât timp cât eroarea de rotunjire rămâne suficient de mică. Din acest punct de vedere se poate găsi un pas de integrare optim.

10.5 Chestiuni de studiat

1. Rezolvarea unor ecuații diferențiale de ordinul 1;
2. Analiza experimentală a erorilor și a timpului de calcul în funcție de pasul de integrare și de eroarea impusă;
3. Rezolvarea unei ecuații diferențiale asociate unui circuit electric, de ordin I, excitat cu un impuls;
4. Implementarea algoritmului într-un limbaj de programare și testarea rutinei;
5. Căutarea de informații pe Internet.

10.6 Mod de lucru

Pentru desfășurarea lucrării selectați opțiunea *Rezolvarea ecuațiilor diferențiale ordinare cu condiții inițiale prin metoda Euler* din meniul principal de lucrări. Aceasta are ca urmare lansarea următorului meniu:

- Rezolvare ecuație test
- Analiză erori
- Analiză ecuație

din care trebuie selectate succesiv opțiunile.

10.6.1 Rezolvarea unor ecuații diferențiale de ordin 1

Se selectează opțiunea *Rezolvare ecuație test*. Programul rezolvă prin metoda Euler o ecuație diferențială de forma:

$$\begin{aligned}\frac{dy}{dt} &= ay + b \\ y(0) &= y_0\end{aligned}\tag{10.8}$$

unde $y : [0, t_{max}] \rightarrow \mathbb{R}$. Această ecuație se obține din studiul regimului tranzitoriu pentru următoarele circuite:

- Condensator de capacitate C ce se încarcă de la o sursă de tensiune continuă E , printr-un rezistor de rezistență R .
- Descărcarea unui condensator încărcat inițial la tensiunea E pe un rezistor de rezistență R .

Conform ecuațiilor lui Kirchhoff, tensiunea la bornele condensatorului într-un circuit serie RC excitat cu o sursă cu t.e.m. E satisface relația:

$$\begin{aligned}RC \frac{du}{dt} + u &= E \\ u(0) &= u_0\end{aligned}$$

unde u_0 este tensiunea inițială la bornele condensatorului.

Se vor determina, în cele două cazuri, expresiile analitice ale tensiunii la bornele condensatorului.

Pentru R, C, E , cunoscute (de exemplu $R = 100\Omega$, $C = 10\mu\text{F}$, $E = 20\text{ V}$) se vor introduce coeficienții corespunzători în ecuația (10.8) și se vor compara graficele de variație a tensiunii la bornele condensatarului în timp cu graficele obținute pe baza expresiei analitice găsite.

Comparațiile se vor face pentru diferiți pași de integrare: $h = \tau/10$, $h = \tau$, $h = 2\tau$, unde $\tau = RC$ este constantă de timp a circuitului.

Se va testa ecuația și pentru valori negative ale lui R (de exemplu $R = -100K\Omega$).

Se vor comenta rezultatele.

10.6.2 Analiza experimentală a erorilor și a timpului de calcul în funcție de pasul de integrare

Se selectează opțiunea *Analiză erori*. Prin această opțiune, se apelează un program ce rezolvă o ecuație diferențială simplă de forma:

$$\begin{aligned}\frac{dy}{dt} &= -y \\ y(0) &= 1\end{aligned}$$

pe domeniul $[0, t_{max}]$. Programul necesită și introducerea erorii admisibile și numărului maxim de iterații necesar rezolvării ecuației neliniare la fiecare pas al metodei implicite.

Programul afișează:

- eroarea locală pentru primul pas de calcul pentru metodele explicită și implicită;
- eroarea globală pentru metodele explicită și implicită;
- pentru metoda implicită se afișează numărul maxim de iterații necesare atingerii preciziei dorite.

Se va alege $t_{max} = 4\tau$ și se va rezolva ecuația pentru diferiți pași de timp $h = 2\tau$, $h = \tau$, $h = \tau/10$, $h = \tau/100$, $h = \tau/1000$.

Se vor reprezenta grafic pe hârtie milimetrică:

- variația erorii locale și globale în funcție de h pentru metoda explicită;
- variația erorii locale și globale în funcție de h pentru metoda implicită, pentru o eroare impusă constantă de rezolvare a ecuației neliniare a unui pas.
- variația numărului mediu de iterații necesar metodei implicite în funcție de eroarea impusă rezolvării ecuației neliniare, pentru $h = \tau/100$;

Se vor compara cele două metode din punct de vedere al efortului de calcul necesar obținerii unei erori globale impuse.

10.6.3 Rezolvarea unei ecuații diferențiale caracteristice unui circuit electric de ordinul I

Se selectează opțiunea *Analiză ecuație*. În acest fel se apelează un program ce rezolvă o ecuație de forma:

$$\begin{aligned}\frac{dy}{dt} &= -y + f(t) \\ y(0) &= 0\end{aligned}$$

unde:

$$f(t) = (h(t) - h(t - t_0))A \exp(bt) \cos(\omega t + \varphi),$$

iar $h(t)$ reprezintă funcția treaptă unitate. Domeniul de integrare este $[0, t_{max}]$, iar pasul de integrare este $h = t_{max}/100$.

Se introduc de la consolă următorii parametri:

- t_{max} - intervalul de integrare;
- t_0 - durata excitației;
- A - amplitudinea excitației;
- b - constanta de relaxare a excitației;
- ω - pulsația excitației;
- φ - faza inițială a excitației.

Se observă că:

- pentru $b = 0, \omega = 0$ și $\varphi = 0$, excitația este un impuls dreptunghiular de durată t_0 , iar dacă $t_0 \geq t_{max}$ excitația este constantă;
- pentru A, b nenuli, $\omega = 0$ și $\varphi = 0$, excitația este un impuls cu variație exponențială;
- pentru $b = 0$, excitația este armonică;
- pentru $b < 0$, excitația este oscilatorie amortizată;
- pentru $b > 0$, excitația este oscilatorie amplificată.

Se vor analiza toate aceste cazuri și se vor comenta rezultatele obținute.

10.6.4 Implementarea algoritmului într-un limbaj de programare și testarea rutinei.

Se va implementa o procedură proprie de rezolvare a unei ecuații diferențiale, prin metoda Euler explicită. Se va scrie pseudocodul și se va implementa un program ce apelează procedura de la punctul anterior și rezolvă ecuația:

$$\begin{aligned} \frac{dy}{dt} &= -y + \sin(\omega t) \\ y(0) &= y_0. \end{aligned}$$

Integrarea se face pe intervalul $0 < t < t_{max}$. Acest program va permite introducerea de la consolă a pulsației ω , a condiției inițiale $y(0)$, a limitei superioare a intervalului de integrare și a pasului h . Soluția va fi afișată alfanumeric pe ecran.

10.6.5 Căutare de informații pe Internet

Se vor căuta pe Internet informații (coduri) legate de rezolvarea ecuațiilor diferențiale ordinare. Cuvinte cheie recomandate: *ordinary differential equations*, *Euler's method*.

10.7 Probleme și întrebări

1. Poate fi scăzut oricât de mult pasul de integrare în vederea micșorării erorilor? Justificați răspunsul.
2. Cum este influențată precizia metodei de precizia sistemului de calcul?
3. Scrieți o ecuație de forma:

$$\begin{aligned}\frac{dy}{dt} &= f(t, y) \\ y(0) &= y_0\end{aligned}$$

pentru a descrie variația curentului printr-o bobină cu inductivitate L și rezistență R ce este conectată la o sursă de t.e.m. continuă de valoare E . Utilizați opțiunea *Rezolvare ecuație test* pentru a o rezolva.

4. Dați exemple de categorii de circuite electrice ce se pot analiza cu metoda Euler.
5. Generați un algoritm care folosește metoda Euler pentru rezolvarea unor sisteme de ecuații diferențiale de ordinul I.
6. Generați un algoritm care modifică automat pasul de integrare, pentru a menține eroarea globală la o valoare impusă cu un efort minim de calcul.
7. Scrieți un algoritm pentru calculul integralelor definite ale funcțiilor aplicând metoda Euler.
8. Analizați deosebirea dintre stabilitatea unei ecuații diferențiale și stabilitatea ei numerică.
9. Îmbunătățiți algoritmul Euler considerând mai mulți termeni din seria Taylor a funcției $y(t)$.
10. Scrieți o variantă a algoritmului `euler_imp` în care rezolvarea ecuației neliniare să se facă cu metoda Newton.
11. Descrieți rezolvarea numerică a unui sistem de ecuații diferențiale ordinare. Cum poate fi aplicat acest algoritm în analiza numerică a circuitelor electrice neliniare în regim tranzitoriu? Arătați ca la fiecare pas de integrare în timp trebuie rezolvat

un circuit electric liniar, pentru care se poate aplica algoritmul din Lucrarea nr. 5. Cum se obțin circuitele companion, care sunt echivalente elementelor reactive: L, C?

12. Rezolvați numeric diferite ecuații de stare, liniare sau neliniare în mediul MATLAB/SCILAB.
13. Identificați în biblioteca matematică descrisă în [2] funcții avansate pentru integrarea numerică a ecuațiilor diferențiale ordinare (Runge-Kutta, extrapolare Richardson, predictor-corrector, pentru ecuații stiff). Ce aduc nou aceste funcții, față de cele analizate în lucrare?



Leonhard Euler (1707, Elveția - 1783, Rusia)

<http://www-gap.dcs.st-and.ac.uk/history/Mathematicians/Euler.html>

Bibliografie și webografie

- [1] D. Ioan, I. Munteanu, B. Ionescu, M. Popescu, R. Popa, M. Lăzărescu și G. Ciuprina. *Metode numerice în ingineria electrică*. MATRIX ROM, București, România, a doua ed., 1998.
- [2] W.H. Press, S.A. Teukolsky, W.T. Vetterling și B.P. Flannery. *Numerical Recipes in C, The Art of Scientific Computing, Second Edition*. Cambridge University Press, 1992, <http://www.nrbook.com/a/bookcpdf.php>.

ISBN 978-606-23-0077-7



ISBN 978-606-23-0077-7



9 786062 300777